

TECHNICKÁ UNIVERZITA V LIBERCI
FAKULTA STROJNÍ

Katedra strojírenské technologie



Studijní obor: **2303V002 - Strojírenská technologie**

**SLEDOVÁNÍ VLASTNOSTÍ FORMOVACÍCH A JÁDROVÝCH
SMĚSÍ BĚHEM JEJICH TEPELNÉHO NAMÁHÁNÍ**

**MONITORING OF PROPERTIES OF MOULDING AND CORE
MIXTURES DURING THEIR THERMAL STRAINING**

[Doktorská disertační práce]

Doktorand: Ing. Jiří Machuta

Školitelka: prof. Ing. Iva Nová, CSc.

Vedoucí katedry: prof. Dr. Ing. Petr Lenfeld

k SP

Liberec, 2010

Abstrakt:

Tato disertační práce se zabývá sledováním a měřením vlastností formovacích a jádrových slévárenských směsí během jejich tepelného namáhání. Práce je zaměřena na plynnotvornost a rozměrovou dilataci těchto směsí. Plynnotvorností se rozumí množství (objem) uvolněných plynů během zahřívání vzorku formovací nebo jádrové směsi. Dilatací je myšlena změna délkových rozměrů vzorku opět během tepelné zátěže, která simuluje lití tekutého kovu do reálné slévárenské formy. Práce popisuje základní charakteristiku slévárenských směsí, vliv plynnotvornosti a dilatace formovací a jádrové směsi na vznik vad odlitků a také je popsán mechanismus vzniku a vývinu plynů ze směsi. Součástí této práce jsou dále výpočty vzniklého množství plynů a průběhu změn Gibbsovy energie chemických reakcí, které jsou hlavní přičinou plynnotvornosti slévárenských směsí. Experimentální část je zaměřena na přípravu vzorků, popis a kalibraci obou zařízení na KSP TU v Liberci, a hlavně na měření plynnotvornosti a dilatace pro různé slévárenské směsi. Získané výsledky byly statisticky vyhodnoceny.

Klíčová slova: Formovací směsi, jádrové směsi, plynnotvornost slévárenských směsí, dilatace slévárenských směsí

Abstract:

This diploma thesis deal with monitoring and measuring properties of molding and core foundry mixtures during their thermal straining. This diploma thesis is directed to gassines and dimensional dilatation of these mixtures. The gassines means an amount (volume) of flowing gasses during heating of sample of molding or core mixtures. The dilatation is change of length dimensions of sample during thermal straining which is simulation casting of molten metal to real mould. This thesis describes basic characteristic of foundry mixtures, influence of gassines and dilatation of molding and core mixtures on generation of defects of castings and there is described mechanism of generation and evolution of gassas from mixtures too. Calculations of incurred amount of gasses and curves of change of Gibbs energy of chemical reactions which they are main causes of gassines of foundry mixtures. The experimental part is directed on prepare of samples, characteristic and calibration both devices on KSP TU in Liberec and in the main on measure of gassines and dilatation for different foundry mixtures. The acquired results was statistic evaluated.

Key words: forming mixtures, core mixtures, gassiness of foundries mixtures, thermal expansivity of foundries mixtures

„Existuje pouze jediný opravdový přepych, přepych lidských vztahů“

Antoine De Saint Exupéry

Poděkování

Děkuji své školitelce paní prof. Ing. Ivě Nové, CSc. za cenné rady, podporu a vedení důležitou etapou mého života. Dále bych rád poděkoval své kolegyni Ing. Stanislavě Krýslové, Ph.D., hlavně za pomoc v začátcích mého studia. Za cenné rady, věnovaný čas a za připomínky si zaslouží poděkování vedle mé rodiny také mnoha dalších, kteří přispěli k vytvoření této disertační práce. Samotnou práci bych rád věnoval svému synovci Vojtěchu Vancovi, který v době dokončování této práce bude slavit své 2. narozeniny a přeji mu krásný život plný poznání a osobních úspěchů.

OBSAH

OBSAH	5
SEZNAM ZKRATEK A SYMBOLŮ	7
1. ÚVOD	9
1.1 HISTORIE VÝVOJE SLÉVÁRENSKÝCH SMĚSÍ V ČESKÝCH ZEMÍCH.....	10
1.2 CÍLE ŘEŠENÍ DOKTORSKÉ PRÁCE.....	21
1.3 PUBLIKACE VZTAHUJÍCÍ SE K ŘEŠENÍ DOKTORSKÉ PRÁCE	22
2. CHARAKTERISTIKA FORMOVACÍCH A JÁDROVÝCH SMĚSÍ [1], [4], [6], [7]	24
2.1 CHARAKTERISTIKA VYBRANÝCH SLÉVÁRENSKÝCH POJIV	30
3. DŮSLEDKY TEPELNÝCH PROCESŮ VE SLÉVÁRENSKÝCH FORMÁCH [1], [2], [4], [12]	41
3.1 TEPELNÉ DILATACE SLÉVÁRENSKÝCH FOREM A JADER	41
3.2 MECHANISMUS VZNIKU A VÝVINU PLYNŮ A PAR V PÍSKOVÝCH FORMÁCH.....	44
3.2.1 PLYNOTVORNOST FORMOVACÍCH A JÁDROVÝCH SMĚSÍ	48
3.2.2 ZPŮSOBY VZNIKU PLYNŮ U FORMOVACÍCH A JÁDROVÝCH SMĚSÍ [1]	51
3.2.3 POPIS VZNIKU A PRONIKÁNÍ PLYNU Z FORMY NEBO JÁDRA DO TAVENINY	54
3.2.4 KONDENZAČNÍ ZÓNA PŘI TEPELNÉM OVLIVNĚNÍ SMĚSÍ S VODOU	57
3.3 METODY SLEDOVÁNÍ PLYNOTVORNOSTI A DILATAČNÍCH VLASTNOSTÍ FOREM A JADER [2].....	62
3.3.1 METODY MĚŘENÍ PLYNOTVORNOSTI PŘÍMÉ – PROVOZNÍ.....	64
3.3.2 METODY MĚŘENÍ PLYNOTVORNOSTI NEPŘÍMÉ - LABORATORNÍ.....	66
3.3.3 METODY SLEDOVÁNÍ DILATAČNÍCH VLASTNOSTÍ	68
4. VÝPOČTOVÉ METODY PŘI SLEDOVÁNÍ TEPELNÉHO ZATÍŽENÍ SLÉVÁRENSKÝCH FOREM A JADER.....	70
4.1 VÝPOČTY UVOLNĚNÝCH PLYNŮ PRO SLEDOVANÉ CHEMICKÉ REAKCE.....	70
4.2 VÝPOČTY ZMĚN GIBBSOVY ENERGIE PRO SLEDOVANÉ CHEMICKÉ REAKCE	71
5. EXPERIMENTÁLNÍ MĚŘENÍ PLYNOTVORNOSTI	80
5.1 CHARAKTERISTIKA SOUČASNÉHO ZAŘÍZENÍ PRO MĚŘENÍ PLYNOTVORNOSTI....	80
5.2 NÁVRH A POPIS METODIKY PŘÍPRAVY VZORKŮ PRO SLEDOVÁNÍ PLYNOTVORNOSTI	86
5.3 SLEDOVÁNÍ PLYNOTVORNOSTI VYBRANÝCH SLÉVÁRENSKÝCH SMĚSÍ	89
5.4 VYHODNOCENÍ ZÁZNAMŮ MĚŘENÍ PLYNOTVORNOSTI.....	97

6. EXPERIMENTÁLNÍ MĚŘENÍ DILATACE	112
6.1 CHARAKTERISTIKA SOUČASNÉHO ZAŘÍZENÍ PRO MĚŘENÍ DILATACE	
SLÉVÁRENSKÝCH SMĚSÍ.....	112
6.2 NÁVRH A POPIS METODIKY PŘÍPRAVY VZORKŮ PRO MĚŘENÍ DILATACE	114
6.3 SLEDOVÁNÍ PRŮBĚHU DILATACE VYBRANÝCH SLÉVÁRENSKÝCH SMĚSÍ	116
6.4 VYHODNOCENÍ ZÁZNAMŮ MĚŘENÍ DILATACE	119
6.5 VÝPOČET HODNOT SOUČINITELE TEPLITNÍ DILATACE	129
6.6 SLEDOVÁNÍ SOUVISLOSTÍ MEZI PLYNOTVORNOSTÍ A DILATACÍ U VYBRANÝCH SLÉVÁRENSKÝCH MATERIÁLŮ	133
7. DISKUSE VÝSLEDKŮ	138
8. ZÁVĚR.....	153
SEZNAM LITERATURY.....	160
SEZNAM OBRÁZKŮ.....	164
SEZNAM TABULEK	166

SEZNAM ZKRATEK A SYMBOLŮ

A	součinitel plynového průchodu směsi	[cm ³ .s ^{-1/2}]
a	střední teplotní vodivost formy	[m ² .s ⁻¹]
a, b, c, c'	experimentálně stanovené konstanty	[1]
a_F	součinitel teplotní vodivosti vysušené vrstvy formy	[m ² .s ⁻¹]
C	molová tepelná kapacita	[J.kmol ⁻¹ .K ⁻¹]
c	měrná tepelná kapacita (měrné teplo)	[J.kg ⁻¹ .K ⁻¹]
c_F	střední měrná tepelná kapacita materiálu formy při teplotním intervalu T _F až T _V ;	[J.kg ⁻¹ .K ⁻¹]
c_F	střední měrná tepelná kapacita materiálu formy	[J.kg ⁻¹ .K ⁻¹]
c_V	měrná tepelná kapacita vody	[J.kg ⁻¹ .K ⁻¹]
d_i	průměr částice	[cm]
G	Gibbsova energie	[J]
H	entalpie	[J]
H_F	hloubka prohřátí formy	[m]
K_F	koeficient prohřátí formy	[m.s ^{1/2}]
L_{KR}	latentní krystalizační teplo materiálu odlitku	[J.kg ⁻¹]
L_V	výparné teplo vody	[J.kg ⁻¹]
m	hmotnost	[kg]
M	relativní molová hmotnost látky	[g]
m_c	celková hmotnost všech frakcí	[g]
M_{CaCO₃}	molární hmotnost CaCO ₃	[kg . kmol ⁻¹]
m_{či}	hmotnost částice	[g]
m_i	hmotnost frakce ostriva	[g]
n₃	stupeň náhradní křivky pro 3. oblast (n ₃ = 3)	[1]
p	tlak	[Pa]
P_a	atmosférický tlak	[Pa]
P_f	přetlak plynů ve formě	[Pa]
P_m	metalostatický tlak	[Pa]
P_p	odpor kovu proti vniknutí plynové bublinky	[Pa]
P_{pf}	přetlak plynů nad hladinou roztaveného kovu	[Pa]
q_{TP}	měrné množství vyloučených plynů při teplotě T _P (vztaž. k 1 % pojiva)	[cm ³ .g ⁻¹]
r	měrná plynová konstanta	[J . kg ⁻¹ K ⁻¹]
ρ_Φ	hustota formy	[kg.m ⁻³]
ρ_{xΦ}	hustota převlhčené směsi v kondenzační zóně	[kg.m ⁻³]

s	procento pojiva ve formovací směsi	[%]
S	plocha styku odlitku a formy	[m ²]
S	Entropie	[J.K ⁻¹]
S_{gi}	povrch 1g frakce	[cm ² . g ⁻¹]
S_{mi}	měrný povrch frakce	[cm ² . g ⁻¹]
T	Teplota	[K]
t	doba ohřevu	[s]
t_p	čas vývinu plynů	[s]
T_F	počáteční teplota formy	[°C, K]
T_P	teplota při které končí vylučování plynné fáze	[°C, K]
T_{pF}	přírůstek reakčního tepla během reakce	[°C, K]
T_V	teplota ohřátého povrchu formy	[°C, K]
T_{PR}	teplota na lící formy	[°C, K]
T_S	teplota, kdy dochází k vylučování plynů ve formě	[°C, K]
T_V	teplota vypařování	[°C, K]
v	objem uvolněných plynů	[cm ³]
V	měrný objem	[m ³ · kg ⁻¹]
V₀	objem soustavy měřicího zařízení	[m ³]
V_m	molový objem plynu	[m ³ · kmol ⁻¹]
w₃	vlhkost ve 3. oblasti pískové formy v místě x (tj. rozhraní 2. a 3. oblasti)	[%]
w_F	výchozí obsah vlhkosti	[%]
w_{KZ}	obsah vody v kondenzační zóně	[%]
Δp	změna tlaku	[Pa]
ΔV	změna objemu	[m ³]
λ_F	součinitel tepelné vodivosti formy	[W.m ⁻¹ .K ⁻¹]
ξ₀	tloušťka ztuhlé vrstvy odlitku v časovém okamžiku t.	[mm]
ΔC_p	změna molové tepelné kapacity během reakce	[J.K ⁻¹]
ΔH	změna entalpie	[J]

1. ÚVOD

Slévárenství je jedním z nejdůležitějších odvětví jak světového, tak i našeho průmyslu. Výroba odlitků v České republice byla na přelomu tisíciletí ovlivněna prudkým rozvojem automobilového průmyslu. České odlitky automobilových dílů si úspěšně nacházejí své zákazníky i v zahraničí a napomáhají tak tomu, že české slévárenství se stává skutečně jedním z nejvýznamnějších a nejúspěšnějších odvětví našeho hospodářství a nabývá tak už i evropského významu. Ačkoliv dominantní postavení v objemu výroby na trhu zaujímají slitiny železa (litina s kuličkovým grafitem, litina s lupíkovým grafitem, popř. ocel na odlitky apod.), slitiny neželezných kovů (Al, Zn, Cu, apod.) vykazují největší růstový potenciál. Proto je v současné době snaha vyrábět odlitky, které v co největší míře splní zákazníkovy požadavky na kvalitu při současném zachování či zvýšení efektivnosti výroby a produktivity práce i s ohledem na ekologickou únosnost.

Ke splnění těchto cílů napomáhá i uplatňování nových formovacích a jádrových směsí, které již více splňují přísná ekologická kritéria. Protože pojivové systémy těchto směsí bývají dosti často na organickém základě, je nebezpečí většího uvolňování plynů proti pojivům anorganickým. Z tohoto důvodu je nutno neustále zdokonalovat metody jejich analýzy. Mezi tyto metody se řadí např. sledování plynnotvornosti a dilatačních vlastností formovacích a jádrových směsí při jejich tepelném ovlivnění. Sledování těchto jevů je věnována velká pozornost, avšak provádění experimentálních měření vyžaduje použití speciálních měřicích zařízení. Pro sledování plynnotvornosti byla vypracována celá řada analyzačních metod. Mezi standardně vyráběná zařízení pro měření plynnotvornosti se řadil např. přístroj Ströhleinův, který sleduje množství plynů uvolněných ze zahřátého vzorku na základě změny výše hladiny kapaliny. Dalším zařízením je přístroj známý pod označením PGM od švýcarské firmy +GF+ a jeho zdokonalený typ označovaný PGD. Systém obou přístrojů využívá kalibrovanou byretu, což vyžaduje náročnou obsluhu. Přístroj PGD měří tlak uvolněných plynů zahřívaného vzorku směsi pomocí manometru. Podobně je tomu s vývojem a konstrukcí měřicího zařízení pro sledování dilatačních vlastností formovacích a jádrových směsí během jejich zahřívání.

Na katedře strojírenské technologie TU v Liberci byla od 80. let minulého století zkonstruována celá řada měřicích zařízení, jak pro měření plynnotvornosti, tak pro sledování dilatačních vlastností formovacích a jádrových směsí. V oblasti sledování

plynnotvornosti byla vždy snaha, aby vyvinuté měřící zařízení bylo založeno na měření množství uvolněných plynů nebo jejich tlaku a aby výsledkem byla registrace výsledků v závislosti na čase. Tato zařízení byla postupně zdokonalována.

Můj podíl na zdokonalení obou zařízení souvisí s jejich rekonstrukcí, s vytvořením podpůrných programů pro registraci uvolněných plynů a měření dilatace, nastavení parametrů a přípravy správného technologického postupu měření pro přesnější výsledky měřených vzorků a s přípravou správného technologického postupu přípravy vzorků.

V příloze č. 1 je uveden popis a schéma zařízení pro měření plynnotvornosti, které bylo na tomto pracovišti (dnes Katedra strojírenské technologie, FS TU v Liberci) zkonstruováno v 80. letech minulého století.

Podobným vývojem prošlo i zařízení pro sledování dilatačních vlastností formovacích a jádrových směsí. Konstrukce dilatometru z 80. let též byla provedena na našem pracovišti a je uvedena v příloze č. 2.

1.1 Historie vývoje slévárenských směsí v českých zemích

Jak je obecně známo, počátky slévárenství ve světovém měřítku spadají do období cca 6 000 let před naším letopočtem. Předpokládá se, že pro zhotovení odlitků sloužila jako formovací materiál hlína, popř. kamenné formy (kadluby). Z dob cca 1300 před n. letopočtem jsou také známé hliněné formy na tzv. ztracený vosk.

Určitý vývoj slévárenství nastal v 18. století, v období průmyslové revoluce a rozvojem textilní výroby. K dalšímu výraznému vývoji dochází na počátku 20. století. V této době se pro výrobu forem používala pojiva na základě jílů a pro výrobu jader olejová pojiva. 30. léta minulého století jsou spojena s prvními zmínkami o výrobě forem zmrazováním BEDNÁŘOVÁ [75]. Další vývoj materiálů forem a jader nastává v období 2. světové války a po válce. Např. patent Croninga z roku 1944, týkající se pryskyřice a u nás známý patent Petržely z 12.12.1947, kde využívá pojivo ve formě vodního skla vytvrzeného CO₂, viz příloha č. 3. Později se začínají intenzivněji uplatňovat organické pojivové systémy, které přispívají k vysoké produktivitě především výroby jader. Značný vývoj v oblasti uplatnění formovacích a jádrových směsí nastal s rozvojem automobilového a leteckého průmyslu. V současné době je tento vývoj úzce spojen s otázkami ekologickými a ekonomickými.

Samotný vývoj a použití typů formovacích a jádrových směsí lze dokumentovat pouze na základě vědeckých publikací v odborné literatuře odpovídající doby. Bohužel, u nás to dlouhá léta mohlo být pouze prostřednictvím odborného časopisu Slévárenství nebo Litějnov proizvodstvo, později německého časopisu Gißerei. Vybrané publikace plně pokrývaly potřeby doby, možnosti a k tomu odpovídající kvalitu produkovaných odlitků. Vývoj s sebou nenesl pouze hledisko ceny, kvality, dostupnosti, ale čím více se blížíme k dnešní době, můžeme sledovat zvyšující se důraz na ekologii, životní prostředí a v neposlední řadě na zdraví zaměstnanců, kteří denně s těmito materiály přicházejí do styku.

Padesátá léta minulého století zaznamenala počátek chemizace výroby forem a jader. K tomu výrazně přispěl již zmíněný objev Lva Petržely a jeho patent čs. 81 931: „Chemicky tvrzené směsi na bázi vodního skla vytvrzené CO₂“. Takto tvrzené směsi byly postupně zaváděny do slévárenské výroby. Pro tuto metodu byla důležitá zdravotní nezávadnost, rychlosť procesu, která současně umožňovala výrobu forem a jader bez sušení.

Šedesátá léta minulého století jsou obdobím vzniku vazných a polovazných CT směsí. Petržala se začal zabývat zvýšením rozpadavosti klasických CT směsí. První publikace o samotvrdnoucích směsích s vodním sklem (ST směsi, s výraznou exotermickou reakcí, metoda N) jsou z roku 1963, jak uvádí JELÍNEK [6]. V tomto období začíná být věnována pozornost i organickým pojivům. Značná pozornost byla věnována použití fenolformaldehydové pryskyřice jako pojiva, které se ovšem později ukázalo jako zdravotně nevhodné, až závadné. V těchto letech byly také uveřejněny zkušenosti s výrobou skořepinových forem pro žebrované válce metodou horkých jaderníků [18], bylo upozorňováno na nutnost zhušťování směsi vstřelováním.

Jde o metodu výroby tenkostěnných nebo převážně dutých jader (představují skořepinový obal) ze suché, dokonale sypké směsi, která se skládá z křemenného ostřiva, z teplem tavitelné a tvrditelné pryskyřice a popř. dalších přísad. Jako pojivo je použita fenolformaldehydová pryskyřice, jejíž teplota termodestrukce je kolem 900 °C. Tento objev znamenal velký krok ve slévárenství, hlavně svým netradičním přístupem, a to použitím v širším měřítku znalosti chemie při výrobě forem a jader. Vývoj dnešních moderních směsí, jejich zkoušení a inovace jsou založeny především na znalosti chemické podstaty těchto směsí a probíhajících reakcích.

V roce 1964 byla prezentována výroba jader s použitím hlavně CT směsi, pryskyřičných, olejových, škrobových pojiv, melasy a další speciálních směsí, jak uvádí MACA A SEDLÁK [19]. Dále ROTTER a FOŠUM [20] sledovali vlastnosti vazných formovacích směsí s vodním sklem a bentonitem. V této době se začínala v různých slévárnách uplatňovat chemizace procesu výroby jader, např. v Moravských železárnách začali používat metodu Hot-Box. V této době se také začala používat jádra na bázi termosetů (dnes se označují reaktoplasty) rychle vytvrdatelných teplem obchodního značení: Dextroner S7, Glukopren, furanové pryskyřice, fenol- resolové pryskyřice FR 75 a fenol-cukr-resolová pryskyřice, HODAŇ [21].

K lití velkých a tlustostěnných ocelových odliteků, které se dříve provádělo do sušených šamotových forem, se začalo využívat vazných CT směsí s přísadou určitého množství bentonitu. (85% ostřiva, 5% vodního skla, 10% jílu), jak uvádí HIRSCH, EINERT, FISCHER [22].

S rozvojem formovacích směsí byly také čím dál více uplatňovány kontrolní metody, v 60. letech minulého století byl mimo jiné započat výzkum teplotní roztažnosti formovacích směsí. Firma BCRA pro tyto potřeby vyvinula potřebný přístroj. Teplotní roztažnost materiálů byla sledována hlavně u formovacích směsí používaných pro přesné lití, jak publikuje LEADBETTER A LINDOP [29].

V roce 1966 bylo PYTLÍKEM a KOCOURKEM [23] prezentováno použití nového druhu pryskyřice pro výrobu samotuhnoucích jader (označení urychlovače F a katalyzátoru ESM 38). Dříve byla pro výrobu odlitků textilního průmyslu používána jádra z pryskyřice označované Balit FAM (směs tvoří poměr 100 kg křemenného ostřiva T2S, 2,5 kg pryskyřice – vedené pod názvem urychlovač F a 2 kg katalyzátoru ESM 38).

V tomto období OTÁHAL a SCHNAIDER [24] prezentovali jádrové směsi s přísadami, které vytvářejí odolnost proti deformacím ve spěchovaném tvaru. Byly to směsi s modifikovanými škrobovými deriváty. Pro výrobu olejových jádrových směsí byly používány modifikované a oxidované škroby, které zvyšují vaznost a rozměrovou stálost směsí za syrova při jejich vysoké tekutosti. U bentonitových formovacích směsí modifikované škroby zvyšují podstatně pevnost směsi po vysušení.

Značná pozornost byla věnována i CT směsím vytvrzovaných CO₂ využívaných pro výrobu ocelových odlitků. Dříve se CT směsi často označovaly chemicky tvrzené směsi (křemenného ostřiva pojené vodním sklem, u kterých se dosáhne požadovaných

mechanických vlastnosti profouknutím formy plynným CO₂). Směsi mají dobrou tekutost, jednoduchou přípravu, zvýšenou odolnost vůči zástrupům, kvalitní povrchovost odlitků a menší přídavky na opracování [25]. ROUS a PODOLNÍK [28] prezentovali rozbor vlivů CT směsi na tvorbu trhlin u ocelových odlitků.

Chemicky tvrzené směsi přinesly velké změny ve slévárenské výrobě a jejich technologiích. Na jejich základě probíhal vývoj nových samotvrchnoucích směsí s vodním sklem (tzv. ST směsi).

V této době pro velké odlitky o hmotnosti několika desítek tun a tloušťce stěny cca 120 mm se začaly používat chrommagnezitové formovací směsi na syrovo. Jsou to směsi bentonitové a směsi CT s křemenným ostřívem označované jako CT-SiO₂ směsi. Následně byla hledána i nová ostřiva, aby směsi vykazovaly vyšší tepelnou odolnost a lepší technologické vlastnosti, tuto problematiku publikovali JELÍNEK [30], MACÁŠEK, RUSÍN, JIRÁK [31].

V roce 1966 DVORÁK [26] popisuje problematiku výroby jader do kovových jaderníků s použitím technické močoviny při výrobě přesných odlitků. POZONEV [27] se ve stejném roce zabývá fyzikálně-chemickými vlastnostmi bentonitů. Hlavní pozornost byla věnována sodno-vápenatým bentonitům, které byly vhodné pro výrobu forem.

V roce 1968 DOŠKÁŘ a GABRIEL [33] publikovali poznatky o kvalitě samonosné skořepiny na výrobu přesných odlitků. Konkrétně byl sledován vliv obalové hmoty a sušení obalů na pevnost keramických forem. Směs byla připravována z křemenné moučky a kapalného pojiva, zde byl používán etylsilikát 40. Tento materiál je určen pro výrobu forem na vytavitelný model.

JELÍNEK [34] publikoval výsledky o rozpadavosti CT směsí, konkrétně rozpadavost směsí vlivem Al₂O₃. Koncem šedesátých let MACÁŠEK a RUSÍN [36] publikovali poznatky o použití karbamidových směsí pro výrobu slévárenských forem a jader. Karbamidové pryskyřice jsou v podstatě dvousložková syntetická lepidla. Výrobu malých a středních jader a forem je možno provést samovolně, technologií karbamidových směsí, pomocí katalyzátoru, který ovlivňuje polarizaci pryskyřice.

PAULÍČEK HŘIVNAK [35] se zabývali charakteristikou ztekucených formovacích směsí s vodním sklem, které jsou vhodné při výrobě větších forem a jader. Použité suroviny jsou vodní sklo, silikát a křemenné ostřivo. Výsledná směs má nižší zbytkovou pevnost než běžná CT směs.

K roku 1968 jsou datovány začátky metody Cold-Box, která byla vyvinuta ve Spojených státech amerických pod označením Cold-Box Ashland Proces.

Sedmdesátá léta minulého století - i v této době byla značná pozornost věnována CT směsím vytvrzeným CO₂, řešily se některé nedostatky původní metody, především rozpadavost jader. Vedle používaného CO₂ se věnovala pozornost i dalším plynným látkám. Např. zkoušky ukázaly, že profukování CT směsi vzduchem je neúčinné. Vzduch byl používán u speciální vytvrzovací metody Zerasol, která tvoří disperzní soustavu. Vzduch musí mít teplotu asi 300°C. Rozpadavost směsi se blíží rozpadu směsi s organickými pojivy BURIAN a POLÁŠEK [37].

V roce 1972 se u nás objevily publikace uplatňující i statistické metody určené ke kontrole vhodnosti slévárenských směsí. Např. měření prodyšnosti BODEČEK [38] statistická metoda hodnocení granulometrické skladby umělých ostřív [39], která zavádí kriterium granulometrie logaritmu pravděpodobnosti uspořádání (log w). Dále např. měření roztažnosti a pevnosti skořepin z vybraných žáruvzdorných materiálů pro přesné lití ŠEVČÍK, GABRIEL [40]. Všechny výzkumy prováděné v této době byly za účelem zvýšení kontroly formovacích směsí s následně lepší kvalitou odlitků. V tomto smyslu bylo prováděno i sledování ovladatelného ztužování jader. Ukázalo se, že dostatečnou rozpadavost jader zajišťují pojivové systémy na základě organických pryskyřic. Za tepla, tj. metoda Hot Box s kyselým katalyzátorem a později fenolické pryskyřice s izokyanáty vytvrzovány triethylaminem [41].

V roce 1973 publikoval JELÍNEK [42] nové použití kriteria zrnitosti log w ke stanovení optimálního poměru dvou a více frakcí při přípravě ostřív. Studiem granulometrické skladby plniva u organických formovacích směsí s výrazně odlišnými technologickými a mechanickými vlastnostmi se zabývali HANAL a RŮŽIČKA [43]. Výrobu jader metodou Hot Box s použitím směsi obsahujících polyvinylalkohol a zvláštní přísady řešil kolektiv autorů ANGELOV, MOKEDONSKI, DOBREM, WOLKOW [46]. Jádra, na jejichž výrobu byly použity furanové pryskyřice, byly vytvrzovány speciálními kyselinami.

Značná pozornost byla věnována chrommagnezitovým směsím (CrMg), které se rychle rozšířily do oblasti výroby těžkých odlitků. Pojivem těchto směsí je bentonit. Současně byly používány i směsi CT-CrMg, tj. s vodním sklem a tvrzené CO₂, kde bylo chrommagnezitové ostřivo. Tyto směsi mají vysokou odolnost proti zálupám.

V tomto roce byly publikovány výsledky studia příčiny a důsledku cristobalitické expanze u směsi s vodním sklem. Teoreticky i experimentálně se autoři pokoušeli vysvětlit cristobalitickou expanzi směsi SiO₂-CT (CO₂). Dále byly studovány obecné zákonitosti destrukcí slévárenských formovacích směsí, a to konkrétně jejich morfologie zrnitých obálek slévárenských pojiv (resp. obálek pojiva) kolem zrn ostřiva a typ jejich destrukce. Byly sledovány obecné zákonitosti mezi ostřivem a pojivem u formovacích směsí [45]. MACA a KRÁLÍK [47] se zabývali otázkami použití samotvrdnoucích slévárenských směsí. Sledovali cementové směsi, směsi na základě furanových pojiv a samovolně tvrdnoucí směsi na bázi vodního skla.

V roce 1974 byly publikovány poznatky o fenolických pojivových systémech pro výrobu směsí vytrvaných ve studených jadernících. Konkrétně byly sledovány mechanismy vytrzování fenolických pryskyřic pomocí kyselých vytvrzovadel [48]. V této souvislosti bylo konstatováno, že použití močovinoformaldehydových pryskyřic pro metodu Hot Box je omezeno. V této době byly také publikovány poznatky o pojivu, resp. pryskyřici, která byla známá pod označením Umacol CM (výrobce VCHZ Pardubice), což byla močovinoformaldehydová pryskyřice obsahující 1% volného formaldehydu, VESELÝ [49].

V roce 1975 byla publikována PAVLISKOU [50] výroba chemicky vytvrzovaných jader vyrobených ve studených jadernících na automatické lince. Tato výroba jader byla založena na použití látek Gisanol B (pojivo), Gisanol H (katalyzátor) a Inocar (inhibitor).

V polovině 70. let dochází ke značnému zájmu o technologii výroby zmrazených forem. V odborné literatuře je vznik spojován s Velkou Británií, i když postupně se o tuto výrobu začalo zajímat Japonsko, Německo, Francie i Rusko. Dnes se tento způsob výroby forem označuje metodou EFF-SET a základním médiem pro jejich výrobu je kapalný dusík.

DLAZEK [51] publikoval v roce 1976 výhody samotuhnoucí směsi s organickými pojivy např. furanovými pryskyřicemi nebo s modifikovanými fenolickými pryskyřicemi typu Sinotherm nebo Habrinol. Bylo konstatováno, že fenolické pryskyřice lze použít pro přípravu ST směsí pro výrobu jader pro odlitky z litiny s lupínkovým grafitem, avšak většímu využití ST směsí brání vysoká cena. Ve stejném roce VESELÝ [52] uvedl možnosti využití domácích směsí na bázi organických pojiv. Byl vypracován návrh úpravy močovinoformaldehydových pryskyřic etylenglykolem.

Od poloviny 50. let minulého století jsme svědky prudkého rozvoje samotuhnoucích směsí se syntetickými pryskyřicemi. Prosazují se směsi s vodním sklem a kapalnými tvrdidly. V roce 1977 KŘÍSTEK a BURIAN [53] publikovali poznatky a vlastnosti samotuhnoucí směsi s vodním sklem a kapalným tvrdidlem Esterol. Stejné duo autorů shrnulo základní vlastnosti koloidních soustav na bázi vodních skel [54].

V druhé polovině 70. let ULRICH a RUMLER [55] publikovali některé speciální metody pro zkoušení formovacích hmot. Jednalo se konkrétně o přípravu zkušebních těles, povrchové vlastnosti ostrív, zkoušení z hlediska plynových vad. Současně uvádí i význam sledování vlastností za vysokých teplot, jako jsou např. zkoušky dilatačních a mechanických vlastností za vysokých teplot. Uvedli schéma měřicího zařízení pro měření plynnotvornosti. Pro laboratorní zkoušení plynnotvornosti formovacích a jádrových směsí byl určen přístroj PGD firmy Georg Fischer ze Švýcarska, kde samotná zkouška probíhá v atmosféře inertního plynu.

V roce 1979 prezentovala firma AFS International [56] poznatky o rozkladu pojiv během odlévání do forem a složení jejich exhalací. Tato publikace ukazuje rozkladové produkty a některé výsledné hodnoty. V této době KŘÍSTEK a BURIAN [57] prezentovali příspěvek o kinetice vytvrzování samotvrdnoucích směsí s vodním sklem a esterovými tvrdidly, resp. o působení esterů na vodní sklo. V tomto období je také věnována další pozornost zkoušení formovacích a jádrových směsí. Švýcarská firma Georg Fischer A.C. [59] popisovala přístrojové vybavení laboratoří a odbornost personálu pro jeho ovládání.

V této souvislosti je nutno uvést, že švýcarská firma Shaffhausen +GF+ začala již ve 40. letech vyrábět a dodávat zkušební přístroje pro laboratoře formovacích směsí.

Dalším výrobcem zkušebních přístrojů byla americká firma Dietert Co., jejíž výrobní sortiment byl stejný jako +GF+. V socialistických zemích to bylo Maďarsko, které v licenci +GF+ vyrábělo slévárenské vyhodnocovací a zkušební zařízení. Polsko vyrábělo zařízení zase v licenci Dietert Co. Kvalita těchto přístrojů v té době byla velmi dobrá. Svého času vyráběla také některé přístroje Zbrojovka Brno, což bylo v 50. a 60. letech, za doby působení dr. Petržely.

Osmdesátá léta minulého století, v roce 1980 FOŠUM [60] uvádí upřesněné názvosloví v oblasti formovacích látek. Tato publikace objasňuje charakteristiky, jako je formovací směs, co je proces zpevňování, co je pojivová soustava a dále rozdíl mezi

organickými a anorganickými pojivy. HORÁČEK, PAVELEK a RUSÍN [65] v této době věnovali pozornost skořepinovým formám a tuhnutí odlitků v těchto formách. V tomto období byla značná pozornost věnována anorganickým pojivům a výrobě přesných odlitků. Byly publikovány poznatky technologie o výrobě přesných odlitků v sádrových formách, zvláštní pozornost je věnována napěněným sádrovým formám, jejich tepelnému zpracování a výrobě odlitků, HOLUBEC [64]. HORÁČEK a kol. [66] publikovali poznatky o aplikaci elektro-fyzikálních metod k identifikaci vytvrzování systému vodní sklo-Esterol. V oblasti organických pojivových systémů byla neustálá snaha o uplatňování zdravotně a ekologicky příznivých pojiv.

V tabulce 1-1 je pro ilustraci uveden přehled výroby jader v letech 1977 a 1986 v SRN, podle KLOBÁSKY a NOVOTNÉHO [61].

Tabulka 1-1 Přehled výroby jader v r.1977 a v r.1986 v SRN [%], [61]

Směs	Slévárny	
	1977 [%]	1986[%]
Bentonit	4,4	0,1
směsi pro CO ₂	14,1	6,9
cementové směsi	3,1	0,6
Olejové	3,2	0,27
metoda Cold Box	8,8	29,8
metoda Hot Box	28,9	26,3
metoda Croning	19,6	18,2
samotvrdnoucí směsi	17,4	14,2
jiné, ostatní	0,5	3,63

V důsledku šetření nákladů na energii došlo k prudkému vývoji uplatnění metody Cold-Box.

Devadesátá léta minulého století, byl sledován další vývoj metody Cold Box, bylo zjištěno, SCHEREY [77], že se vysoce reaktivní polyuretanová pojiva i přes vysokou okamžitou pevnost vytvrzují pomaleji. Při opakovaném ověřování těchto souvislostí u nově vyvinutých polyuretanových pojiv, vyplynul nový poznatek, že vysoce reaktivní pojiva se ve srovnání s pojivy s nižší reaktivitou, stále ještě vyznačují vysokou okamžitou pevností při současně sníženém dodatečném vytvrzení. Též se ukázalo, že moderní polyuretanová pojiva pro metodu Cold Box mají mimořádně vysokou rychlosť vytvrzování, a přitom vyžadují minimální množství aminu. V roce 1993 KLOBÁSKA a NOVOTNÝ [61] publikuje o technologii Cold-Box-Amin, která byla použitá ve firmě Zetor Brno pro výrobu jader hlav motorů. Nástup organických

pojiv, především umělých pryskyřic, do výroby forem a jader vyvolal v průběhu minulého období pokles zájmu o pojivové systémy na bázi vodního skla, avšak zpřísňování norem na ochranu životního prostředí v tomto období, bylo hybnou silou pro aplikaci alkalických křemičitanů nové generace (strukturálně upravená vodní skla). V této souvislosti je třeba uvést, že nedostatky původní metody jsou průběžně řešeny od 50. let.

V polovině 90. let se v zahraniční literatuře začaly objevovat první zmínky o novém typu ekologicky nezávadného pojiva pro výrobu jader označované GMBOND® (směs vodou ředitelných biopolymerů, vtvrzování se provádí teplem), které řešilo problémy rozpadavosti jader Hot Box po odlití velmi tenkostěnných odlitků, CUPÁK [70]. V této době byla věnována značná pozornost ekologii, možnostem regenerace nejrůznějších formovacích a jádrových směsí, [62]. Konec minulého tisíciletí byl věnován vývoji zdravotně nezávadných a ekologicky příznivých pojiv.

Přelom tisíciletí, pokračoval ve znamení nových pojivových systémů zdravotně nezávadných a ekologicky výhodných. V roce 2003 japonská firma ITOCHU CERATECH CORP. představila převratnou novinku v oblasti ostřív, umělé ostřivo na bázi aluminosilikát-mullit (duté kuličky v široké plejádě zrnitosti), toto ostřivo vykazuje minimální tepelnou dilataci, je známo pod obchodním názvem Cerabead, JELÍNEK [74]. V tomto roce také kolektiv autorů KRAMÁŘOVÁ et al. [63] publikoval poznatky o ekologičtějších biogenních polymerních materiálech, které mohou být použity jako pojivo slévárenských formovacích a jádrových směsí. Výsledkem bylo navržení dvou typů pojiva na bázi proteinových molekul s označením ZMK a ZTK. Proteinové pojivo samotné, je odpadem farmaceutického průmyslu, je netoxické, nehořlavé a nereaktivní. Principem vytvrzování formovacích směsí s navrženými pojivy je pouze iniciace vyvolaná působením tepla. Neprobíhá zde dále žádná chemická reakce.

V současné době se celosvětový trend formovacích a jádrových směsí začal opět vyvíjet ve prospěch anorganických pojivových systémů FOŠUM a ŠEBESTA [73] a to jak z důvodů ekologických, tak i ekonomických. Tyto pojivové systémy zahrnují především metody německých firem, které jsou označovány jako např. AWB, Inotec, Brach-Box nebo Cardis, které již v roce 2007 charakterizoval JELÍNEK [74]. V této souvislosti konstatoval, že nastoupený trend vývoje jde dvěma směry – přes alkalické silikáty a anorganické soli. Metoda AWB a INOTEC využívá modifikovaná vodní skla.

Procesy vytvrzování jsou založeny na dehydrataci alkalických silikátů cestou Warm Box nebo mikrovlnným vytvrzováním. Dosahují vyšší pevnosti proti chemické konverzi (CO_2 proces, estery) a umožňují snížení obsahu pojiva. Skladovatelnost forem a jader je řešena přítomností aditiv, které přispívají i k regulaci pevnosti a dalších aditiv (technologie AWS, CORTIS a INOTEC). U solí (roztoků) je pevnost dosahována hydratačními pochody (Warm Box), ty jsou pomalé a proto jsou směsi před vstřelením do horkého jaderníku někdy předehřívány (Beach Box). Rozpadavost je řešena dehydratací, tj. námáčením komplexů odlitek – jádro.

Pokud jde o výrobu forem, jsou zaváděna nová anorganická pojiva, především v oblasti samotvrdnoucích (ST) směsí. Např. Firma Mazzon uvádí jako svou novinku ST směs na bázi modifikovaného vodního skla, které je uváděno názvem Vertogum 2000 Extra, vytvrditelného speciálními estery. Také před časem přišla s novým anorganickým pojivovým systémem společnost Sand Team. Jde o geopolymerní pojivo na bázi polysialátů (obchodní název Rudal A či Geopol), které je možno vytvrzovat tvrdidly na bázi esterů nebo profukování oxidem uhličitým.

V této souvislosti je nutno konstatovat, že rozvoj pojiv na anorganické bázi vede výrobce organických pojiv, především umělých pryskyřic, proti tomuto trendu. A to zásadními přestavbami pojivových systémů – především technologie Cold Box s cílem snížit nepříjemný zápach a zdravotně škodlivé exhalace. V této souvislosti je třeba uvést i skutečnost, že Polyuretan Cold Box proces (PUCB), který byl vyvinutý před 30 roky, představuje stále používanou technologii na bázi organického pojiva vytvrzovaného za studena pro výrobu jader ve slévárnách slitin železa i neželezných kovů. Důvodem je několik pozitivních faktorů, a to vysoká okamžitá pevnost jádra po vyjmutí z jaderníku, vysoká produktivita výroby jader, vynikající rozpadavost a příznivá cena. V současné době je vývoj této metody zaměřen na snížení emisí organických látek. Jsou vyvíjena vysoko reaktivní polyuretanová pojiva pro metodu Cold Box, která umožňují krátký výrobní cyklus jader, SCHEREY [77].

Organické pojivové systémy v této době hned po bentonitových směsích představují jak u nás, tak ve světě, největší objem výroby jader. Výrobci pojiv na bázi syntetických pryskyřic se soustřeďují nejen na technologické zdokonalení pojivového systému, ale především na minimalizaci škodlivin ve výrobním procesu a v deponiích. Např. firma Foseco vyvinula pro metodu Cold Box nový typ pojiva označovaný Politec s nearomatickými rozpouštědly, přísadou Noracel W 100 (proti výronkům) a nový typ

CO₂ rezolu Ecolotec u něhož jádra nevyžadují nátěr FOŠUM a ŠEBESTA [73]. Firma Mazzon vyvinula furanovou pryskyřici Ecofur 3100 Extra s nulovým obsahem volného fenolu a formaldehydu a s obsahem dusíku pod 1 %. Prakticky všechny technologické a ekologické trendy vývoje současných organických pojiv v našich podmínkách zabezpečuje firma ASK Chemical Hüttenes – Albertus. V tomto období publikovali JELÍNEK a MIKŠOVSKÝ [68] charakteristiku vyvinutého aditivovaného anorganického pojiva na bázi alkalických silikátů, označované Desil - J, které podstatným způsobem zlepšuje vlastnosti forem a jader, zvláště rozpadavost po odlítí. Pojiva tohoto typu jsou určena pro technologii samotvrdnoucích směsí (směsi – ester, směsi CO₂ - proces).

V tomto období je pro výrobu jader prezentován anorganický pojivový systém pod názvem INOTEC® využívající tříkomponentní složky: silikátové pojivo (1,8 až 2,5 %), urycholovač reakce (0,1 až 1 %) a v případě nutnosti také speciální ostřivo označované INOMIN® (tvoří 1 až 30 %) hmotnosti křemenného ostřiva, které je součástí při přípravě směsi s tímto pojivovým systémem, MÜLLER a TEGEL [76].

V tomto období nachází uplatnění především zdravotně nezávadná pojiva, mezi která se řadí tzv. geopolymerní pojiva. Geopolymery jsou předmětem výzkumu posledních deseti let a jsou na anorganické bázi. Pojem geopolymer před třicí lety použil profesor Davidovits pro látku, která vzniká anorganickou polykondenzací - geopolymerezací. Geopolymery jsou také alkalické aluminosilikáty (materiály obsahující Si, Al a alkalický prvek Na nebo K). Tyto geopolymery se vyznačují nízkým stupněm polymerace při vysoké rychlosti vytvrzování. V Česku je tento způsob patentován č. 297578 a v zahraničí č. 454040 pod označením technologie GEOPOL, která je určena pro výrobu samotvrdnoucích směsí, BURIAN [71]. Také bylo přestaveno geopolymerní pojivo pod označením RUDAL (geopolymer alkalické povahy obsahující SiO₂ a Al₂O₃), které je určeno jak pro přípravu samotuhnoucích směsí forem a jader a lze ho použít i pro výrobu jader vytvrzovaných CO₂. Vedle těchto pojiv s ohledem na příznivé ekologické podmínky, dobré mechanické vlastnosti a příznivou rozpadavost, nalézají v oblasti pojiv uplatnění deriváty celulózy, LACHMAN [72].

Pokud se jedná o pojivové systémy na bázi jílů, mají neustále význam i směsné bentonity s vyššími užitnými vlastnostmi a účinnými nosiči lesklého uhlíku. Tyto materiály v českých podmínkách zabezpečuje především firma Keramost. I v této oblasti byly v zahraničí vyvinuty různé bentonitové směsi, jako např. směs SPEFOL,

tj. bezvodá bentonitová směs s velmi jemným křemitým ostřivem, lití probíhá bez sušení a ochranných nátěrů JELÍNEK [74].

I přes značné množství pojivových systémů, které jsou ve stručné míře výše uvedeny, je třeba konstatovat, že otázka plynnotvornosti směsí a jejich tepelná dilatace je neustálým jevem, který se při aplikaci pojiv formovacích a jádrových směsí vyskytuje. Proto má značný význam sledování obou těchto vlastností u nově vyvíjených nebo aplikovaných formovacích a jádrových směsí. V tomto smyslu je také řešena tato disertační práce.

1.2 Cíle řešení doktorské práce

Cílem této disertační práce je vytvoření uceleného přehledu důležitých vlastností slévárenských formovacích a jádrových materiálů se zaměřením na měření uvolněných plynů a tepelné dilatace při tepelném namáhání.

Disertační práce bude zaměřena na tyto dílčí cíle:

1. Shrnutí dosavadních poznatků o vývoji pojivových systémů pro výrobu forem a jader.
2. Charakterizovat důsledky tepelného ovlivnění forem a jader z pískových formovacích směsí.
3. Aplikovat fyzikálně-chemické výpočty pro reakce, které probíhají během tepelného namáhání forem a jader.
4. Provést konstrukční úpravy stávajícího zařízení pro měření plynnotvornosti s ohledem na výměnu nefunkčního tlakového čidla, kalibrace systému a úpravy související s programem PC. Vytvořit metodiku měření plynnotvornosti vybraných typů formovacích a jádrových směsí.
5. Provést úpravy jednotlivých prvků zařízení pro měření dilatace jádrových a formovacích směsí, včetně kalibrace zařízení. Vytvořit metodiku pro měření dilatace vybraných slévárenských a jádrových směsí.
6. Na základě navržených metodik změřit plynnotvornost a dilataci vybraných formovacích a jádrových směsí. Statisticky vyhodnotit získané výsledky.
7. Porovnat získané výsledky s teoretickými předpoklady a výpočty.
8. Shrhnout získané poznatky a formulovat příslušné závěry.

1.3 Publikace vztahující se k řešení doktorské práce

- [1] MACHUTA, J.: Monitoring of the moulding and core mixtures. In: Sborník příspěvků. 4th international PhD Foundry Conference 44th FOUNDRY DAYS. Brno, s. 28., ISBN 978-80-214-3496-7, (anglický jazyk).
- [2] MACHUTA, J.: Monitoring of gassiness of the foundry mixtures. Sborník příspěvků. 2th International scientific conference, New technology knowledge and information. UJEP Ústí nad Labem, s. 86-87. ISBN 978-80-7044-969-1, (anglický jazyk).
- [3] MACHUTA, J.: Monitoring of gassiness of the foundry mixtures. Strojírenská technologie - časopis pro vědu, výzkum a výrobu, zvláštní číslo, ročník XII, 2008, s. 149-152. 2008. ISSN 1211-4162, (anglický jazyk)
- [4] NOVÁ, I.- MACHUTA, J.: Sledování plynatosti formovacích a jádrových směsí. Slévárenství. LVI, č. 1-2, 2008, s. 43 - 47. ISSN 0037-6825.
- [5] MACHUTA, J.: Monitoring of thermal expansivity of the compact exhibits moulding and core mixtures. In: Sborník příspěvků. ERIN 2008, 2.medzinárodná konferencia mladých výskumníkov a doktorandov. Strojnická fakulta Bratislava, s. II-22. ISBN 978-80-227-2849-2, (anglický jazyk).
- [6] MACHUTA, J.: Monitoring of the thermal expansivity of the compact exhibits foundry mixtures. Poster - BVV, Brno, září 2008, (anglický jazyk).
- [7] MACHUTA, J.: Monitoring of thermal expansivity of the compact foundry mixtures. In: Sborník příspěvků. X. Mezinárodní konference mladých 2008, TF, ČZU v Praze, 16.-18. října, s. 141-146, ISBN 978-80-213-1812-0, (anglický jazyk).
- [8] MACHUTA, J.: Monitoring of gassiness of the foundry mixtures In: Sborník příspěvků 2. Zlievarenské sympózium, Strojnická fakulta Žilinskej univerzity, 1.10.- 3.10.2008, s. 64-66. ISBN 978-80-8070-899-3, (anglický jazyk).
- [9] PĚNIČKA, P.- MACHUTA, J.: Motoring of dilatation properties of castings by solidification foundry alloys. In: Sborník XV. Mezinárodní konference Spolupráce 2009, s. 267 – 272. 2009, ISBN 978-80-248-1991-4 , ISSN 0474-8484, (anglický jazyk).
- [10] NOVÁ, I. - MACHUTA, J.: Research of gassiness of the foundry samples with a view to gyps mixtures . In: Sborník XV. Mezinárodní konference Spolupráce 2009, s. 237 – 242. ISSN 0474-8484, (anglický jazyk).
- [11] MACHUTA, J.: Research of thermal linear expansivity of the compact moulding and core mixtures. In: Sborník z konference doktorandů - Světové slévárenské fórum červen 2009, s. 48. ISBN 978-80-214-3871-2, (anglický jazyk).

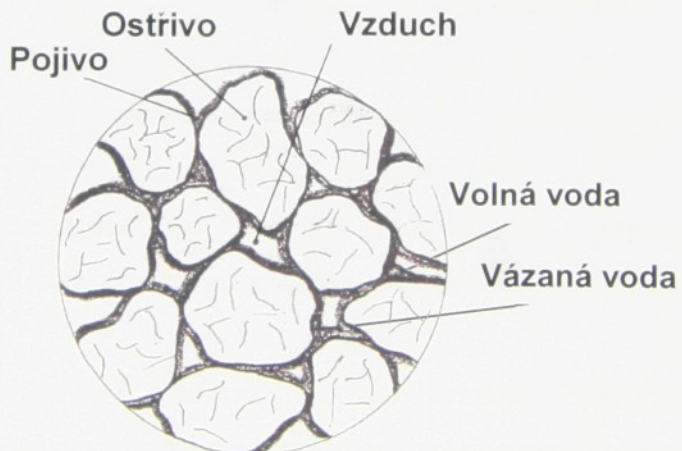
- [12] MACHUTA, J.: Foundry mixtures and their linear thermal expansivity. In: Sborník z International Scientific conference“ Material Science and Manufacturing Technology MITECH 2009, Praha 25. až 26. června 2009, s. 132-136, ISBN 978-80-213-1931-8, (anglický jazyk).
- [13] NOVÁ, I. - MACHUTA, J. , Research of gassiness of the foundry samples with a view to gyps mixtures. In: Sborník z XV. Mezinárodní konference Spolupráce 2009, s. 237 – 242. ISSN 0474-8484, (anglický jazyk).

Tato disertační práce vznikla s podporou výzkumného záměru MSM 4674788501 a s podporou studentské grantové soutěže – projekt SGS 2822.

2. CHARAKTERISTIKA FORMOVACÍCH A JÁDROVÝCH SMĚSÍ [1], [4], [6], [7]

Formovací a jádrové směsi pro výrobu netrvalých slévárenských forem jsou v podstatě *polydisperzní* (*mnohorozptýlené*) vícesložkové soustavy, jejichž vlastnosti závisí na fyzikálních a chemických vlastnostech výchozích složek (mineralogickém a chemickém složení, granulometrické skladbě, povrchovosti částic, povrchové energii, atd.). Současně s těmito vlivy jsou uplatňovány i podmínky přípravy směsi a způsoby jejich dalšího zpracování při výrobě konkrétních forem a jader (zhušťování, popř. vytvrzování, atd.). Jak je obecně známo, formovací a jádrové směsi se skládají ze dvou hlavních složek *ostřiva* a *pojiva*. Ostřivem je žáruvzdorný materiál o velikosti částic nad 0,02 mm, který tvoří nosný objem směsi, resp. skelet forem a jader. Pojivem může být látka nebo směs látek zabezpečující spojení částic ostřiva v kompaktní celek. Dále směs může obsahovat různé *přísady*, tj. látky zlepšující vlastnosti směsi, popř. vlastnosti formy nebo jádra. Nedílnou součástí některých směsí, především na bázi jílových pojiv, je i *voda*, která je plastifikátorem směsi a zabezpečuje její formovatelnost.

Na obr. 2-1 je schéma nejdůležitějších složek formovací směsi, kde pojivo je na bázi jílů.



Obr. 2-1 Schéma formovací směsi, ve které se předpokládá jílové pojivo, [1]

Ostřivo ve formovací směsi je možno charakterizovat jako hrubodisperzní soustavu (částice nad 0,02 mm), avšak např. v případě keramických forem, má ostřivo menší

rozměry. Většina ostřiv se nachází v přírodě, jako produkty hornin, nebo ovlivněné činností vody, popř. ledu (především křemenné ostřivo). Naopak některá ostřiva jsou připravena uměle, (např. magnezitové, korundové). Díky tomu, že ostřivo tvoří nosný objem formovací směsi, je jeho důležitou vlastností odolnost proti vysokým teplotám – tzv. žáruvzdornost.

Tabulka 2-1 Teplota tavení různých vybraných druhů ostřiv, [1]

Druh ostřiva	Základní složka	Teplota tavení [°C]
Křemen	SiO_2	1710
Sílimanit	$\text{Al}_2\text{O}_3 \cdot \text{SiO}_2$	1810 až 1860
Mullit	$3 \text{Al}_2\text{O}_3 \cdot 2\text{SiO}_2$	1810 až 1920
Forsterit	$2\text{MgO} \cdot \text{SiO}_2$	1910
Korund	Al_2O_3	2050
Zirkon	$2\text{ZrO}_2 \cdot \text{SiO}_2$	2430
Oxid zirkoničitý	ZrO_2	2700
Šamot	$\text{SiO}_2, \text{Al}_2\text{O}_3$	1670 až 1730
Chramit	Cr_2O_3	1800 až 1900
Magnezit	MgO	2800

Chování ostřiva ve slévárenské formě, především v interakci s roztaveným kovem, je také závislé na jeho chemické povaze. Jak je známo, např. křemenné ostřivo (SiO_2) je kyselého charakteru, mezi neutrální se řadí např. korund, chromit, šamot. Šamot je vhodným ostřivem pro výrobu těžkých ocelových odlitků. Korund je vysoko žáruvzdorný materiál. Hlavním představitelem je magnezit (MgO). 12

Nevhodně volené ostřivo z hlediska chemické podstaty vůči typu taveniny a jejím schopnostem vytvářet určitou chemickou podstatu oxidu vede k tomu, že nevhodná volba ostřiva může způsobovat povrchové vady odlitků - připečeniny chemického charakteru (mohou také vznikat připečeniny díky penetraci taveniny mezi zrna ostřiva formy).

V této souvislosti s ohledem na řešené téma mé doktorské práce je nutno připomenout, že i ve slévárenské praxi může ostřivo slévárenské formy obsahovat látky, které se mohou při tepelném zatížení formy rozkládat a tím také přispívat k plynnotvornosti směsi.

Další důležitou vlastností ostřiv jsou jejich dilatační vlastnosti při ohřevu. V této souvislosti je třeba věnovat značnou pozornost křemennému ostřivu. Křemenné ostřivo, resp. oxid křemičitý (SiO_2) - křemen, je nejrozšířenějším minerálem v přírodě, naleziště

jsou v různých lokalitách naší republiky (např. Střeleč, Provodín, Srní). Jeho teplota tání je 1710°C . Pro jeho použití na výrobu forem a jader je nutno brát v úvahu, že při ohřevu křemen prodělává polymorfní přeměny, které se projevují objemovými změnami, což může přispívat k porušení celistvosti formy. Křemen může existovat v několika krystalických modifikacích a jedné modifikaci amorfni: α -křemen; β -křemen; α -cristobalit; β -cristobalit; α -tridymit; β -tridymit; křemenné sklo. Základní modifikace křemene, která se nachází v přírodě je β -křemen.

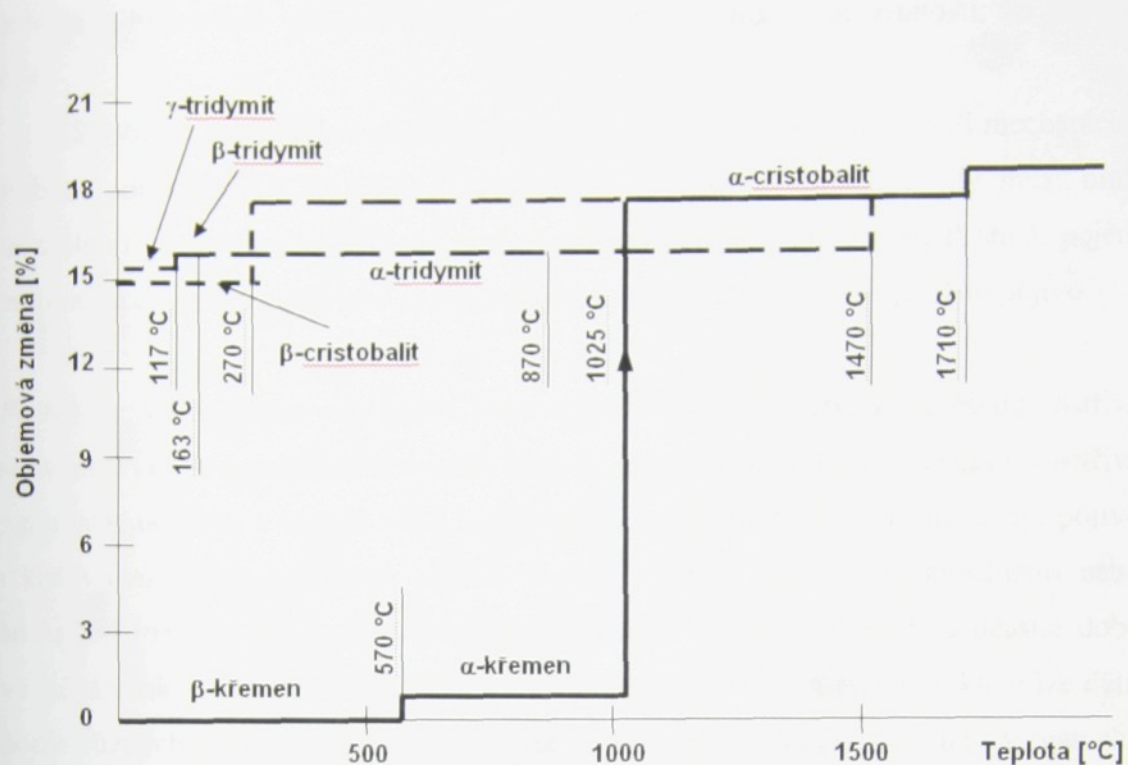
Na obr. 2-2 je uvedeno schéma polymorfních přeměn (modifikací) křemene. Vodorovnými šipkami jsou označeny směry přeměn, které jsou nevratné a probíhají pomalu, jen při zvláštních podmírkách. Svislé šipky označují přeměny, které probíhají rychle při ohřevu nebo ochlazování.

Nejzávažnější důsledky těchto polymorfních přeměn, které nejvíce ovlivňují vlastnosti formovacích směsí, jsou změny objemu a hustoty jednotlivých modifikací. Přeměna β -křemene v α -křemen se projevuje roztažností křemenných zrn při ohřevu povrchových vrstev formy, jejich praskání nebo odlupování. Na obr. 2-3 jsou uvedeny objemové změny při polymorfních přeměnách křemene.

α -křemen	$\xrightarrow{1025^{\circ}\text{C}}$			α -cristobalit	$\xrightarrow{1710^{\circ}\text{C}}$	tavenina SiO_2
	$\xrightarrow{870^{\circ}\text{C}}$	α -tridymit	$\xrightarrow{1470^{\circ}\text{C}}$			
$\uparrow\downarrow 573^{\circ}\text{C}$		$\uparrow\downarrow 163^{\circ}\text{C}$		$\uparrow\downarrow 180^{\circ}\text{C}$ až 270°C		$\uparrow\downarrow$
B-křemen		B-tridymit		β -cristobalit		křemenné sklo
		$\uparrow\downarrow 117^{\circ}\text{C}$	γ -tridymit			

Obr. 2-2 Schéma polymorfních přeměn (modifikací) křemene [13]

V této souvislosti je nutno upozornit především na nevýhody křemenného ostřiva mezi které se řadí zvýšená reaktivnost za vyšších teplot s oxidy železa a jiných kovů; neplynulá tepelná dilatace - souvisí s malou rozměrovou přesností odlitků a vznikem slévárenských vad (zálupy, výronky); cristobalitická expanze probíhá za přítomnosti mineralizátorů a vysokých teplot nad 900°C a dále nemoc plic z nasycení křemenného prachu.



Obr. 2-3 Objemové změny při polymorfních přeměnách SiO_2 , [13]

Vlastnosti formovacích a jádrových směsí jsou také ovlivněny granulometrickou skladbou ostřiva. Disperzita (rozptýlenost) formovací a jádrové hmoty (systému) zahrnuje nejen velikost částí, ale také rozdělení podílů různých velikostí a tvar částic. Nejčastěji formovací a jádrové směsi jsou tvořeny polydisperzním systémem ostřiva o různé velikosti částic. Na obr. 2-4 je pro ilustraci detailní pohled na formovací směs s křemenným ostřivem ($d_{50}=0,283$).



Obr. 2-4 Detailní pohled na směs s křemenným ostřivem $d_{50}=0,283$

Velikost částic souvisí do jisté míry i s množstvím pojiva ve směsi a tím ovlivňuje i plynnotvornost směsi, především v souvislosti s pojivy organického charakteru. Pro slévárenské účely jsou důležitými vlastnostmi ostřiv žáruvzdornost, žárupevnost, chemická podstata a dále velikost a tvar zrn (ostrohrannost nebo kulatost). Velikost zrn

ostřiva je hodnocena sítovým rozborem, resp. součtovou křivkou zrnitosti, viz příloha č. 4.

Současně je nutno konstatovat, že částice ostřiva prakticky nevytváří mechanicky stabilní soustavu KALOUSEK a HOLUBEC [1], neboť přitažlivé síly mezi nimi se začínají projevovat až u častic o rozměru menším než 0,001 mm. Proto k pojení ostřiva v kompaktní celek jako je slévárenská forma a jádro musí být použito pojivo.

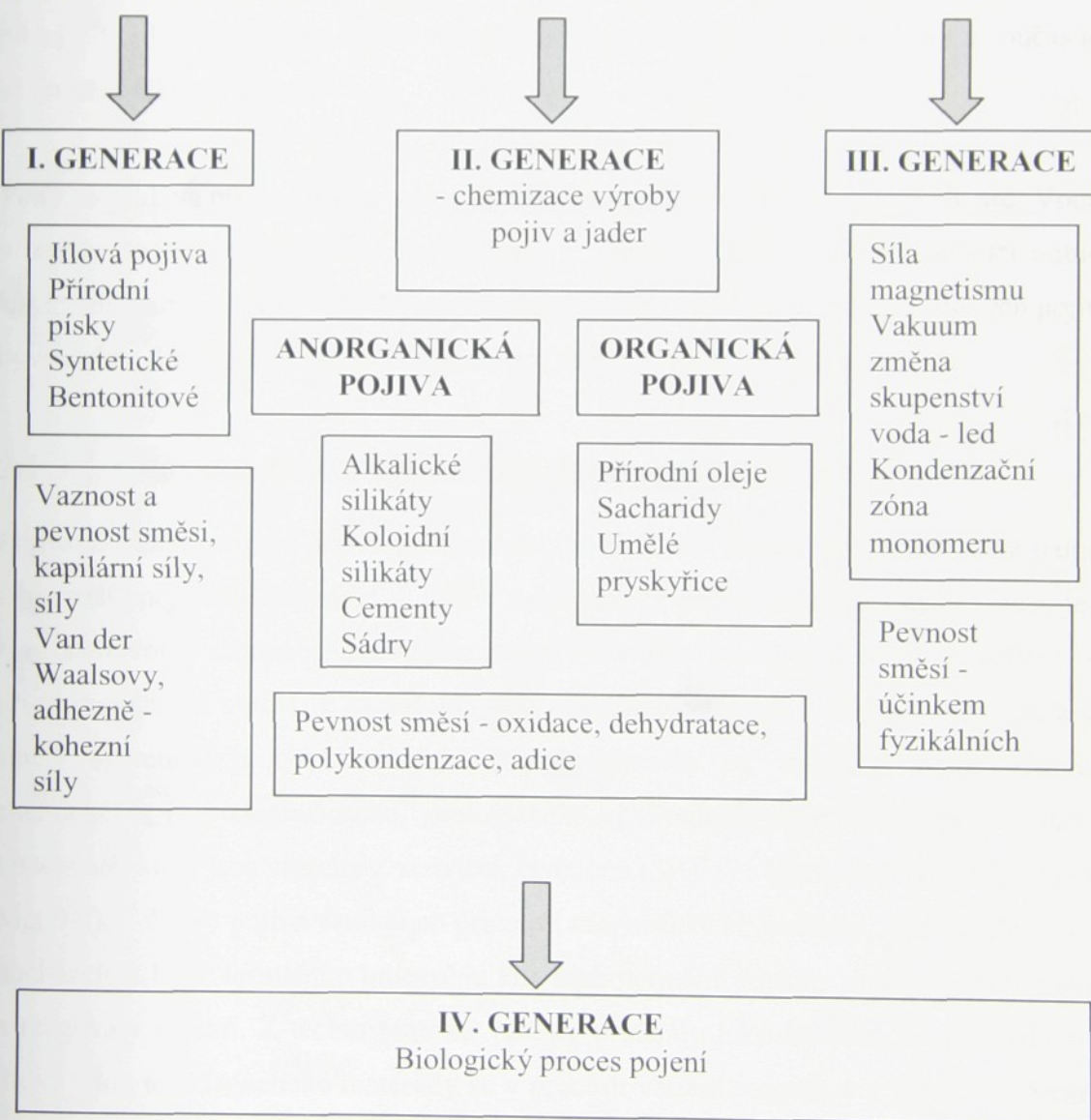
Pojivo je složka formovací nebo jádrové směsi, která vytváří na částici ostřiva souvislou vrstvu (spojenou adhézními silami), jejímž prostřednictvím se částice ostřiva s pojivem dotýkají a vytváří mezi nimi vazby. Pro tento účel pojení musí být pojivo v kašovitém nebo kapalném stavu. Buď je pojivo ve stavu kapalném nebo se do kapalného stavu dostává při jeho zpracování - formováním. V současné době ve slévárenské praxi je používána celá řada pojiv a pojivových systémů, které lze dělit podle různých kriterií, avšak nejčastější se dělí dle chemické podstaty na anorganická (jíly, sádra, cement, vodní sklo, atd.), jejichž pojící schopnost se uplatňuje v syrovém stavu nebo po chemickém, resp. fyzikálním zpevnění. Další skupinou jsou pojiva organická (umělé pryskyřice, oleje, sacharidy, bitumeny a jiné odpadní organické produkty), jejichž pojící schopnost se uplatňuje následkem chemického nebo tepelného zpevnění (ztužení). Z hlediska fyzikální chemie, samotná pojiva tvoří složité soustavy (např. vysokodisperzní nebo koloidní roztoky tzv. soly - jako např. jílová pojiva, vodní sklo, atd.). Vlastnosti pojiv ve slévárenské formě nebo v jádře jsou ovlivňovány jejich chemickou postatou, především v součinnosti s roztaveným kovem, což se projevuje jejich významným podílem na fyzikálně chemických dějích a významným způsobem přispívají k plynnotvornosti směsi.

Pojící schopnosti soustavy pojivo – ostřivo, jak je výše uvedeno, jsou závislé na velikosti adhezních sil na rozhraní mezi zrnem ostřiva a vrstvou pojiva a velikosti kohezních sil, které jsou závislé na vazebních silách uvnitř daného pojiva. Adhezní síly mezi částicí ostřiva a kapalným pojivem jsou dány mezimolekulárními van der Waalovými silami, silami vzniklými na základě absorpce molekul pojiva na povrchu tuhé částice, chemickými vazbami v důsledku chemické reakce mezi ostřivem a pojivem a elektrostatickými silami v důsledku vzniku elektrické dvojvrstvy na mezifázovém rozhraní ostřivo – pojivo. Kohezní síly jsou dány silami působícími mezi základními strukturními česticemi (atomy, molekulami, ionty) uvnitř částic pojiva.

Pojením se vytváří stav formovací nebo jádrové směsi, čímž je směs schopna odolávat působení vnějších sil.

Vzájemný vztah mezi adhézními a kohézními silami se mění v jednotlivých fázích přípravy a použití směsi.

Nejnovějším způsobem dělíme pojiva do 4 generací, dle mechanismu pojení. 1. generace (kapilární, adhezně-kohézní síly); 2. generace (chemický způsob pojení), 3. generace (pojení působením fyzikálních účinků) a 4. generace (biologický způsob pojení). vždy podle podstaty pojení. Principy pojení u těchto generací jsou vyznačeny na obr. 2-5. U typů pojiv, které se týkají experimentální části této práce, bude princip detailněji popsán. Typy pojiv, které nejsou v této práci měřeny, jsou pro ucelenost práce spolu se svým stručným popisem ovšem doplněny též.



Obr. 2-5 Přehled vývoje pojiv formovacích směsí podle JELÍNKA [9]

Pro správnou funkci každého pojiva je potřebné zabezpečit tyto vlastnosti: na počátku působení mají být tekutá, aby se mohla rozmístit na površích a v pôrech zrnitého systému; musí smáčet povrch pojeného materiálu (výplně), což vede k vytvoření dobrého adhezního spoje. Po vhodné době se musí pojivo samovolně zpevnit (např. vypařením rozpouštědla, vysušením nebo chemickou reakcí), adhezní spoje musí zůstat pevné i po ztuhnutí pojiva.

Přísady jsou látky ve formovací směsi, které zlepšují vlastnosti slévárenské formy. Např. zvyšují prodyšnost, rozpadavost nebo zvyšují odolnost proti nejrůznějším povrchovým vadám odlitků (např. zapečeninám). Typickou přísadou je např. kamenouhelná moučka (ledek), dále se používají např. dřevěné piliny. Dřevěné piliny po odlítí vyhoří a ve formě vytvoří kanálky, čímž se zvýší prodyšnost a současně se umožní dilatace formy.

Voda se přidává především do směsí jílových nebo sádrových, cementových, atd. Voda v těchto směsích působí jako plastifikátor, tj. dává formovací směsi vlastnosti nutné k udržení tvaru po formování. Množství vody ve formovací směsi na bázi jílových pojiv bývá kolem 3 až 4 hmot. %, je základem pro formy syrové (nevysušené).

2.1 Charakteristika vybraných slévárenských pojiv

Pojiva 1. generace jsou pojiva anorganická, na bázi jílů. Jílová pojiva jsou stále jedna z nejrozšířenějších slévárenských pojiv. Anorganická pojiva jsou látky nebo směsi, jež mají samovolně schopnost zpevňovat zrnité systémy v kompaktní celek. Používají se při formování na syrovo i na sušení, jsou nositelem vaznosti i pevnosti po vysušení směsí syntetických i přirozených. Jílové minerály se rozdělují podle složení chemického, krystalografického, geologického aj. Podle struktury patří mezi silikáty vrstevnaté, které jsou složeny z vrstviček čtyřstěnů $(SiO_4)^{4-}$ a osmistěnů $Al(OH)_6^{3-}$ nebo $Mg(OH)_6^{4-}$. Jílová pojiva vznikla po primární magnetické krystallizaci zemské kůry, kdy docházelo k hydrotermálním procesům, kdy hydrotermální roztoky pronikaly horninami a reagovaly s nimi. Z těchto roztoků vznikly minerály jako kaolinit, montmorillonit, jílové slídy aj. Magnetické materiály se v procesu větrání rozpadaly a jejich sloučením s těmito roztoky vznikly nové stabilní jílové minerály. Jako např. kaolinitické jíly

vznikly rozkladem živců v kyselém prostředí, montmorillonit větráním tufů a sopečného popela v zásaditém prostředí.

Vlivem postupných přeměn a druhotného přemisťování obsahuje jílovina vedle čistých jílových nerostů také zbytky po zvětrání (jemně rozptýlený křemen, živce a slídu), biogenní příměsi (uhličitan vápenatý ze skořápek mikroorganismů a organické součásti z rostlin), nekřemičitany (limonit, hydrargylit) a novotvary vzniklé po usazení jíloviny (pyrit, dolomit aj.). Důležitou složkou jílových pojiv je voda, která se vyskytuje ve více formách (voda vázaná ve formě molekul; voda vázaná ve formě OH skupin; voda volná, je vázana fyzikálně třemi rozdílnými způsoby, voda vázaná na povrch častic, voda vázaná v mezivrstvovém prostoru mimo hydratační obaly vyměnitelných kationtů, voda vázaná v koordinačních sférách vyměnitelných kationtů). Ve slévárenské praxi používáme jíly tohoto typu:

- a) **Kaolinitický** - má poměrně vysokou žáruvzdornost, ale malou bobtnavost. Jeho použití je při výrobě ocelových odlitků. **Kaolinit** - ($Al_2O_3 \cdot 2SiO_2 \cdot 2H_2O$), je to hlavní součást horniny kaolinu a žáruvzdorných jílů. Plavením surového kaolinu se získává plavený kaolin, který obsahuje až 90 % kaolinitu a zbytek jsou příměsi křemene, živce, slídy aj. kaolinitu příbuzné jsou minerály nacrit, dickit a halloysit. Kaolin v surovém stavu je vhodný pro formovací materiály, má vysokou teplotu spékání a je vhodný pro přípravu syntetických směsí na sušení pro odlévání hmotných odlitků z litiny s lupínkovým grafitem a oceli na odlitky. K tomuto účelu je používán žáruvzdorný směsný jíl, který je obchodně nazýván Tumerit K, vyznačuje se vyšší pevností po sušení (cca 1 MPa). Ve slévárnách se však používá ve značné míře kaolinitických jílů jako pojiva při přípravě dusacích hmot pro opravu kuploven nebo licích pární. K přednostem směsí patří nízké nebezpečí exogenních bublin, naopak, k nedostatkům patří dlouhý a náročný cyklus sušení, nízká rozměrová pevnost, drahá a náročná povrchová ochrana proti penetraci a špatná rozpadavost.
- b) **Illitický** - má středně velkou žáruvzdornost a bobtnavost. Je hlavním pojivem přírodních směsí. Má nazelenalou barvu. Jsou to slídové jíly, které jsou obsaženy ve většině přirozených formovacích písků. Hlavní z této skupiny jílů je glaukonit, který je tvořen drobnými zrnky zelené barvy. Podle barvy i složení je to železnato-železitý jíl s 20-25 % oxidů železa. Po dokonalém rozetření je velmi plastický a formovací směsi s ním dosahují vysokých vazností. Spékavost má kolem 1300 °C,

takže vytváří na lící formy tenkou spečenou vrstvičku formovacího materiálu, která se nerozplavuje a snadno se odlupuje z odlitků. Glaukonit je hlavní součástí jílové zeminy slévárenského přirozeného písku Rájec, který jej obsahuje v množství 12-15 %. Někdy obsahuje minerál limonit, který jej zabarvuje do hněda.

- c) **Montmorillonitický** - má nižší žáruvzdornost, ale velkou bobtnavost. Tento typ jílu má obchodní název Bentonit nebo Sabenil a používá se pro výrobu forem určených k odlewání litinových odlitků. Montmorillonit - $Al_2O_3 \cdot 4SiO_2 \cdot H_2O \cdot nH_2O$ - (hlavní naleziště montmorillonitu je ve Francii) je hlavním minerálem horniny zvané bentonit. Jeho název je podle jednoho jeho naleziště Fort Benton v USA. **Bentonit** vznikl zvětráním sopečných hornin jako čediče, diabasu a hlavně jejich popela, tj. tufů. Přitom proces bentonitizace probíhal především v zásaditých prostředích na rozdíl od kaolinu, jehož přeměna předpokládá kyselé prostředí. Bentonit se od kaolinu liší tím, že je různobarevný (žlutý, šedý, červený) a na omak mastný. Pro svou dobrou plastičnost a adsorpční schopnosti je hojně využíván např. v chemickém průmyslu, při těžbě nafty, v zemědělství a především tedy i ve slévárenství. Vysoká vaznost bentonitových jílů ve formovacích směsích umožňuje snížit jejich obsah až 3 násobně oproti jiným typům jílů. Díky malému obsahu jílu ve formovací směsi a tedy zároveň nízkému obsahu vody, je možné odlévat formy na syrovo. Přísadami sacharidů do bentonitových směsí docílíme snížení spěchovatelnosti a tím zvýšení odolnosti proti zálupům, zvýšení prodýšnosti, snížení drobivosti a osýchání (hydroskopičnost sacharidů) a např. zvýšení houževnatosti. Dříve používané přísady **dextroner** (matečný louh z výroby glukózy) a **melasa** (matečný louh z výroby sacharózy z cukrové řepy), jsou nahrazeny polysacharidy jako jsou škrob nebo celuloza, spolu se svými deriváty. Z ekologického hlediska jsou jílová pojiva velmi příznivá a ve slévárenství ještě velmi používaná.

Pojiva 2. generace jsou založena na chemické podstatě pojení, buď za tepla nebo za studena:

- a) **Pryskyřičná** - jsou určena pro výrobu jader a forem. Jsou to organické látky, vyznačují se poměrně velkou plynnotvorností, avšak podporují dobrou rozpadavost směsi. Význam organických pryskyřic ve slévárenství v posledních letech značně roste a jejich rychlý vývoj ukazuje stále nové možnosti uplatnění. Názvem

pryskyřice se označují látky, jejichž podstatou jsou makromolekulární částice, které lze zpracovávat teplem, tlakem nebo obojím současně.

Dle jejich chování při zahřívání se dělí na pryskyřice:

- *termoplastické* - jejichž vlastnosti se při zahřívání mění vratně. Působením tepla tyto pryskyřice měknou a při ochlazení opět tvrdnou.
- *termoreaktivní* - které při zahřívání přecházejí nevratně do netavitelného a nerozpustného stavu.

Základní chemické pochody, při kterých vznikají tyto vysokomolekulární sloučeniny, jsou polymerace a polykondenzace.

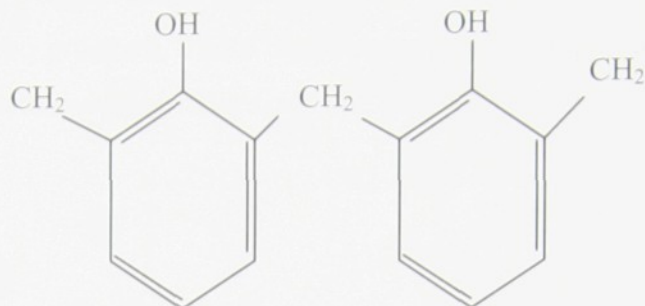
Polymerace je chemická reakce, při které vzniká látka s velkou molekulovou hmotností - polymer, sloučením stejných nebo různých molekul nenasycených nebo cyklických sloučenin (monomerů), bez vylučování vedlejších produktů. Polykondenzace je reakce dvou nebo několika sloučenin, které mají v molekule nejméně dvě reaktivní skupiny nebo atomy. Polykondenzací vznikají vysokomolekulární látky a vylučují se vedlejší nízkomolekulární produkty. Pryskyřice používané ve slévárenství jako pojiva formovacích a jádrových směsí jsou termoreaktivní, přecházejí tedy nevratně do netavitelného a nerozpustného stavu polykondenzací.

Dnes se ve slévárenství uplatňuje celá řada pryskyřic, především ty, které nemají karcinogenní účinky. Z tohoto důvodu se již nepoužívají pryskyřice fenolformaldehydové, ale jsou používané pryskyřice *furanové, polyuretanové, alkydové, novolakové, resolové*.

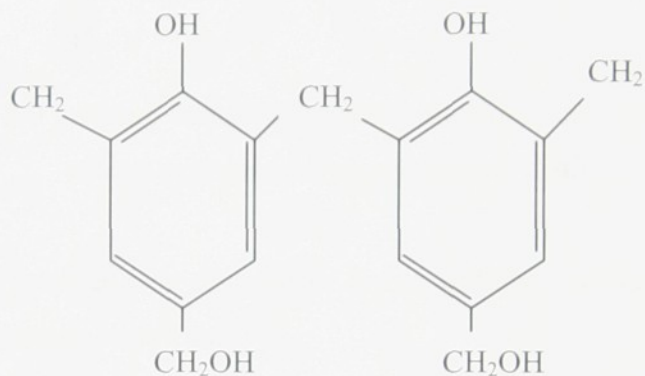
V další části je uvedena charakteristika vybraných pojiv II. generace.

- 1) *Fenolformaldehydové pryskyřice* - fenoplasty se vyrábějí polykondenzací fenolu s formaldehydem. V kyselém prostředí s přebytkem fenolu se vytvářejí lineární řetězce makromolekul teplem nevytvrditelných pryskyřic (novolaků). Fenolová jádra jsou mezi sebou spojena metylenovými skupinami CH_2 . Na obr. 2-6 jsou uvedena dvě fenolová jádra, která v tomto spojení dávají základ novolakovým pryskyřicím. Reakcí fenolu v alkalickém prostředí za přebytku formaldehydu získáme rozvětvené makromolekuly, jejichž fenolová jádra obsahují volné metylenové skupiny, které jsou podmínkou tvrditelnosti pryskyřice zvané rezol (viz obr. 2-7). Dle užití ve slévárenských směsích

se dělí na fenolformaldehydové nebo kresolformaldehydové roztoky a práškové fenolformaldehydové tmely - novolaky.

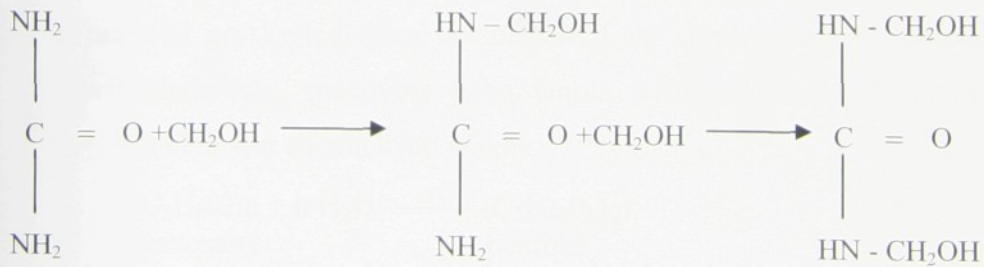


Obr. 2-6 Schéma strukturních vzorců novolakových pryskyřic



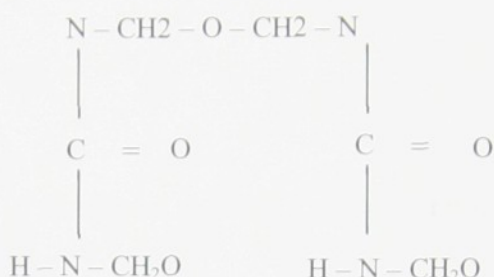
Obr. 2-7 Schéma strukturního vzorce pryskyřic rezolu

- 2) *Močovinoformaldehydové pryskyřice* - vznikají polykondenzací jedné molekuly formaldehydu ve slabě kyselém prostředí. V první fázi reakce vzniká přechodně nejprve mono a dimethylmočovina nebo směs těchto láték. Na obr. 2-8 je naznačena první fáze vzniku močovinoformaldehydových pryskyřic.



Obr. 2-8 První fáze vzniku močovinoformaldehydových pryskyřic

V další fázi reakce vznikají složité deriváty s lineární strukturou, které obsahují metylové skupiny a také sterové a metylenové můstky. Když je dosaženo požadovaného kondenzačního stupně, reakce se přeruší zavedením alkalického prostředí. Tento dosud nevytvrzený meziprodukt, má následující lineární řetězovitou strukturu, viz obr. 2-9.

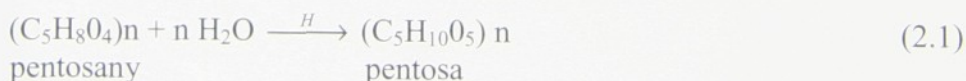


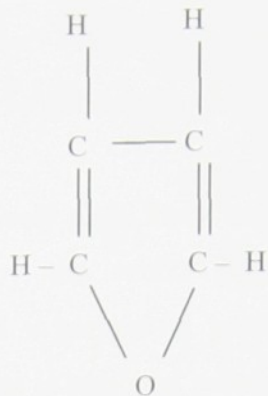
Obr. 2-9 Lineární řetězovitá struktura meziproduktu vzniku močovinoformaldehydových pryskyřic

Tyto pryskyřice jsou obvykle ve formě vodního roztoku, příp. se zahušťují nebo v zájmu stability i suší.

- 3) Furanové pryskyřice – tato pojiva mají pojmenování od jejich základního heterocyklického uhlovodíku, a to furanu C_4H_4O , viz strukturní vzorec na obr. 2-10. Základní surovinou pro přípravu furanových pojiv je jednoduchý derivát furanu – fural $C_5H_4O_2$. Získává se hydrolýzou pentosanů, které jsou obsaženy ve většině rostlinných látek. Hlavní surovinou pro výrobu furalu jsou dřeviny a rostlinné látky, obsahující pentosany obvykle v rozsahu 20 až 40% a vyskytující se v ekonomickém dosahu a množství u výrobního místa. Přeměna pentosanů v surovině na fural probíhá ve dvou reakcích. Hydrolýza pentosanů na pentosy a dehydratace pentos na konečný fural.

Furanové pryskyřice, které se používají ve slévárenství, jsou kopolymery furfurylkoholu, močoviny nebo fenolu a formaldehydu. Stechiometrické vyjádření těchto chemických reakcí:



Obr. 2-10 Strukturní chemický vzorec furanu (C_4H_4O)

- b) **Olejová** jsou určena pro výrobu jader, pojivo systém je založen na vysušení pojiva při teplotě cca $250\text{ }^{\circ}\text{C}$.
- c) **Sacharidy** (melasa, škrob, dextrin) jsou určeny pro výrobu jader, zajišťují dobrou pevnost po vysušení.
- d) **Vodní sklo** – je anorganického charakteru, používá se především pro výrobu forem. Pro výrobu jader se téměř nedoporučuje z důvodu velké zbytkové pevnosti. Směsi s vodním sklem se dříve nazývaly chemicky tvrzené. Vodní sklo je ve slévárenství používáno již více než 50 let, zvláště v českých slévárnách sehrává vodní sklo po celou dobu významnou roli jako pojivo pro výrobu forem. Některé nevýhody směsi s vodním sklem vytvrzovaných CO_2 byly hybnou silou vývoje nových, resp. samotvrdnoucích směsí s vodním sklem. Jak je obecně známo, vodní sklo má některé nevýhody (velmi malá vaznost = pevnost za syrova; omezená skladovatelnost jader; vysoká spotřeba CO_2 ; nižší pevnost po vytvrzení ve srovnání s organickými pojivy; zhoršená rozpadavost). V současné době se používají formovací směsi s vodním sklem, které lze rozdělit do dvou skupin (směsi s ovládaným ztužováním, tj. profukováním CO_2 , označujeme CT směsi, vytvrzování vzduchem, vytvrzování mikrovlnné a infračerveným zářením; směsi bez ovládaného ztužování, což jsou tzv. ST směsi a samotvrdnoucí směsi).

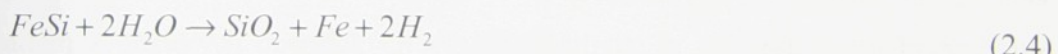
Pojivo systém vodní sklo – CO_2 ; výroba CT směsi - křemičité ostřivo s vodním sklem se upěchuje v rámci nebo v jaderníku a profoukne oxidem uhličitým. Tento způsob se používá jak pro výrobu forem, tak jader. Celý velice složitý proces se může zapsat chemickou rovnicí:



(vodní sklo + oxid uhličitý → gel kyseliny křemičité + soda)

Oxid uhličitý je suchý, kyselý plyn, který vodní sklo vysuší a současně převede do kyselé rosolovité podoby, tím vzniká gel kyseliny křemičité. Gel kyseliny křemičité postupně přechází v kompaktní hmotu, která získává pevnost v tlaku cca 1 MPa. Dalším produktem je uhličitan sodný, tzv. soda. Ta se může při vyšších teplotách rozkládat na plyn Na_2O , který je škodlivý pro možnost naplynění taveniny. Celé používání směsi na bázi vodního skla souvisí s jeho horší rozpadavostí. Proto se v současné době zkouší do vodního skla přidávat různé přísady, které podporují rozpadavost směsi po jejich vytvrzení - tj. snižují zbytkovou pevnost směsi po odlítí. Tím byla za uplynulých cca 40 let vyvinuta celá řada dalších variant směsi na bázi vodního skla, jako samotvrdnoucí s práškovými nebo kapalnými tvrdidly - estery.

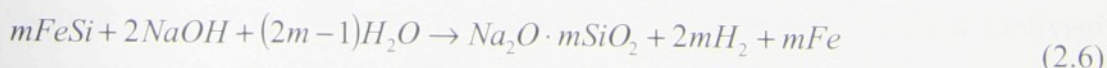
Pojivový systém samotvrdnoucích směsí s vodním sklem (ST - směsi) - jsou to směsi s vodním sklem, kdy je proces vytvrzování založen na jiném principu než je profukování plymem CO_2 a je doprovázen buď exotermickou reakcí nebo bez exotermické reakce. K těmto metodám patří ST směsi vytvrzované práškovými čistými kovy (Al, Zn, atd.) nebo práškovým FeSi nebo CaSi, což je N-metoda (Nishyama - proces). Obě skupiny ST směsí využívají principu rozkladu vody kovem (reakce alkalických roztoků s kovy) za vzniku vodíku a velkého tepelného efektu, který podporuje dehydrataci alkalického křemičitanu. N-proces vychází z velké slučivosti (afinity) kyslíku s křemíkem:



Průběh exotermické reakce je řiditelný variací obsahů vodního skla a FeSi ve směsi:



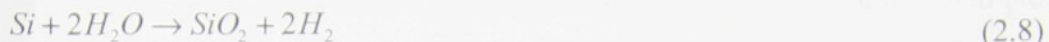
FeSi reaguje s NaOH:



Proces je silně exotermickou reakcí a probíhá tak dlouho, dokud nejsou FeSi a voda spotřebovány:



Celý proces lze zapsat zjednodušeně:



Z hlediska sledování plynnotvornosti nevhodou N - procesu je vznik vodíku, který však se vzduchem tvoří třaskavou směs. Rovněž vysoká teplota směsi působí nepříznivě na laky modelů a jaderníků. Uplatnění našly ST směsi vytvrzované práškovými nebo kapalnými tvrdidly. Nesnadná rozpadavost forem s vodním sklem dala základ pro další způsoby vytvrzování vodního skla.

Vodní sklo může být vytvrzováno esterolem, který obsahuje dvě složky esterů. Jedna složka má nízkou rychlosť vytvrzování, druhá vysokou rychlosť vytvrzování. Esterol je hnědá až žlutá kapalina, bez záparu a nemá agresivní účinky. Je netoxická a nehořlavá, v uzavřených nádobách je dlouho skladovatelná. Vytvrzovací proces je založen na dvoustupňové reakci. V prvním stupni dochází v alkoholickém prostředí vodního skla k rozkladu esteru, kdy se uvolňuje kyselina. V druhém stupni dochází vlivem uvolněné kyseliny k želatinaci vodního skla a ke vzniku pojivo-vých gelů kyseliny křemičité. Mechanismus je podobný jako při reakci vodního skla s CO₂. Za výhodu vodního skla s esterolem lze pokládat velmi dobrou rozpadavost vytvrzené směsi.

- e) **Sádrová pojiva** – patří do skupiny hydratačních materiálů, to znamená, že základem pojivo-vého systému je reakce sádry a vody. Sádra vzniká částečnou nebo úplnou dehydratací sádrovce CaSO₄ · 2H₂O. Sádrovec se nachází v přírodě, ale je také odpadem z některých chemických výrob. Sádrovec je minerál, který krystalizuje v jednoklonné soustavě, nejčastěji v tabulkách, sloupcích, čočkovitého, zaobleného tvaru. Do teploty 42 °C je stálý, při zvýšení teploty postupně ztrácí vodu. Zahřátím na teplotu 110 °C ztrácí sádrovec krystalicky vázanou vodu a postupně přechází na nižší formy až na bezvodý síran vápenatý. Při teplotě 1400 °C se sádrovec rozkládá na oxid vápenatý a sírový. Teplota rozkladu se snižuje přítomností oxidu křemičitého až na teplotu 700 °C. Množství krystalické vody, která zbývá po zahřátí sádrovce má vliv na vlastnosti vyrobené sádry. Když se uvolní během zahřívání při teplotě 110 až 130 °C 3/2 krystalické vody, zůstane polohydrit síranu

vápenatého, který tvoří hlavní složku každé sádry. Při ztrátě vody při teplotě vyšší než 200 °C začíná postupně vznikat anhydrit, nad 400°C bezvodý anhydrit. V příloze č. 5 jsou uvedeny fáze soustavy CaSO₄ – H₂O.

Ve slévárenské praxi rozlišujeme sádrovou podle mnoha hledisek, např. podle stupně pálení sádrovce, podle doby tuhnutí, podle jemnosti mletí, bělosti, druhu pálení atd. nejčastěji sádrovou rozdělujeme do 4 skupin (rychletuhnoucí, pomalutuhnoucí, vysokopevnostní, anhydritové pojivo). Důležitá je závislost hodnot pevnosti v tlaku na vodním poměru v/s (množství rozdělávací vody a sádry).

Hlavní děje, které probíhají při tuhnutí a tvrdnutí sádry jsou: rozpouštění polohydrátu, nuklease dihydrátu a růst krystalů dihydrátu. Tyto děje limitují rychlosť hydratace a tím i zpevňování, jež postupuje souběžně s hydratací. Na rozdíl od většiny maltovin se tedy tuhnutí sádry zpomaluje s rostoucí teplotou. Tuto anomálii způsobuje to, že se stoupající teplotou silně klesá rozpustnost polohydrátu, zatímco rozpustnost dihydrátu je téměř stejná. Tím se snižuje rozdíl rozpustnosti mezi oběma látkami a snižuje se možnost přesycení.

Při zpracování sádry rozeznáváme pojmy: rychlosť míchání, začátek míchání, doba míchání, začátek tuhnutí, konec tuhnutí, doba tuhnutí, doba tvrdnutí a doba odlévání sádrové břečky. Čím je sádra jemnější, tím tuhne rychleji protože se snadněji rozpouští. Čím více sádrovou kaši mícháme, tím rychleji tuhne.

Sádrové směsi mají dnes významné uplatnění ve slévárenství při výrobě forem určených pro přesné lití odlitků ze slitin hliníku, zinku a dalších vhodných kovů.

Pojiva 2. generace, především pryskyřice, se řadí mezi velmi plynnotvorná pojiva. Také z ekologického a zdravotního hlediska jsou často méně příznivá. Naopak pojiva na bázi vodního skla bývají převážně méně plynnotvorná.

Pojiva 3. generace – je to spíše pojivový systém než samostatné pojivo. Využíváme zde fyzikálních účinků pojení. To je např. formování v magnetickém poli, zmrazování, formování ve vakuu. Tyto metody nejsou v běžné praxi tak rozšířeny, proto nejsou v této práci hlouběji sledovány. Na pojiva této generace totiž nejde z hlediska jejich rozdílných principů pojení použít běžné zařízení pro sledování jejich slévárenských vlastností.

Pojiva 4. generace – jsou to nejmodernější systémy na principu mikrobiologického pojení. Jejich vývoj stále probíhá, ale ve slévárenské praxi se zatím moc nepoužívají. Vzrůstající tendence zpřísňování hygienických podmínek bezpečnosti práce a norem sledujících životní prostředí vede ke zvyšování pozornosti na výzkum těchto pojiv. Jde o materiály vyráběné novými technologiemi za použití materálů ekologicky nezávadných, přírodních nebo jejich modifikací. U těchto látek se snižuje riziko vzniku toxicických látek během jejich tepelného namáhání, jako je tomu u většiny pryskyřičných pojiv. V posledních letech se testují materiály hlavně na bázi sacharidů a bílkovin. Hlavními chemickými prvky těchto pojiv jsou např. pouze uhlík, vodík, kyslík a dusík.

V příloze č. 5 je uveden přehled základních metod výroby forem a jader.

3. DŮSLEDKY TEPELNÝCH PROCESŮ VE SLÉVÁRENSKÝCH FORMÁCH [1], [2], [4], [12]

Vlivem tepla, které slévárenská forma přebírá z tuhnoucího odlitku, dochází u netrvalých forem a jader především k tepelnému vývinu plynů v důsledku rozkladu látek, chemických sloučenin a vzniku vodní páry. Současně dochází k vlivu tepelného namáhání formy a dále k dilatačním změnám lineárních rozměrů formy a popř. jádra. Všechny tyto nepřijemné vlivy je nutné sledovat. Nejčastěji se tak děje na laboratorních vzorcích specifických rozměrů nebo hmotnosti. Z důvodu nepřijemných vlivů tepelných procesů je tedy sledována např. plynnotvornost slévárenských směsí nebo jejich tepelná dilatace a pracuje se na vývoji zařízení pro tato měření. Současně se připravují lepší technologické postupy přípravy vzorků a následně postupy jejich vyhodnocení. Dilatační změny je možno sledovat pouze tehdy, je-li z formovací nebo jádrové směsi připraven kompaktní vzorek. Kompaktnost vzorku však není nutnou podmínkou pro sledování plynnotvornosti u těchto směsí.

3.1 Tepelné dilatace slévárenských forem a jader

Formovací a jádrové směsi v kompaktním stavu představují pevnou látku, u které lze sledovat tepelnou, resp. teplotní roztažnost. Tyto, svou podstatou pevné látky, jsou složeny z částic s téměř pravidelným uspořádáním. Rozměrové změny různých látek jsou, mimo jiné, závislé na jejich vnitřní struktuře a na povaze sil mezi jejich vnitřními částicemi. Mezi vnitřními částicemi látek působí přitažlivé a odpudivé sily. Těmito silami je dána soudržnost pevných a kapalných látek. Střední vzdálenost mezi částicemi pevných látek je kolem 0,25 nm. Vzájemné působení přitažlivých sil mezi částicemi způsobuje, že pevná látka vytváří těleso určitého tvaru a objemu. Nepůsobí-li na těleso vnější síly a nemění-li se teplota tělesa, zůstává tvar i objem pevného tělesa stejný.

Objemové změny tělesa způsobené zvýšením teploty při konstantním tlaku se vyjadřují označením pravá objemová roztažnost, kterou lze vypočítat podle vztahu:

$$\beta = \frac{1}{V} \left(\frac{dV}{dP} \right)_P , \quad (3.1)$$

kde značí: β - objemovou roztažnost;

V - objem látky;

dV - diferenciál objemu;

dP - diferenciál tlaku;

P - konstantní tlak.

Další možností je použití pravé délkové roztažnosti, jejíž hodnoty se experimentálně získávají snadněji. Součinitel pravé teplotní roztažnosti (α) lze vypočítat:

$$\alpha = \frac{1}{l} \left(\frac{dl}{dT} \right)_P , \quad (3.2)$$

kde značí: l - délku tělesa;

dl/dT - změnu délky tělesa v závislosti na teplotě;

P - konstantní tlak.

Objemová roztažnost izotropního materiálu je trojnásobkem délkové roztažnosti:

$$\beta = 3.\alpha . \quad (3.3)$$

Pokud formovací směsi po ochlazení opět získávají svůj původní objem, pak toto teplotní roztažení se nazývá vratné. Liší se od dodatečného trvalého roztažení, které spočívá ve změně fázového složení a struktury směsi.

Na teplotní roztažnosti směsi závisí i napětí, které vzniká ve formách nebo v jádrech rychlým zahříváním nebo ochlazováním. Tím teplotní roztažnost má značný vliv na odolnost směsi proti náhlým změnám teploty. Teplotní roztažnost těchto směsí závisí pouze na jejich chemicko-mineralogickém složení. Teplotní roztažnost kompaktních formovacích a jádrových směsí bývá obvykle charakterizována, RUSÍN [4] středním součinitelem teplotní roztažnosti nebo procentem teplotní roztažnosti. Teplotní roztažnost se sleduje na různých těliskách vytvořením zhuštěním formovací nebo jádrové směsi, nejčastěji jejich rozměr bývá $\varnothing 8 \times 50$ mm.

Střední součinitel teplotní roztažnosti se stanovuje dle vztahu:

$$\alpha_{STR} = \frac{l_T - l_{T_0}}{l_{T_0} \cdot (T - T_0)} , \quad (3.4)$$

kde značí: l_T - délku zkušebního tělesa při teplotě měření;

l_{T_0} – délku zkušebního tělesa při teplotě 20°C ;

T – teplotu měření;

T_0 – teplotu vzorku na počátku měření (20°C).

Procento, resp. procentuální teplotní roztažnost lze stanovit:

$$\frac{l_T - l_{T_0}}{l_{T_0}} \cdot 100 \text{ [%]} \quad (3.5)$$

Pro určení vlastností formovacích a jádrových směsí není důležitý jen střední součinitel teplotní roztažnosti nebo procentuální teplotní roztažnost, ale je také důležitá rovnoměrnost roztažnosti směsi v celém intervalu teplot při jejím ohřevu. K vyjádření rovnoměrnosti roztažení se používá tzv. pravý součinitel teplotní roztažnosti (3.2).

V tabulce 3-1 jsou uvedeny teplotní roztažnosti různých chemických prvků a některých chemických sloučenin, dle ČERNOCHA [79] a RAŽNJEVIČE [80].

Tabulka 3-1 Přehled lineárních teplotních součinitelů vybraných druhů látek [79], [80]

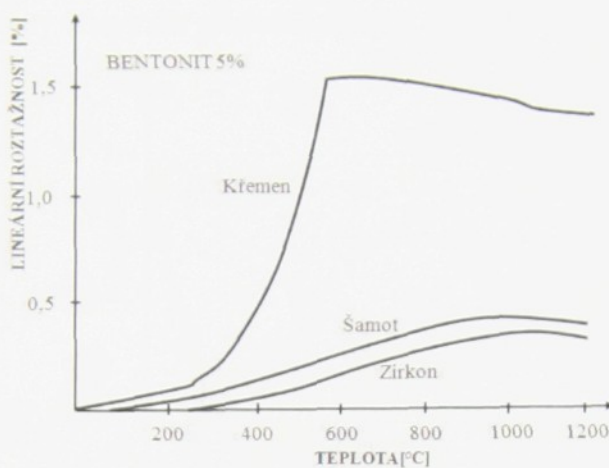
Prvek nebo sloučenina	Hodnota součinitele lineární teplotní roztažnosti $[K^{-1}]$	Platnost pro teplotu $[^{\circ}C]$
Křemík	$2,4 \cdot 10^{-6}$	20
Hliník	$23,7 \cdot 10^{-6}$	20
Železo	$12,3 \cdot 10^{-6}$	20
Zinek	$29 \cdot 10^{-6}$	20
Křemen k ose kryst. \parallel	$8 \cdot 10^{-6}$	0 - 100
Křemen k ose kryst. \perp	$14,4 \cdot 10^{-6}$	0 - 100

U disperzních soustav, resp. kapilárně póravitých látek (což jsou např. formovací směsi), jsou dilatační změny ovlivněny:

- a) teplotní roztažností ostřiva;
- b) teplotní roztažností, popř. smršťivostí, pojiva;
- c) fázovými přeměnami složek jádrové nebo formovací směsi;
- d) rozkladem, spalováním a destilací složek směsi.

Měřením roztažnosti pevných látek během tepelného namáhání se zabývá dilatometrie a zařízení, které se používá pro měření těchto délkových změn, se nazývá dilatometr. Pro sledování teplotní dilatace formovacích a jádrových směsí slouží speciálně zkonstruované slévárenské dilatomery, které mohou být opatřeny ochrannou atmosférou.

Na obr. 3-1 je znázorněn průběh teplotní roztažnosti v závislosti na teplotě pro různé typy ostřív s 5 % bentonitu.



Obr. 3-1 Závislost teplotní roztažnosti na teplotě vybraných ostřív s 5 % bentonitu, [4]

3.2 Mechanismus vzniku a vývinu plynů a par v pískových formách

Po odlití, kdy dojde ke styku taveniny kovu s lícem slévárenské formy, nastává sdílení tepla z taveniny do formy. V důsledku toho dochází k postupnému prohřívání jednotlivých vrstev formy. Rychlosť prohřívání, resp. hloubka prohřívání formy na určitou teplotu T, závisí na teplotních podmínkách rozhraní tavenina – forma a na tepelně-fyzikálních vlastnostech formy (teplná vodivost, měrná tepelná kapacita, součinitel přestupu tepla, hustota, atd.). Na základě zjednodušujících předpokladů, lze hloubku prohřátí formy H_F v určitém časovém okamžiku t a při určité teplotě T vypočítat dle vztahu:

$$H_F = K_F \cdot \sqrt{t}, \quad (3.6)$$

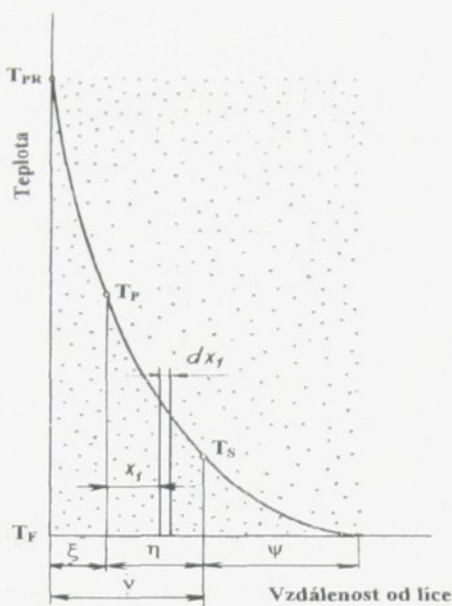
kde značí: K_F – koeficient prohřátí formy [$\text{m} \cdot \text{s}^{-1/2}$];

H_F – hloubku prohřátí formy [m];

t – dobu ohřevu formy [s].

V důsledku prohřátí, resp. vlivem tepelných a fyzikálních účinků ve formě, některé složky formovacích a jádrových směsí prodělávají významné fyzikálně-chemické přeměny, které doprovází uvolňování plynů (vypařování vody, vývin plynů při hoření přísad, rozklad vznikajících plynů, destilace pevných a kapalných látek, uvolňování vázané vody a ostatních kapalných látek i rozpínavost ohřátých plynů

formy). Schopnost formovacích materiálů uvolňovat při ohřevu plyny a páry se nazývá plynnotvornost. Teoretickým řešením tohoto problému se zabýval RYŽIKOV a SPASSKIJ [17]. Na obr. 3-2 je naznačeno rozložení teploty ve stěně pískové formy, současně jsou označeny vrstvy dle příslušné teploty, podle [17].



Obr. 3-2 Rozložení teplot v pískové slévárenské formě s označením vrstev, [17]

1. vrstva ξ – je definována teplotním intervalem T_{PR} a T_P (T_{PR} – teplota na lící formy, T_P – teplota při které končí vylučování plynné fáze). Vývin plynů v této vrstvě je již ukončen.
2. vrstva η - je v teplotním rozmezí T_P až T_S (T_S – teplota, kdy dochází k vylučování plynů ve formě).
3. vrstva ψ - je popsána teplotním intervalom T_S až T_F (T_F – počáteční teplota formy).

V této vrstvě nejsou potřebné teplotní podmínky a proto zde nedošlo k vylučování plynů.

Při řešení nás zajímá především množství uvolněných plynů k danému časovému okamžiku. To znamená uvolněné plyny z vrstev 1. a 2. Plyny z vrstvy 1. se již uvolnily a plyny z vrstvy 2. se vylučují. Oblast formy, která zahrnuje uvolnění plynů, je $\xi + \eta$. Ve vrstvě ξ se plyny již uvolnily a ve vrstvě η se právě uvolňují. K řešení lze využít Gaussova integrálu chyb. Množství uvolněných plynů z obou vrstev lze vypočítat:

$$Q = s \cdot \rho_F \cdot q_{TP} \cdot \sqrt{a} \cdot \left\{ \operatorname{erf}^{-1} \cdot \left[\frac{(T_{PR} - T_P)}{(T_{PR} - T_F)} \right] + \operatorname{erf}^{-1} \cdot \left[\frac{(T_{PR} - T_S)}{(T_{PR} - T_F)} \right] \right\} \cdot \sqrt{t} = A \cdot \sqrt{t}, \quad (3.7)$$

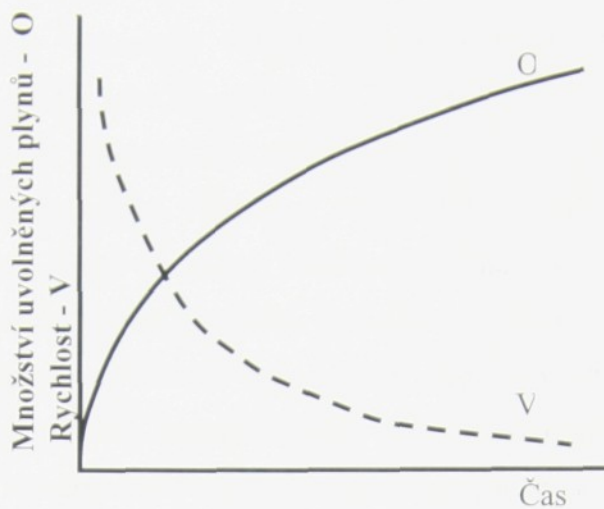
kde značí: s - procento pojiva ve formovací směsi;
 ρ_F - hustotu formy;
 q_{TP} - měrné množství vyloučených plynů při teplotě T_P (vztaž. k 1 % pojiva);
 a - střední teplotní vodivost formy;
A - součinitel plynnotvornosti směsi;
 t_p - čas vývinu plynů.

Rychlosť uvolněných plynů lze vypočítat:

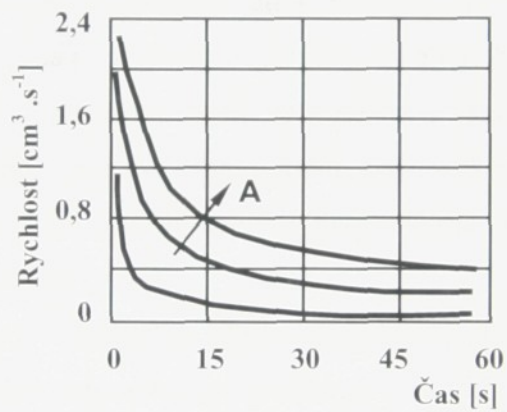
$$v = \frac{dQ}{dt} = \frac{A}{2\sqrt{t}}, \quad (3.8)$$

kde značí: v - rychlosť uvolňování
 Q - objem uvolněných plynů
 t_p - čas vývinu plynů
A - součinitel plynnotvornosti směsi.

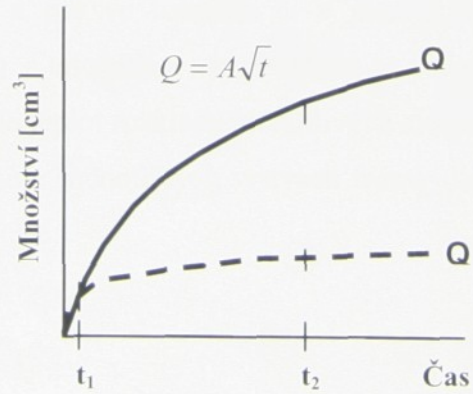
Na obr. 3-3 je uvedeno množství uvolněných plynů formy v závislosti na čase. Na obr. 3-4 je znázorněn vliv součinitele plynnotvornosti směsi na rychlosť uvolňování plynů. Vliv tloušťky stěny odlitku na množství vývinu plynů z formy je na obr. 3-5. Současně je zřejmé, že množství plynů uvolněných z formy je úměrné teplu, které forma přijala z tuhnoucího odlitku.



Obr. 3-3 Závislost množství uvolněných plynů na čase, [12]



Obr. 3-4 Vliv součinitele plynovornosti na rychlosť vývinu plynů formy, [12]



Obr. 3-5 Vliv tloušťky stěny odlitku na množství vývinu plynů formy, [12]

3.2.1 Plynnotvornost formovacích a jádrových směsí

Plynnotvornost je schopnost formovacích (jádrových) materiálů uvolňovat při ohřevu plyny a páry. Jsou to nežádoucí děje popisující dílčí chování těchto disperzních materiálů při vysokých teplotách krátce po zalití slévárenské formy a tudíž by měla hodnota plynnotvornosti vykazovat co nejnižší hodnoty. V průběhu tuhnutí taveniny ve slévárenské formě se začínají prohřívat povrchové vrstvy. V pískové formě, která představuje porézní těleso, se vrstvy formy začnou postupně prohřívat od líce. Pokud tyto vrstvy dosáhnou kritické teploty (např. teplota vypařování vody, teplota rozkladu příslušné složky, atd.), dochází v těchto vrstvách k uvolňování plynů a par.

Plynnotvornost vyjadřujeme v cm^3 na 1 g směsi, případně na cm^3 směsi. Množství uvolňujících se plynů v pískové formě je dáno druhem pojiva a jeho podílu ve směsi, sklonem k navlhavosti směsi (způsobem sušení), zrnitostí ostríva (prodyšností jader) a obsahem různých příasad určených k vyvolání vytvrzovacích reakcí, či k cíleným technologickým požadavkům na samotná jádra. Škodlivý vliv těchto plynů produktů závisí na jejich množství, na prudkosti jejich vývinu a na jejich složení.

Kromě množství uvolněných plynů je důležitá i kinetika jejich vývoje, ale i časový okamžik uvolnění v procesu tuhnutí kovu. Ze složek formovací směsi vykazuje značnou plynnotvornost voda a další kapalná rozpouštědla, některé minerály, pojiva, organické příсадy a další látky.

Vznikající plyny tvoří směs, kde převládají redukční složky (CO , H_2). Jejich únik z místa vzniku do volné atmosféry se projevuje určitým tlakem. Ten je závislý na množství, rychlosti vývinu plynů a odporu kladeným formou. Při vysokých hodnotách tohoto tlaku v blízkosti líce formy může dojít k proniknutí plynů do taveniny v dutině formy a tím ke vzniku plynových bublin v odlitku.

Uvolňování plynů a par ve formách či v jádrech začíná na rozhraní formy a taveniny (na lici formy) a tato oblast vývinu plynů se posouvá hlouběji do formy, dle teploty ohřevu formy a dle teplot rozkladu jednotlivých složek směsi. Podrobnější popis průběhu uvolňování plynů v jednotlivých vrstvách formy (odpovídají určité teplotě T) v čase t je uveden na obr. 3-6.



x – vzdálenost od líce formy, 1 – průběh teploty ve formě v daném časovém okamžiku,
 2 – zbytková plynovornost směsi, 3 – objem plynů uvolňujících se v jednotlivých vrstvách formy,
 $0-q$ - přírůstek vlhkosti v kondenzační zóně

Obr. 3-6 Grafická závislost objemu plynů a teploty formy na vzdálenosti od jejího líce [1]

Z obrázku 3-6 je patrné, že po odlití se ve stěně formy vytváří několik vrstev s různým stupněm vývinu plynu. Tloušťka každé vrstvy v daném okamžiku je určena rozdelením teplot ve formě a hodnotami teplot rozkladu jednotlivých složek směsi. Nejprve se rozkládají komponenty s nejnižší teplotou rozkladu, postupně s vyšší teplotou rozkladu.

V zóně bezprostředně u odlitku, během krátkého času po odlití kovu, probíhá uvolnění veškerých plynů a par v důsledku prohřívání směsi. Za touto vrstvou se nachází zóny rozkladu určitých látek. Tyto zóny začínají uvolněním chemicky vázané vody z bentonitu (u syrových forem) a minerálních příměsí, rozložením některých látek a končí vypařením mechanicky přimíšené vody (zóny 0-d). Poté následují zóny kondenzace plynů a par (e-f) a nakonec vrstva směsi, kde žádné změny nenastávají.

Hranice mezi vrstvami nejsou ostré (přechodné zóny), zejména v těch případech, kdy se složky rozkládají v intervalu teplot (chemicky nestejnорodé látky). Důsledkem vzniku těchto vrstev je ztráta počátečních stejnорodých vlastností slévárenské formy (jádra). Především mechanických a tepelně – fyzikálních vlastností.

Rychlosť posunu zplyňování látek do nitra formy závisí na kritické teplotě rozkladu, tepelné vodivosti směsi a na teplotě rozhraní tavenina – forma. Se zvyšující se teplotou rozkladu látek se snižuje rychlosť posunu zón.

Tabulka 3-2 Rozkladné teploty některých látek [5]

Plynnotvorný podíl ve směsi [hmot.%]	Kritické teploty rozkladu [°C]
Voda	100
Jílové pojivo	200 až 400
Vápenec (CaCO_3)	860 až 910
Sulfitové pojivo	220 až 260
MF pryskyřice	280 až 320
FF pryskyřice	650 až 750

Tabulka 3-3 Orientační hodnocení různých procesů tvorby plynů procentuálně z celkového množství plynů při lití [5]

Procentuální podíly z celkového obsahu uvolněných plynů [%]			
Procesy tvorby plynů	Syrové formy	Vysušené formy	Skořepinové formy
Vypaření vody obsažené ve směsi	50 až 60	8 až 12	3 až 5
Spálení organických látek	2 až 3	5 až 8	2 až 10
Destilace organických látek	30 až 40	45 až 65	80 až 90
Uvolnění H_2O z minerálů	0,5 až 8	15 až 25	0,5 až 2
Rozklad minerálních příměsí	1 až 5	1 až 5	1 až 2
Expanze vzduchu	do 0,5	do 1	do 0,5
Disociace plynů	6 až 9	8 až 12	10 až 15

Plynnotvornost, jako vlastnost formovacích a jádrových směsí, se sleduje téměř od počátků rozvoje a uplatnění různých druhů směsí. Během vývoje byly navrženy různé metody měření (viz kapitola 3.3 - Metody sledování plynnotvornosti a dilatačních vlastností forem a jader).

Mezi hlavní příčiny vzniku plynů ve formách se řadí procesy:

- teplena roztažnost vzduchu v dutině formy a v pórech formovací a jádrové směsi;
- vypařování volné vody a jiných kapalných látek (např. rozpouštědel) z formovací směsi;
- dehydratace jílových pojiv ve formovací směsi;
- teplena disociace vodní páry, vznikající vypařováním volné vody z formovací směsi, nebo dehydratací jílových pojiv ve formovací směsi;

- e) tepelná disociace uvolňujících se plynů;
- f) suchá destilace a spalování organických látek, zejména pojiv;
- g) karbonizace a spalování uhlíkatých přísad (např. kamenouhelného prášku);
- h) spalování organických látek;
- i) destilace různých tuhých a kapalných organických látek;
- j) tepelný rozklad minerálů;
- k) rozklad uhličitanů (např. uhličitanu vápenatého).

3.2.2 Způsoby vzniku plynů u formovacích a jádrových směsí [1]

Vypařování vody a jiných rozpouštědel

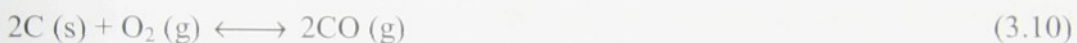
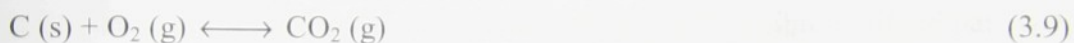
Vypařování vody se nejvíce projevuje u směsí obsahujících vodu jako rozpouštědlo pojiv (např. jílů v syrových pískových formách, kde je voda hlavním vypařujícím se elementem). Kromě vody může směs obsahovat i jiné vypařující se kapaliny. Voda obsažená ve formovacích směsích se nechová jako prostá mechanická přimíšenina. Navlhání směsí, ale i opačný proces, jako vysoušení, je provázen složitým komplexem fyzikálně – chemických jevů. Voda obsažená ve formovacích i jádrových směsích je s minerálními i organickými složkami směsi vázána:

- a) *chemicky* – voda je součástí krystalové mřížky minerálních složek směsi a vzniká při chemických reakcích a při vzniku krystalohydrtů. Lze ji uvolnit při poměrně vysokých teplotách, charakteristických pro daný materiál (minerál).
- b) *fyzikálně chemicky* – voda tvoří disperzní prostředí koloidních soustav pojiv (např. jílů, kde nastává vzájemné rozpouštění vody a látky). Dále tato vazba vzniká při adsorpčních procesech. K jejímu uvolnění je třeba přivést také značné množství tepelné energie.
- c) *mechanicky* – voda je ve směsích držena v důsledku smáčivosti v kapilárách mezi jednotlivými částicemi směsi. Vazba je dána kapilárními silami a silami smáčení. Prvé záleží na povrchovém pnutí kapaliny a kapilárního tlaku a druhé jsou určeny charakterem a stavem povrchu kontaktujících se materiálů. Také odpařování takto vázané vody se odlišuje od procesu vypařování vody volně, mechanicky přimíšené, která se ve směsích také vyskytuje, ale která má např. od kapilární vody jiné vlastnosti.

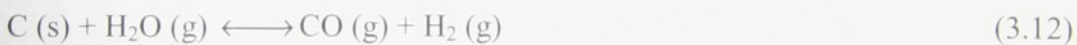
Spalování (hoření, oxidace) organických látek

Spalování ve směsích probíhá za přítomnosti oxidovadel (vzdušný O₂ obsažený v pôrech jádra nebo pricházející kapilárami formy či jádra, dále vodní pára a CO₂). Vzdušný O₂ v pásmu hoření môže prostupovať prostřednictvím difuze přes póry směsi a kromě toho vzduch je obsažen na začátku procesu v pôrech. Ve skutečnosti jsou zdroje kyslíku omezené a nemohou zajišťovat intenzivní průběh oxidace organických látek. Průchod vzduchu přes póry formy po jejím naplnění tekutým kovem se prakticky zastavuje, protože vzniká velký vstřícný proud plynu, který směruje od odlitků do atmosféry. Množství kyslíku v pôrech, ve srovnání s množstvím vznikajících plynů, je malé.

Významné jsou reakce oxidace tuhého uhlíku :



Větší praktický význam mají však reakce okysličování tuhého uhlíku vodními parami a CO₂. Oxidační reakce uhlíku oxidem uhličitým probíhá intenzivně při teplotách více než 800 °C. Uhlík intenzivně reaguje i s parami vody při vysoké teplotě, přičemž do 810 °C (v hloubce formy) se přeměňuje v CO₂ a při vyšší teplotě (u povrchu formy) se přeměňuje v CO:



Ve formách mohou probíhat i jiné reakce:



Celkově je možno říci, že v pískových formách (jádrech) se vytváří a neustále obnovuje atmosféra složená z různých plynů a probíhá neúplné okysličení C na CO, jehož přítomnost ve velkých množstvích v atmosféře licí formy je experimentálně

potvrzena. V případě volného přístupu vzduchu z formovacího materiálu ohřátého na vysokou teplotu, organické látky úplně shoří s přednostním vznikem CO₂.

Tepelný rozklad organických látek (destilace)

Pomalý tepelný rozpad organických látek probíhá bez přístupu nebo s omezeným přístupem vzduchu (či jiného oxidovadla). Dochází k poruše struktury a k destilaci nejprve lehčích a po zvýšení teploty i těžších frakcí (nejprve se uvolňují těkavější frakce). Konečným produktem destilace je koks.

V licí formě se reakce liší od popsáного schématu tím, že se organické látky nacházejí v disperzním stavu, což vede při rychlém ohřevu licí formy k narušování pořadí uvolňování jednotlivých frakcí. V tomto případě vzniká jediná směs par a plynů, jejíž jednotlivé komponenty mají rozdílnou teplotu kondenzace. Chemické složení plynů při termickém rozpadu je charakteristické přítomností většího množství par H₂O, olejů, nasycených a nenasycených uhlovodíků, dále je přítomen H, určité množství CO a CO₂ a jiné plynné či kapalné produkty.

Za nepřítomnosti O₂ v pórech směsi nedochází ke shoření produktů reakce. Během procesu filtrace kondenzuje část těchto produktů a zůstává ve směsi. Ta část, která nekondenzuje, uniká do atmosféry.

Destilace se významně uplatňuje při ohřevu směsí obsahujících větší množství organických pojiv (syntetické pryskyřice, uhelná moučka). Tento zdroj je aktuální pro všechny jádrové a formovací směsi.

Tepelný rozklad minerálů

Probíhá při ohřevu některých minerálů obsažených ve směsi, přičemž se uvolňuje plynná složka (některé minerály mají vysokou plynотvornost, např. 1 kg CaCO₃ uvolňuje 0,224 dm³ plynu CO₂, viz. tab. 4-1 - Výsledky výpočtů uvolněných plynů z uvedených rovnic v kapitole 4.1. - Výpočty uvolněných plynů pro sledované chemické reakce viz rovnice).

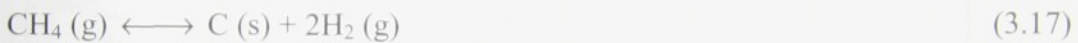
Součástí minerálů je i voda, která se v minerálech váže ve třech podobách:

- *konstituční voda* – má nejpevnější vazbu s krystalickou mřížkou. Uvolňuje se při určité teplotě, obyčejně při vypalování nebo při chemické reakci. Tento proces není vratný a minerál zbavený konstituční vody se rozpadá.

- *krystalizační voda* – má mnohem slabší vazbu než předchozí a uvolňuje se při žihání někdy ve dvou i třech tepelných intervalech. V mnohých případech se při namočení krystalizační voda opět naváže na minerál.
- *volně vázaná voda* – proniká do krystalické mřížky, ale není chemicky vázaná. Její vazba je daná délhou kontaktu vody s minerálem, teplotou, tlakem a jinými faktory.

Disociace plynů

Může nastat u plynů uvolňujících se v důsledku některého z popsaných dějů. Nejčastěji se takto rozkládají při vysokých teplotách uhlovodíky a dochází přitom ke zvětšování objemu plynné fáze a k usazování uhlíku ve formě sazí v pórech směsi, jako např.:



Plyny mohou vstupovat do reakce jak mezi sebou, tak s látkami slitiny a formy (probíhají při současném zvětšování objemu, což se projevuje zvyšováním rychlosti úniku plynů z formy).

Rozpínání vzduchu

Objem vzduchu a dalších plynů uzavřených v pórech mezi částicemi disperzní směsi, činí asi 26 až 38 % objemu směsi (v závislosti na stupni zhuštění). Při ohřevu formy či jádra se objem tohoto plynu bude zvětšovat. Ve většině případů se však toto zvětšení objemu, při ohřevu na teploty 500 až 700 °C, bude podílet pouze malou částí na celkovém objemu uvolňujících se plynů a to jen velmi krátkou dobu (pouze několik sekund po zaplnění formy taveninou). Vzduch uzavřený v dutině formy odchází převážně přes výfuky a v omezeném množství přes póry forem a jader.

3.2.3 Popis vzniku a pronikání plynu z formy nebo jádra do taveniny

Ve slévárenské praxi je nutné, aby se plyny z formy neuvolňovaly do dutiny formy, resp. do taveniny. Při nevhodných energetických a tlakových podmínkách na rozhraní kov – forma, mohou plyny často pronikat do taveniny a naopak. Plyny z formy do taveniny mohou vniknout dle této rovnice:

$$p_F = p_m + p_p + p_{pf} \quad (3.18)$$

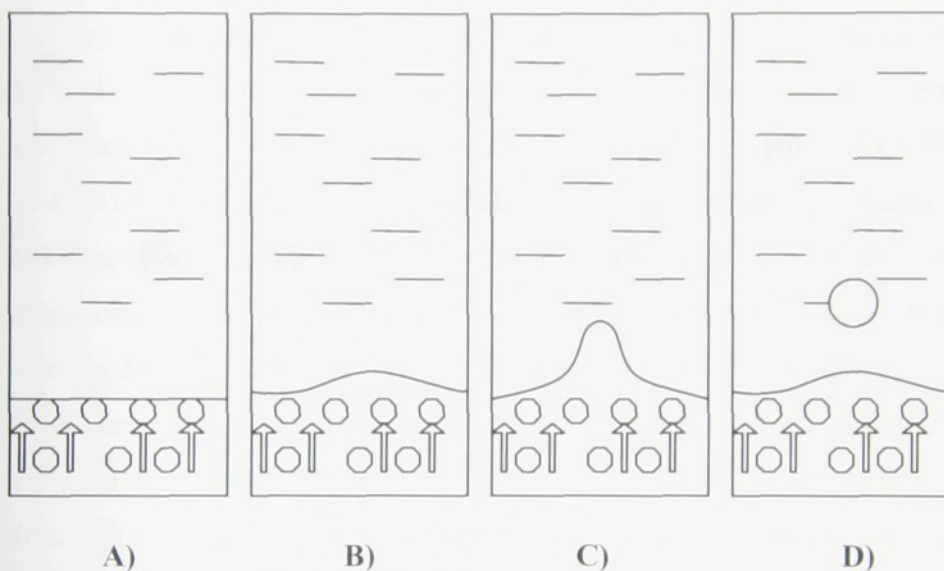
kde značí: p_F - tlak plynů ve formě;

p_m - metalostatický tlak;

p_p - odpor kovu proti vniknutí plynové bubliny do taveniny;

p_{pf} - přetlak plynů nad hladinou roztaveného kovu.

Největší rychlosť vývinu plynů nastává v okamžiku styku roztaveného kovu s formou, popř. s jádrem, při počátku lití, kdy je malá tloušťka ztuhlého kovu a malý metalostatický tlak. Na obr. 3-7 je uveden časový vývoj plynové bubliny uvolňované z formovací směsi do tekutého kovu.

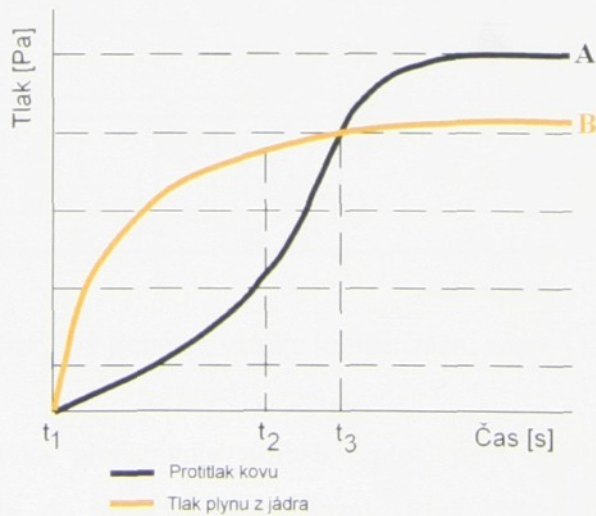


Obr. 3-7 Schématické naznačení vniknutí plynu do taveniny ($p_F \geq p_m + p_p + p_{pf}$), [7]

V prvním okamžiku po odlití se začnou uvolněné plyny shromažďovat na hranici formy a taveniny, ale zatím nepronikají do taveniny (viz obr. 3-7A). V důsledku toho, že tlak plynů ve formě neustále vzrůstá, expanze plynů do taveniny je velmi výrazná, čímž tlak plynů formy začne překonávat odpor kovu proti vniknutí plynové bubliny do taveniny (viz na obr. 3-7B a 3-7C). Dalším zvýšením tlaku se bublina, která se dosud stále držela při hranici formy a taveniny, vlivem povrchových napětí, zaškrtí a uvolní se do taveniny (viz obr. 3-7D). Uvolnění nastane při překonání metalostatického tlaku. Tento mechanismus se opakuje do doby, než skončí chemické změny ve formě a tím se již nezvyšuje tlak na taveninu.

Plynnotvornost směsi není jen jedna dílčí vlastnost směsi, ale je nutné ji posoudit s ostatními podmínkami, např. prodyšností směsi, styčnou plochou jádra s kovem, průřezem známkou, metalostatickým tlakem atd. Přetlak plynů je funkční závislostí těchto veličin (obsah a druh spalitelných látek, styčná plocha kovu s jádrem, objem jádra, průřez známkou, odvzdušnění, prodyšnost směsi).

Aby plyny pronikaly kovem, musí být jejich tlak v daném okamžiku větší, než je tlak kovu. Vývoj plynů v jádře je nejintenzivnější v prvních okamžicích po odlítí formy, a proto je vznik vad způsobených plynem v prvních sekundách nejpravděpodobnější. Tlak plynů v jádře závisí i na geometrických charakteristikách jádra, např. na velikosti plochy styku mezi jádrem a kovem, dále na délce dráhy filtrace plynu v jádru (zkrátile délku dráhy plynu, silně poklesne tlak plynu). Pokud sledujeme tlakové poměry při vzniku vad odlitků v důsledku vývinu plynů v závislosti na čase, lze konstatovat, že velký význam sehrává tlak taveniny působící proti přetlaku plynů jádra nebo formy, viz obr. 3-8. Na tomto obrázku křivka A znázorňuje časový průběh protitlaku taveniny a křivka B časový vývin tlaku plynů formy včetně jádra. Z tohoto obrázku je zřejmé, že v prvních okamžicích po odlití (např. v čase t_2) vzniká velký vývin plynů, nejen z formovací směsi, ale také např. při použití pravého jádra. Pravé jádro se obzvláště velmi rychle prohřívá vlivem tepla z taveniny, která jádro obklopuje. Protože dutina formy je v prvních okamžicích pomalu zaplnována taveninou, vykazuje malý tlak proti působícímu tlaku plynů uvolňovaných formou. Teprve po určité době (např. t_3), dojde k vyrovnání tlaků a pak začne ustávat uvolňování plynů z formy a tlak kovu, resp. taveniny začne převládat. V tomto okamžiku již není nebezpečí vzniku plynových bublin v odlitku.



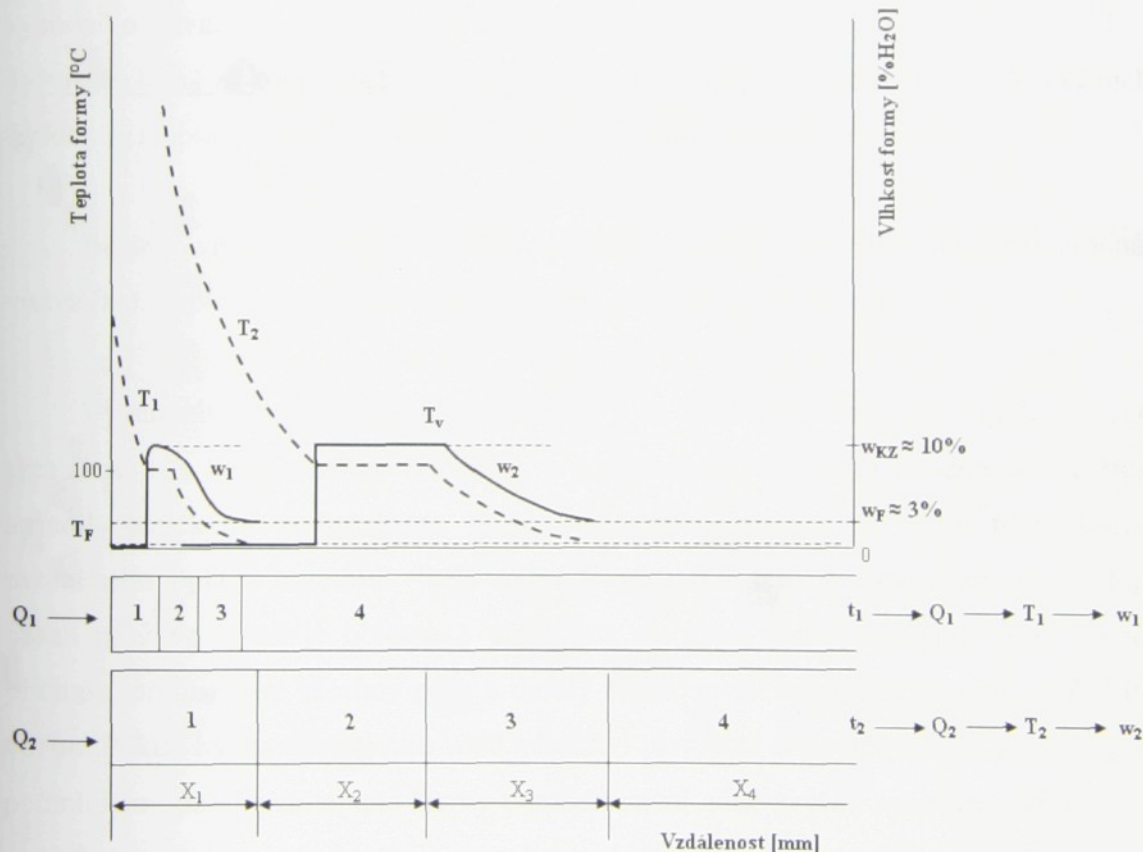
Obr. 3-8 Tlakové poměry při vzniku plynových vad, [16]

3.2.4 Kondenzační zóna při tepelném ovlivnění směsi s vodou

Následkem prostupu tepla pískovou formou vzniká kondenzační zóna. Po odlití tekutého kovu do dutiny pískové formy, dochází důsledkem prostupu tepla z tuhnoucí taveniny k prudkému prohřívání vrstev při lici formy.

Během dosažení teploty varu se začne vypařovat vlhkost v pískové formě a kapilárně proniká do nitra formy. Tím se vytvoří fronta vypařování, která se postupně posouvá do vzdálenějších míst. Oproti tomu povrchové části formy se tímto vysušují a teplota rychle vzrůstá. V oblastech slévárenské formy, kde je teplota nižší než 100°C , tedy teplota vypařování, vzniká kondenzační zóna. Pára zde kondenzuje a tím v této vrstvě narůstá obsah vody. Zároveň vlivem uvolňování výparného tepla roste i teplota této vrstvy. Schéma vzniku kondenzační zóny je na obr. 3-9.

Proces vypařování a zahřívání výparným teplem se stále opakuje a kondenzační zóna postupuje neustále do hlubších vrstev formy.



Obr. 3-9 Schéma vzniku kondenzační zóny, [12]

Čárkováná křivka představuje průběh teplot, resp. teplotní gradient od lice (nahřívaného povrch) do hloubky stěny formy. Plná křivka udává obsah vlhkosti (koncentrační gradient) ve formě. Počáteční teplota formy je T_F a výchozí vlhkost

formy w_F . Začne-li z tuhnoucí taveniny přecházet teplo do formy, pak např. v časovém okamžiku t_1 přejde do formy teplo Q_1 , které vytvoří při lící formy teplotní gradient T_1 a v těchto partiích formy se ustaví vlhkost w_1 . Analogicky je tomu v okamžiku t_2 , kdy již přejde do formy větší množství tepla Q_2 , ustaví se vyšší teplotní gradient T_2 a jemu odpovídající vlhkost w_2 . Na základě těchto skutečností lze takto ovlivněnou část formy (tepelně i vlhkostně) rozdělit na tři oblasti:

1 - vysušenou vrstvu (x_1) - kdy proběhl již proces vypařování vody a obsah vody je zde téměř nulový. Sdílení tepla zde probíhá podle zákonů suchého disperzního prostředí.

2 - kondenzační zónu (x_2) – v této vrstvě kondenzují páry, které uvolňují teplo a proto vzniká prodleva s konstantní teplotou vypařování T_V (100 °C). Kondenzaci par se zvyšuje v této vrstvě obsah vody na w_{KZ} (obsah vody v kondenzační zóně), která se podle experimentálních výsledků pohybuje cca kolem 10 %, tj. asi trojnásobek výchozího stavu.

3 - vrstvu těsně za kondenzační zónou (x_3) – v této vrstvě klesá teplota z T_V do výchozí teploty T_0 a obsah vlhkosti se snižuje z w_{KZ} na výchozí obsah vlhkosti w_F .

Za touto vrstvou se nachází další (v pořadí čtvrtá) tepelně a vlhkostně neovlivněná vrstva (x_4). Teplota a vlhkost této vrstvy odpovídají výchozímu stavu.

Vypařování vody probíhá na hranici 1 a 2 oblasti. Páry prostupují filtrace přes zónu 2. a kondenzují na hranici 2. a 3. Proces vypařování a kondenzace se řídí termodynamickými podmínkami, proto může zkondenzovat jen tolik páry, kolik uvolněného tepla je zapotřebí v celé vrstvě 2 k dosažení teploty vypařování T_V , i když obsah pórů ve směsi je objemově větší, než množství zkondenzované vody. To je příčinou, proč nejsou všechny pory a dutiny mezi zrny v kondenzační zóně vyplněny vodou. Pokud by zkondenzovalo větší množství páry, než odpovídá termodynamickým podmínkám, pak by se teplota formy v kondenzační zóně zvýšila značným množstvím uvolněného tepla nad hodnotu T_V a opět by došlo k vypařování přebytečné vody. Též nemůže dojít i na hranici 1. a 2. vrstvy ke vzniku většího množství páry než je nutné, čímž by se spotřebovalo větší množství tepla a teplota na hranici oblasti 1. a 2. by klesla pod T_V a přebytečná pára by opět zkopalněla a uvolněným výparným teplem by se opět teplota formy zvýšila na T_V .

Proces vypařování je spojen se spotřebou tepla a přeměnou kapalné fáze v plynnou a proces kondenzace, který je doprovázen uvolňováním tepla a přeměnou plynné fáze v kapalnou postupuje ve vlhké formě plynule od líce do vzdálenějších partií stěny formy. Tím stoupá celková tepelná vodivost formy a značně se zvyšuje ve formě přenos tepla **kondukcí**.

Z důvodu, že v kondenzační zóně (pro danou směs a stupeň zhuštění) je obsah vody konstantní, musí se vlivem stoupajícího objemu vody z rostoucí tloušťky x_1 (vysušená vrstva - 1) směrem do vzdálenějších partií rozšiřovat kondenzační zóna x_2 . Oblast s nižší teplotou než je T_V odpovídá velikosti x_3 a v této oblasti postupně se snižuje obsah vlhkosti až na původní hodnotu w_F .

Z obr. 3-9 je také patrný koncentrační gradient vody (vlhkosti) ve stěně formy, který má mezi 1. a 2. oblastí hodnotu w_{KZ} a mezi 2. a 3. oblastí vykazuje rozdíl ($w_{KZ} - w_F$), který vyvolává difúzní děj, při kterém vlhkost prostupuje kapilárami z kondenzační zóny částečně zpět do vysušené vrstvy (zde se opět odpařuje) a současně do 3. oblasti. Zde se zvyšuje obsah vody nad původní hodnotu w_F .

Při početním řešení přemisťování vlhkosti a vzniku kondenzační zóny v pískové slévárenské formě je důležité stanovení velikostí oblastí x_1 , x_2 , x_3 a obsah vlhkosti w_{KZ} v kondenzační zóně. Při výpočtu je nutné vyjít z tepelné rovnováhy tj. z tepla, které vydal odlitek (dQ_O) a tepla, které přijala slévárenská forma (dQ_F). Lze psát:

$$dQ_O = S \cdot \rho_M \cdot L_{KR} \cdot d\xi_O, \quad (3.19)$$

$$dQ_F = \left[\lambda_F \cdot S \cdot n \cdot \frac{(T_{pF} - T_V)}{x_1} \right] \cdot dt, \quad (3.20)$$

kde značí: S - plochu styku odlitku a formy;

L_{KR} - latentní krystalizační teplo materiálu odlitku;

T_{pF} - teplotu ohřátého povrchu formy;

T_V - teplotu vypařování (kondenzace); za normálních podmínek tlaku při 100°C ;

λ_F - součinitel tepelné vodivosti formy;

n - stupeň paraboly ($n = 1,75$);

ξ_O - tloušťku ztuhlé vrstvy odlitku v časovém okamžiku t .

Tepelnou rovnováhu lze získat spojením vztahů (3.19) a (3.20):

$$S \cdot \rho_M \cdot L_{KR} \cdot d\xi_O = \left[\lambda_F \cdot S \cdot n \cdot \frac{(T_{pF} - T_V)}{x_1} \right] \cdot dt. \quad (3.21)$$

K určení proměnné tloušťky vysušené oblasti x_1 je nutné určit další tepelnou rovnováhu na slévárenské formě:

$$Q_F = dQ_{AK} + dQ_V \quad (3.22)$$

Člen dQ_{AK} představuje přírůstek tepla, které akumuluje vrstva x_1 zvětšením její tloušťky na $x_1 + dx_1$:

$$dQ_{AK} = \frac{1}{(n+1)} \cdot S \cdot \rho_F \cdot c_F \cdot (T_{pF} - T_V) \cdot dx_1, \quad (3.23)$$

kde značí: ρ_F - hustotu materiálu 1. vrstvy formy;

c_F - měrnou tepelnou kapacitu 1.vrstvy.

Člen dQ_V vyjadřuje množství tepla (výparného), které je nutné k vypaření vody na hranici 1. a 2. oblasti:

$$dQ_V = \left[\frac{S \cdot L_V \cdot w_{KZ} \cdot \rho_F}{1 - w_{KZ}} \right] \cdot dx_1, \quad (3.24)$$

kde značí: ρ_F - hustotu převlhčené směsi v kondenzační zóně

(v oblasti 2.) $\rho_F = \rho_F / (1 - w_{KZ})$;

L_V - výparné teplo vody.

Dosazením vztahů (3.18), (3.21) a (3.22) do rovnice (3.20) lze stanovit tloušťku x_1 vysušené vrstvy při líci formy:

$$x_1 = \sqrt{\frac{n \cdot (n+1) \cdot a_F \cdot t}{[(n+1) \cdot w_{KZ} \cdot L_V]}} \cdot \frac{1}{c_F \cdot (1 - w_{KZ}) \cdot (T_{pF} - T_V)}, \quad (3.25)$$

kde značí: a_F - součinitel teplotní vodivosti vysušené vrstvy formy.

Při výpočtu obsahu vody v kondenzační zóně lze vycházet z předpokladu termodynamického rovnováhy - forma se zahřeje na teplotu vypařování T_V teplem, které se uvolnilo kondenzací páry:

$$(w_{KZ} - w_F) \cdot L_V = c_F \text{ poč} \cdot (T_V - T_F), \quad (3.26)$$

kde značí: $c_{F \text{ poč}}$ - měrnou tepelnou kapacitu formy při počáteční vlhkosti w_F .

Měrnou tepelnou kapacitu $c_{F \text{ poč}}$ pro teplotní interval od T_F do T_V vypočítáme ze vztahu:

$$c_{F \text{ poč}} = c_F \cdot (1 - w_F) + w_F \cdot c_V, \quad (3.27)$$

kde značí: c_F - střední měrnou tepelnou kapacitu materiálu formy při teplotním intervalu T_F až T_V ;

c_V - měrnou tepelnou kapacitu vody.

Ze vztahů (3.24) a (3.25) lze vyjádřit vlhkost kondenzační zóny:

$$w_{KZ} = \frac{[c_F \cdot (1 - w_F) + w_F \cdot c_V \cdot (T_V - T_F)]}{L_V} + w_F. \quad (3.28)$$

Šířka druhé oblasti - kondenzační zóny x_2 je dána množstvím vypařené vody z vysušené oblasti 1. Vznikající pára na rozhraní oblastí 1. a 2. prostupuje do oblasti 3. V této vrstvě kondenzuje a současně zahřívá tuto oblast až na teplotu vypařování T_V a tím se rozšiřuje 2. oblast (kondenzační zóna). Teplota ve 3. oblasti se mění od teploty kondenzace T_V do teploty T_F . Oblast 2. v podstatě tvoří ohřívací stěnu. Opět rozložení teploty ve 3. vrstvě lze nahradit náhradní křivkou n-tého stupně (nejčastěji parabolou). Z toho plyne, že zvýšení teploty v libovolném místě 3. oblasti je úměrné vlhkosti. Lze psát:

$$w_3 = (w_{KZ} - w_F) \cdot \left(1 - \frac{x}{x_3}\right)^{n_3} + w_F, \quad (3.29)$$

kde značí: w_3 – vlhkost ve 3. oblasti v místě x (tj. rozhraní 2. a 3. oblasti)

n_3 – stupeň náhradní křivky pro 3. oblast ($n_3 = 3$).

Současně lze napsat rovnováhu objemů vlhkosti (vody) v jednotlivých oblastech (vrstvách) formy. Vychází se z toho, že objem vody z 1. oblasti (1. vrstvy) se přemístí kondenzací do oblastí 2. a 3., lze psát:

$$W_1 = W_2 + W_3, \quad (3.30)$$

kde značí: W_1, W_2, W_3 – celkové objemy vody v jednotlivých oblastech.

$$(W_1 = x_1 \cdot w_F; W_2 = x_2 \cdot (w_{KZ} - w_F); W_3 = x_3 \cdot (w_{KZ} - w_F)/(n_3 + 1)) [m^3].$$

$$x_1 \cdot w_F = x_2 \cdot (w_{KZ} - w_F) + \frac{x_3}{n_3+1} \cdot (w_{KZ} - w_F). \quad (3.31)$$

Vyjádřením x_2 z rovnice (3.44) lze získat vztah pro určení oblasti 2. – kondenzační zóny:

$$x_2 = x_1 \cdot \frac{w_F}{w_{KZ} - w_F} - \frac{x_3}{n_3+1}. \quad (3.32)$$

Šířka 3. oblasti (x_3) se mění pouze určitou krátkou dobu a pak zůstává konstantní. Je dána průchodem vlhkosti v kapilárně póravitém tělese při působení koncentračního spádu ($w_{KZ} - w_F$). Čím je vyšší obsah vody ve směsi w_F , tím se oblast x_3 zužuje. Bylo zjištěno, že tloušťka 3. oblasti je cca 20 až 35 mm. Tato hodnota odpovídá podmínkám při odlévání cínu, mědi, hliníku, litiny i oceli při obsahu vody ve směsi v rozmezí 1 až 8 %.

Na vzniku plynových bublin v odlitku se podílí více činitelů, které se uplatňují současně. Je to volba formovacího materiálu (druh pojiva, jeho množství, navlhavost, zrnitost, způsob sušení a prodyšnosti), volba druhu jader a v neposlední řadě na výskyt bublin mají také vliv vlastnosti kovu (kinetika vývoje plynu, metalostatický tlak, vazkost kovu a rychlosť lití).

Z výčtu činitelů vyplývá, že na odstranění negativního účinku plynu z forem, nebo k jeho snížení, můžeme použít tyto tři hlavní metody: volba vhodného pojiva a jeho optimálního množství, regulace prodyšnosti a vhodný odvod plynu a vhodné řízení sušení jader.

3.3 Metody sledování plynovornosti a dilatačních vlastností forem a jader [2]

Metody sledování vlastnosti forem a jader během tepelného namáhání, v našem případě konkrétně měření uvolněných plynů a rozměrových změn během tepelného namáhání, jsou závislé na konkrétních měřených materiálech, dále na potřebné přesnosti měření, dostupném technickém vybavení, správné přípravě vzorků, správném dodržení měřícího postupu a správném zpracování výsledků.

Metody sledování **plynovornosti** lze rozdělit do dvou hlavních skupin, tj. podle toho, zdali laboratorně napodobujeme tepelné namáhání na vzorku jádrové nebo

formovací směsi, nebo zdali přímo sledujeme množství uvolněných plynů, které vzniká zalitím jádra definovaného tvaru taveninou o zvolené teplotě. Pak se tyto metody dělí:

- A) nepřímé – laboratorní;
- B) přímé – provozní.

Pro posouzení jakosti formovací nebo jádrové směsi nestačí znát jen velikost objemu uvolněných plynů, ale také čas nutný k jejich vývinu. Teprve posouzením obou veličin plynnotvornosti a času je možno posoudit kvalitu směsi. Je obecně známo, že plyny jsou v odlitku nebezpečné pouze do doby, než se vytvoří dostatečně pevná lice kůra odlitku, těsně po odlítí, která již brání vniknutí plynů z formy do taveniny a tím ke vzniku vadného odlitku.

Identifikaci množství plynu v závislosti na čase lze provést také dvěma způsoby:

- 1) registrací změny tlaku v závislosti na čase;
- 2) registrací změny objemu v závislosti na čase.

Existuje celá řada metod zjišťování plynnotvornosti směsi, doposud nedošlo ke sjednocení podmínek sledování plynnotvornosti (liší se např. použitou teplotou ohřevu), takže nelze srovnávat hodnoty plynnotvornosti získaných různými zkouškami. Proto je možno porovnávat pouze hodnoty získané stejnou metodou. U některých metod nesledujeme celý průběh vývinu plynů, ale zaměřujeme se pouze na maximální hodnoty (tlaku nebo objemu uvolněných plynů) v příslušném časovém okamžiku. Obecně lze při sledování plynnotvornosti aplikovat tyto možnosti:

- a) zahřívání malých vzorků písku na lodičce v laboratorní trubkové peci. Měření vzniklých plynů s vyloučením kondenzátu.
- b) měření plynů vzniklých ze zality pokusných jader, a to s vyloučením kondenzátu.
- c) měření tlaku plynů a par, vzniklých v pokusném jádru zalitém nebo ponořeném do roztaveného kovu.
- d) měření proudových rychlostí (a tedy i množství plynů a par) v jádru, zalitém nebo ponořeném do roztaveného kovu.

Podrobnější popis metod a zařízení pro měření plynnotvornosti je popsán v kapitole 3.3.1 (Metody měření plynnotvornosti přímé - provozní) a v kapitole 3.3.2 (Metody měření plynnotvornosti nepřímé - laboratorní).

Dilatometrickým měřením u slévárenských forem a jader se získává průběh závislosti rozměrových změn zkoumaného vzorku v závislosti na teplotě ohřevu (křivka prodloužení - čas). Podle způsobu měření dilatace lze používané metody zařadit do dvou skupin:

- A) absolutní metoda měření dilatace;
- B) relativní metoda měření dilatace.

Absolutní metoda měření dilatace je založena na měření přímého roztažení (popř. smrštění) vzorku v závislosti na teplotě. Tato metoda je velmi přesná, ale časově náročná. Používá se především pro cejchování měřicích zařízení.

Relativní metoda měření dilatace - není založena na přímém měření prodloužení (popř. zkrácení) zkušebního tělesa, ale zkušební těleso se porovnává s prodloužením etalonu známé dilatace, která byla zjištěna metodou absolutní.

Pro dilatometrická měření slouží zařízení nazvané dilatometr, který umožňuje obvykle ohřev a ochlazení zkoumaného vzorku určitou rychlosí a bývá vybaven registračním zařízením, na kterém se zaznamenávají sledované závislosti prodloužení na teplotě. Dilatometry jsou různé konstrukce, podle zkoumaného vzorku. Základní částí dilatometru bývá elektrická pícka speciální konstrukce, do které se vkládá speciálně upravené těleso, nejčastěji zhotovené z křemenného skla. Na toto těleso se ukládá zkušební vzorek předem stanovených rozměrů. Těleso z křemenného skla bývá nejčastěji propojeno se snímačem délkové změny (např. indukčním snímačem).

Podrobnější popis metod a zařízení pro měření teplotní dilatace je popsán v kapitole 3.3.3 (Metody sledování dilatačních vlastností).

3.3.1 Metody měření plynnotvornosti přímé – provozní

Přímé metody jsou založeny na použití buď formy anebo jádra zkoumaného odlitku, popř. speciálně upraveného vzorku jader nebo forem. Směs je napěchována a její ohřev je proveden přímo - tekutým kovem. Velikost objemu vzniklých plynů je sledována tlakoměry nebo plynoměry různých principů a konstrukcí. S poklesem

teploty taveniny klesá též intenzita prohřívání směsi. Průběh tlaku se blíží skutečnému průběhu vývinu plynů. Množství plynů se tedy obvykle měří v závislosti na tlaku plynů. Objem uvolňujících se plynů nebo rychlosť tvorby plynů je závislý na čase. Pro jakostní charakteristiky se používají součinitelé charakterizující mechanismus plynnotvornosti ve formě. Sledované směsi se kolísavě ohřívají vlivem nedokonalého kontaktu s tekutým kovem, což nám umožňuje experimentálně získat vlastnosti reálných odlitků a forem. Existuje několik druhů přímých metod sledování plynnotvornosti směsí, které se od sebe liší druhem formy, rozměry vzorků, zaformováním vzorku atd. Tato metoda umožňuje získat lepší představu o chování formy nebo jádra při odlévání a tuhnutí kovu, než u metody nepřímé.

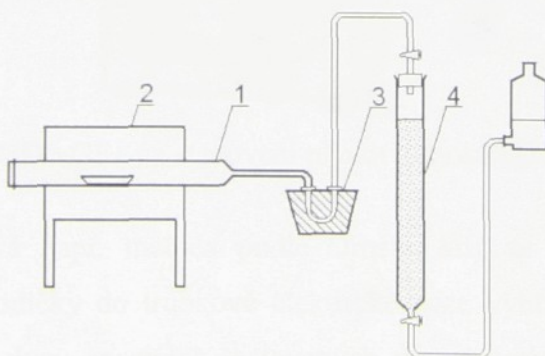
1. Metoda podle Spasského - směs je zaformována v keramickém prstenci. Odvod plynů z jeho středu je pomocí křemenné trubice, která ústí do speciální, hermeticky uzavřené nádobky o vnitřním objemu $19\ 300\ cm^3$, která je opatřena speciálním tlakoměrem. Tlakoměr je vlastně membrána z tenkého plechu. Na ni jsou připojeny tenzometry snímající její průhyb. Objem uvolněných plynů se vypočítá ze znalosti tlaku a vnitřního objemu nádobky.
2. Metoda podle Berga - vzorek je kruhového průřezu $\varnothing\ 150\ mm$ s pracovním povrchem $176\ cm^2$. Tloušťka vzorku je cca do 50 mm. Vzorek je vložen do speciálního prstence a zalévá se taveninou až do výše 80 mm. Měří se objem a teplota uvolněných plynů.
3. Metoda podle Jašina – směs je zaformována do speciálního tvaru. Takto připravený vzorek je vložen do kovové formy tak, že roztavený kov přitéká na spodní část vzorku. Po zalití kovem se prstenec uvolní a směs se rozpadá. Podle míry rozpadnutí lze usuzovat míru plynnotvornosti. Výsledný objem se stanovuje z empirických vztahů.
4. Metoda podle Piščeva – plyny jsou odváděny ze vzorku umístěného ve středu kovové formy pomocí trubky, která je napojena na měřící přístroj tlaku a objemu. Hodnoty jsou odečítány v předem stanovených časových intervalech. Vzorek je možno zalévat dvěma způsoby. Jeden způsob je vhodný pro směsi, které budou při výrobě odlitku zalité pouze z jedné strany, proto je také vzorek zalit jen z části. Druhý způsob je vhodný pro jádra s velkým tepelným namáháním. V tomto případě je vzorek zaléván celý.

5. Ponorná zkouška – jde o metodu, při které se měří tlak plynu v jádře v závislosti na čase. Výsledná závislost vykazuje dvě maximální hodnoty. První z těchto hodnot vznikne na počátku, kdy se k vytváření plynů z jádrové směsi přidá ještě objem plynu obsažený v pórech formy a prudkým ohřevem zvětšují svůj objem. Vznikající plyny jsou částečně odváděny trubičkou. Zbytek proniká roztaveným kovem. Pára a kondenzující plyny se srážejí v kondenzační zóně, která se v průběhu prohřívání jádra posouvá směrem k jeho středu. Ke druhé maximální hodnotě dojde, až se kondenzační zóna přemístí do středu vzorku k trubičce, kde se kondenzát vypaří.

Na tuto zkoušku je formovací směs připravena podle předem stanovených postupů a směs je slisována s trubičkou přesným tlakem. Pro samotné provedení zkoušky je zhodnoceno zvláštní mechanické zařízení, skládající se ze vzduchového válce, ramene a ukazatele přesné polohy. Přivod tlakového vzduchu je škrčen clonou zaručující konstantní rychlosť ponořování do hloubky 200 mm. Vzorek je ponořován do taveniny umístěné v kelímku o obsahu $0,0078 \text{ m}^3$. Ohřev je prováděn indukčně.

3.3.2 Metody měření plynovornosti nepřímé - laboratorní

Metody nepřímé (laboratorní) jsou založeny na sledování plynovornosti malého množství formovací nebo jádrové směsi, kterou zahříváme v peci. K tomuto účelu slouží např. Marsova pec, do které prostřednictvím porcelánové lodičky vkládáme navážku malého množství sledované směsi. Zde je směs zahřívána a vzniklé plyny proudí chladičem do různě sestaveného eudiometru (skleněná kalibrovaná trubice pro měření objemu plynů), viz schéma na obr. 3-10.

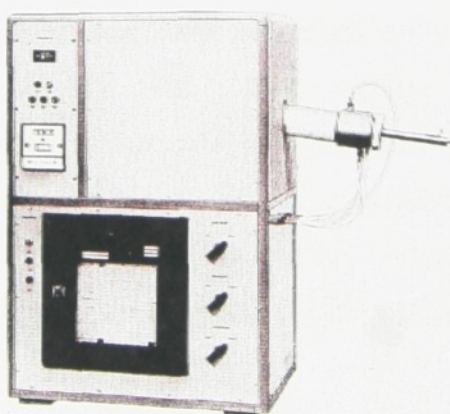


1 - žáruvzdorná trubice se vzorkem směsi; 2 - Marsova pec; 3 - chladič; 4 - eudioměr

Obr. 3-10 Schéma přístroje na stanovení plynovornosti formovací směsi [2]

Tohoto a podobného pokusného uspořádání použili ve 30. a 40. letech minulého století např. K. GRASSMANN, W. H. DIETERT, A. A. NIZOVCEV a jiní, jak uvádí PETRŽALA [2]. Určitá chyba nastávala tím, že z měření se vyloučily kondenzáty, které v kritickém okamžiku působí v jádru jako plyny. Výsledky těchto metod byly relativní, neboť nebylo jasné, zda vyjadřují skutečné poměry ve formě nebo jádru.

Od této doby došlo ke zpřesnění nepřímých metod zjišťování plynnotvornosti. Také byla zkonztruována a jsou profesně vyráběna zařízení k měření plynnotvornosti. Postupně byly vyvinuty metody, při kterých zahříváme rozmělněnou navážku zkoumané směsi v peci na zvolenou teplotu (600 až 1300 °C). K měření se používá tzv. vlastní atmosféry (měřicí aparatura je vyplněna plyny, které vznikají při měření), popř. je možné do měřicího zařízení přivést netečný plyn. Různé druhy atmosfér se používají proto, abychom zaručili stálost případných vlivů a vyloučili možnost hoření za přítomnosti vzdušného kyslíku nebo atmosféry CO₂. K tomu přispěla např. firma George Fischer (+GF+) přístrojem PGD (viz. obr. 3-11), který je v současné době používán ve velkých slévárnách. Je konstruován pro teplotu ohřevu vzorku 800 až 1000 °C, v atmosféře N₂. Skládá se z pecního prostoru a vstřelovacího zařízení. Navážka má hmotnost 1 gramu a přístroj má vodní manometr, který sleduje tlak plynů a se vstřelením vzorku do pece i čas.



Obr. 3-11 Přístroj PGD +GF+ na stanovení plynnotvornosti slévárenských směsí, [81]

Dále se používá např. metoda podle Ornsta, kdy se vzorek vkládá pomocí speciálně upravené lodičky do trubkové elektrické pece vyhřáté na 1000 °C. Přitom se měří tlak pomocí dvou speciálně sestavených manometrů. Po každém měření je zařízení profukováno CO₂.

Dále je to metoda Ströhlein, kdy se vzorek vkládá do Marsovy pece vyhřáté na teplotu 1250 °C. Měří se čas a množství vyvinutého plynu. Množství plynu

se odečítá na kalibrované byretě, z níž je kapalina plyny vytlačována do vyrovnávací nádržky. Odečítaný objem nesouhlasí se skutečně uvolněným objemem, protože tlak není konstantní, ale lineárně narůstá s poklesem hladiny. Maximální hodnota plynnotvornosti je odečítána při maximální komprimaci. Navážka směsi činí cca 2 g, je tedy nutné pro vyhodnocení přepočítat na 1 g směsi.

Metoda podle SVÚM Brno vychází ze stejného uspořádání měřicího zařízení jako metoda podle Ornsta. Rozdíl spočívá v odečítání maximální hodnoty ne z manometru, ale z reometru, kterým je v zapojení manometr nahrazen. Navážkou je směs o hmotnosti 1 g.

Obecně lze konstatovat, že nepřímé metody používají navážky 1 až 5 gramů směsi, která se umístí do porcelánové lodičky nebo lodičky z molybdenového plechu, směs se nepěchuje, naopak, povrch je nakypřený. Pouze ve zvláštních případech se používají speciální vzorky z pěchované směsi. Ohřev se provádí v elektrické peci při teplotě 800 až 1300 °C pomocí tepelného záření. Výkon tepelného zdroje je stálý během celého pokusu. Metody měření množství uvolněného plynu jsou závislé na tlaku nebo na objemu. U této metody lze plynnotvornost určit buď meřením tlaku vznikajících plynů v závislosti na čase nebo měřením objemu vznikajících plynů též v závislosti na čase. Objem uvolněných plynů není časově závislý. Pro jakostní charakteristiky se používá fyzikálně definovaných podmínek prohřívání směsi v licí formě a kinetiky plynnotvornosti. Tak, jako metody přímé, také nepřímé metody se vyznačují následujícími nedostaty. Měření nepostihuje vliv relativní tloušťky stěny odlitku ani vliv tloušťky stěny jádra obtečeného kovem. Vzorek je prohříván při konstantní teplotě, přičemž v praktických podmínkách je teplota prohřátí jádra různá. Žádné z těchto měření nemůže ukázat celkový akční tlak plynů z jádra v přímé souvislosti se stavem tuhnutí, neboli nepostihuje skutečné tepelné poměry v jádře.

3.3.3 Metody sledování dilatačních vlastností

Na katedře strojírenské technologie TU v Liberci byla vyvinuta dvě zařízení pro měření dilatace - speciální dilatometry. Bloková schémata těchto zařízení jsou na obrázcích v příloze č. 2. Tato zařízení se lišila především svou konstrukcí. Měření různých velikostí a tvarů vzorků způsobilo odlišnost typů ohřívacích pecí u vyvinutých zařízení. Ohřev vzorku byl realizován nepřímým sálavým teplem z pece. Pro různé typy vzorků se tedy používaly různé typy pecí, jednou z nich byla dělená komorová pec

speciální konstrukce, která je zobrazena na obrázcích, viz příloha č. 2. Druhou pecí byla trubková pec křemenného dilatometru, jak je zobrazeno na obrázcích též v příloze č. 2. V obou případech se jedná o elektrické odporové pece s maximální provozní teplotou 1100 °C. Součástí pecí byl regulátor, který řídil rychlosť a teplotu ohřevu. Toto zajišťoval regulační transformátor. Teplota v peci a v okolí vzorku byla snímána termočlánky NiCr – Ni. Získané hodnoty byly zaznamenávány mechanickým zapisovačem.

Snímání hodnot teplotních dilatací bylo zajišťováno v obou případech indukčním snímačem ZPA, typ. č. 99427, který ve spojení s převodníkem umožňoval registraci výsledků dilatace na mechanický zapisovač. Na základě registrované hodnoty dilatace byla získána křivka poměrné dilatace v závislosti na teplotě.

Důležitou součástí vyvinutých dilatometrů je konstrukční díl, který slouží nejen pro ustavení vzorku při jeho ohřevu v peci, ale především pro správné snímání teplotní roztažnosti (popř. smršťivosti) ohřívaného vzorku. K tomuto účelu byla použita speciálně tvarově upravená trubička z křemenného skla. Rozměrové změny ohřívaného vzorku byly přenášeny dotykem tenké křemenné trubičky. Použitím indukčního vysílače bylo dosaženo vysoké citlivosti a přesnosti snímaných údajů.

U první konstrukce dilatometru (s dělenou odporovou pecí) byly použity dva indukční snímače zapojené tak, aby se jejich signály sčítaly. Jejich výsledný signál byl registrován opět mechanickým zapisovačem, viz příloha č. 2.

Zařízení, které se používá k měření dilatačních změn u slévárenských směsí na KSP TU v Liberci dnes, je inovované a prošlo mnoha úpravami a změnami. Detailní popis tohoto zařízení je v kapitole 6 této disertační práce.

4. VÝPOČTOVÉ METODY PŘI SLEDOVÁNÍ TEPELNÉHO ZATÍŽENÍ SLÉVÁRENSKÝCH FOREM A JADER

4.1 Výpočty uvolněných plynů pro sledované chemické reakce

V této kapitole jsem provedl dva typy výpočtů. Výpočty uvolněných plynů, které nejvíce přispívají k plynnotvornosti, byly provedeny za účelem získání představy, která reakce nejvíce vykazuje množství plynné látky a v podstatě přispívá k plynnotvornosti formovacích a jádrových směsí. Tyto reakce jsou patrné z tabulky 4-1. Zde jsou uvedeny typy chemických reakcí a k nim odpovídající výsledky množství uvolněných plynů z 1 g hlavní složky uvedené reakce. Výpočet byl proveden na základě rovnosti látkového množství na počátku a na konci chemické reakce.

Druhý typ výpočtů, které se týkají stanovení hodnot Gibbsovy energie, mají přispět především k teoretickým poznatkům o plynnotvornosti formovacích a jádrových směsí. Tyto výpočty byly provedeny na základě prostudování fyzikálně-chemických výpočtů o stanovení hodnot termodynamických stavových funkcí. Výpočty byly aplikovány pro stejné reakce, viz tabulka 4-1, které přicházejí v úvahu následkem vzniku podmínek tepelného zatížení slévárenských forem a jader.

Tabulka 4-1 Výsledky výpočtů uvolněných plynů z uvedených reakcí

Typ reakce	Množství uvolněných plynů z 1 gramu složky
$C(s) + O_2(g) \longleftrightarrow CO_2(g)$	z 1g C(s) vznikne $1,866 \text{ dm}^3 CO_2(g)$
$2C(s) + O_2(g) \longleftrightarrow 2CO(g)$	z 1g C(s) vznikne $1,866 \text{ dm}^3 CO(g)$
$C(s) + CO_2(g) \longleftrightarrow 2CO(g)$	z 1g C(s) vznikne $3,73 \text{ dm}^3 CO(g)$
$C(s) + H_2O(g) \longleftrightarrow CO(g) + H_2(g)$	z 1g C(s) vznikne $3,73 \text{ dm}^3$ směsi plynů CO(g) a H ₂ (g).
$C(s) + 2H_2O(g) \longleftrightarrow CO_2(g) + 2H_2(g)$	z 1g C(s) vznikne $5,598 \text{ dm}^3$ směsi plynů CO ₂ (g) a H ₂ (g).
$Fe(s) + CO_2(g) \longleftrightarrow FeO(s) + CO(g)$	z 1g Fe(s) vznikne $0,4 \text{ dm}^3 CO(g)$
$3Fe(s) + 4H_2O(g) \longleftrightarrow Fe_3O_4(s) + 4H_2(g)$	z 1g Fe(s) vznikne $0,534 \text{ dm}^3 H_2(g)$
$FeO(s) + C(s) \longleftrightarrow Fe(s) + CO(g)$	z 1g C(s) vznikne $1,866 \text{ dm}^3 CO(g)$
$CH_4(g) \longleftrightarrow C(s) + 2H_2(g)$	z $1 \text{ dm}^3 CH_4(g)$ vznikne $2 \text{ dm}^3 H_2(g)$
$CaCO_3(s) \longleftrightarrow CaO(s) + CO_2(g)$	z 1g CaCO ₃ (s) vznikne $0,224 \text{ dm}^3 CO_2(g)$

Poznámka: U výpočtu vzniku plynů z těchto chemických rovnic je výpočet proveden s tím, že reakce proběhnou kvantitativně beze zbytku, tzn., že vše proběhne na 100 %, pro přesnější výpočet je ještě možné počítat s ustálením tzv. dynamické rovnováhy, což pro naše potřeby není nutné.

Kompletní detailní postupy výpočtů pro jednotlivé reakce jsou uvedeny v příloze č. 7. V této kapitole je uveden pouze ukázkový výpočet pro rovnici:



Pro výpočet látkového množství lze použít vztah:

$$n = \frac{m}{M}; \quad n = \frac{V}{Vm}; \quad (4.1)$$

kde značí: n - látkové množství [mol];

m - hmotnost [g];

V - objem [dm³];

Vm - univerzální měrná plynová konstanta = 22,41 [dm³ . mol⁻¹];

M - relativní molekulová hmotnost [g.mol⁻¹].

Relativní molekulová hmotnost:

$$M(\text{C}) = 12,01 \text{ [g.mol}^{-1}\text{]}; \quad M(\text{O}_2) = 31,999 \text{ [g.mol}^{-1}\text{]}; \quad M(\text{CO}_2) = 44,010 \text{ [g.mol}^{-1}\text{]}$$

$$n_C = n_{\text{CO}_2}; \quad (4.2)$$

$$\frac{m_C}{M_C} = \frac{m_{\text{CO}_2}}{M_{\text{CO}_2}} = \frac{V_{\text{CO}_2}}{Vm}; \quad (4.3)$$

$$V_{\text{CO}_2} = \frac{Vm \cdot m_C}{M_C} = \frac{22,41}{12} = 1,87 \text{ dm}^3 \text{ CO}_2 \text{ (g)}; \quad (4.4)$$

Z 1 g C(s) tedy v chemickou reakci $\text{C (s)} + \text{O}_2 \text{ (g)} \longleftrightarrow \text{CO}_2 \text{ (g)}$ vznikne 1,87 [dm³] plynného CO₂.

4.2 Výpočty změn Gibbsovy energie pro sledované chemické reakce

V této kapitole jsou uvedeny postupy a výsledky výpočtů změn Gibbsových energií aplikované pro chemické rovnice z kapitoly 4.1. „Výpočty uvolněných plynů pro sledované chemické reakce“. Tedy pro chemické změny a reakce nejčastěji probíhající ve formách a jádrech po zalití tekutým kovem. Pro rovnice číslo 1 je v této kapitole proveden kompletní vzorový výpočet. Výpočty pro ostatní rovnice jsou uvedeny v příloze č. 9.

Pro výpočet Gibbsovy energie jsou hodnoty potřebných veličin tabelovány a lze je nalézt ve fyzikálně chemických tabulkách metalurgických pochodů, nebo v podobných tabulkách. Hodnoty těchto veličin potřebných pro výpočty prováděné v této kapitole jsou uvedeny v příloze č. 8. Mezi potřebné veličiny hodnot Gibbsovy energie chemické reakce se řadí molární tepelná kapacita, entalpie, entropie, změna molární tepelné kapacity a také vnitřní energie.

Molární tepelnou kapacitu lze stanovit ze vztahu:

$$C = M \cdot c, \quad (4.5)$$

kde značí: M - relativní molová hmotnost látky [Kg.kmol⁻¹]

c - měrná tepelná kapacita [J.Kg⁻¹.K⁻¹]

Hodnoty molárních tepelných kapacit jsou závislé na teplotě. Hodnoty molárních tepelných kapacit v závislosti na teplotě se stanovují na základě experimentů. K výpočtům používáme teplotní závislosti molárních tepelných kapacit ve tvaru mocninné řady:

$$c_p = a + b \cdot T + c \cdot T^2 + c' \cdot T^3, \quad (4.6)$$

kde značí: a, b, c, c' - experimentálně stanovené konstanty.

Tyto konstanty nalezneme ve fyzikálně-chemických tabulkách. Hodnoty jsou ovšem použitelné vždy jen pro konkrétní teplotní intervaly, které jsou tabelované (viz příloha č. 8). Výsledky výpočtů pro všechny, v této kapitole uvedené rovnice, jsou souhrnně uvedeny v tabulce 4-2. Podrobné výpočty pro rovnice 1 až 10 jsou uvedeny v příloze č. 9.

Změna molární tepelné kapacity pro rovnici:



je určena rozdílem součtu molárních tepelných kapacit produktů reakce a součtu molárních tepelných kapacit látek, které vstupují do reakce

$$\Delta C_p = \sum n(C_p)_{\text{produkty}} - \sum n(C_p)_{\text{vstupující}}. \quad (4.7)$$

Potřebné hodnoty pro výpočet jsou:

C: $c_p = 17,16 + 4,27 \cdot 10^{-3}T - 8,79 \cdot 10^5 \cdot T^{-2}$ pro interval teplot [298-2300] [K]

O_2 : $c_p = 29,97 + 4,19 \cdot 10^{-3}T - 1,67 \cdot 10^5 \cdot T^{-2}$ pro interval teplot [298-3000] [K]

CO_2 : $c_p = 44,16 + 10,5 \cdot 10^{-3}T - 8,53 \cdot 10^5 \cdot T^{-2}$ pro interval teplot [298-2500] [K]

Výpočtem stanovíme změnu jednotlivých kostant Δa , Δb , Δc :

$$\Delta a = 44,16 - (17,16 + 29,97) = -2,97$$

$$\Delta b = 10,5 - (4,27 + 4,19) = 2,04$$

$$\Delta c = -8,53 - (-8,79 - 1,67) = 1,93$$

Lze tedy zapsat změnu molární tepelné kapacity pro výše uvedenou chemickou rovnici

$$\Delta C_p = -2,97 + 2,04 \cdot 10^{-3}T + 1,93 \cdot 10^5 \cdot T^{-2} \text{ pro teplotní interval [298 - 2300] [K].}$$

Termodynamické stavové funkce (Gibbsova energie, Helmholtzova energie, entalpie a entropie), jsou závislé pouze na počátečních a konečných podmínkách stavů systémů. Změnu entalpie, resp. reakčního tepla, pro výše uvedenou chemickou reakci lze stanovit na základě tzv. Hessova zákona, lze psát:

$$\Delta H_{298}^0 = \left[\sum n(\Delta H_{298}^0)_{sluč} \right]_{kon} - \left[\sum n(\Delta H_{298}^0)_{sluč} \right]_{poč}. \quad (4.8)$$

$$\frac{d\Delta H}{dT} = \Delta C_p, \quad (4.9)$$

kde značí: ΔH - přírůstek reakčního tepla během reakce;

T - teplotu reakce;

ΔC_p - změnu molové tepelné kapacity během reakce.

Provádí se na základě potřebných hodnot standardní slučovací entalpie a entropie stanovených při standardních podmínkách, tj. 298 K a tlaku 103525 Pa. Analogickým způsobem, jako je rovnice (4.8), vypočítáme změnu entropie při standardních podmínkách.

$$C: \Delta H_{298} = 0 \text{ [J.mol}^{-1}\text{]} \Delta S_{298} = 5,73 \text{ [J.mol}^{-1}.K^{-1}\text{]}$$

$$O_2(g): \Delta H_{298} = 0 \text{ [J.mol}^{-1}\text{]} \Delta S_{298} = 205,2 \text{ [J.mol}^{-1}.K^{-1}\text{]}$$

$$CO_2(g): \Delta H_{298} = -393690 \text{ [J.mol}^{-1}\text{]} \Delta S_{298} = 213,74 \text{ [J.mol}^{-1}.K^{-1}\text{]}$$

Vypočítané hodnoty pro výše uvedenou rovnici jsou:

$$\Delta H_{298} = -393690 \text{ [J.mol}^{-1}\text{]}$$

$$\Delta S_{298} = 2,81 \text{ [J.mol}^{-1}.K^{-1}\text{]}$$

Hodnota změny entropie pro konkrétní teplotu při standardním tlaku se vypočítá dle rovnice:

$$\Delta H_T^0 = \Delta H_{298}^0 + \int_{298}^T \Delta C_p \cdot dT, \quad (4.10)$$

Pro výše uvedenou chemickou reakci a teploty 800 °C, 1000 °C a 1200 °C lze provést výpočty s využitím rovnice 4.10:

$$800^\circ\text{C}: \Delta H_{1073,16} = -393690 + \int_{298}^{1073,16} (-2,97 + 2,04 \cdot 10^{-3} \cdot T + 1,93 \cdot 10^5 \cdot T^{-2}) dT = -394440 \text{ [J]}$$

$$1000^\circ\text{C}: \Delta H_{1273,16} = -393690 + \int_{298}^{1273,16} (-2,97 + 2,04 \cdot 10^{-3} \cdot T + 1,93 \cdot 10^5 \cdot T^{-2}) dT = -394527 \text{ [J]}$$

$$1200^\circ\text{C}: \Delta H_{1473,16} = -393690 + \int_{298}^{1473,16} (-2,97 + 2,04 \cdot 10^{-3} \cdot T + 1,93 \cdot 10^5 \cdot T^{-2}) dT = -394541 \text{ [J]}$$

Stanovení změny entropie - podobně jako na předchozím případě lze vypočítat změnu entropie pro výše uvedenou chemickou reakci.

$$\Delta S_T^0 = \Delta S_{298}^0 + \int_{298}^T \Delta C_p \frac{dT}{T}. \quad (4.11)$$

Pro teplotu 800 °C, 1000 °C a 1200 °C.

$$800^\circ\text{C}: \Delta S_{1073,16} = 2,81 + \int_{298}^{1073,16} \left(\frac{-2,97 + 2,04 \cdot 10^{-3} \cdot T + 1,93 \cdot 10^5 \cdot T^{-2}}{T} \right) dT = 1,58883 \text{ [J.K^{-1}]}$$

$$1000^\circ\text{C}: \Delta S_{1273,16} = 2,81 + \int_{298}^{1273,16} \left(\frac{-2,97 + 2,04 \cdot 10^{-3} \cdot T + 1,93 \cdot 10^5 \cdot T^{-2}}{T} \right) dT = 1,51353 \text{ [J.K^{-1}]}$$

$$1200^\circ\text{C}: \Delta S_{1473,16} = 2,81 + \int_{298}^{1473,16} \left(\frac{-2,97 + 2,04 \cdot 10^{-3} \cdot T + 1,93 \cdot 10^5 \cdot T^{-2}}{T} \right) dT = 1,50325 \text{ [J.K^{-1}]}$$

Stanovení změny Gibbsovy energie pro výše uvedenou chemickou reakci: v této souvislosti je nutno podotknout, že Gibbsova energie je ta část energie, kterou lze uvolnit ze soustavy a může konat práci při konst. tlaku a teplotě. Současně je velmi důležitá při charakteristikách průběhu dějů. Jak je obecně známo, děje probíhají tehdy, pokud Gibbsova energie klesá nebo je změna Gibbsovy energie záporná. V této souvislosti je nutno konstatovat, že výpočty této termodynamické stavové funkce byly provedeny za účelem stanovení změny v průběhu sledování reakce. Pro změnu Gibbsovy energie lze psát:

$$\Delta G_T^0 = \Delta H_T^0 - T \cdot \Delta S_T^0 \quad (4.12)$$

Dosazením do rovnice (4.12) dílčí, výše uvedené výsledky, lze stanovit hodnoty změny Gibbsovy energie pro výše uvedenou chemickou reakci pro teploty 800 °C, 1000 °C a 1200 °C.

$$\Delta G_{800^\circ C}^0 = -396145 \text{ [J]}$$

$$\Delta G_{1000^\circ C}^0 = -396454 \text{ [J]}$$

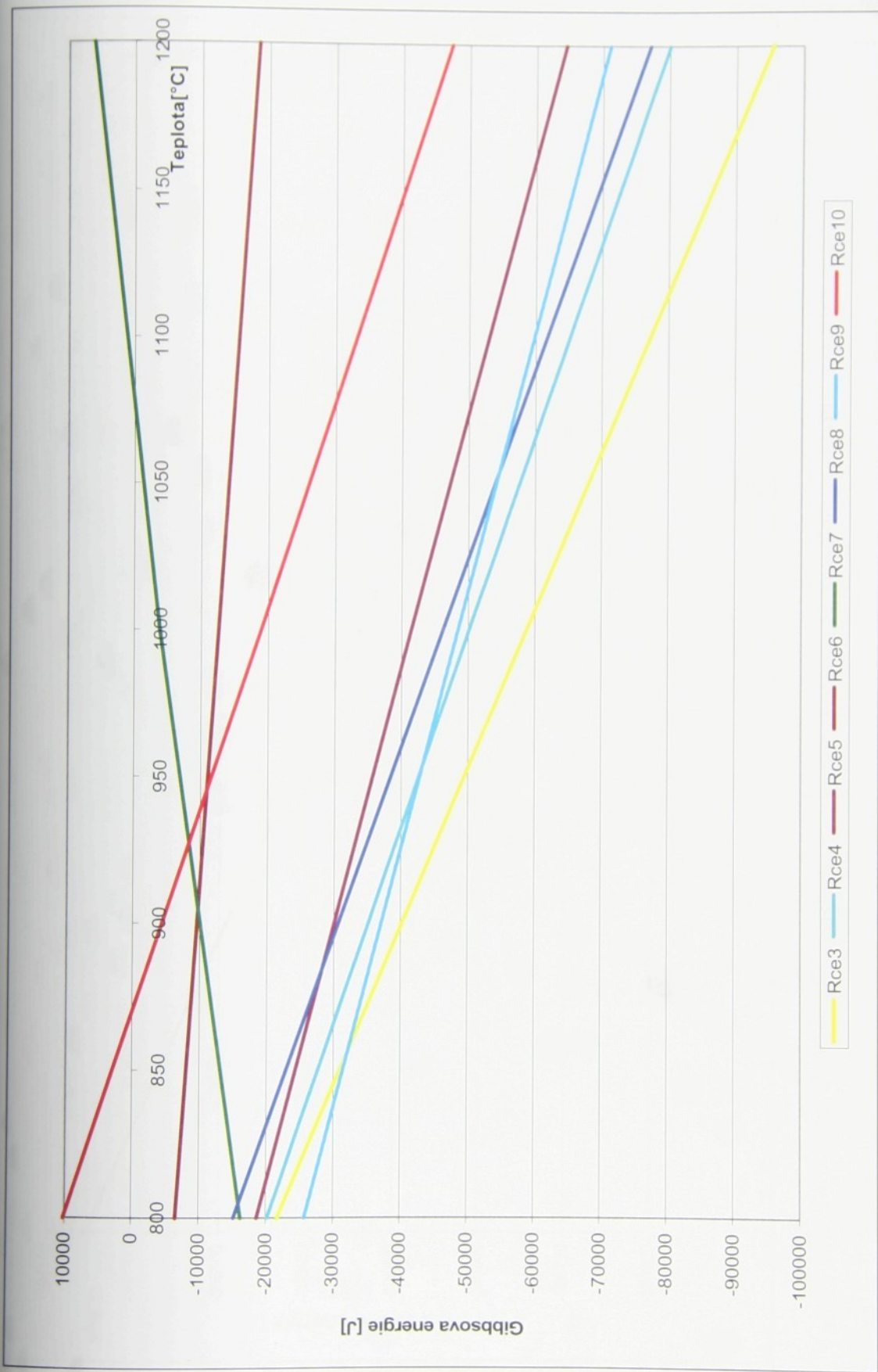
$$\Delta G_{1200^\circ C}^0 = -396756 \text{ [J]}$$

Analogickým způsobem lze určit všechny hodnoty potřebných veličin pro výpočet změny Gibbsovy energie u všech chemických reakcí uvedených v tabulce 4-1. Provedené výpočty jsou uvedeny v příloze č. 9.

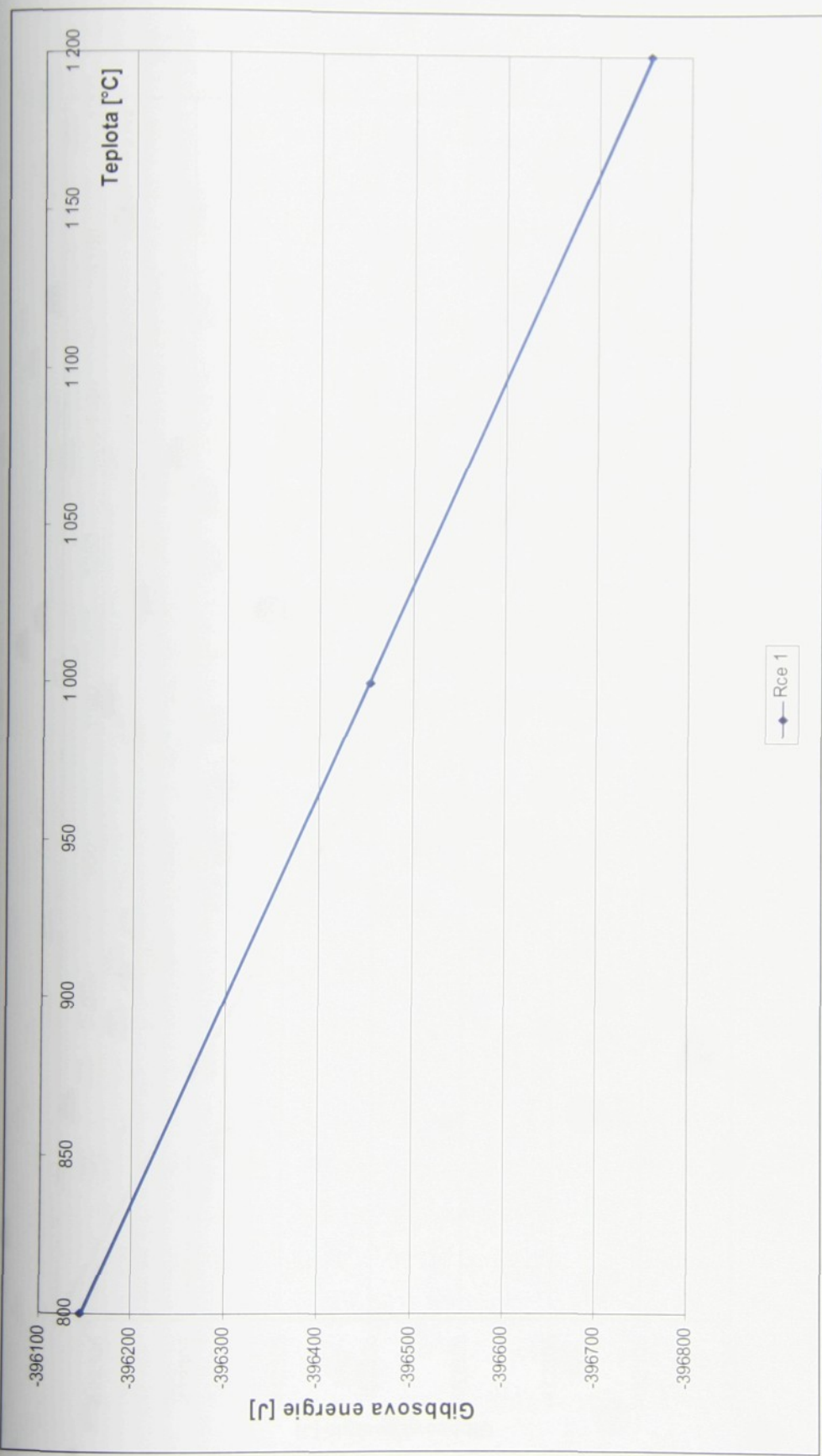
V tabulce 4-2 jsou hodnoty změn Gibbsovy energie pro teploty 800 °C, 1000 °C, 1200 °C všech chemických rovnic uvedených v tabulce 4-1. Na obr. 4-1, 4-2 a 4-3 je grafická závislost Gibbsovy energie na teplotě pro chemické reakce přispívající k tvorbě plynů během tepelného namáhání pískových slévárenských forem a jader.

Tabulka 4-2 Výsledky výpočtu změn Gibbsovy energie

Číslo	Rovnice	Typ reakce	Množství uvolněných plynů z 1 gramu složky	Změna Gibbsovy energie [J] při teplotách			Mezní teplota [°C] pro průběh děje	Rovnice přímky teplet
				800 °C	1000 °C	1200 °C		
1	C(s) + O ₂ (g) ↔ CO ₂ (g)		z 1g C(s) vznikne 1,866 dm ³ CO ₂ (g)	-396 145	-396 454	-396 756	-258542,72	y = -1,5275x - 394924
2	2C(s) + O ₂ (g) ↔ 2CO(g)		z 1g C(s) vznikne 1,866 dm ³ CO(g)	-417 886	-455 143	-492 305	-1445,76	nereálné v našich podmínkách
3	C(s) + CO ₂ (g) ↔ 2CO(g)		z 1g C(s) vznikne 3,73 dm ³ CO(g)	-21 696,8	-58 636,2	-95 491,8	682,307	nereálné v našich podmínkách
4	C(s) + H ₂ O(g) ↔ CO(g) + H ₂ (g)		z 1g C(s) vznikne 3,73 dm ³ směsi plynu CO(g) a H ₂ (g).	-20 192	-50 038,3	-80 009,1	665,12638	y = -149,54x + 99463
5	C(s) + 2H ₂ O(g) ↔ CO ₂ (g) + 2H ₂ (g)		z 1g C(s) vznikne 5,598 dm ³ směsi plynu CO ₂ (g) a H ₂ (g).	-18 644,4	-41 383,1	-64 466,1	637,765	y = -114,55x + 73056
6	Fe(s) + CO ₂ (g) ↔ FeO(s) + CO(g)		z 1g Fe(s) vznikne 0,4 dm ³ CO(g)	-6 559,21	-12 581	-18 471,6	579,0268	y = -29,781x + 17244
7	3Fe(s) + 4H ₂ O(g) ↔ Fe ₃ O ₄ (s) + 4H ₂ (g)		z 1g Fe(s) vznikne 0,534 dm ³ H ₂ (g)	-16 245,7	-3 821,01	6136,68	1082,9759	y = 55,956x - 60599
8	FeO(s) + C(s) ↔ Fe(s) + CO(g)		z 1g C(s) vznikne 1,866 dm ³ CO(g)	-15 180,4	-46 106,9	-77 078,6	701,932	y = -154,75x + 108624
9	CH ₄ (g) ↔ C(s) + 2H ₂ (g)		z 1dm ³ CH ₄ (g) vznikne 2 dm ³ H ₂ (g)	-25 716,9	-48 380,1	-71 078,6	573,298	y = -113,4x + 65012
10	CaCO ₃ (s) ↔ CaO(s) + CO ₂ (g)		z 1g CaCO ₃ (s) vznikne 0,224 dm ³ CO ₂ (g)	10 175	-18 886,7	-47 351,1	870	y = -143,82x + 125128



Obr. 4-1 Grafické závislosti změny Gibbsovy energie na teplotě (pro rovnice uvedené v tabulce 4-2)



Obr. 4-2 Grafické závislosti změny Gibbsovy energie na teplotě pro rovnici č. 1 z tab. 4-2



Obr. 4-3 Grafické závislosti změny Gibbsovy energie na teplotě pro rovnici č. 2 z tab. 4-2

5. EXPERIMENTÁLNÍ MĚŘENÍ PLYNOTVORNOSTI

Tato část disertační práce je zaměřena na zjišťování objemu uvolněných plynů z navážky vzorku (nejčastěji 1 [g] během ohřevu) formovací nebo jádrové směsi.

Měření plynnotvornosti bylo provedeno na měřicím zařízení, které bylo navrženo a sestrojeno na našem pracovišti - Katedře strojírenské technologie - FS, TU v Liberci.

Protože v průběhu mých experimentů došlo k závadě funkce snímače tlaku uvolněných plynů, bylo nutno tento snímač vyměnit a opět celé zařízení zkalibrovat a správně nastavit ovládací program zařízení, který umožňuje tlak uvolněných plynů převést na objem uvolněných plynů a zobrazit grafické závislosti objem uvolněných plynů na čase; objem uvolněných plynů na teplotě a závislost teploty v peci na čase.

Díky znalostem z elektrotechniky, programování a mikroelektroniky jsem mohl tuto renovaci měřicího zařízení provést samostatně.

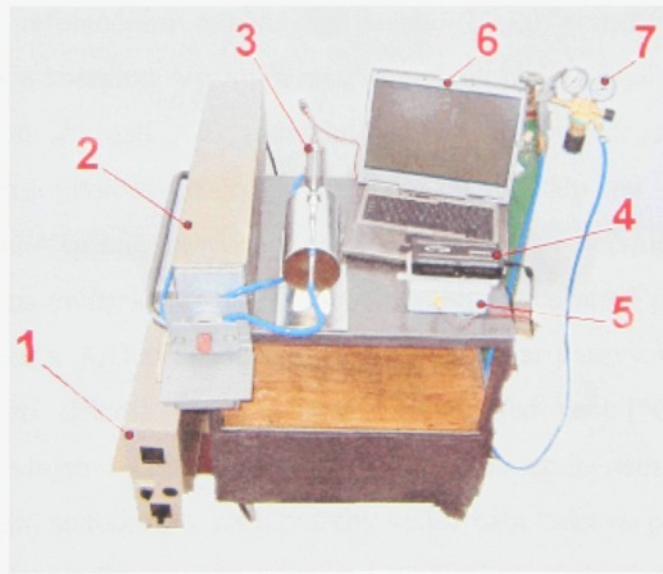
5.1 Charakteristika současného zařízení pro měření plynnotvornosti

Měřicí zařízení pro měření plynnotvornosti používané na našem pracovišti prošlo již dvacetiletým vývojem. Za tu dobu na zařízení bylo provedeno několik konstrukčních a metodických změn. Funkce navrženého a neustále zdokonalovaného měřicího zařízení byla již ověřena a některé výsledky byly již zpracovány v diplomových pracích BAUEROVÁ [11], NOVÁK [15] a JENČOVSKÝ [16].

Principem je snímání tlaku uvolňujících se plynů spalováním vzorku směsi v elektrické peci. Tato metoda vychází z metodiky měření plynnotvornosti na přístroji PGD (švýcarská firma +GF+). Vzorek navážky zkoušené směsi je ohříván sálavým teplem v uzavřeném prostoru pece, který je spojen pouze s měřicí soustavou. Na měřicím zařízení sledujeme tlak uvolňujících se plynů v daném časovém okamžiku. Toto měřicí zařízení pro měření plynnotvornosti slévárenských formovacích a jádrových směsí pracuje na principu snímání tlaku uvolňujících se plynů při zahřívání směsí. Skupinové schéma zařízení je uvedeno v příloze č. 9.

Měřicí zařízení pracuje s tímto postupem: Vzorek směsi o hmotnosti $1,00 \pm 0,01$ g se ohřívá v otevřené lodičce z molybdenového plechu, což umožňuje jeho velmi rychlý ohřev již od prvních okamžiků po vložení vzorku do prostoru zatavené křemenné trubice, která je umístěna v elektrické odporové trubkové peci.

Zařízení se skládá z odporové trubkové pece Marsova typu s vyhřívacím prostorem, tvořeným v ose tělesa pece uloženou podélne půlenou keramickou trubicí s odporovými vyhřívacími elementy a do ní zasunutou křemennou trubicí pro vkládání vzorku. Pec je spojena s regulátorem teploty v peci a je opatřena teplotním čidlem zasahujícím do prostoru keramické trubice. Pec je dále opatřena chlazením a odvodem plynu. Dále je pec tvořena pohyblivou částí, jejíž součástí je křemenná trubice z části překrytá ochrannou keramickou trubici. Křemenná trubice je na konci, který je určen pro zasunutí do keramické trubice, zatavena a na druhém konci je opatřena uzavírací hlavicí, která je tvořena objímkou s přívodem a odvodem chladící vody. Na chladící objímku navazuje objímka s odvodem plynu. V ose křemenné trubice je umístěna křemenná tyčinka opatřená na konci zasahujícím do křemenné trubice lodičkou, která je z molybdenového plechu a na druhém konci je osazená kónickým uzávěrem pro vzduchotěsné uzavření prostoru ochranné keramické trubice. Do stabilizační nádoby je těsně zaústěno tlakové čidlo, jehož výstup je přes sběrnici s paralelním A/D převodníkem vybaven řídícím programem a je propojen s počítačem opatřeným monitorem. Počítač je vybaven jednotkou pro grafickou interpretaci zjištěných závislostí a to objemu uvolněných plynů v závislosti na čase, objemu uvolněných plynů v závislosti na teplotě a teploty v peci v závislosti na čase. Pohled na stávající měřicí zařízení plynatosti je na obr. 5-1.



1- regulátor pece; 2 – Marsova pec; 3 – tlakové čidlo; 4 – sběrnice dat; 5 – zdroj napětí pro sběrnici; 6 – PC; 7- tlaková nádoba s plynem (N_2)

Obr. 5-1 Pohled na stávající měřicí zařízení plynovornosti formovacích a jádrových směsí, včetně označení základních prvků

Výhodou tohoto zařízení je možnost nastavení teplotního režimu (např. $3\text{ }^{\circ}\text{C}.\text{min}^{-1}$, $5\text{ }^{\circ}\text{C}.\text{min}^{-1}$, $10\text{ }^{\circ}\text{C}.\text{min}^{-1}$, $20\text{ }^{\circ}\text{C}.\text{min}^{-1}$) ohřevu prostoru pro vyhřívání prostřednictvím regulátoru ohřevu pece až do teploty $1300\text{ }^{\circ}\text{C}$ s možností vyhodnocení měřené plynnotvornosti vzorků jádrových a formovacích směsi v digitální podobě interpretované počítačem. Více o regulátoru teploty Omron E5CN je v příloze č. 10.

Dalším prvkem zařízení je sběrnice naměřených dat, která je elektrickým vodičem propojena s tlakovým čidlem. Tato sběrnice současně plní i funkci A/D převodníku a umožňuje převádět naměřený analogový signál na digitální. Digitální signál je možno po nekonečně dlouhou dobu registrovat počítačem.

Naměřený tlak plynu je na vstupu do sběrnice s paralelním A/D převodníkem registrován jako elektrická veličina, například jako určitá hodnota elektrického napětí [mV], která je zpracována prvním blokem řídícího programu této datové sběrnice. Řídící program je součástí komerčně dodávané sběrnice s převodníkem. Paralelní A/D převodník spolu s řídícím programem převádí napětí na jeho vstupech na hodnoty tlaku uvolněných plynů a teplot. Během zpracování signálu je provedeno jeho vzorkování ve vzorkovacím bloku sběrnice, tj. výběr hodnot naměřené veličiny v určitých pravidelných časových intervalech. Tento paralelní A/D převodník provádí převod v jednom časovém okamžiku. Blok A/D převodníku tedy přijímá analogové signály změny tlaku a teploty. V druhém bloku se tyto vstupní signály porovnávají s odstupňovaným referenčním napětím z dalšího bloku pomocí komparátorů, dle modifikace výrobce sběrnice. Výstupní stav komparátorů je zaznamenán do klopních obvodů, které jsou součástí A/D převodníku. Tím se provede zakódování signálu v kódovacím bloku. Potom následuje dekódování signálu na dekodéru, což je kombinační obvod výrobně nastavený v A/D převodníku sběrnice. Jeho funkcí je převod informací na určitý kód, který zpracovává řídící program v prvním bloku, který je součástí sběrnice s A/D převodníkem a převádí ho na datový výstup převodníku. Datový výstup, resp. získaná data (jako je teplota prostředí pece [$^{\circ}\text{C}$] a hodnota napětí odpovídající výsledným tlakům [V]) jsou již ve výše zmíněném řídícím programu uložena do datového souboru pro naše potřeby ve formátu *.dat na pevný disk počítače. Výstupní formát dat je dále možno nastavit i na širokou škálu jiných formátů. V PC se tyto datové soubory importují do tabulkového procesoru, například do Microsoft Excel® do předem připraveného programu počítače, který data vyhodnotí a zároveň převede do grafické podoby, kterou je možno zobrazit na display počítače. To je

provedeno na základě zpracování výše uvedených dat s použitím kalibračního koeficientu. Tím se získá změna tlaku Δp , která byla vyvozena uvolněnými plyny zahřívané navážky, například jádrové směsi v měřicí soustavě zařízení. Tyto výpočty jsou provedeny na základě platnosti izotermického zákona pro plyny ($\Delta V \cdot p_A = \Delta p \cdot V_0$). Tímto způsobem na základě naměřených hodnot změn tlaku Δp v měřicí soustavě, známé hodnoty objemu měřicí soustavy V_0 a známé hodnoty atmosférického tlaku se vypočítávají hodnoty ΔV , vždy v daném čase. Výsledné hodnoty jsou pak zobrazeny monitorem počítače vybaveným bloky pro grafickou interpretaci zjištěných závislostí, objemu uvolněných plynů v závislosti na čase, objemu uvolněných plynů na teplotě a teploty v peci v závislosti na čase.

Program počítače nejprve vezme první hodnotu napětí a určí jí jako nulovou – počáteční a proto je výsledkem přímo hodnota objemu uvolněných plynů měřeného vzorku. Dále tento program vytvoří řadu hodnot, které odpovídají přírůstkům napětí vztaženým k této první počáteční hodnotě. Tato řada se podělí kalibračním koeficientem, který se získává pomocí předem provedené kalibrace měřícího zařízení.

Před měřením plynovornosti směsi je tedy nutno u zařízení provést kalibraci a ověřit jeho funkci, nejčastěji se provádí zátěžovou pumpou. Po kalibraci je možno použít zařízení pro měření. Dále se zkонтroluje propojení všech prvků tvorících měřicí zařízení, včetně připojení k elektrické síti, kontrola těsnosti a spojení propojovacích hadic. Kontrola činnosti a nastavení teplotního a tlakového čidla. Dále je nutno před každým měřením plynovornosti křemennou trubici profouknout inertním plynem. Těsně před měřením plynovornosti je nutné spuštění cirkulace chladícího okruhu do uzavírací hlavice pece.

Měřicí zařízení pracuje s tímto postupem:

Vzorek směsi, například o hmotnosti $1,00 \pm 0,001$ g se vloží na lodičku z molybdenového plechu, která je z důvodu manipulace opatřena křemennou tyčinkou. Lodička s navážkou se vloží do zahřívací komory pece, tedy do křemenné trubice překryté ochrannou keramickou trubicí. Po vložení se otvor utěsní pryžovým kónickým uzávěrem. Pak se tato část zařízení zasune prostřednictvím ližin do dutiny pece tvořené vyhřívanou keramickou trubicí. Dále se na regulátoru ohrevu pece nastaví potřebná maximální teplota ohrevu vzorku a současně se k regulátoru ohrevu připojí výstup teplotního čidla v peci, kterým je například termoelektrický článek NiCr – Ni.

Prostřednictvím programu počítače na zpracování výsledků v programu Microsoft Excel® se nastaví tlak v měřicí soustavě, tvořené uzavírací hlavicí, křemennou trubicí, kónickým uzávěrem, stabilizační nádobou a tlakovým čidlem, na nulovou hodnotu. Po určité době, v důsledku uvolňování plynů ze zahřívaného vzorku se v měřicí soustavě postupně vytvářejí různě hodnoty změny tlaku, které jsou registrovány a snímány tlakovým čidlem pro určitý časový okamžik. Tlakové čidlo registruje změnu tlaku vytvořených plynů prostřednictvím změny napětí, které je přivedeno na sběrnici s A/D převodníkem a je digitalizováno s využitím příslušného programu, například DaqVIEW, a na základě programu pro vyhodnocení výsledku plynnotvornosti v programu Microsoft Excel®, kde je pomocí izotermického zákona ($\Delta p \cdot V_0 = V \cdot p_A$) pro každý časový okamžik měření vypočítána hodnota změny objemu ΔV a prostřednictvím tohoto programu zobrazena na display počítače. Současně teplotní čidlo registruje teplotu ve vyhřívací části pece jako změnu napětí. Tato změna napětí přichází na vstup datové sběrnice, prostřednictvím A/D převodníku a programu DaqVIEW, je digitálně převedena na hodnotu ve $^{\circ}\text{C}$ a dále je programem DaqVIEW zobrazena na display počítače v závislosti na probíhajícím čase měření ohřívání pece, resp. měření plynnotvornosti vzorku. Po ukončení měření je nutné po vypnutí všech elektrických zařízeních, také ještě ponechat spuštěný chladící okruh uzavírací hlavice měřicího zařízení. Ten je možný vypnout až po vychladnutí pece, z hlediska bezpečnosti a zároveň i menšímu namáhání a delší životnosti uzavírací hlavice a zatavené křemenné trubice.

Zařízení umožňuje měření plynnotvornosti při teplotách do $1300\ ^{\circ}\text{C}$. Výše teploty má vliv i na vyšší rychlosť ohřevu vzorku v lodičce. Měřicí zařízení současné konstrukce je koncipováno na základě uplatnění moderních snímačů tlaků a teploty, pomocí sběrnice dat a následného vyhodnocení digitálního signálu a jeho zobrazení pomocí PC.

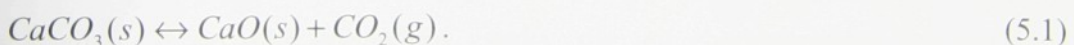
Kalibrace zařízení pro měření plynnotvornosti:

Před každou sérií prováděných experimentů je vhodné provést kalibraci měřicího zařízení. Tu lze provést různým způsobem, např. pomocí zátěžové pumpy AMETEK, pomocí tepelného rozkladu vápence CaCO_3 , popř. tepelného rozkladu anorganické soli KHCO_3 .

a) Kalibrace pomocí zátěžové pumpy, například typu AMETEK, je založena na změně vstupního tlaku, což se provádí pomocí kalibračních závaží působících na danou plochu v rozsahu 1 až 10 kPa. Výstupní kalibrační křivka je závislost tohoto tlaku na změreném napětí sledované soustavy měřicího zařízení plynnotvornosti. Výstupní hodnoty napětí jsou zobrazeny softwarem DaqVIEW. Pro kontrolu správnosti výstupní hodnoty napětí je nutno do soustavy zapojit i multimeter. Na základě záznamu kalibrace čidla pomocí kalibrační zátěžové pumpy je sestrojena kalibrační křivka výstupního napětí při změně tlaku. Ze získaných hodnot naměřených na zátěžové pumpě jsou poté stanoveny kalibrační konstanty pro rozmezí tlaků 0 až 10 000 Pa. Tedy pro rozsah tlaků do 1000 Pa odpovídá konstanta, kdy $1\text{Pa} = 0,00030300 \text{ V}$. S hodnotou této konstanty byly provedeny výpočty plynnotvornosti v této disertační práci.

V příloze č. 10 je zobrazena zátěžová pumpa AMETEK použitá při kalibraci našeho měřicího zařízení, současně zde jsou uvedeny záznamy změn výstupního napětí při prováděné kalibraci a výstupní kalibrační křivka, která znázorňuje závislost tohoto tlaku na změreném napětí sledované soustavy (měřicí zařízení plynnotvornost). Vzhledem k tomu, že měřením plynnotvornosti našich vzorků jádrových směsí je vyvolána malá změna tlaku a proto se pohybujeme v malém rozsahu kalibrační křivky stanovené pomocí zátěžové pumpy (AMETEK), bylo vhodné ještě pro kontrolu provést kalibraci pomocí metody rozkladu CaCO_3 (tato metoda je používána pro kalibraci profesně používaných měřicích zařízení plynnotvornosti). Pro nás tato metoda lépe vystihuje místní podmínky, tedy malé změny tlaku měřené plynatosti, a k tomu odpovídající změny objemu.

Kalibrace pomocí metody rozkladu CaCO_3 - se provádí na základě tepelného rozkladu čistého, předem vysušeného (při 105°C), uhličitanu vápenatého (CaCO_3), který se rozkládá při teplotách 850 až 894°C podle rovnice:



CaCO_3 patří mezi tuhé alkalické zeminy a nachází se v přírodě ve dvou modifikacích, jako vápenec a jako aragonit (liší se teplotou a podmínkami vzniku). Pro uplatnění kalibrační látky (CaCO_3) bylo nutno určit objem uvolněných plynů z rozkládajícího se zkušebního vzorku čistého CaCO_3 . Objem uvolněných plynů

ze zkušebního vzorku byl teoreticky stanoven z rozkladné rovnice CaCO_3 podle vzorce:

$$V = \frac{(V_m \cdot m)}{(M_{\text{CaCO}_3})}, \quad (5.2)$$

kde značí: V_m - molový objem plynu;

m - hmotnost CaCO_3 ;

M_{CaCO_3} - molární hmot. CaCO_3 , pro 0,1 g navážky CaCO_3 : $V = 22,4 \text{ cm}^3$.

Zjištěné hodnoty tepelného rozkladu CaCO_3 jsou uvedeny v tabulce, viz příloha č. 10. V této příloze je také uvedena kalibrační křivka daného měřicího zařízení zjištěná pomocí tepelného rozkladu vápence (CaCO_3).

Porovnáním hodnot průměrných výsledných konstant z obou těchto kalibrací bylo zjištěno, že hodnoty kalibrace na zátěžové pumpě AMETEK (průměrná hodnota konstanty je 0,0003125) jsou téměř shodné s kalibrací pomocí rozkladu CaCO_3 (průměrná hodnota konstanty je 0,000310928). Tím byla potvrzena správnost obou kalibrací. Vyskytuje se však drobné odchylky při porovnání jednotlivých tlaků a k nim odpovídajících konstant. To může být způsobeno jednak tím, že vzhledem k odlišným typům kalibrace nemůžeme porovnávat vždy přesně shodné tlaky, ale také tím, že u kalibrace pomocí rozkladu CaCO_3 využíváme modelu teoretického výpočtu objemu, který se může od reálného objemu nepatrně lišit.

Po kalibraci měřicího zařízení je možno již provést vlastní měření plynnotvornosti směsi.

5.2 Návrh a popis metodiky přípravy vzorků pro sledování plynnotvornosti

Ke sledování plynnotvornosti byly použity směsi o různé konzistenci (od sypké přes kašovitou, až po tuhé kompaktní vzorky, dle její charakteristiky pro následné zpracování). Sledování plynnotvornosti vzorků směsi bylo prováděno na základě experimentů, které lze rozdělit do tří skupin:

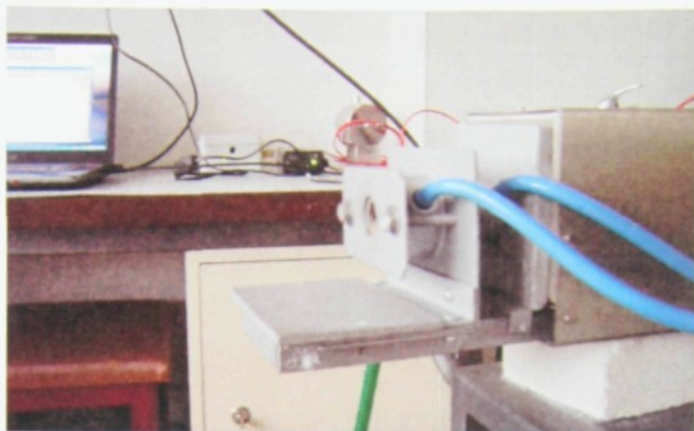
- A) Sledování plynnotvornosti komplexní směsi „v kašovitém stavu“ před jejím vytrvzením;
- B) Sledování plynnotvornosti komplexní směsi po jejím vytrvzení (vzorky již hotových jader před použitím);

Sledování plynnotvornosti sypkých komplexních směsí před jejím vytvrzením. Směs pro zkoušku plynnotvornosti byla připravena netradičním způsobem, nejprve se se sypkou směsí pracovalo jako s ostřivem, provedl se síťový rozbor a stanovila se součtová křivka (pro celý rozsah zjištěné zrnitosti). Dále byla měřena plynnotvornost na jednotlivých frakcích, zachycených na příslušných sítech, podle dále uvedeného postupu. Současně bylo provedeno měření plynnotvornosti na této sypké komplexní směsi.

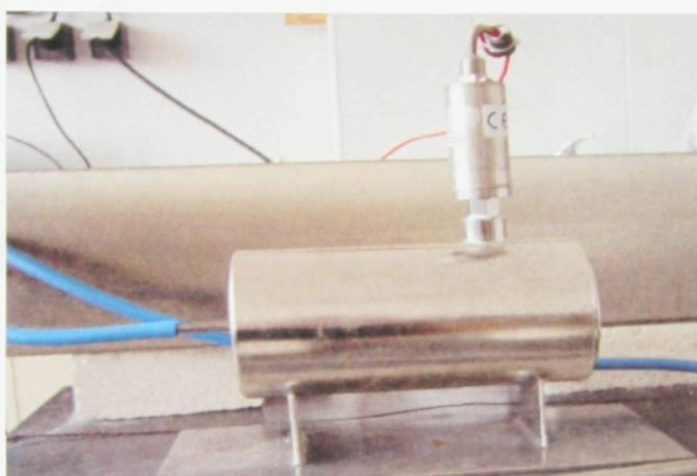
Záměr experimentů, výše uvedeného bodu C), byl prováděn na základě úvahy, resp. znalosti, související s povrchovostí částic (menší částice mají při stejně hmotnosti větší povrch než částice větší). Z toho plyne, že menší částice ostřiva budou ve stejném objemu pokryty větším množstvím pojiva, tudíž by měly i uvolňovat při zahřívání více plynů.

Postup při měření plynnotvornosti byl proveden podle uvedených zásad - atmosféra pece byla předem zahřátá na teplotu, při které jsme chtěli sledovat uvolňování plynů. Vzorek sledované směsi byl navážen na přesné váze LECO EB 25, viz příloha č. 10, nejčastěji používáme hmotnost $1,00 \pm 0,001$ g. Tento vzorek byl vložen na lodičku z molybdenového plechu. Postup výroby lodičky je uveden v příloze č. 11. Lodička s navázkou byla vložena do zahřívací komory zařízení. Po vložení se vstupní otvor utěsnil pryžovým kónickým uzávěrem. Pak se tato část zařízení zasunula do dutiny pece tvořené vyhřívanou keramickou trubicí. Dále se na regulátoru ohřevu pece nastavila potřebná maximální teplota ohřevu vzorku a současně se k regulátoru ohřevu pece připojil výstup teplotního čidla v peci. Prostřednictvím programu počítače se pro zpracování výsledků v programu Microsoft Excel® nastavil tlak v měřicí soustavě na nulovou hodnotu. Po určité době, v důsledku uvolňování plynů ze zahřívaného vzorku, se v měřicí soustavě postupně vytvářejí různě hodnoty změny tlaku, které jsou registrovány a snímány tlakovým čidlem pro určitý časový okamžik.

Na obr. 5-2 je pohled na přední část měřicího zařízení plynnotvornosti, tj. na místo, kam se vkládá vzorek do pásky. Na obr. 5-3 je pohled na vyrovnávací nádobu se zabudovaným tlakovým čidlem



Obr. 5-2 Pohled na přední část měřicího zařízení plynnotvornosti



Obr. 5-3 Pohled na vyrovnávací nádobu se zabudovaným tlakovým čidlem

Při sledování plynnotvornosti sypkých komplexních směsí byl nejdříve proveden síťový rozbor ostřiva, aby byla směs rozdělena nejen do jednotlivých velikostních frakcí, ale také aby byla získána součtová křivka zrnitosti směsi, viz příloha č. 4. Díky malému množství vzorku směsi zachyceného na nejmenších frakcích, bylo nutné provést u každé směsi síťový rozbor vícekrát, abychom na každé frakci získali minimálně 8 g směsi. Toto množství bylo potřebné, protože každé měření u všech vzorků jsem prováděl osmkrát a byl předpoklad, že k analýze plynnotvornosti bude vždy použit 1 g navážky vzorku na jedno měření plynnotvornosti. Současně bylo nutné i opakovaní měření z důvodů zprůměrování výsledných hodnot a získání minimálních chyb a odchylek měření. Sítový rozbor byl proveden na přístroji popsaném v příloze č. 4. V příloze č. 17 jsou uvedeny výsledky provedených síťových rozboru směsí. V této

příloze jsou uvedeny také obrázky sypkých komplexních měřených směsí a jejich jednotlivých frakcí.

Pokud byla sledována plynnotvornost přímo z vytvrzeného jádra, byl z jádra odříznut vzorek ve tvaru malého hranolku, cca 50 x 5 x 5 mm odpovídající velikosti lodičky a následně byla zkонтrolována jeho hmotnost a upravena na potřebnou hmotnost 1 g, stále ještě kompaktního celku. Tento vzorek byl opět položen na lodičku z molybdenového plechu a zasunut do předehřáté pece zkušebního zařízení. Na obr. 5-4 jsou znázorněny odřezané části již hotového jádra ze směsi, které byly dále upraveny na odpovídající hranolek použitý pro experiment.



Obr. 5-4 Oddělené části jádra ve tvaru hranolků pro přípravu vzorků

Hranolek, respektive vzorek, musí svými profilovými rozměry odpovídat profilu molybdenové lodičky a zároveň musí odpovídat svojí hmotností 1 gramu.

5.3 Sledování plynnotvornosti vybraných slévárenských směsí

V předchozí kapitole je stručně popsána příprava vzorků až do okamžiku jeho vložení do předehřáté pece měřicího zařízení. Tato kapitola je zaměřena na popis konkrétních experimentů sledování plynnotvornosti vzorků vybraných formovacích a jádrových směsí v závislosti na čase. Charakteristika vybraných směsí je uvedena v příloze č. 24. Pro rozmanitost použitých směsí byly experimenty rozděleny do čtyř etap.

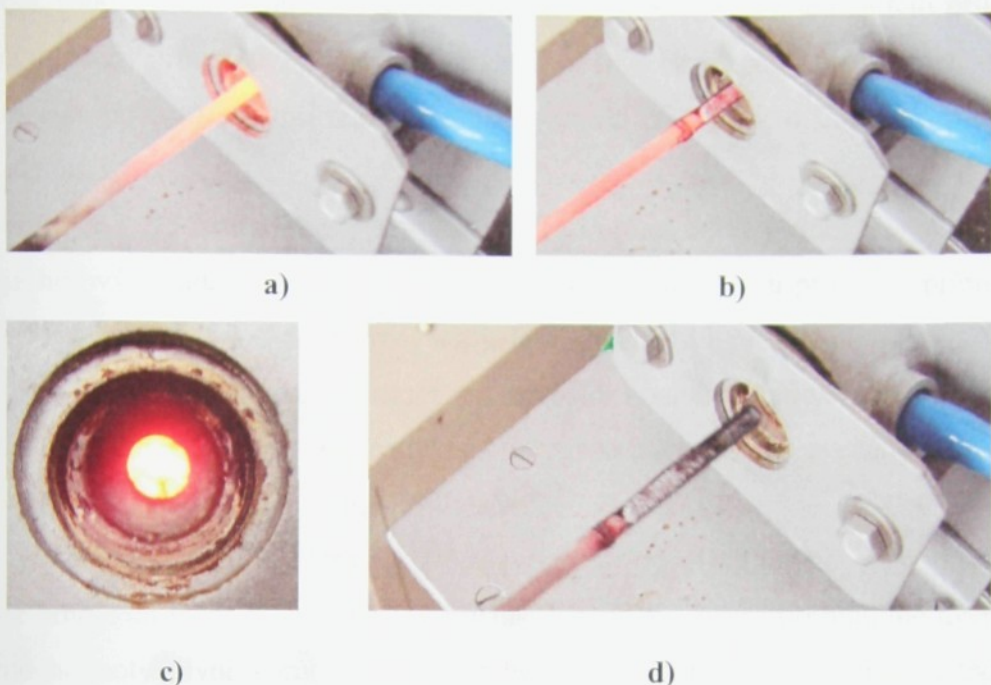
I. etapa prováděných experimentů - byla zaměřena na sledování plynnotvornosti těchto směsí - směsi CT, HB, CB používaná ve Slévárně Ostašov, a.s Liberec, obalované směsi označené obchodními čísly (15731, 15947, 20020, 15920, 15994) dodávané

firmou Hüttenes Albertus, směs TPR 210 F, dodávaná firmou Sand Team, směs pojena Novanolem a směs na bázi pojiva Dorsilu V. Přehled vzorků použitých v této etapě experimentů sledování plynatosti je uveden v tabulce 5-1.

Tabulka 5-1 Přehled vzorků pro měření plynnotvornosti (I. etapa experimentů)

Číslo skupiny vzorků	Označení směsi	Původce směsi (příprava směsi)	Charakter pojiva	Střední velikost zrna d_{50} [mm]	Poznámka
1.	15731	Hüttenes Albertus	výrobce neudává	0,28	sypká komplexní směs
2.	15947	Hüttenes Albertus	výrobce neudává	0,24	sypká komplexní směs
3.	20020	Hüttenes Albertus	výrobce neudává	0,21	sypká komplexní směs
4.	15970	Hüttenes Albertus	výrobce neudává	0,27	sypká komplexní směs
5.	15994	Hüttenes Albertus	výrobce neudává	0,30	sypká komplexní směs
6.	TPR 210 F	SAND TEAM	výrobce neudává	0,25	sypká jádrová komplexní směs
7.	CT - Ostašov	Slévárna Ostašov, a.s. Liberec	vodní sklo	0,19	jádrová komplexní směs
8.	Směs na bázi Novanolu	Slévárna Ostašov, a.s. Liberec	pryskyřice	0,19	pouze vytvrzená jádra
9.	Cold Box	Slévárna Ostašov, a.s. Liberec	pryskyřice	0,19	pouze vytvrzená jádra
10.	Hot Box	Slévárna Ostašov, a.s. Liberec	pryskyřice	0,19	pouze vytvrzená jádra
11.	Směs na bázi Dorsil V	Slévárna Ostašov, a.s. Liberec	vodní sklo	0,19	pouze vytvrzená jádra

Na skupině obrázků - obr. 5-5a) až 5-5d) je zobrazeno vyjímání tuhých podílů zbytků sledované směsi z měřicího zařízení po měření plynnotvornosti.



Obr. 5-5 Pohled na vstupní otvor měřicího zařízení plynnotvornosti

V příloze č. 18 jsou uvedeny časové závislosti průměrných hodnot plynnotvornosti frakcí sypkých komplexních směsí (č. 1, 2, 3, 4, 5, a 6) o velikosti částic 0,1 mm při teplotě 1000 °C. Současně v této příloze jsou též informativně uvedeny průměrné hodnoty plynnotvornosti frakcí sypkých komplexních směsí o velikosti částic 0,1 mm při teplotě 1000 °C, (směs č. 1, 2, 3, 4, 5 a 6) pro vybrané časové okamžiky.

V příloze č. 18 jsou též uvedeny časové závislosti průměrných hodnot plynnotvornosti frakci sypkých směsí o velikosti částic 0,15 mm při teplotě 1000 °C, opět informativně jsou uvedeny průměrné hodnoty plynnotvornosti frakcí sypkých komplexních směsí o velikosti částic 0,15 mm při teplotě 1000 °C, (směs č. 1, 2, 3, 4, 5 a 6) pro určité časové okamžiky.

V příloze č. 18 jsou uvedeny i časové závislosti průměrných hodnot plynnotvornosti frakcí sypkých směsí č. 1, 2, 3, 4, 5 a 6 o velikosti částic 0,30 mm při teplotě 1000 °C, též jsou zde v tabulkové podobě informativně uvedeny průměrné hodnoty plynnotvornosti frakcí sypkých komplexních směsí o velikosti částic 0,30 mm při teplotě 1000 °C, (směs č. 1, 2, 3, 4, 5 a 6) pro určité časové okamžiky.

Současně v příloze č. 18 jsou uvedeny časové závislosti průměrných hodnot plynnotvornosti frakcí sypkých směsí č. 1, 2, 3, 4, 5 a 6 o velikosti částic 0,40 mm při teplotě 1000 °C, charakteristika směsí je uvedena v příslušné tabulce této přílohy, kde jsou uvedeny průměrné hodnoty plynnotvornosti frakci sypkých komplexních směsí o velikosti částic 0,40 mm při teplotě 1000 °C, (směs č. 1, 2, 3, 4, 5 a 6) pro určité časové okamžiky.

V příloze č. 18 jsou uvedeny časové závislosti průměrných hodnot plynnotvornosti směsí již hotových jader č. 7 až č. 11. V tabulce této přílohy jsou příslušné průměrné hodnoty plynnotvornosti směsí již hotových jader č. 7 až č. 11 při teplotě 800°C. V této příloze jsou uvedeny i časové závislosti průměrných hodnot plynnotvornosti směsí již hotových jader č.7 až č.11. V tabulce této přílohy jsou informativně uvedeny průměrné hodnoty plynnotvornosti směsí již hotových jader č. 7 až č. 11 při teplotě 1000°C.

V příloze č. 18 jsou uvedeny časové závislosti průměrných hodnot plynnotvornosti směsí již hotových jader č. 7 až č.11, v příslušné hodnoty jsou informativně uvedeny průměrné hodnoty plynnotvornosti směsí již hotových jader č. 7 až č. 11 při teplotě 1200 °C.

V této příloze (č. 18) jsou také uvedeny časové závislosti průměrných hodnot plynnotvornosti již hotových jader směsi č.7 (CT - Slévárna Ostašov, a.s.) při teplotách 800 °C, 1000 °C a 1200 °C. Příslušné hodnoty jsou uvedeny v tabelární podobě této přílohy. V příslušné tabulce přílohy č. 18 jsou informativně uvedeny průměrné hodnoty plynnotvornosti směsi č.7 (CT- Slévárna Ostašov, a.s.) při teplotách 800 °C, 1000 °C a 1200 °C.

Dále v příloze č. 18 jsou uvedeny časové závislosti průměrných hodnot plynnotvornosti již hotových jader směsi č. 8 Novanol při teplotách 800 °C, 1000 °C a 1200 °C. Hodnoty jsou uvedeny v příslušné tabulce této přílohy. Dále jsou v příloze č. 18 uvedeny časové závislosti průměrných hodnot plynnotvornosti již hotových jader směsi č. 9 Cold Box při teplotách 800 °C, 1000 °C a 1200 °C a hodnoty jsou uvedeny v příslušné tabulce. V této příloze jsou uvedeny i časové závislosti průměrných hodnot plynnotvornosti již hotových jader směsi č.10 Hot Box při teplotách 800 °C, 1000 °C a 1200 °C a hodnoty jsou v příslušné tabulce. Též tato příloha obsahuje časové závislosti průměrných hodnot plynnotvornosti již hotových jader směsi č.11

Dorsil-V při teplotách 800 °C, 1000 °C a 1200 °C a hodnoty plynnotvornosti jsou v příslušné tabulce.

Na obr. 5-6, v kapitole 5.4 „Vyhodnocení záznamů měření plynnotvornosti“, jsou uvedeny časové závislosti průměrných hodnot plynnotvornosti všech měřených směsí (směs č.1, 2, 3, 4, 5 , 6, 7, 8, 9,10 a 11) dle tabulky 5-1 při teplotě 1000°C.

II. etapa prováděných experimentů - byla zaměřena na sledování plynnotvornosti směsí na bázi 3% pojiva Novanol a směsi na bázi 2% pojiva Ecolotec, směsi byly připraveny na našem pracovišti (laboratoř KSP, TU v Liberci), bylo použito křemenné ostřivo. Přehled vzorků je uveden v tabulce 5-2.

Tabulka 5-2 Přehled vzorků pro měření plynatosti (II. etapa experimentů)

Číslo skupiny vzorků	Označení směsi	Původce směsi (příprava směsi)	Charakter pojiva	Střední velikost zrna d_{50} [mm]	Poznámka
12.	ST 52 PAP	laboratoř KSP, TU v Liberci	3% Novanol 165	0,32	Vytvrzená jádra
13.	ST 53 PAP	laboratoř KSP, TU v Liberci	3% Novanol 165	0,27	Vytvrzená jádra
14.	ST 54 PAP	laboratoř KSP, TU v Liberci	3 % Novanol 165	0,22	vytvrzená jádra
15.	ST 55 PAP	laboratoř KSP, TU v Liberci	3% Novanol 165	0,17	vytvrzená jádra
16.	ST 56 PAP	laboratoř KSP, TU v Liberci	3% Novanol 165	0,15	vytvrzená jádra
17.	směs na bázi Ecolotec	laboratoř KSP, TU v Liberci	2 % Ecolotec	0,27	vytvrzená jádra

V příloze č. 19 jsou uvedeny časové závislosti průměrných hodnot plynnotvornosti masivů komplexních směsí (č. 12, 13, 14, 15, 16, 17) při teplotě 800 °C, 1000 °C a 1200 °C. Hodnoty příslušných měření spolu s odpovídajícími časovými okamžiky jsou zpracovány tabelárně a jsou uvedeny u příslušné grafické závislosti.

Na obr. 5-7, v kapitole 5.4 „Vyhodnocení záznamů měření plynnotvornosti“, jsou uvedeny časové závislosti průměrných hodnot plynnotvornosti všech měřených směsí (směs č. 12, 13, 14, 15, 16, 17) při teplotě 800 °C, na obr. 5-8 jsou plynnotvornosti těchto směsí při teplotě 1000 °C a na obr. 5-9 jsou plynnotvornosti sledovaných směsí při teplotě 1200 °C.

III. etapa prováděných experimentů - byla zaměřena na sledování plynnotvornosti směsí používaných ve slévárnách odlitků ze slitin mědi. Tyto směsi jsou určeny pro metody Cold Box, CT směsi vytvrzované profouknutím CO₂ a směsi na bázi organických pojiv. Tyto směsi jsou používané pro výrobu forem určených k lití uměleckých předmětů. Dále byly použity i směsi pro výrobu litinových odlitků. Přehled vzorků je uveden v tabulce 5-3.

V příloze č. 20 jsou uvedeny časové závislosti průměrných hodnot plynnotvornosti masivů komplexních směsí (směs č. 18, 19 a 30.) při teplotě 800 °C, 1000 °C a 1200 °C. V příloze č. 20 jsou dále uvedeny časové závislosti průměrných hodnot plynnotvornosti masivů komplexních směsí (směs č. 20, 21, 22, 23, 24, 25, 26, 27, 28 a 29.) při teplotě 1000 °C. Hodnoty příslušných měření spolu s odpovídajícími časovými okamžíky jsou zpracovány tabelárně a jsou uvedeny u příslušné grafické závislosti.

Na obr. 5-10, v kapitole 5.4 „Vyhodnocení záznamů měření plynnotvornosti“, jsou uvedeny časové závislosti průměrných hodnot plynnotvornosti směsi č. 18 při teplotách 800 °C, 1000 °C a 1200 °C. Na obr. 5-11 jsou průměrné hodnoty plynnotvornosti směsi č. 19 opět při teplotách 800 °C, 1000 °C a 1200 °C. Na obr. 5-12 jsou uvedeny průměrné hodnoty plynnotvornosti všech měřených směsí (směs č. 20, 21, 22, 23, 24, 25 a 26) v závislosti na čase při teplotě 1000 °C. Na obr. 5-13 jsou uvedeny průměrné hodnoty plynnotvornosti všech měřených směsí (směs č. 27, 28, 29) v závislosti na čase při teplotě 1200 °C. Na obr. 5-14 jsou uvedeny průměrné hodnoty plynnotvornosti směsi č. 30 při teplotách 800 °C, 1000 °C a 1200 °C.

Tabulka 5-3 Přehled vzorků pro měření plynnotvornosti (III. etapa experimentů)

Číslo skupiny vzorků	Označení směsi	Původce směsi (příprava směsi)	Charakter pojiva	Střední velikost zrna d_{50} [mm]	Poznámka
18.	KR - 1	Slévárna Dvůr Králové n.L.		0,20	kompaktní jádrová směs
19.	KR - 2	Slévárna Dvůr Králové n.L.		0,20	kompaktní jádrová směs s nátěrem
20.	P-1-CB	Slévárna uměleckého lití Jablonec n. N.	CB - amin II	0,19	vstřelovaná směs
21.	P-2-CO	Slévárna uměleckého lití Jablonec n. N.	směs – CO_2	0,19	směs pro ruční formování
22.	P-CB-CO	Slévárna uměleckého lití Jablonec n. N.		0,19	vstřelovaná směs (CB-CO ₂)
23.	Pc – L1	Slévárna uměleckého lití Jablonec n. N.	pryskyřice	-	jádrová směs PCL 1
24.	Pc – L2	Slévárna uměleckého lití Jablonec n. N.	pryskyřice	-	jádrová směs PCL II
25.	Pc – L3	Slévárna uměleckého lití Jablonec n. N.	pryskyřice	-	jádrová směs PCL III
26.	P-2-CB	Slévárna uměleckého lití Jablonec n. N.	CB – amin I	-	vstřelovaná směs
27.	P-1-C-V	Slévárna uměleckého lití Jablonec n. N.	bentonit	-	formovací směs výplňová, černé zbarvení
28.	P-2-C	Slévárna uměleckého lití Jablonec n. N	bentonit	-	modelová směs – rafinovaná, červené zbarvení
29.	P-II-M	Slévárna uměleckého lití Jablonec n. N.	bentonit	-	formovací směs modelová surová, červené zbarvení
30.	BZK	Buzuluk Komárov	pryskyřice	0,15	jádrová směs

IV. etapa prováděných experimentů - byla zaměřena na sledování plynnotvornosti sáder jako pojiva pro výrobu sádrových formovacích směsí určených pro výrobu odlitků s velmi dobrou hladkostí povrchu. Přehled vzorků je uveden v tabulce 5-4.

Tabulka 5-4 Přehled vzorků pro měření plynnotvornosti (IV. etapa experimentů)

Číslo skupiny vzorků	Označení směsi	Původce směsi (příprava směsi)	Charakter pojiva	Poznámka
31.	S - B - K	laboratoř KSP, TU v Liberci	$\text{CaSO}_4 \cdot \frac{1}{2}\text{H}_2\text{O}$	prášková sádra Kittfort – bílá
32.	S - B - H	laboratoř KSP, TU v Liberci	$\text{CaSO}_4 \cdot \frac{1}{2}\text{H}_2\text{O}$	prášková sádra Het – bílá
33.	S - Š - H	laboratoř KSP, TU v Liberci	$\text{CaSO}_4 \cdot \frac{1}{2}\text{H}_2\text{O}$	prášková sádra Het – šedá
34.	S - B - K	laboratoř KSP, TU v Liberci	$\text{CaSO}_4 \cdot 2\text{H}_2\text{O}$	kompaktní vzorek 50 % sádry Kittfort bílé + 50 % vody
35.	S - B - H	laboratoř KSP, TU v Liberci	$\text{CaSO}_4 \cdot 2\text{H}_2\text{O}$	kompaktní vzorek 50 % sádry Het bílé + 50 % vody
36.	S - Š - H	laboratoř KSP, TU v Liberci	$\text{CaSO}_4 \cdot 2\text{H}_2\text{O}$	kompaktní vzorek 50 % sádry Het šedá + 50 % vody
37.	S - B - K	laboratoř KSP, TU v Liberci	$\text{CaSO}_4 \cdot 2\text{H}_2\text{O}$	kompaktní vzorek 75 % sádry Kittfort bílé + 25 % vody
38.	S - B - H	laboratoř KSP, TU v Liberci	$\text{CaSO}_4 \cdot 2\text{H}_2\text{O}$	kompaktní vzorek 75 % sádry Het bílá + 25 % vody hmota
39.	S - Š - H	laboratoř KSP, TU v Liberci	$\text{CaSO}_4 \cdot 2\text{H}_2\text{O}$	kompaktní vzorek 75 % sádry Het šedá + 25 % vody hmota
40.	MBK-4	laboratoř KSP, TU v Liberci	$\text{CaSO}_4 \cdot 2\text{H}_2\text{O}$	kompaktní vzorek, monoblok sádry Kittfort – stáří 4 hod.
41.	MBK-18	laboratoř KSP, TU v Liberci	$\text{CaSO}_4 \cdot 2\text{H}_2\text{O}$	kompaktní vzorek, monoblok sádry Kittfort – stáří 18 hod.
42.	MBK-24	laboratoř KSP, TU v Liberci	$\text{CaSO}_4 \cdot 2\text{H}_2\text{O}$	kompaktní vzorek, monoblok – stáří 24 hod.
43.	MBK-200	laboratoř KSP, TU v Liberci	$\text{CaSO}_4 \cdot 2\text{H}_2\text{O}$	kompaktní vzorek, monoblok sádry Kittfort – sušení 200°C
44.	MBK-400	laboratoř KSP, TU v Liberci	$\text{CaSO}_4 \cdot 2\text{H}_2\text{O}$	kompaktní vzorek, monoblok sádry Kittfort – sušení 400°C

V příloze č. 21 jsou uvedeny tabelované výsledky měření plynnotvornosti vzorků směsí č. 31 až č. 44 při teplotách do 1000 °C. U příslušných grafických závislostí jsou současně tabulky s výslednými naměřenými hodnotami plynnotvornosti.

Na obr. 5-15 až 5-21 jsou uvedeny závislosti výsledků plynnotvornosti na čase pro vzorky č. 31 až č. 44 při teplotách 800 °C a 1000 °C.

Jak je z výše uvedených tabulek zřejmé, pro sledování plynnotvornosti bylo použito 48 skupin vzorků z různých materiálů. Sledování plynnotvornosti sypkých komplexních směsí bylo prováděno při teplotě 1000 °C. Sledování plynnotvornosti jádrových směsí jiné konzistence bylo vzhledem k menší časové náročnosti přípravy vzorků prováděno při teplotách 800 °C, 1000 °C a 1200 °C a to jak ve stavu před vytvrzením, tak po vytvrzení. Celkově bylo provedeno cca 1010 úspěšných experimentů měření plynnotvornosti uvedených směsí.

5.4 Vyhodnocení záznamů měření plynnotvornosti

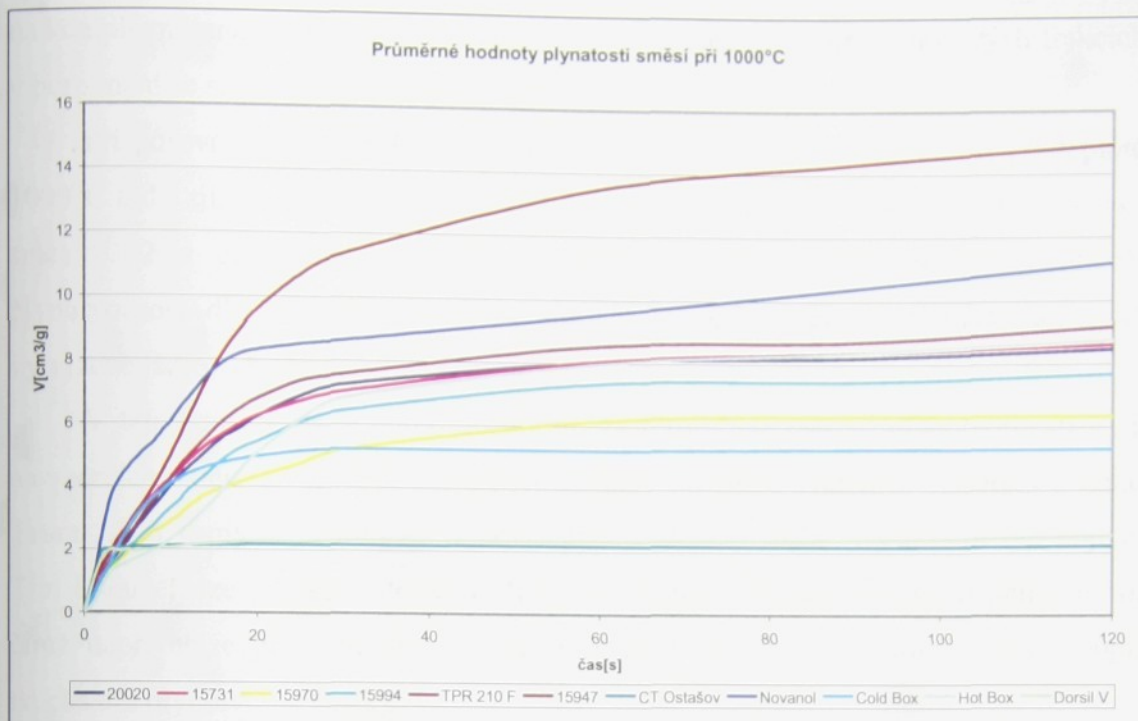
I. etapa experimentů

Z úspěšně naměřených hodnot plynnotvornosti (360 provedených experimentů), které byly změřeny v této etapě prováděných experimentů, dle výše uvedeného rozdělení vzorků, bylo provedeno vyhodnocení a posouzení jejich plynnotvornosti.

Na obr. 5-6 jsou uvedeny průměrné hodnoty plynnotvornosti všech měřených směsí v závislosti na čase při teplotě 1000 °C, (směs č.1, 2, 3, 4, 5 , 6, 7, 8, 9,10 a 11).

Na základě experimentálních zkušeností se ukázalo, že je plně postačující volit maximální dobu uvolňování plynů 120 [s]. Pro tento časový úsek byly sledovány všechny závislosti plynnotvornosti směsí i v dalších etapách.

Informace o číselných hodnotách plynnotvornosti jednotlivých směsí jsou uvedeny v příloze č. 19. Výsledky plynnotvornosti potvrzují nižší hodnoty u směsí s vodním sklem, které je anorganického původu. Směsi s vodním sklem byly z tohoto pohledu pro výrobu jader příznivější, avšak k jejich menší použitelnosti přispívá velká zbytková pevnost po odlití. Vodní sklo, používané v této práci, je označováno obchodním názvem Dorsil V. Zjištěné hodnoty plynnotvornosti vytvrzených jader s pojivem Dorsil V činily ve 120 [s] po zahřívání při teplotě 800 °C 3,06 [$\text{cm}^3 \cdot \text{g}^{-1}$], při 1000 °C 2,55 [$\text{cm}^3 \cdot \text{g}^{-1}$] a při 1200 °C 2,48 [$\text{cm}^3 \cdot \text{g}^{-1}$]. Hodnoty plynnotvornosti vytvrzeného jádra označeného CT (Slévárna Ostašov a.s.) jsou ještě nižší a vykazují v časovém okamžiku 120 [s] po zahřátí plynnotvornost při teplotě 800 °C 2,13 [$\text{cm}^3 \cdot \text{g}^{-1}$], při 1000 °C 2,23 [$\text{cm}^3 \cdot \text{g}^{-1}$] a při 1200 °C 1,73 [$\text{cm}^3 \cdot \text{g}^{-1}$].



Obr. 5-6 Průměrné hodnoty plynnotvornosti všech měrených směsí v závislosti na čase při teplotě 1000 °C, (směs č.1, 2, 3, 4, 5 , 6, 7, 8, 9,10 a 11)

Vyšší hodnoty plynnotvornosti vykazují pryskyřice, které jsou látky organického původu. Nejvyšší hodnoty plynnotvornosti již vytvrzených jader vykazovala směs č. 8 Novanol na bázi pryskyřic. Hodnoty plynnotvornosti činily ve 120 [s] po zahřívání při teplotě 800 °C $6,76 [\text{cm}^3 \cdot \text{g}^{-1}]$, při 1000 °C $11,2 [\text{cm}^3 \cdot \text{g}^{-1}]$ a při 1200 °C $17 [\text{cm}^3 \cdot \text{g}^{-1}]$.

Při posuzování plynnotvornosti komplexních směsí v porovnání s jejich velikostními frakcemi vyšel najevo předpoklad, že menší frakce, které ve stejném objemu mají větší celkový povrch, vykazují větší plynnotvornost. To je způsobeno pravděpodobně tím, že ostřivo je díky většímu povrchu obaleno větším množstvím pojiva, které se hlavním dílem podílí na plynnotvornosti směsi.

U směsi č.2 s označením 15 947, která při teplotě 1000 °C vykazovala nejvyšší plynnotvornosti, činily hodnoty plynnotvornosti na jednotlivých měřených frakcích velké rozdíly, což potvrzuje náš předpoklad. Hodnota komplexní směsi při 1000 °C je $14,9 [\text{cm}^3 \cdot \text{g}^{-1}]$, na velikostní frakci 0,1 mm je to až $19,07 [\text{cm}^3 \cdot \text{g}^{-1}]$, na velikostní frakci 0,15 mm $13,8 [\text{cm}^3 \cdot \text{g}^{-1}]$, na velikostní frakci 0,3 mm $10,8 [\text{cm}^3 \cdot \text{g}^{-1}]$ a na velikostní frakci 0,4 mm $9,06 [\text{cm}^3 \cdot \text{g}^{-1}]$. Při porovnání jednotlivých frakcí u sledovaných směsí se dá konstatovat, až na drobné odchylky, že směs vykazující velkou plynnotvornost

na komplexní směsi, vykazuje též velkou plynnotvornost na svých jednotlivých frakcích v porovnání se stejnými frakcemi ostatních směsí.

Při porovnání všech měřených směsí č. 1 až č. 11, dle tabulky 5-1, při teplotě 1000°C bylo zjištěno, že nejvyšší hodnoty plynnotvornosti jednoznačně vykazuje sypká směs č. 2 s označením 15 947 s hodnotou 14,9 [cm³.g⁻¹]. Naopak nejmenší plynnotvornost dle měření vykazovala směs č.7 - CT (Slévárna Ostašov a.s.), již vytvrzené jádro, s hodnotou 2,23 [cm³.g⁻¹].

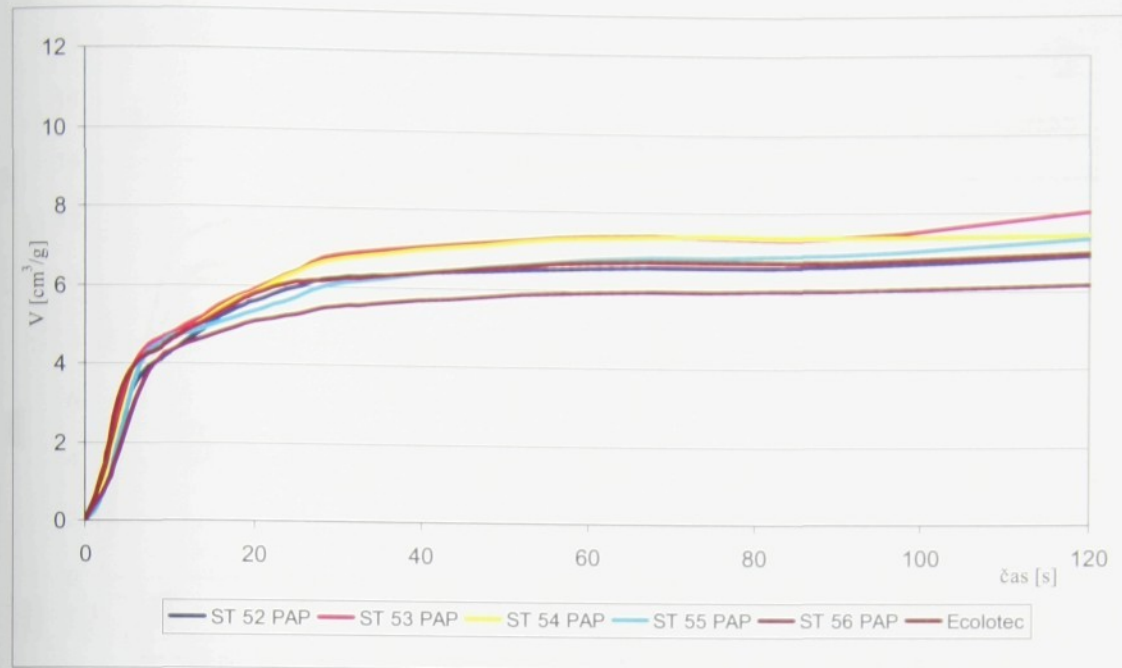
V této souvislosti je nutno upozornit, že provedená měření plynnotvornosti byla na vzorcích směsí č.1 až č.6, které byly získány od firem Hüttenes-Albertus a Sand Team. Tyto firmy si nepřejí zveřejňovat přesná složení směsí, především typ pojiva. Tím bohužel, lze jen konstatovat větší, či menší hodnotu plynnotvornosti dané směsi, čímž např. nelze posoudit plynnotvornosti směsí v závislosti na druhu pojiva, popř. na obsahu plynnotvorné složky.

V příloze č. 15 jsou uvedeny obrázky sypkých směsí. Tyto obrázky jsou seřazeny tak, že první obrázek každé nové směsi charakterizuje komplexní směs se všemi příslušnými složkami. Další obrázky charakterizují jednotlivé velikostní frakce příslušné směsi.

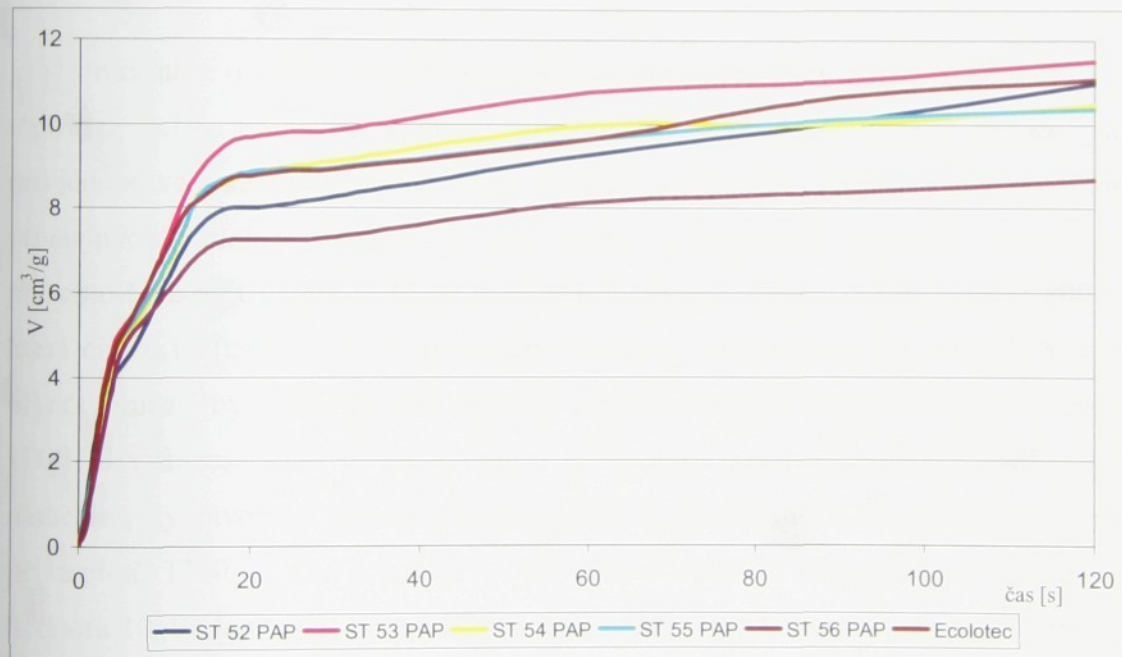
II. etapa experimentů

Z úspěšně naměřených hodnot plynnotvornosti (156 provedených experimentů), které byly změřeny v této etapě prováděných experimentů, dle výše uvedeného rozdělení vzorků, bylo provedeno vyhodnocení a posouzení jejich plynnotvornosti.

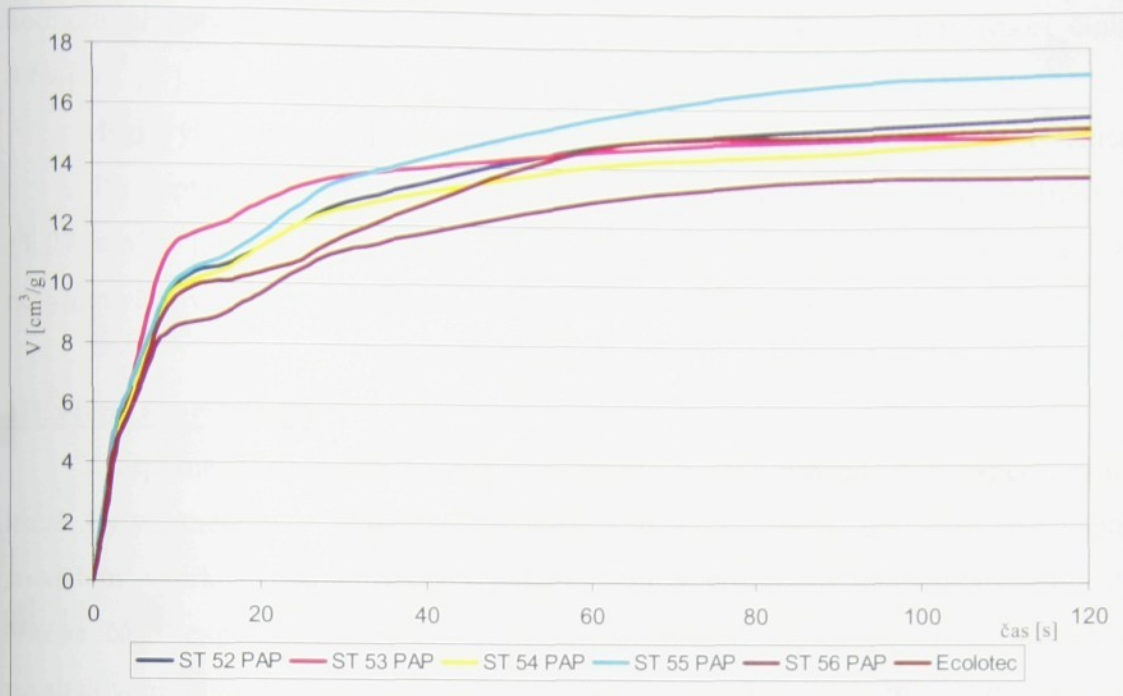
Na obr. 5-7 jsou uvedeny průměrné hodnoty plynnotvornosti všech měřených směsí (směs č.12, 13, 14, 15, 16, 17) v závislosti na čase při teplotě 800 °C a na obr. 5-8 jsou uvedeny průměrné hodnoty plynnotvornosti všech měřených směsí (směs č.12, 13, 14, 15, 16, 17) v závislosti na čase při teplotě 1000 °C. Průměrné hodnoty plynnotvornosti všech sledovaných směsí (směs č.12, 13, 14, 15, 16, 17) v závislosti na čase při teplotě 1200 °C jsou uvedeny na obr. 5-9.



Obr. 5-7 Průměrné hodnoty plynovornosti směsí č.12 až č.17 v závislosti na čase při teplotě 800°C



Obr. 5-8 Průměrné hodnoty plynovornosti směsí č.12 až č.17 v závislosti na čase při teplotě 1000°C



Obr. 5-9 Průměrné hodnoty plynnotvornosti směsí č. 12 až č.17 v závislosti na čase při teplotě 1200 °C

Informace o číselných hodnotách plynnotvornosti jednotlivých směsí jsou uvedeny v příloze č.19. Průměrné hodnoty plynnotvornosti uvedené v této příloze jsou pro jednotlivé směsi následující. Směsi typu ST vykazovaly rozdíly v plynnotvornosti při stejných teplotách cca 30 %. Maximální plynnotvornost vykazuje směs č. 15 při teplotě 1200 °C, která je 17,15 [$\text{cm}^3 \cdot \text{g}^{-1}$], minimální směs č. 16 při teplotě 800 °C, která činí 6,15 [$\text{cm}^3 \cdot \text{g}^{-1}$]. Byly potvrzeny teoretické předpoklady, že nejvyšší hodnota plynnotvornosti by měla být při nejvyšší teplotě. Nejnižší plynnotvornost při teplotě 1000 °C vykazuje směs č. 16. U směsi č. 12 byla podle teoretických předpokladů naměřena plynnotvornost nejnižší při teplotě 800 °C, která činila 6,89 [$\text{cm}^3 \cdot \text{g}^{-1}$] a nejvyšší při teplotě 1200 °C 15,72 [$\text{cm}^3 \cdot \text{g}^{-1}$]. Při teplotě 1000 °C plynnotvornost vykazovala hodnotu 10, 98 [$\text{cm}^3 \cdot \text{g}^{-1}$]. U směsi č. 13 byla nejnižší plynnotvornost při teplotě 800 °C, která činila 8,04 [$\text{cm}^3 \cdot \text{g}^{-1}$] a nejvyšší při teplotě 1200 °C 15,06 [$\text{cm}^3 \cdot \text{g}^{-1}$]. Při teplotě 1000 °C plynnotvornost vykazovala hodnotu 11,50 [$\text{cm}^3 \cdot \text{g}^{-1}$]. Směs č. 14 vykazovala při teplotě 800 °C též nejnižší plynnotvornou 7,041 [$\text{cm}^3 \cdot \text{g}^{-1}$] a nejvyšší při teplotě 1200 °C 15,14 [$\text{cm}^3 \cdot \text{g}^{-1}$]. Při teplotě 1000 °C plynnotvornost činila 10, 45 [$\text{cm}^3 \cdot \text{g}^{-1}$]. U směsi č. 15 byla při teplotě 800 °C plynnotvornost 7,34 [$\text{cm}^3 \cdot \text{g}^{-1}$] a při teplotě 1000 °C 10,36 [$\text{cm}^3 \cdot \text{g}^{-1}$]. Jak již bylo uvedeno tato směs vykazovala nejvyšší hodnotu plynnotvornosti při teplotě 1200 °C. Směs č. 16, naopak tato směs vykazovala nejnižší

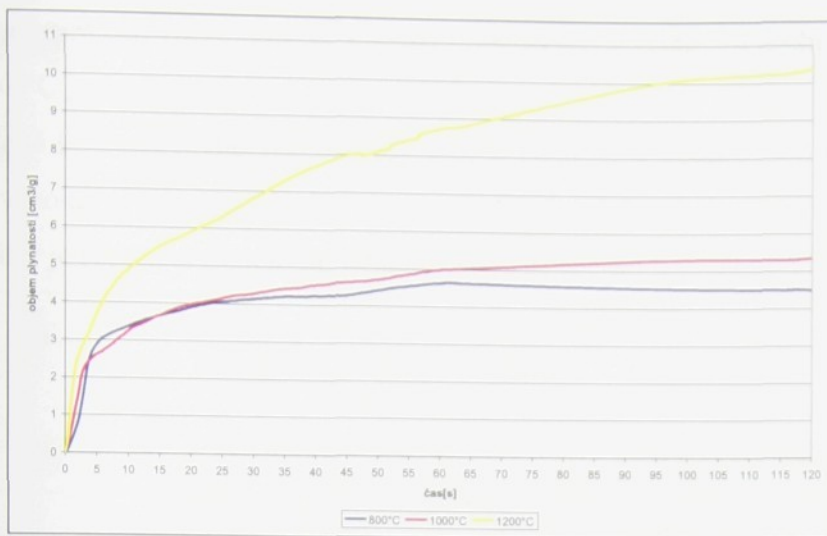
hodnotu plynnotvornosti při teplotě 800 °C, při teplotě 1000 °C plynnotvornost činila 8,69 [cm³.g⁻¹], při teplotě 1200 °C 13,66 [cm³.g⁻¹].

Mezi výše uvedenými hodnotami plynnotvornosti se pohybovaly hodnoty směsi č. 17. Při teplotě 800 °C plynnotvornost činila 6,96 [cm³.g⁻¹],, při teplotě 1000 °C 11,07 [cm³.g⁻¹], při teplotě 1200 °C 15,33[cm³.g⁻¹]. Z uvedených hodnot je zřejmé, že nejpříznivější výsledky plynnotvornosti jsou u směsi č. 16 (ST 56 PAP).

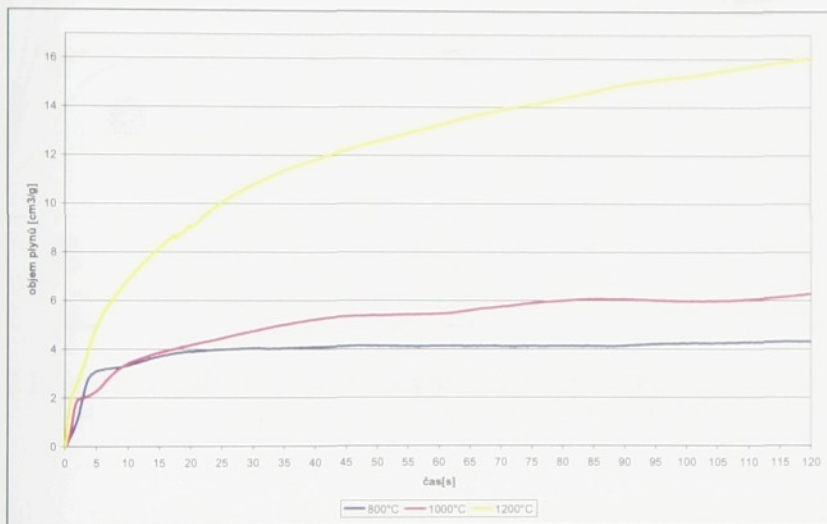
III. etapa experimentů

Z úspěšně naměřených hodnot plynnotvornosti (160 provedených experimentů), které byly změřeny v této etapě prováděných experimentů, dle výše uvedeného rozdělení vzorků, bylo provedeno vyhodnocení a posouzení jejich plynnotvornosti. V této části experimentů byla z technických důvodů hlavní pozornost zaměřena na sledování plynnotvornosti při teplotě 1000 °C, protože slitiny mědi pro odlévání nezpůsobí vyšší teplotu formovací a jádrové směsi.

Na obr. 5-10 jsou uvedeny průměrné hodnoty plynnotvornosti jádrové směsi č.18 (směs ostřiva STŘELEČ, $d_{50} = 0,27$ mm, 1,1 % pryskyřice Askuran 0381 a 0,6 % tvrdidla Hertr Rapid 50) při teplotě 800 °C, 1000 °C a 1200 °C, připravené v Krkonošské slévárně, s.r.o Dvůr Králové n. Labem. Na obr. 5-11 jsou uvedeny průměrné hodnoty plynnotvornosti jádrové směsi č. 19 při stejných teplotách. Jádrová směs č. 19 byla připravena také z výše uvedené směsi, avšak byla opatřena nátěrem (žáruvzdorné plnivo na bázi grafitu a koksu a 36 % etanolu). Na obr. 5-12 jsou průměrné hodnoty plynnotvornosti v závislosti na čase směsi č. 20 až č. 26, které se používají pro odlévání slitin mědi. Na obr. 5-13 jsou uvedeny časové závislosti plynnotvornosti vzorků směsí č. 27, 28 a 29. Na obr. 5-14 je závislost plynnotvornosti na čase směsi č. 30.



Obr. 5-10 Průměrné hodnoty plynnotvornosti směsi č. 18 v závislosti na čase při teplotách 800 °C, 1000 °C a 1200 °C (vzorek směsi je bez nátěru)



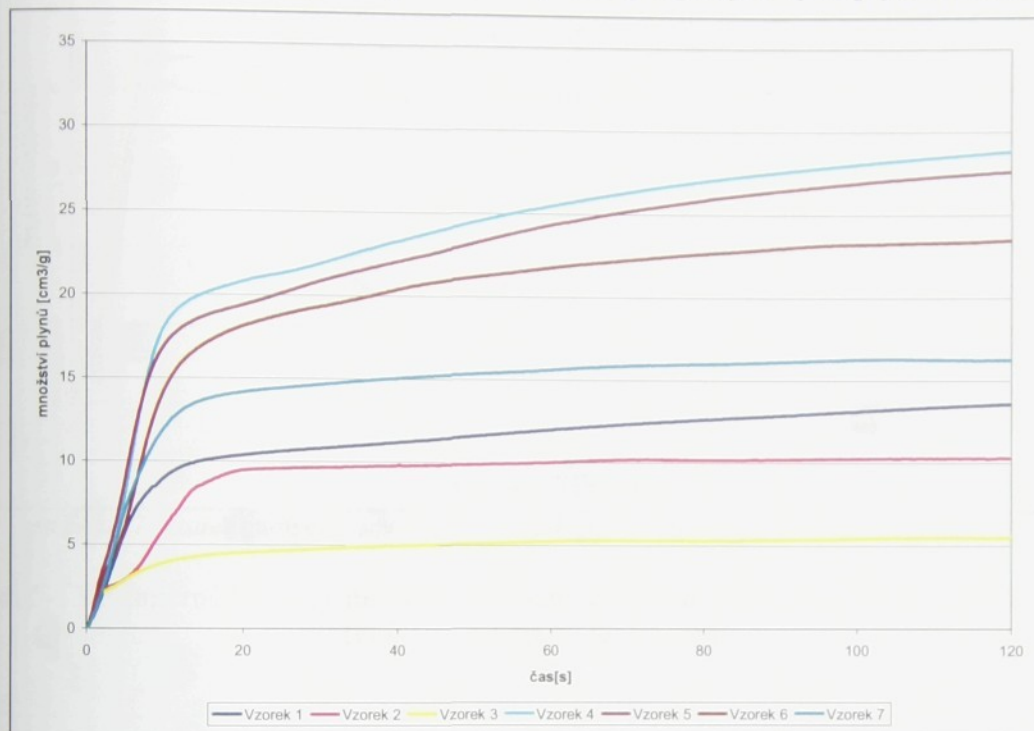
Obr. 5-11 Průměrné hodnoty plynnotvornosti směsi č. 19 v závislosti na čase při teplotách 800 °C, 1000 °C a 1200 °C (vzorek jádrové směsi s nátěrem)

Též informace o číselných hodnotách plynnotvornosti jednotlivých směsí jsou uvedeny v příloze č.20. Z průměrné hodnoty plynnotvornosti vzorků směsí č. 18 a č. 19 uvedených v příloze č. 20 je zřejmé, že nejvyšší hodnota plynnotvornosti je u směsi č. 19, (vzorek jádrové směsi s nátěrem) ohřívané na teplotu 1200 °C, hodnoty plynnotvornosti činí 16,06 [cm³.g⁻¹], nejnižší průměrnou hodnotu plynnotvornosti vykazují vzorky z této směsi ohřáté na teplotu 800 °C, která činí 4,30 [cm³.g⁻¹].

Naopak vyšší hodnota byla stanovena u směsi č.18 (vzorek jádrové směsi bez nátěru), která při teplotě 800 °C činila 4,64 [cm³.g⁻¹]. Rozdíl obou hodnot je 8 %. Naopak směs č.18 (vzorek bez nátěru), ohřátá na teplotu 1200 °C, vykazovala

plynnotvornost nižší, tj. $10,34 \text{ [cm}^3\text{.g}^{-1}\text{]}$. Rozdíl hodnot plynnotvornosti u obou vzorků při teplotě 1200°C je 55 %.

Uvedené hodnoty plynnotvornosti při teplotě 1200°C u vzorků jsou pro jádrovou směs dosti vysoké, avšak odpovídající pro pryskyřičné pojivo. V této souvislosti je třeba uvést, že nátěr je tvořen organickými látkami, které přispívají k vyšší plynnotvornosti.



Obr. 5-12 Průměrné hodnoty plynatosti všech měřených směsí v závislosti na čase při teplotě 1000°C , (směs č. 20, 21, 22, 23, 24, 25, a 26)

V tabulce, viz příloha č. 20, jsou uvedené maximální hodnoty plynnotvornosti jádrových směsí (č. 20, 21, 22, 23, 24, 25 a 26) při teplotě 1000°C . Získané výsledky plynnotvornosti potvrzují teoretické předpoklady, že nejvyšší plynnotvornost vykazují směsi pojené organickými pojivy, mezi která se řadí především pryskyřice. Nejvyšší plynnotvornost při teplotě 1000°C byla naměřena u směsi č. 23 (jádrová směs PCL I, pryskyřice) označovaná. Pcl-L1, která vykazovala plynnotvornost $28,83 \text{ [cm}^3\text{.g}^{-1}\text{]}$. Jádrová směs č. 24 (PCL II, pryskyřice) označovaná Pcl-L2, také vykazovala plynnotvornost dosti vysokou, $27,60 \text{ [cm}^3\text{.g}^{-1}\text{]}$ a jádrová směs č. 25 (PCL III, pryskyřice) označovaná Pcl-L3 vykazovala plynnotvornost $23,47 \text{ [cm}^3\text{.g}^{-1}\text{]}$.

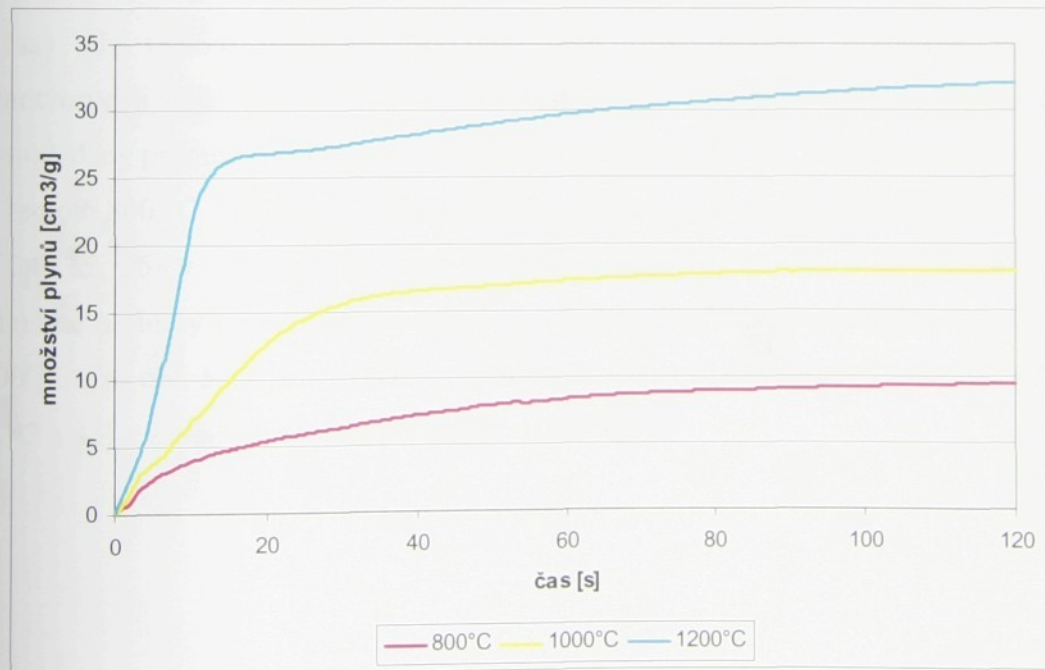
Např. pro doplnění přehledu, z našich jiných měření, směs s pojivem pod označením Dorsil V (charakter pojiva je na bázi vodního skla) dosahuje hodnotu

plynnotvornosti při teplotě 1200 °C jen 2,50 [cm³.g⁻¹]. U vzorků směsi č. 20 a č. 21 plynnotvornost nepřesahuje hodnotu 14,00 [cm³.g⁻¹].



směs č. 27 - vzorek grafu č. 8; směs č. 28 - vzorek grafu č. 9; směs č. 29 - vzorek grafu č. 10

Obr. 5-13 Průměrné hodnoty množství uvolněných plynů v závislosti na čase při teplotě 1000 °C, (směsi č. 27, 28, 29)



Obr. 5-14 Průměrné hodnoty plynnotvornosti směsi č. 30 při teplotách 800 °C, 1000 °C a 1200 °C

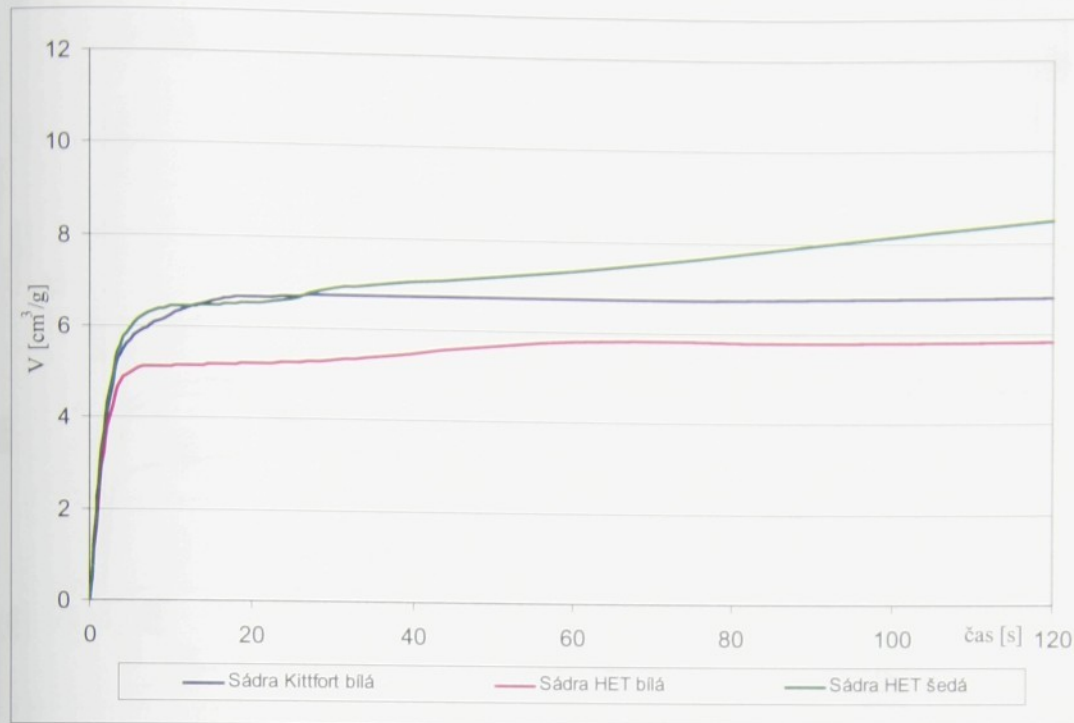
Informace o číselných hodnotách plynnotvornost jednotlivých směsí (č. 27, 28, 29). jsou opět uvedeny v příloze č. 20. Nejvyšší plynnotvornost vykazuje vzorek č. 27 (výplňová směs) $51,37 \text{ [cm}^3\text{.g}^{-1}\text{]}$, dále vzorek č. 29 (modelová směs surová), hodnota plynnotvornosti činila $46,95 \text{ [cm}^3\text{.g}^{-1}\text{]}$ a nepatrně nižší hodnota byla zjištěna u směsi č. 28 (modelová směs vyčištěná).

Z přílohy č. 20 jsou také zřejmé hodnoty plynnotvornosti směsi č. 30 (jádrová směs) při ohřevu na teplotu 800°C , 1000°C a 1200°C . Jedná se o směs jádrovou na bázi pryskyřice, která při teplotě 800°C vykazovala plynnotvornost $9,51 \text{ [cm}^3\text{.g}^{-1}\text{]}$, při teplotě 1000°C $17,90 \text{ [cm}^3\text{.g}^{-1}\text{]}$ a při teplotě 1200°C $32,09 \text{ [cm}^3\text{.g}^{-1}\text{]}$. Rostoucí plynnotvornost s vyšší teplotou ohřevu je v souladu s teoretickými předpoklady.

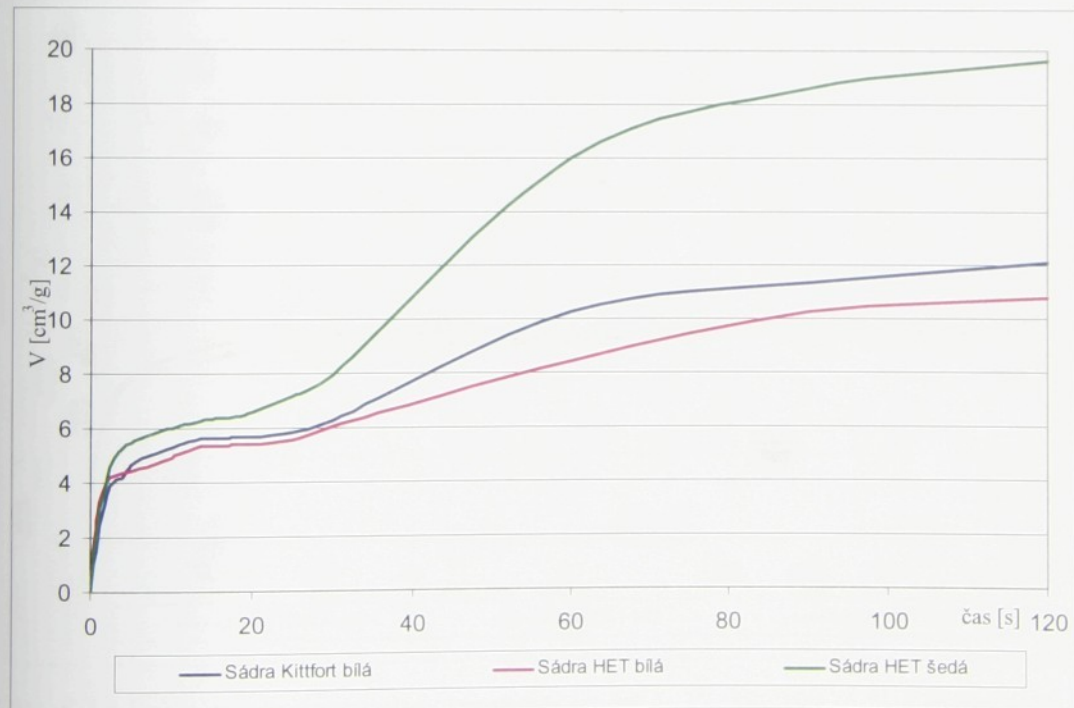
IV. etapa experimentů

Z úspěšně naměřených hodnot plynnotvornosti (176 provedených experimentů), které byly změřeny v této etapě prováděných experimentů, dle výše uvedeného rozdělení vzorků, bylo provedeno vyhodnocení a posouzení jejich plynnotvornosti.

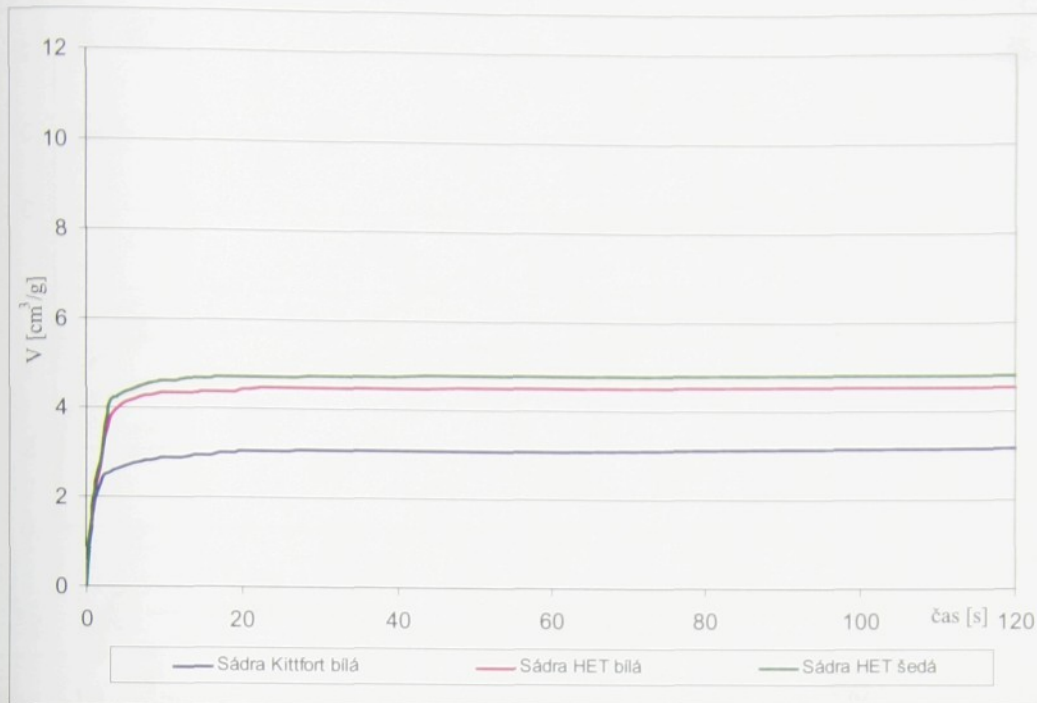
Na obr. 5-15 jsou uvedeny průměrné hodnoty plynnotvornosti směsí (č. 31, 32, 33 - prášková směs sádry) v závislosti na čase při teplotě 800°C . Z obr. 5-16 jsou patrné průměrné hodnoty plynnotvornosti směsí (č. 31, 32, 33 - prášková směs) v závislosti na čase při teplotě 1000°C . Na obr. 5-17 jsou uvedeny průměrné hodnoty plynnotvornosti směsí (č. 34, 35, 36) v závislosti na čase při teplotě 800°C . Na obr. 5-18 jsou uvedeny průměrné hodnoty plynnotvornosti směsí (č. 37, 38, 39) v závislosti na čase při teplotě 800°C . Na obr. 5-19 jsou uvedeny průměrné hodnoty plynnotvornosti směsí (č. 34, 35, 36) v závislosti na čase při teplotě 1000°C , na obr. 5-20 jsou uvedeny průměrné hodnoty plynnotvornosti směsí (č. 37, 38, 39) v závislosti na čase při teplotě 1000°C a na obr. 5-21 jsou uvedeny průměrné hodnoty plynnotvornosti směsí (č. 40, 41, 42, 43 a 44) v závislosti na čase při teplotě 1000°C .



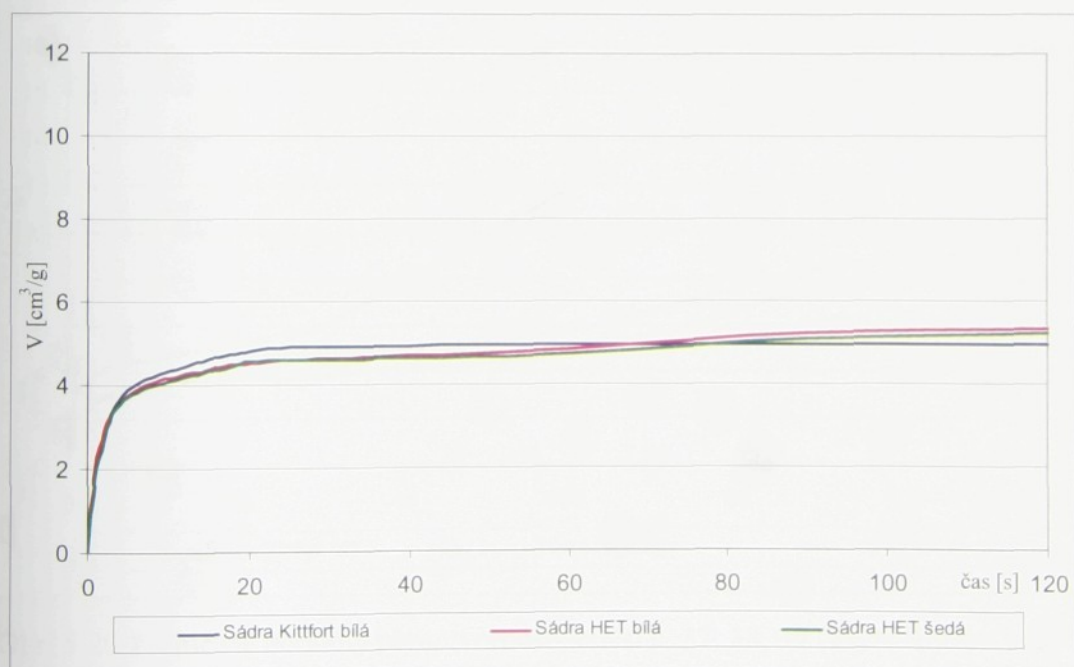
Obr. 5-15 Průměrné hodnoty plynотvornosti práškových sáder (Kittfort, Het-bílá, Het-šedá); označení jako směsi č. 31, 32, 33, při teplotě 800 °C



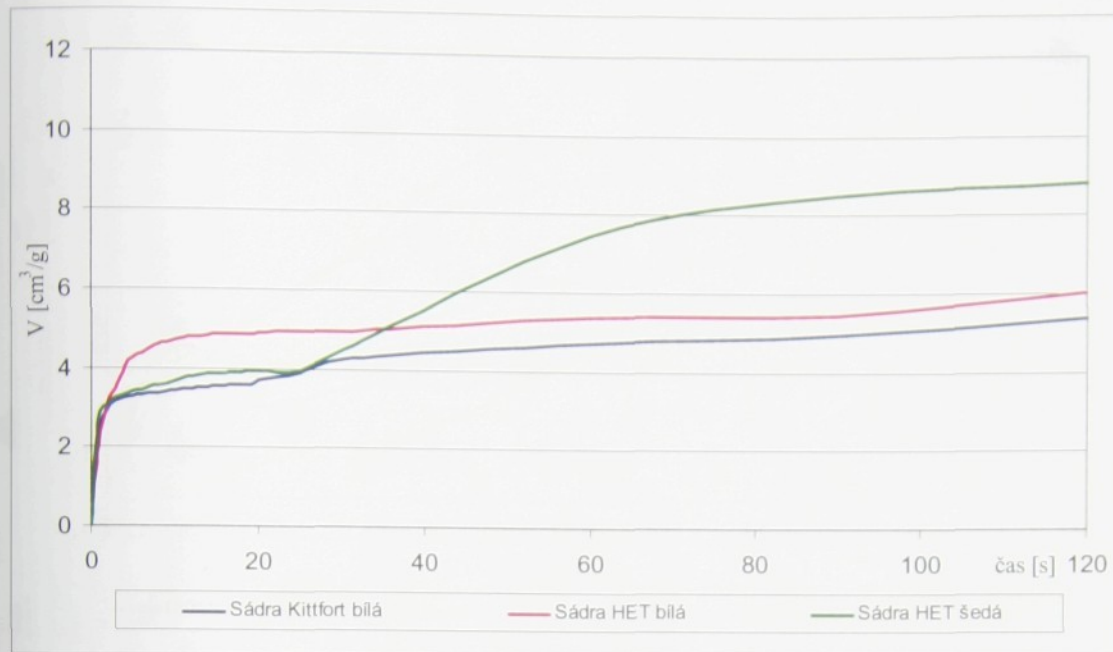
Obr. 5-16 Průměrné hodnoty plynотvornosti práškových sáder (Kittfort, Het-bílá, Het-šedá); označení jako směsi č. 31, 32, 33, při teplotě 1000 °C



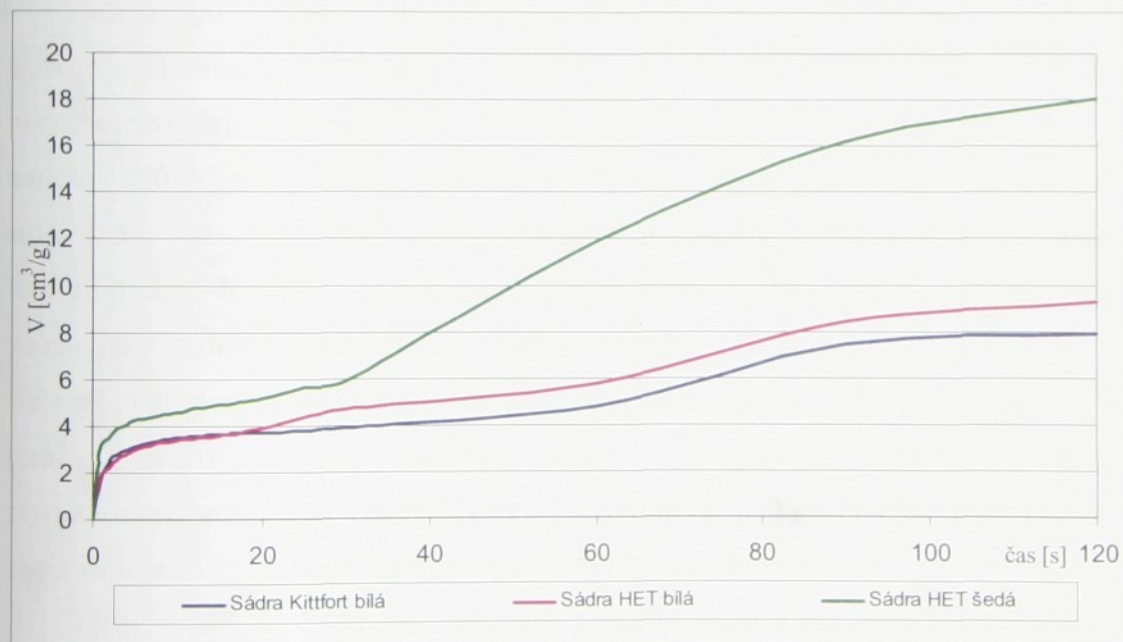
Obr. 5-17 Průměrné hodnoty plynотvornosti směsí č. 34, 35, 36 (50 % Kittfort a 50 % voda; 50 % Het-bílá a 50 % voda; 50 % Het-šedá a 50 % voda) při teplotě 800 °C



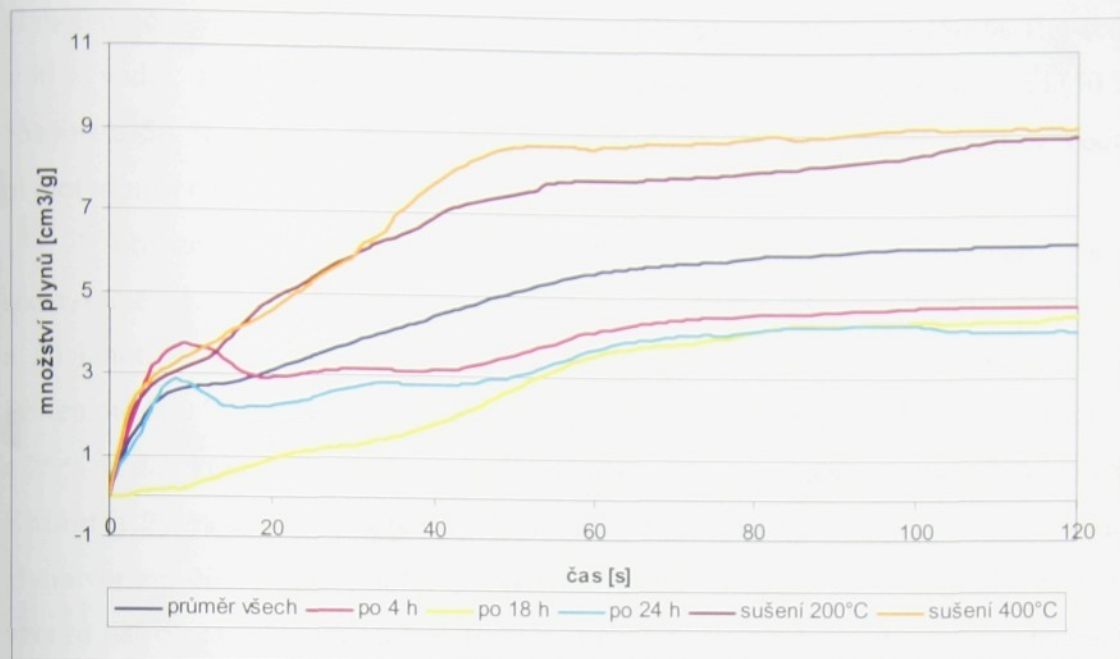
Obr. 5-18 Průměrné hodnoty plynотvornosti směsí č. 37, 38, 39 (75 % Kittfort a 25 % voda; 75 % Het-bílá a 25 % voda; 75 % Het-šedá a 25 % voda) při teplotě 800 °C



Obr. 5-19 Průměrné hodnoty plynотvornosti směsí č. 34, 35, 36 (50 % Kittfort a 50 % voda; 50% Het-bílá a 50 % voda; 50 % Het-šedá a 50 % voda) při teplotě 1000 °C



Obr. 5-20 Průměrné hodnoty plynотvornosti směsí č. 37, 38, 39 (75 % Kittfort a 25 % voda; 75 % Het-bílá a 25 % voda; 75 % Het-šedá a 25 % voda) při teplotě 1000 °C



Obr. 5-21 Průměrné hodnoty plynnotvornosti směsí č. 40, 41, 42, 43, 44 (50 % Kittfort a 50 % voda, 4,18, 24 hod, 200 a 400 °C) při teplotě 1000 °C

Maximální hodnoty plynnotvornosti vzorků práškových sáder jsou patrné z příslušných tabulek uvedených v příloze č. 21. Z těchto tabulek je zřejmé, že byly zkoušce plynnotvornosti podrobeny tři typy sáder (Kittfort, Het-bílá, Het-šedá). Při teplotě 800 °C nejvyšší plynnotvornost vykazovala sádra (Het-šedá), označená jako směs č. 33, která činila 8,49 [$\text{cm}^3 \cdot \text{g}^{-1}$], nejnižší hodnotu vykazovala směs č. 32 (sádra Het-bílá) 5,84 [$\text{cm}^3 \cdot \text{g}^{-1}$], plynnotvornou směsi č. 31 (sádra Kittfort) 6,81 [$\text{cm}^3 \cdot \text{g}^{-1}$]. Analogické hodnoty plynnotvornosti těchto sáder byly zjištěny i při teplotě 1000 °C. Nejvyšší vykazovala sádra Het-šedá (označená jako směs č. 33), která činila 19,61 [$\text{cm}^3 \cdot \text{g}^{-1}$], nejnižší hodnotu vykazovala směs č. 32 (sádra Het – bílá) 10,83 [$\text{cm}^3 \cdot \text{g}^{-1}$], plynnotvornost směsi č. 31 (sádra Kittfort) 12,10 [$\text{cm}^3 \cdot \text{g}^{-1}$]. Tyto hodnoty plynnotvornosti sáder jsou proti jejich hodnotám při teplotě 800 °C cca dvojnásobné.

Opět v příloze č. 21 jsou hodnoty plynnotvornosti kompaktních vzorků sáder, (směsi č. 34, 35, 36), které byly vyrobeny smícháním 50 hmot. % příslušné sádry a 50 hmot. % vody (označení 50/50) a zahřívány na teplotu 800 °C a na 1000 °C. Při teplotě 800 °C vykazovaly následující hodnoty plynnotvornosti: nejvyšší plynnotvornost vykazovala směs č. 36 (50 % Het-šedá a 50 % voda), která činila 4,81 [$\text{cm}^3 \cdot \text{g}^{-1}$], nejnižší hodnotu vykazovala směs č. 34 (50 % Kittfort a 50 % voda) 3,17 [$\text{cm}^3 \cdot \text{g}^{-1}$], plynnotvornost směsi č. 35 (50 % Het-bílá a 50 % voda) 4,56 [$\text{cm}^3 \cdot \text{g}^{-1}$]. Podle předpokladu, při teplotě 1000 °C, tyto směsi vykazovaly vyšší hodnoty

plynnotvornosti. Nejvyšší plynnotvornost byla naměřena u směsi č. 36 (50 % Het-šedá a 50 % voda), která činila $8,82 \text{ [cm}^3\text{.g}^{-1}\text{]}$, nejnižší hodnotu vykazovala směs č. 34 (50 % Kittfort a 50 % voda) $5,38 \text{ [cm}^3\text{.g}^{-1}\text{]}$, u směsi č. 35 (50 % Het-bílá a 50 % voda) plynnotvornost $6,05 \text{ [cm}^3\text{.g}^{-1}\text{]}$.

V příloze č. 21 jsou také uvedeny hodnoty plynnotvornosti kompaktních vzorků sáder, (směsi č. 37, 38, 39), které byly vyrobeny smícháním 75 hmot. % příslušné sádry a 25 hmot. % vody (označení 75/25) a zahřívány na teplotu 800°C a na 1000°C . Při teplotě 800°C nejvyšší plynnotvornost byla naměřena u směsi č. 38 (75 % Het-bílá a 25 % voda), která činila $5,34 \text{ [cm}^3\text{.g}^{-1}\text{]}$, nejnižší hodnotu vykazovala směs č. 37 (75 % Kittfort a 25 % voda) $4,96 \text{ [cm}^3\text{.g}^{-1}\text{]}$, u směsi č. 39 (50 % Het-šedá a 25 % voda) plynnotvornou činila $5,24 \text{ [cm}^3\text{.g}^{-1}\text{]}$. Při této teplotě výsledky se u jednotlivých typů vzorků liší o cca 7 %. Při teplotě 1000°C byly i podle předpokladů zjištěny hodnoty plynnotvornosti vyšší. Nejvyšší plynnotvornost byla naměřena u směsi č. 39 (75 % Het-šedá a 25 % voda), která činila $18,06 \text{ [cm}^3\text{.g}^{-1}\text{]}$, nejnižší hodnotu vykazovala směs č. 37 (75 % Kittfort a 25 % voda) $7,88 \text{ [cm}^3\text{.g}^{-1}\text{]}$, u směsi č. 38 (50 % Het-bílá a 25 % voda) plynnotvornost činila $9,30 \text{ [cm}^3\text{.g}^{-1}\text{]}$. Rozdíly hodnot jsou poměrně vysoké, činí až 129 %.

V příloze č. 21 jsou též uvedeny výsledky plynnotvornosti, které byly získány u pevných masivů (směsi č. 40, 41, 42, 43 a 44), které byly vyrobeny smícháním 50 hmot. % sádry Kittfort a 50 hmot. % vody. Tyto směsi byly podrobeny zkoušce plynnotvornosti v okamžiku 4, 18 a 24 hodin po jejich výrobě. U směsi č. 43 byla po 24 hod. od výroby provedeno sušení směsi při teplotě 200°C a pak sledována plynnotvornost při teplotě 1000°C . Podobné to bylo u směsi č. 44, která byla žíhána při teplotě 400°C před měřením plynnotvornosti při teplotě 1000°C . Naměřené hodnoty směsí č. 40, 41 a 42 odpovídají teoretickým předpokladům. Nejvyšší plynnotvornost vykazovala směs č. 40 (po 4 hod.), která činila $4,76 \text{ [cm}^3\text{.g}^{-1}\text{]}$, nejnižší směs č. 42 (po 24 hod.), plynnotvornost byla $4,26 \text{ [cm}^3\text{.g}^{-1}\text{]}$. U směsi č. 41 (po 18 hod.) plynnotvornost činila $4,53 \text{ [cm}^3\text{.g}^{-1}\text{]}$. Při měření plynnotvornosti směsí č. 43 a 44 byly získány hodnoty plynnotvornosti vyšší, které se pohybovaly od $8,91$ do $9,12 \text{ [cm}^3\text{.g}^{-1}\text{]}$. Tyto hodnoty jsou dvojnásobné vůči předchozím hodnotám plynnotvornosti směsí č. 40 až 42.

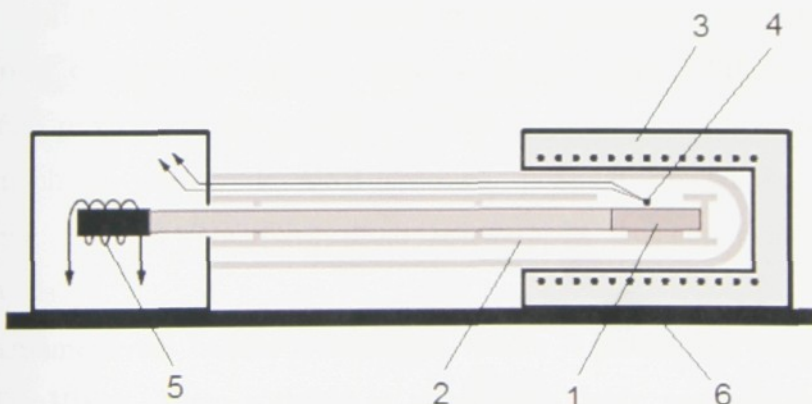
6. EXPERIMENTÁLNÍ MĚŘENÍ DILATACE

Tato část disertační práce je zaměřena na druhý fenomén, který při tepelné zátěži formovacích a jádrových směsí vzniká, tj. teplotní dilatace kompaktně připravených výše uvedených směsí.

Podobně, jako zařízení pro měření plynnotvornosti, také zařízení pro měření dilatace, bylo vyvinuto na našem pracovišti cca před 30 lety a postupně procházelo inovacemi. Byla zdokonalována jak část mechanická, tak část registrační. První konstrukce zařízení jsou patrné z přílohy č. 2. Na tomto měřicím zařízení bylo prováděno několik experimentů, které jsou součástí výzkumných a diplomových prací, jako např. diplomová práce TIETLA [84] z roku 1981.

6.1 Charakteristika současného zařízení pro měření dilatace slévárenských směsí

Zařízení na sledování dilatačních změn vzorku směsi je složeno z indukčního snímače, který převádí změnu velikosti délky na elektrické napětí, jež je zaznamenáváno pomocí softwarového vybavení do PC. Na obrázku 6-1 je schéma zařízení pro měření dilatačních změn formovacích a jádrových směsí.



1 - měřený vzorek; 2 - tyč z křemenného skla; 3 - elektrická odporová pec;
4 - termočlánek; 5 - indukční snímač; 6 - rám zařízení.

Obr. 6-1 Schéma zařízení pro měření dilatačních změn

Komplexní měřicí zařízení se skládá z těchto částí (elektrická odporová pec s regulátorem, indukční snímač, sběrnice dat s převodníkem a PC). Elektrická odporová pec je jednou z hlavních částí tohoto zařízení. Tato pec je schopna pracovat do teplot

až 1100 °C. Vyhřívací prostor pece je tvořen keramickou trubicí, která je opatřena vinutím (odporový vodič Antoxid o průměru 0,6 mm), viz příloha č. 12. Toto vinutí je propojeno do uzavřeného elektrického obvodu a je připojeno na elektrický regulátor pece EUROTHERM 91e. Popis tohoto regulátoru je uveden také v příloze č.12. Keramická trubice s vinutím je vsazena do šamotové vyzdívky pece. Prostor mezi šamotovou vyzdívkou a pecí je opatřen izolačními sisalovými destičkami, na jejichž povrchu je folie z hliníku. Regulátor teploty pece ovládá její vyhřívací prostor pomocí termočlánku PtRh-Pt. Obal pece je zhotoven z nerezového plechu. Z důvodu lepší manipulace a pohyblivosti je pec přidělána na trubkové lože.

Další důležitou součástí měřicího zařízení je indukční snímač, který snímá dilatační změny zahřívaného vzorku. Indukční snímač je upevněn na rám odlehle části pece. Místo uložení indukčního snímače je chráněno krytem z nerezového plechu. K části rámu, kde je indukční snímač, je připevněna trubice z křemenného skla, která je na druhém konci upravena pro ustanovení zkoušeného vzorku. Do této trubice je volně uložená menší křemenná trubice, která je přes pružinu spojena s pohyblivým čidlem indukčního snímače. Tato trubice přenáší na indukční snímač pohyb změny velikosti délky vzorku. Součástí místa pro uložení vzorku v křemenné trubici jsou dva termočlánky NiCr-Ni, jeden snímá teplotu v okolí vzorku (T_1) a druhý přímo teplotu na povrchu vzorku (T_2). Elektrické napětí vyvolané pohybem indukčního snímače vlivem teplotní dilatace ohřívaného vzorku je vedeno přes USB datové sběrnice a zpracováváno programem převodníku a je dále zpracováno v softwaru PC. Napětí na termočláncích je vedeno do USB sběrnice, program převodníku je nastaven na termočlánek typu K (NiCr-Ni), proto software PC registruje obě teploty již ve stupních Celsia.

Pro zaznamenávání hodnot naměřených veličin je použit PC, který je vybaven softwarem DaqVIEW. Tento software je nutno vždy dobré nastavit, aby docházelo ke správnému ukládání naměřených hodnot. Jednalo se tedy i o správné nastavení scanu, což je krok snímání zápisu dat (např. časový úsek).

V rámci řešení mé disertační práce jsem se podílel na inovaci vinutí pece, s tím souvisely i elektrické propočty průměru a délky odporového vodiče i vlastní technologie navinutí vodiče na keramickou trubici. Detailní schéma vinutí je zobrazeno v příloze č.12. Na obrázku 6-2 je zobrazeno pracoviště a uspořádání měřicích zařízení při měření dilatace formovacích a jádrových směsí.



Obr. 6-2 Pohled na pracoviště a uspořádání zařízení při měření dilatace směsi

Kalibrace zařízení pro měření dilatace se provádí pomocí mikrometrického měřidla. Stanovuje se změna délky v závislosti na změně napětí vzniklého na indukčním snímači. Na základě tohoto experimentu se stanovuje hodnota konstanty pro přepočet elektrického napětí na hodnotu délky. Tato konstanta činí 0,004114. Pomocí této konstanty byly prováděny i přepočty naměřených hodnot dilatace této disertační práce.

6.2 Návrh a popis metodiky přípravy vzorků pro měření dilatace

V rámci měření dilatace bylo vybráno 11 skupin vzorků a provedeno 216 měření teplotní dilatace. Skupiny vzorků č. I až č. V, se týkaly směsi s křemenným ostřivem a pojivem pod názvem Novanol a lišily se zrnitostí použitého křemenného ostřiva. Další skupiny vzorků č. VI až č. XI byly vyrobeny ze 3 typů sáder (Kittfort, Het-bílá, Het-šedá). Detailnější popis všech skupin vzorků je v tabulce 6-1. Z této tabulky je také zřejmé, že experimenty byly prováděny šokem na teplotu 800 °C a 1000 °C nebo postupným ohřevem na teplotu 800 °C a 1000 °C.

Z důvodu malého množství materiálů pro vzorky, popř. z důvodů nekompatnosti vzorku, nebylo provedeno měření dilatace u všech směsí použitych pro měření plynnotvornosti.

Vzorky pro měření dilatací jádrových směsí (ze skupiny vzorků č. I až č. V) jsou na obr. 6-3. Podobným způsobem byly vyrobeny i vzorky ze sádrových směsí. Jednotlivé komponenty směsí byly váženy na váze Transporta č.8119/1 se závažím. Směsi byly připravovány v kolovém míši či Škoda MKO 180. Pro malou navážku pojiva byla použita digitální váha Radwag WPS 4000/C/2. Směs byla napěchována do malé formičky pro přípravu zkušebních tělisek Ø 8 x 50 mm. Potřebná zařízení jsou uvedena v příloze č. 12.

Tabulka 6-1 Přehled prováděných experimentálních měření dilatace

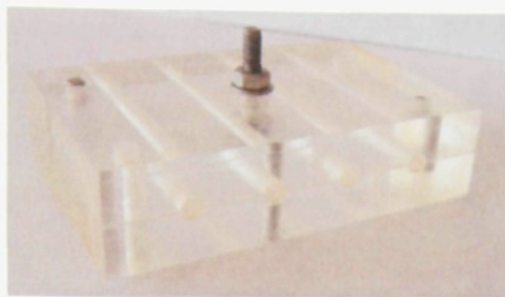
Číslo směsi	Charakter směsi		Teplota ohřevu vzorku [°C]	Poznámka
	Ostřivo	Pojivo		
I.	ST52 PAP	3% Novanol	800, 1000	ohřev tepelným šokem i postupným ohřevem
II.	ST 53 PAP	3% Novanol	800, 1000	
III.	ST54 PAP	3% Novanol	800, 1000	
IV.	ST55 PAP	3% Novanol	800, 1000	
V.	ST 56 PAP	3% Novanol	800, 1000	
VI.	Sádra Het -bílá	50% sádry, 50% H ₂ O	800, 1000	ohřev tepelným šokem
VII.	Sádra Het-bílá	75% sádry, 25% H ₂ O	800, 1000	
VIII.	Sádra Het-šedá	50% sádry, 50% H ₂ O	800, 1000	
IX.	Sádra Het-šedá	75% sádry, 25% H ₂ O	800, 1000	
X.	Sádra Kittfort -bílá	50% sádry, 50% H ₂ O	800, 1000	
XI.	Sádra Kittfort -bílá	75% sádry, 25% H ₂ O	800, 1000	

Skupina vzorků (č. I až č. V) byla vyrobena s použitím pojiva na základě vodního skla, označovaného Novanol (jedná se o fenol-rezolovou pryskyřici v tekutém stavu), a ostřiva, resp. křemenného písku s různou zrnitostí (ST52 PAP, ST53 PAP, ST54 PAP, ST55 PAP, ST56 PAP). Zpevnění vzorků bylo provedeno profouknutím plynu CO₂. Jak je z přílohy č. 16 zřejmé, těchto vzorků bylo vyrobeno 75 a všechny byly podrobeny měření dilatace. Pro výrobu každé směsi bylo použito 5 kg ostřiva - křemenného písku. Dostatečné promíchání ostřiva s pojivem charakterizuje žluté zabarvení směsi. Z takto namíchané směsi byla vyráběna zkušební těliska ($\varnothing 8 \times 50$ mm), která byla vytvrzena profouknutím plynu CO₂. Dostatečné vytvrzení směsi bylo signalizováno hnědorůžovým zabarvením. Tato tělíska byla vyráběna ve speciálním plastovém jaderníku, viz obrázek 6 - 4. Současně bylo dbáno, aby vzorky před měřením nenavlhly a nebyly mechanicky poškozeny.



Obr. 6-3 Ukázky vyrobených vzorků pro měření dilatace

V této práci jsou také uvedeny vybrané mechanické vlastnosti formovacích a jádrových směsí. Pevnost v tahu a pevnost ve střihu doplňují charakteristické vlastnosti pro vybraný druh jádrových směsí. Naměřené hodnoty a jejich vyhodnocení je zobrazeno v příloze č. 25.



Obr. 6-4 Forma na výrobu vzorků pro zkoušku dilatace

Skupina vzorků (č. VI až č. XI) byla vyrobena obdobným způsobem jako předchozí skupina. Pouze vytvrzení proběhlo jako u klasických sádrových směsi, tedy samovolně na vzduchu.

6.3 Sledování průběhu dilatace vybraných slévárenských směsí

K měření dilatačních změn vzorků formovacích a jádrových směsí byl použit dilatometr, který byl zkonstruován na našem pracovišti. Prováděné experimenty byly rozděleny do dvou základních skupin, které se lišily charakterem ohřevu:

- a) první skupina - ohřev vzorku směsi $\varnothing 8 \times 50$ mm tepelným šokem, kdy teplota vzorku dosahovala 800°C a 1000°C . Tato skupina byla použita pro měření skupin vzorků I. až XI.
- b) druhá skupina - postupný ohřev vzorku směsi $\varnothing 8 \times 50$ mm do teploty 1000°C . Tato skupina byla použita pro měření skupin vzorků I. až V.

a) Metodika prováděných experimentů tepelným šokem probíhala následovně: nejprve byl zprovozněn PC a příslušný program, který slouží pro zaznamenávání sledovaných veličin, tj. teploty vzorku, teploty okolí vzorku v peci a elektrického napětí. Nastavení je podobné, jako při nastavení programu pro měření plynovornosti. V programu byl nastaven krok záznamu naměřených dat (časový interval) a soubor, do kterého se data následovně zapisovala. Jedná se o ohřev vzorků tepelným šokem, proto musela být

zprovozněna pec, ve které byla nastavena teplota 800 °C nebo 1000 °C. Hodnota teploty v peci byla nastavena pomocí regulátoru teploty.

Výchozí hodnota délky sledovaných vzorků byla měřena před vložením do pece pomocí digitální posuvky (např. posuvka MITUTOYO CD-15). Tyto hodnoty byly vždy zaznamenány do textového souboru prostřednictvím PC. Formát datového výstupu je možné nastavit dle uživatelské potřeby. Pak následovalo vlastní měření dilatace vzorku směsi. Vzorky musí být v kompaktní podobě, oproti měření plynovornosti, kde to není podmínkou. Vzorek byl uložen do křemenné trubice dilatometru a byla nastavena výchozí poloha snímače dilatace prostřednictvím stavěcího šroubu (vnitřní křemenná tyčinka se musí dotýkat vzorku). Po vložení křemenné trubice se vzorkem do pece následoval přímý ohřev zkušebního vzorku, tj. ohřev z teploty pokojové cca 20 °C na teplotu 800 °C nebo 1000 °C. Současně s vložením vzorku do pece byl spuštěn program pro zaznamenávání sledovaných a registrovaných hodnot počítačem, a to hodnota dilatace v závislosti na čase, teplota na povrchu ohřívaného vzorku a teplota okolí vzorku. S přibývajícím časem zahřívání vzorku se zvyšovaly i teploty na povrchu vzorku a v jeho okolí. Tyto teploty se liší nepatrн, avšak teplota okolí je vždy o něco vyšší než teplota vzorku. Při měření byl sledován okamžik, kdy se teplota povrchu vzorku rovnala teplotě jeho okolí. Tím byla dosažena potřebná teplota vzorku, která činila 800 °C nebo 1000 °C. Po dosažení této teploty byl vypnut program a následně i pec. Následovalo chladnutí a později i vyjmutí vzorku z pece. Měření tepelným šokem na teplotu 1000 °C probíhalo stejně jako předchozí měření, s tím rozdílem, že na regulátoru pece byla nastavena požadovaná teplota ohřevu.

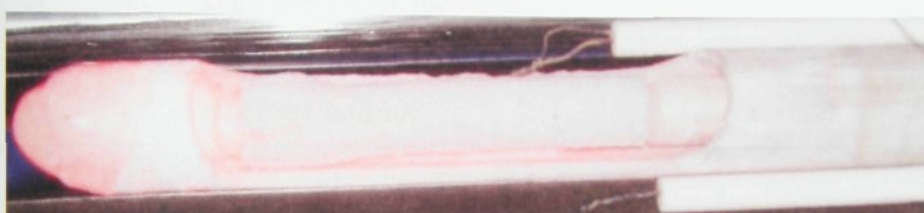
b) Metodika měření dilatací postupným ohřevem je podobná jako v předchozím případě, liší se charakterem ohřevu sledovaného vzorku, v tomto případě je vzorek vložen do pece o pokojové teplotě a postupně je ohříván na teplotu 1000 °C. Tyto experimenty jsou časově náročnější, protože se jedná o postupný ohřev vzorku z pokojové teploty a také vychladnutí pece opět na pokojovou teplotu trvá poměrně velmi dlouho, cca 6 hodin i více, ochlazování pece je dlouhé především z důvodu kvalitně izolovaného prostoru pecní vyzdívky. Nastavení přírůstku teploty se nastavuje přímo na regulátoru pece zařízení.

Na obr. 6-5 je uveden pohled na měřicí zařízení v okamžiku ohřevu vzorku. Na obr. 6-6 je pohled na ustavený vzorek do křemenné trubice po jeho měření dilatace.

Současně je vidět, jak čidlo termočlánku NiCr-Ni se dotýká měřeného vzorku. Na obr. 6-7 je pohled na zborcený vzorek při chladnutí volně na vzduchu.



Obr. 6-5 Pohled na měřící zařízení v okamžiku ohřevu vzorku,
vlevo pec, vpravo je chráněný indukční snímač



Obr. 6-6 Pohled na křemennou trubici dilatometru se vzorkem po ohřevu



Obr. 6-7 Pohled na zborcený vzorek při chladnutí volně na vzduchu

Získání záznamů dilatace - naměřené hodnoty, tj. hodnota dilatace, teplota T_1 (teplota v okolí vzorku) a teplota T_2 (teplota vzorku) jsou během měření zaznamenávány prostřednictvím programu DaqVIEW do předem zhotoveného textového souboru. Teploty se zaznamenávají ve stupních Celsia, avšak dilatace ve voltech. Tento textový soubor je převáděn do Microsoft Excelu®, v němž probíhá další zpracování výsledků a zhotovení potřebných grafických závislostí, které charakterizují časové průběhy měřených hodnot. Naměřená napětí jsou přepočítávána pomocí kalibrační konstanty na délkovou hodnotu, tj. na mikrometry [μm]. Dilatace je vždy převáděna na procentuální hodnotu, protože vyrobit vzorky naprostě stejných rozměrů bylo nemožné (jejich rozměr se lišil v desetinách až setinách mm) a výsledky nejsou tedy zkresleny nepřesností vzorků.

Z každého měření byly získány hodnoty časů, napětí, teploty na povrchu vzorku a teploty jeho okolí v peci. Dále byly vypočítány hodnoty ΔU , δ a procentuální vyjádření dilatace, vztahy pro výpočet hodnot těchto veličin jsou uvedeny v příloze č. 12.

V tabulce 6-2 je pro ilustraci ukázka vybraných naměřených a vypočítaných hodnot (měření při šokovém charakteru ohřevu směsi ze skupiny experimentů č. I, tj. ostřivo ST 52 PAP a pojivem byl 3 % Novanolu). Vztahy pro výpočet hodnot veličin (ΔU , δ a procentuální vyjádření dilatace) jsou uvedeny v příloze č. 12.

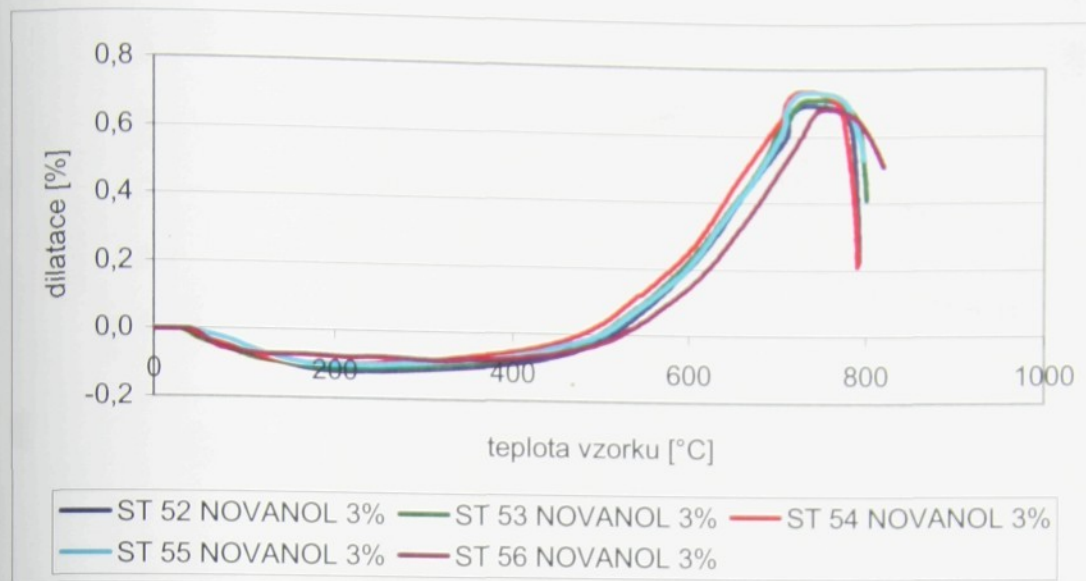
Tabulka 6-2 Ukázka vybraných naměřených a vypočítaných hodnot získaných z jednoho měření dilatačních změn

Měření dilatace směsi (ST 52 PAP a 3% pojiva Novanolu) šokem						
Čas měření [s]	Naměřené hodnoty			Vypočítané hodnoty		
	U [V]	T ₁ [°C]	T ₂ [°C]	Δ U [V]	Δ [μm]	% hodnota
0	0,00000	0,00000	0,00000	0,00000	0,00000	0,00000
0,5	4,83694	42,20934	29,38450	0,00000	0,00000	0,00000
1	4,83717	42,41492	29,37335	-0,00023	-0,05639	-0,00011
1,5	4,83707	42,67027	29,53297	-0,00013	-0,03257	-0,00006
2	4,83684	44,01321	36,58115	0,00010	0,02382	0,00005
2,5	4,87509	80,88483	74,22105	-0,03815	-9,27443	-0,01839
3	4,97415	188,37600	136,74160	-0,13721	-33,35148	-0,06615
3,5	5,19345	307,11560	198,22880	-0,35651	-86,65751	-0,17187
4	5,19967	417,44100	254,95310	-0,36273	-88,17015	-0,17487
4,5	5,18877	508,22640	307,08610	-0,35184	-85,52163	-0,16962
5	5,17274	581,45730	354,59860	-0,33580	-81,62445	-0,16189
5,5	5,15606	639,17900	397,20050	-0,31912	-77,57000	-0,15385
6	5,13917	683,79720	434,78980	-0,30224	-73,46524	-0,14571
6,5	5,12157	717,96820	467,04240	-0,28463	-69,18546	-0,13722

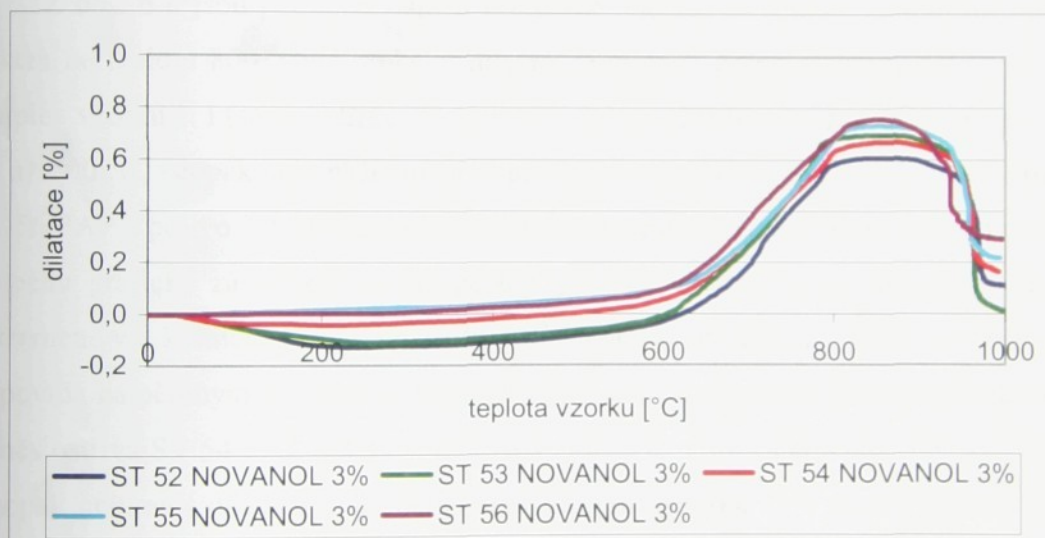
Poznámka: Popis jednotlivých sloupců tabulky čas [s] - daný okamžik záznamu naměřených hodnot a U[V] - naměřená hodnota napětí, která odpovídá změně rozměru vzorku; T₁ [°C] - teplota v okolí vzorku; T₂ [°C] - teplota vzorku.

6.4 Vyhodnocení záznamů měření dilatace

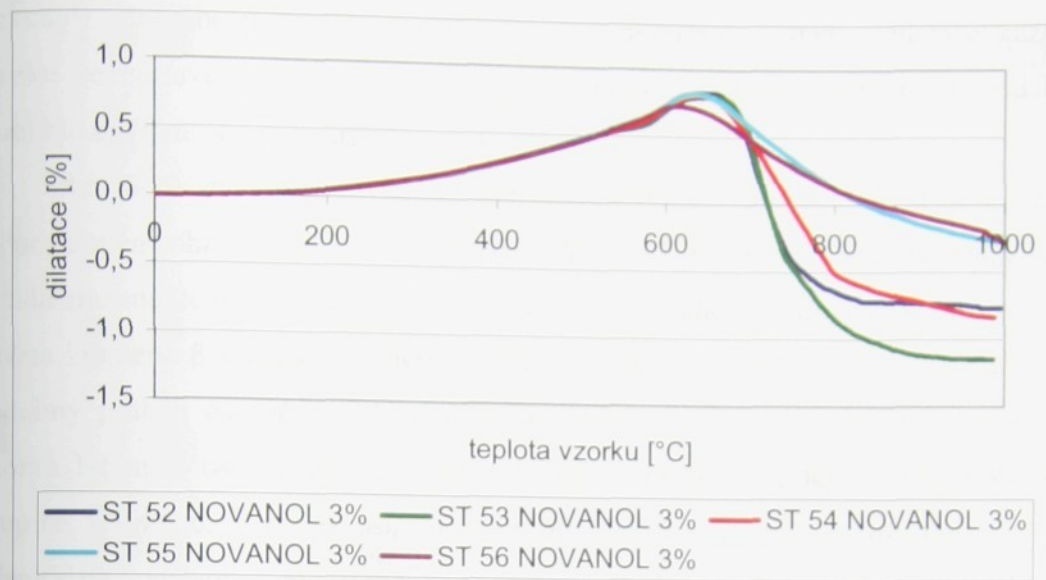
Na základě výše popsané metodiky byly získané grafické závislosti hodnot dilatace na teplotě (ohřev šokem při teplotě 800 °C, 1000 °C a pozvolným ohřevem na 1000 °C) jednotlivých vzorků příslušných skupin (č. I. až č. V), ze kterých byly stanoveny průměrné hodnoty a pro stejné podmínky experimentů zakresleny do příslušných grafických závislostí, viz obr. 6-8 až 6-10. Na obr. 6-11 až 6-13 jsou uvedeny průměrné hodnoty dilatace na čase pro tyto skupiny vzorků (č. I až č.V).



Obr. 6-8 Grafické závislost průměrných hodnot dilatace na teplotě vzorků sledovaných směsí při ohřevu šokem, 800 °C



Obr. 6-9 Grafické závislosti průměrných hodnot dilatace na teplotě vzorků sledovaných směsí při jejich ohřevu šokem, teplota 1000 °C



Obr. 6-10 Grafické závislosti průměrných hodnot dilatace na teplotě vzorků sledovaných směsí při postupném ohřevu na teplotu 1000 °C

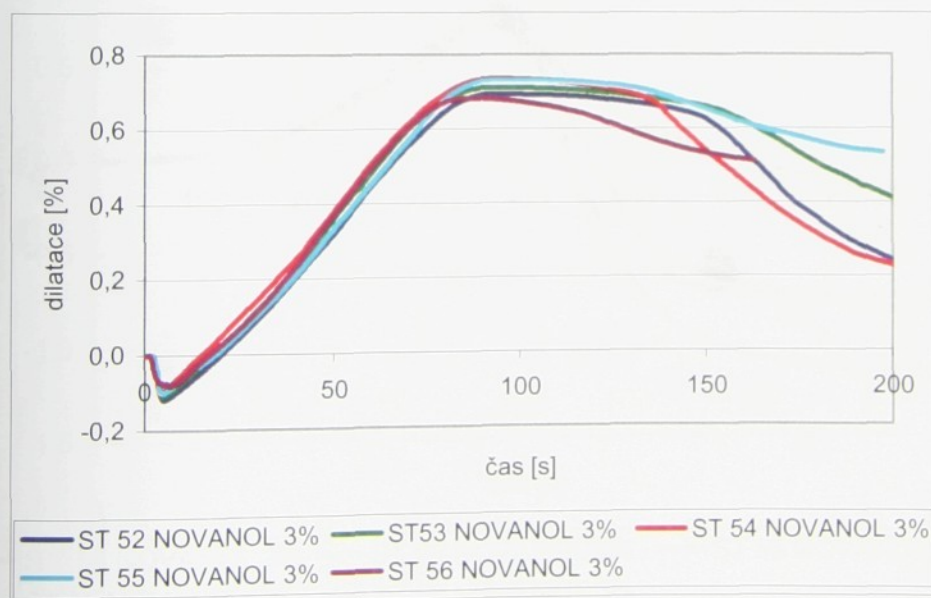
Z obr. 6-8 jsou patrné závislosti průměrné dilatace na teplotě vzorku při ohřevu šokem na teplotu 800 °C. Z průběhů dilatací je zřejmé, že největší smrštění vykazuje skupina vzorků č. I (směs ostřiva ST 52 PAP a 3 % pojiva Novanol) a to mezi teplotami 50 až 500 °C, naopak nejmenší smrštění proběhlo u skupiny vzorků č. V (směs ostřiva ST 56 PAP a pojivo 3 % Novanol) ve stejném teplotním rozmezí. Dále je patrná změna průběhu grafické závislosti, začíná postupný nárůst dilatace a to důsledkem změny β křemene v α křemen. Tato přeměna by měla probíhat při teplotě 573 °C, což přibližně odpovídá naměřeným průběhům. Největší dilatace byla dosažena u skupiny vzorků III (směs ostřiva ST 54 PAP a 3 % pojiva Novanol) a to v rozmezí teplot 700 až 750 °C. Naopak nejmenší dilatace byla naměřena u skupiny vzorků č. V (směs ostřivo ST 56 PAP a pojivo 3 % Novanol) ve stejném rozmezí teplot.

Obr. 6-9 ukazuje závislost průměrné dilatace na teplotě vzorku při šokovém ohřevu na teplotě 1000 °C. Největší smrštění je u skupiny vzorků I (směs ostřivo ST 52 PAP a pojivo 3 % Novanol), naopak nejmenší smrštění vykazovala skupina vzorků č. III (směs ostřivo ST 54 PAP a pojivo 3 % Novanol). Smrštění probíhalo v intervalu teplot 50 až 600 °C. U skupiny vzorků č. IV a č. V nebylo žádné smrštění patrné. Z naměřených průběhů (viz obr. 6-8) je zřejmé, že přeměna β křemene v α křemen je posunuta do oblasti vyšších teplot a to asi o 50 °C. Největší dilatace byla naměřena u skupiny vzorků č. V (směs ostřivo ST 56 PAP a pojivo 3 % Novanol), a nejmenší dilataci vykazovala skupina vzorků č. I (směs ostřivo ST 52 PAP a pojivo 3 %

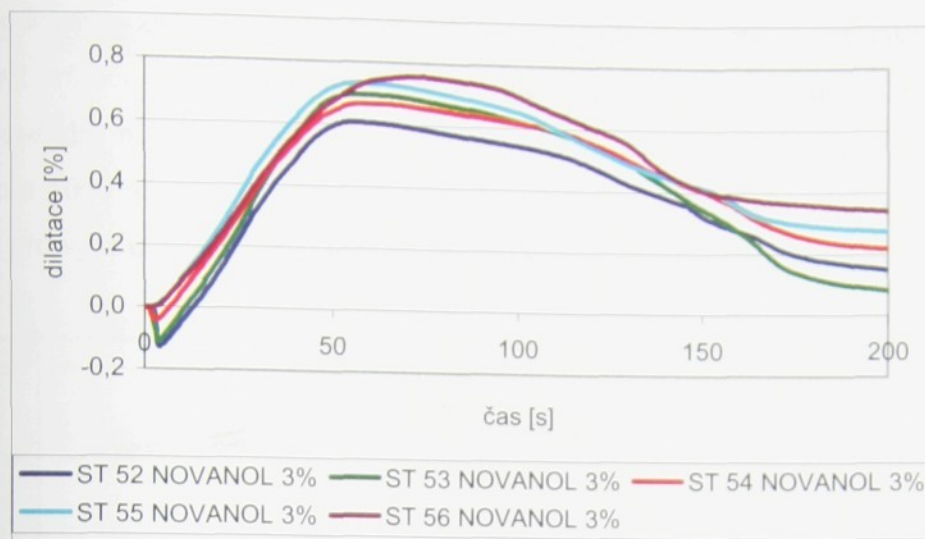
Novanol). Z průběhů je dále patrné neshodné ukončení dilatace. Dilatace každého vzorku se zastavila na různé velikosti konstantního průběhu, lze předpokládat, že to mohlo být způsobeno v důsledku zborcení vzorku.

Obr. 6-10 vykazuje závislost průměrných hodnot dilatace na teplotě vzorku při postupném ohřevu vzorků na teplotu 1000 °C. U postupného ohřevu nedocházelo k žádnému smrštění. To mohlo být příčinou rovnoměrného ohřevu vzorku. Je zde patrná změna křemene β v křemeni α . Křivky všech skupin vzorků (č. I až č. V) mají velmi podobný průběh časové závislosti dilatace. Největší dilatace se projevila u skupiny vzorků I (směsi ostrivo ST 52 PAP a 3 % Novanol) a nejmenší dilataci vykazuje skupina vzorků č. V (směs ostrivo 5 ST 56 PAP a pojivo 3 % Novanol). Ustálení dilatace na konstantní teplotu je u každé směsi rozdílné. Toto by mohlo být důsledkem zborcení vzorku.

Z obr. 6-11 a 6-12 je patrná závislosti průměrných hodnot dilatací na čase při ohřevu vzorků tepelným šokem na teploty 800 °C a 1000 °C. Tyto závislosti vykazují stejné velikosti dilatací. Jejich průběhy se liší, protože jsou závislé na čase. Z těchto dvou závislostí je patrné, že smrštění vzorku se projevuje pouze na malý časový okamžik a to na cca 15 sekund. Ohřev vzorku, u závislosti průměrných hodnot dilatace na čase při šokovém ohřevu na 800 °C, trval cca 200 sekund a u závislosti průměrné dilatace na čase při šokovém ohřevu na 1000 °C trval přibližně 500 sekund.

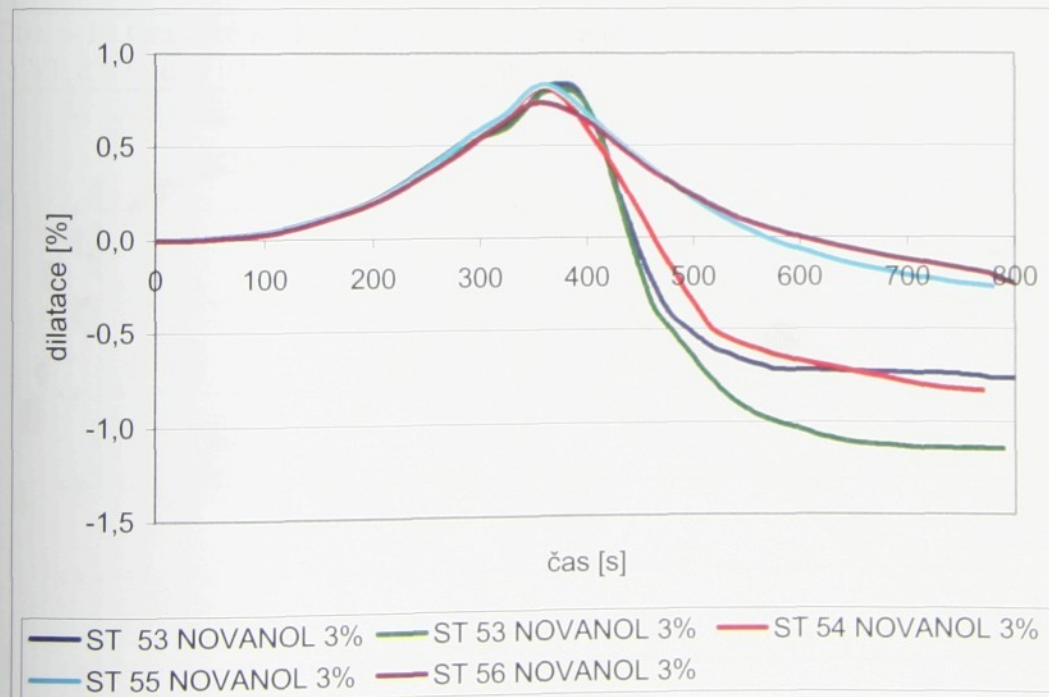


Obr. 6-11 Grafické závislosti průměrných hodnot dilatace na čase při ohřevu vzorku teplotním šokem, teplota 800 °C



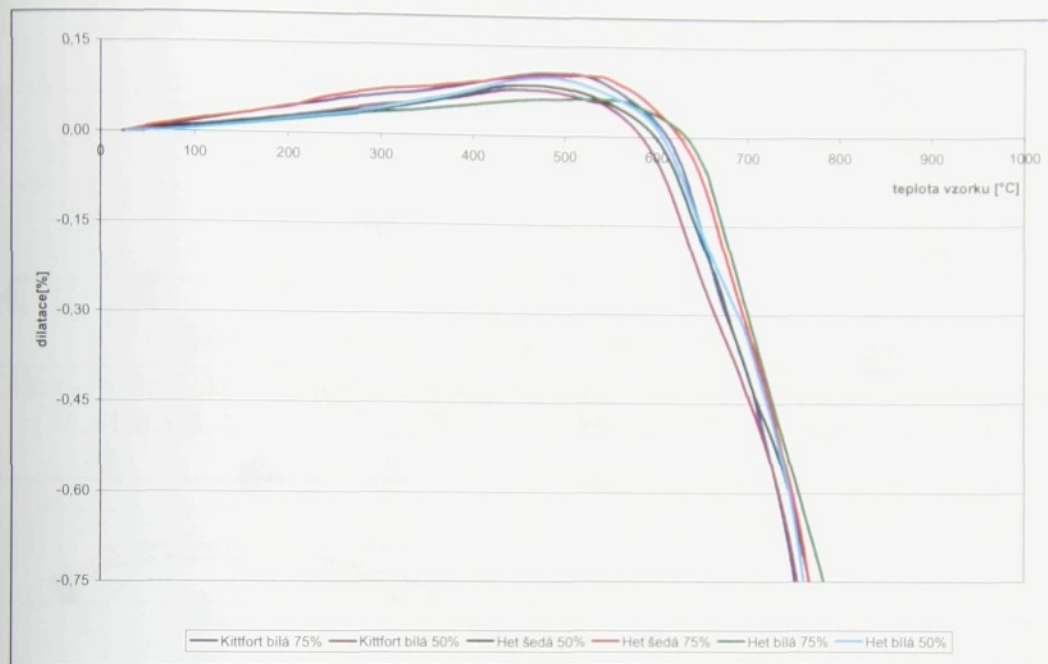
Obr. 6-12 Grafické závislosti průměrných hodnot dilatace na čase při ohřevu vzorku tepelným šokem, teplota 1000 °C

Na obr. 6-13 jsou časové závislosti průměrných hodnot dilatace na čase při postupném ohřevu vzorku na teplotu 1000 °C. Měření těchto závislostí trvalo přibližně 800 sekund. Průběh závislostí opět koresponduje s průběhem závislostí dilatace na teplotě vzorku.

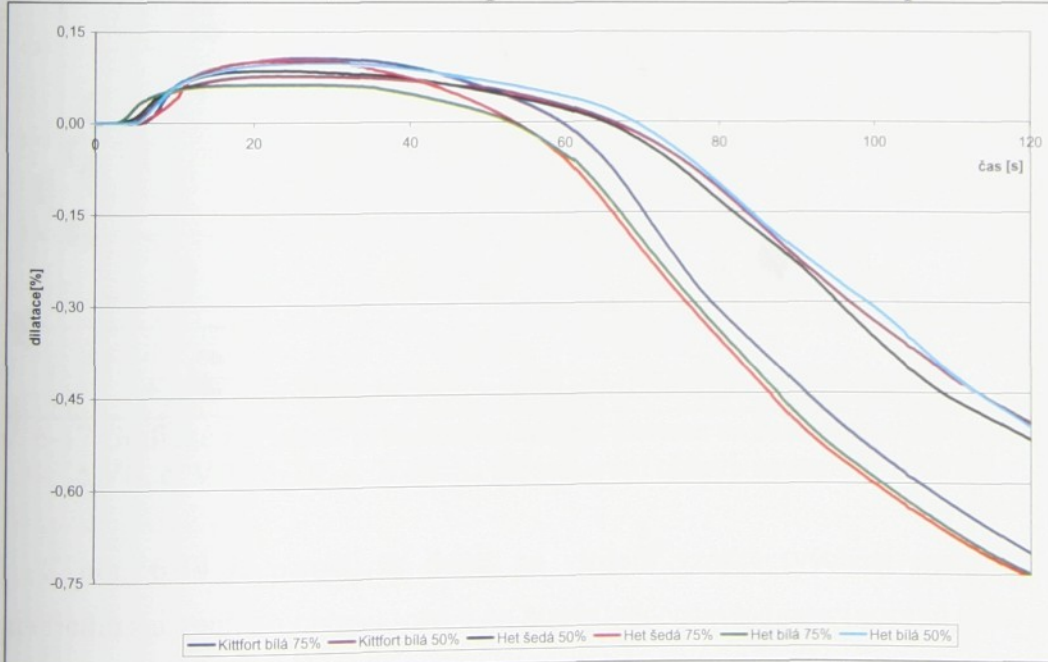


Obr. 6-13 Grafické závislosti průměrných hodnot dilatace na čase při postupném ohřevu vzorku na teplotu 1000 °C

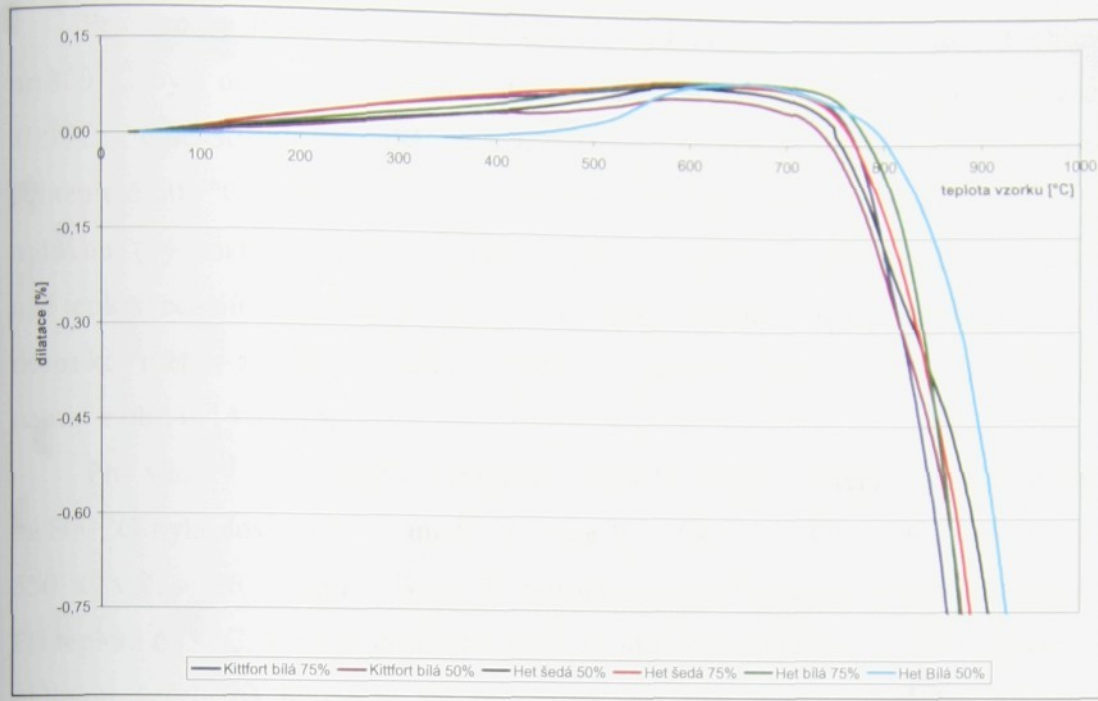
Podobným způsobem jako v předchozím případě, byly stanoveny také grafické závislosti průměrných hodnot dilatace na teplotě sledovaných typů sáder (Kittfort, Het-bílá, Het-šedá) na teplotě při ohřevu šokem $800\text{ }^{\circ}\text{C}$ a $1000\text{ }^{\circ}\text{C}$ a postupném ohřevu na teplotu $1000\text{ }^{\circ}\text{C}$, viz obr. 6-14 až 6-16. Na obr. 6-17 je grafické závislosti dilatace na čase pro výše uvedené typy sáder při ohřevu vzorků sáder šokem na teplotu $1000\text{ }^{\circ}\text{C}$.



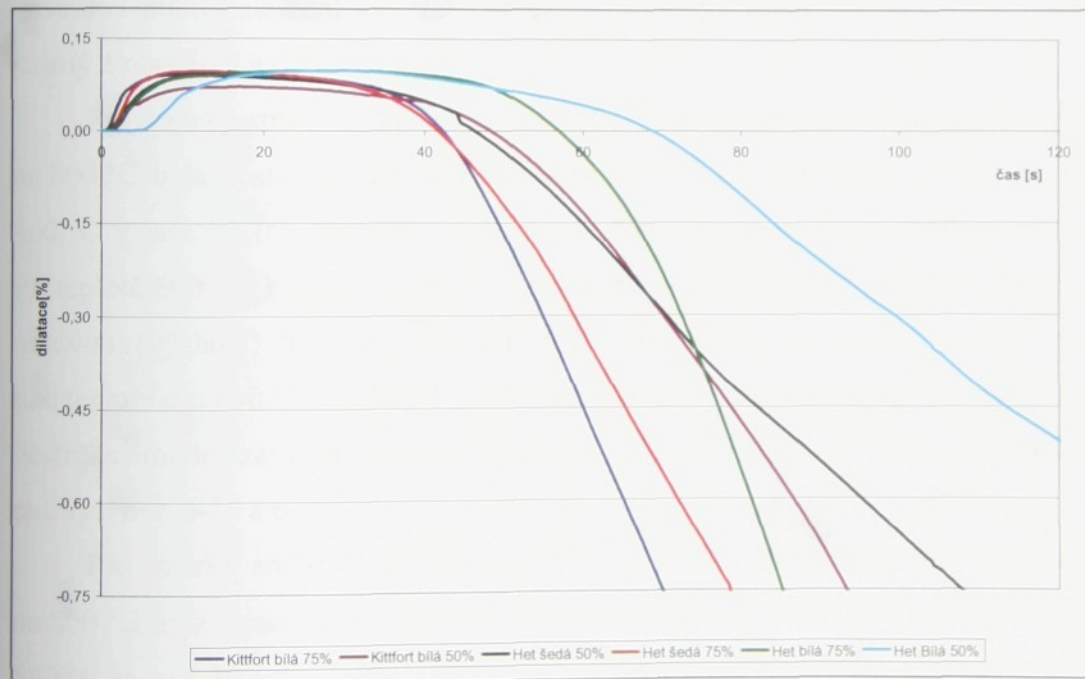
Obr. 6-14 Grafické závislosti průměrných hodnot dilatace na teplotě sádrových směsí č.VI, č.VII, č. VIII, č. IX, č. X a č.XI při šokovém ohřevu vzorku na teplotu $800\text{ }^{\circ}\text{C}$



Obr. 6-15 Grafické závislosti průměrných hodnot dilatace na čase sádrových směsí č.VI, č.VII, č. VIII, č. IX, č. X a č.XI při šokovém ohřevu vzorku na teplotu $800\text{ }^{\circ}\text{C}$



Obr. 6-16 Grafické závislosti průměrných hodnot dilatace na teplotě sádrových směsí č.VI, č.VII, č. VIII, č. IX, č. X a č.XI šokovém ohřevu na teplotu 1000 °C



Obr. 6-17 Grafické závislosti průměrných hodnot dilatace na čase sádrových směsí č.VI, č.VII, č. VIII, č. IX, č. X a č.XI při šokovém ohřevu na teplotu 1000 °C

Z obr. 6-14 je patrné, že ihned po vložení vzorků (výchozí teplota 26 °C) do měřicího zařízení, při ohřevu šokem na 800 °C, dochází k dilataci vzorků jader směsí (č. VI až č. XI).

Pro vzorky směsi č. VI (Het-bilá 50 %/50 %) při měření šokovým ohřevem na 800 °C byla dosažena maximální dilatace 0,10 % (tj. 0,05 mm) při teplotě vzorku 495 °C v čase 30 [s]. Při další zvyšování teploty vzorků se jejich dilatace zmenšuje. Při teplotě 608 °C, která je dosažena v 70 [s] od počátku měření, dosáhla dilatace opět nulovou (výchozí) hodnotu, viz obr. 6-15. Při dalším zvyšování teploty vzorků, nad teplotu cca 608 °C, dochází k prudkému smrštění vzorků, až k jejich destrukci. Tuto destrukci měřicí zařízení vykazuje prudkým poklesem dilatace. Také tento pokles je patrný z obr. 6-14 a 6-15.

Pro vzorky směsi č. VII (Het-bilá 75 %/25 %) při měření šokovým ohřevem na 800 °C byla dosažena maximální dilatace 0,06 % (tj. 0,04 mm) při teplotě vzorku 550 °C v čase 26 [s]. Při další zvyšování teploty vzorků se jejich dilatace zmenšuje. Při teplotě 633 °C, která je dosažena v 53 [s] od počátku měření, dosáhla dilatace opět nulovou (výchozí) hodnotu, viz obr. 6-15. Při dalším zvyšování teploty vzorků, nad teplotu cca 633 °C, dochází k prudkému smrštění vzorků, až k jejich destrukci. Tuto destrukci měřicí zařízení vykazuje prudkým poklesem dilatace. Také tento pokles je patrný z obr. 6-14 a 6-15.

Pro vzorky směsi č. VIII (Het-šedá 50 %/50 %) při měření šokovým ohřevem na 800 °C byla dosažena maximální dilatace 0,09 % (tj. 0,05 mm) při teplotě vzorku 460 °C v čase 22 [s]. Při další zvyšování teploty vzorků se jejich dilatace zmenšuje. Při teplotě 600 °C, která je dosažena v 65 [s] od počátku měření, dosáhla dilatace opět nulovou (výchozí) hodnotu, viz obr. 6-15. Při dalším zvyšování teploty vzorků, nad teplotu cca 600 °C, dochází k prudkému smrštění vzorků, až k jejich destrukci. Tuto destrukci měřicí zařízení vykazuje prudkým poklesem dilatace. Také tento pokles je patrný z obr. 6-14 a 6-15.

Pro vzorky směsi č. IX (Het-šedá 75 %/25 %) při měření šokovým ohřevem na 800 °C byla dosažena maximální dilatace 0,10 % (tj. 0,05 mm) při teplotě vzorku 540 °C v čase 30 [s]. Při další zvyšování teploty vzorků se jejich dilatace zmenšuje. Při teplotě 620 °C, která je dosažena v 50 [s] od počátku měření, dosáhla dilatace opět nulovou (výchozí) hodnotu, viz obr. 6-15. Při dalším zvyšování teploty vzorků, nad teplotu cca 620 °C, dochází k prudkému smrštění vzorků, až k jejich destrukci. Tuto destrukci měřicí zařízení vykazuje prudkým poklesem dilatace. Také tento pokles je patrný z obr. 6-14 a 6-15.

Pro vzorky směsi č. X (Kittfort-bílá 50 %/50 %) při měření šokovým ohřevem na 800 °C byla dosažena maximální dilatace 0,08 % (tj. 0,045 mm) při teplotě vzorku 460 °C v čase 26[s]. Při další zvyšování teploty vzorků se jejich dilatace zmenšuje. Při teplotě 580 °C, která je dosažena v 65 [s] od počátku měření, dosáhla dilatace opět nulovou (výchozí) hodnotu, viz obr. 6-15. Při dalším zvyšování teploty vzorků, nad teplotu cca 580 °C, dochází k prudkému smrštění vzorků, až k jejich destrukci. Tuto destrukci měřicí zařízení vykazuje prudkým poklesem dilatace. Také tento pokles je patrný z obr. 6-14 a 6-15.

Pro vzorky směsi č. XI (Kittfort-bílá 75 %/25 %) při měření šokovým ohřevem na 800 °C byla dosažena maximální dilatace 0,10 % (tj. 0,05 mm) při teplotě vzorku 495 °C v čase 28 [s]. Při další zvyšování teploty vzorků se jejich dilatace zmenšuje. Při teplotě 612 °C, která je dosažena v 60 [s] od počátku měření, dosáhla dilatace opět nulovou (výchozí) hodnotu, viz obr. 6-15. Při dalším zvyšování teploty vzorků, nad teplotu cca 612 °C, dochází k prudkému smrštění vzorků, až k jejich destrukci. Tuto destrukci měřicí zařízení vykazuje prudkým poklesem dilatace. Také tento pokles je patrný z obr. 6-14 a 6-15.

Dále pro měření směsi č. VI až č. XI při teplotě 1000 °C.

Pro vzorky směsi č. VI (Het-bílá 50 %/50 %) při měření šokovým ohřevem na 1000 °C byla dosažena maximální dilatace 0,09 % (tj. 0,04 mm) při teplotě vzorku 650 °C v čase 20 [s]. Při další zvyšování teploty vzorků se jejich dilatace zmenšuje. Při teplotě 805 °C, která je dosažena v 70 [s] od počátku měření, dosáhla dilatace opět nulovou (výchozí) hodnotu, viz obr. 6-17. Při dalším zvyšování teploty vzorků, nad teplotu cca 805 °C, dochází k prudkému smrštění vzorků, až k jejich destrukci. Tuto destrukci měřicí zařízení vykazuje prudkým poklesem dilatace. Také tento pokles je patrný z obr. 6-16 a 6-17.

Pro vzorky směsi č. VII (Het-bílá 75 %/25 %) při měření šokovým ohřevem na 1000 °C byla dosažena maximální dilatace 0,10 % (tj. 0,046 mm) při teplotě vzorku 660 °C v čase 30 [s]. Při další zvyšování teploty vzorků se jejich dilatace zmenšuje. Při teplotě 790 °C, která je dosažena v 60 [s] od počátku měření, dosáhla dilatace opět nulovou (výchozí) hodnotu, viz obr. 6-17. Při dalším zvyšování teploty vzorků, nad teplotu cca 790 °C, dochází k prudkému smrštění vzorků, až k jejich destrukci. Tuto

destrukci měřící zařízení vykazuje prudkým poklesem dilatace. Také tento pokles je patrný z obr. 6-16 a 6-17.

Pro vzorky směsi č. VIII (Het-šedá 50 %/50 %) při měření šokovým ohřevem na 1000 °C byla dosažena maximální dilatace 0,09 % (tj. 0,04 mm) při teplotě vzorku 580 °C v čase 15 [s]. Při další zvyšování teploty vzorků se jejich dilatace zmenšuje. Při teplotě 760 °C, která je dosažena v 50 [s] od počátku měření, dosáhla dilatace opět nulovou (výchozí) hodnotu, viz obr. 6-17. Při dalším zvyšování teploty vzorků, nad teplotu cca 760 °C, dochází k prudkému smrštění vzorků, až k jejich destrukci. Tuto destrukci měřící zařízení vykazuje prudkým poklesem dilatace. Také tento pokles je patrný z obr. 6-16 a 6-17.

Pro vzorky směsi č. IX (Het-šedá 75 %/25 %) při měření šokovým ohřevem na 1000 °C byla dosažena maximální dilatace 0,10 % (tj. 0,048 mm) při teplotě vzorku 600 °C v čase 11 [s]. Při další zvyšování teploty vzorků se jejich dilatace zmenšuje. Při teplotě 770 °C, která je dosažena v 42 [s] od počátku měření, dosáhla dilatace opět nulovou (výchozí) hodnotu, viz obr. 6-17. Při dalším zvyšování teploty vzorků, nad teplotu cca 770 °C, dochází k prudkému smrštění vzorků, až k jejich destrukci. Tuto destrukci měřící zařízení vykazuje prudkým poklesem dilatace. Také tento pokles je patrný z obr. 6-16 a 6-17.

Pro vzorky směsi č. X (Kittfort-bílá 50%/50%) při měření šokovým ohřevem na 1000 °C byla dosažena maximální dilatace 0,07 % (tj. 0,04 mm) při teplotě vzorku 584 °C v čase 14 [s]. Při další zvyšování teploty vzorků se jejich dilatace zmenšuje. Při teplotě 746 °C, která je dosažena v 50 [s] od počátku měření, dosáhla dilatace opět nulovou (výchozí) hodnotu, viz obr. 6-17. Při dalším zvyšování teploty vzorků, nad teplotu cca 746 °C, dochází k prudkému smrštění vzorků, až k jejich destrukci. Tuto destrukci měřící zařízení vykazuje prudkým poklesem dilatace. Také tento pokles je patrný z obr. 6-16 a 6-17.

Pro vzorky směsi č. XI (Kittfort-bílá 75 %/25 %) při měření šokovým ohřevem na 1000 °C byla dosažena maximální dilatace 0,09 % (tj. 0,048 mm) při teplotě vzorku 630 °C v čase 14 [s]. Při další zvyšování teploty vzorků se jejich dilatace zmenšuje. Při teplotě 770 °C, která je dosažena v 42 [s] od počátku měření, dosáhla dilatace opět nulovou (výchozí) hodnotu, viz obr. 6-17. Při dalším zvyšování teploty vzorků, nad teplotu cca 770 °C, dochází k prudkému smrštění vzorků, až k jejich destrukci. Tuto

destrukci měřicí zařízení vykazuje prudkým poklesem dilatace. Také tento pokles je patrný z obr. 6-16 a 6-17.

V příloze č. 27 jsou uvedeny souhrnné grafické závislosti, které byly zkonstruovány na základě vyhodnocených výsledků dilatace směsi.

6.5 Výpočet hodnot součinitele teplotní dilatace

Součástí vyhodnocení získaných výsledků měření dilatací vybraných typů směsi bylo i zjištění hodnot jejich součinitele teplotní roztažnosti v různých teplotních intervalech. Hodnoty tohoto součinitele byly vypočítány dle vztahu:

$$\alpha = \frac{\delta}{l_0(T - T_0)}, \quad (6.1)$$

kde značí: α - součinitele teplotní roztažnosti;

δ - dilataci vzorku po ohřevu;

l_0 - počáteční délku vzorku;

T - teplotu při dané dilataci;

T_0 - předchozí teplotu intervalu.

Ukázka výpočtu součinitele teplotní dilatace je na základě zjištěných hodnot dilatace na teplotě u směsi ST 52 PAP 3 % NOVANOLU při šokovém charakteru ohřevu na teplotu 800 °C. V tabulce 6-3 jsou zaznamenány hodnoty teploty příslušného vzorku a jím odpovídající hodnoty dilatace a hodnoty součinitele teplotní roztažnosti $\alpha [K^{-1}]$.

Tabulka 6-3 Hodnoty teplot T a dilatace a k vypočítané příslušné hodnoty součinitele teplotní roztažnosti, ST 52 PAP 3 % NOVANOLU (ohřev šokem na teplotu 800 °C)

Teplota T [°C]	Hodnota dilatace δ [μm]	Absolutní hodnota dilatace δ [μm]	Hodnota dilatace [mm]	Vypočítaná hodnota součinitele teplotní dilatace $\alpha [K^{-1}]$
30,76782	-30,18094	30,18094	0,030181	$9,1 \cdot 10^{-6}$
96,32027	-54,70185	54,70185	0,054702	$9,8 \cdot 10^{-6}$
207,53350	-54,76062	54,76062	0,054761	$12,6 \cdot 10^{-6}$
293,85296	-45,68614	45,68614	0,045686	$8,5 \cdot 10^{-6}$
401,14642	-15,67355	15,67355	0,015674	$3,1 \cdot 10^{-6}$

V tulkách č.6-4 až č. 6-17 jsou dále uvedeny vypočítané hodnoty součinitele teplotní roztažnosti pro jednotlivé směsi, resp. skupiny vzorků č. I až č. XI. Součinitel teplotní roztažnosti byl vypočítán z průměrných hodnot naměřených dilatací. Výpočet byl proveden pro teplotní interval od pokojové teploty 20 °C do 100 °C a dále pro interval teplot 100 °C až 200 °C a následovně pro $\Delta T = 100$ °C, tj. ($T-T_0$) ve vztahu (6.1).

Tabulka 6-4 Vypočítané součinitele teplotní roztažnosti pro směs č. I (ST 52 PAP)

Vypočítané hodnoty součinitele teplotní roztažnosti pro směs č. I. (ST 52 PAP)		
<i>Ohřev šokem na 800 °C</i>	<i>Ohřev šokem na 1000 °C</i>	<i>Postupný ohřev na 1000 °C</i>
Hodnoty vypočítaného součinitele teplotní roztažnosti		
	$\alpha [K^{-1}]$	
$9,1 \cdot 10^{-6}$	$7,4 \cdot 10^{-6}$	$1,7 \cdot 10^{-6}$
$9,8 \cdot 10^{-6}$	$18,0 \cdot 10^{-6}$	$5,7 \cdot 10^{-6}$
$12,6 \cdot 10^{-6}$	$10,9 \cdot 10^{-6}$	$14,5 \cdot 10^{-6}$
$8,5 \cdot 10^{-6}$	$11,9 \cdot 10^{-6}$	$28,6 \cdot 10^{-6}$
$3,1 \cdot 10^{-6}$	$8,9 \cdot 10^{-6}$	$47,8 \cdot 10^{-6}$
$17,3 \cdot 10^{-6}$	$2,4 \cdot 10^{-6}$	$73,6 \cdot 10^{-6}$
$52,9 \cdot 10^{-6}$	$19,2 \cdot 10^{-6}$	$43,4 \cdot 10^{-6}$
$16,4 \cdot 10^{-6}$	$58,1 \cdot 10^{-6}$	$63,8 \cdot 10^{-6}$
-	$60,0 \cdot 10^{-6}$	$73,0 \cdot 10^{-6}$
-	$10,8 \cdot 10^{-6}$	$79,8 \cdot 10^{-6}$

Tabulka 6-5 Vypočítané součinitele teplotní roztažnosti pro směs č. II. (ST 53 PAP)

Vypočítané hodnoty součinitele teplotní roztažnosti pro směs č. II (ST 53 PAP)		
<i>Ohřev šokem na 800 °C</i>	<i>Ohřev šokem na 1000 °C</i>	<i>Postupný ohřev na 1000 °C</i>
Hodnoty vypočítaného součinitele teplotní roztažnosti		
	$\alpha [K^{-1}]$	
$10,0 \cdot 10^{-6}$	$7,4 \cdot 10^{-6}$	$1,6 \cdot 10^{-6}$
$14,9 \cdot 10^{-6}$	$13,8 \cdot 10^{-6}$	$5,2 \cdot 10^{-6}$
$8,7 \cdot 10^{-6}$	$9,3 \cdot 10^{-6}$	$14,1 \cdot 10^{-6}$
$7,1 \cdot 10^{-6}$	$9,9 \cdot 10^{-6}$	$27,7 \cdot 10^{-6}$
$0,2 \cdot 10^{-6}$	$6,5 \cdot 10^{-6}$	$46,8 \cdot 10^{-6}$
$22,2 \cdot 10^{-6}$	$1,0 \cdot 10^{-6}$	$69,8 \cdot 10^{-6}$
$60,4 \cdot 10^{-6}$	$25,4 \cdot 10^{-6}$	$50,5 \cdot 10^{-6}$
$41,0 \cdot 10^{-6}$	$67,2 \cdot 10^{-6}$	$84,8 \cdot 10^{-6}$
-	$68,0 \cdot 10^{-6}$	$112,1 \cdot 10^{-6}$
-	$1,0 \cdot 10^{-6}$	$133,3 \cdot 10^{-6}$

Tabulka 6-6 Vypočítané součinitele teplotní roztažnosti pro směs č. III. (ST 54 PAP)

Vypočítané hodnoty součinitele teplotní roztažnosti pro směs č. III. (ST 54 PAP)		
<i>Ohřev šokem na 800 °C</i>	<i>Ohřev šokem na 1000 °C</i>	<i>Postupný ohřev na 1000 °C</i>
Hodnoty vypočítaného součinitele teplotní roztažnosti		
	$\alpha [K^{-1}]$	
$8,7 \cdot 10^{-6}$	$4,3 \cdot 10^{-6}$	$1,8 \cdot 10^{-6}$
$9,1 \cdot 10^{-6}$	$4,7 \cdot 10^{-6}$	$5,3 \cdot 10^{-6}$
$7,4 \cdot 10^{-6}$	$3,0 \cdot 10^{-6}$	$14,1 \cdot 10^{-6}$
$5,4 \cdot 10^{-6}$	$1,9 \cdot 10^{-6}$	$27,6 \cdot 10^{-6}$
$3,5 \cdot 10^{-6}$	$0,5 \cdot 10^{-6}$	$46,9 \cdot 10^{-6}$
$25,6 \cdot 10^{-6}$	$5,6 \cdot 10^{-6}$	$72,1 \cdot 10^{-6}$
$63,3 \cdot 10^{-6}$	$29,8 \cdot 10^{-6}$	$49,2 \cdot 10^{-6}$
$23,4 \cdot 10^{-6}$	$62,8 \cdot 10^{-6}$	$50,4 \cdot 10^{-6}$
-	$65,7 \cdot 10^{-6}$	$71,3 \cdot 10^{-6}$
-	$17,9 \cdot 10^{-6}$	$93,9 \cdot 10^{-6}$

Tabulka 6-7 Vypočítané součinitele teplotní roztažnosti pro směs č. IV. (ST 55 PAP)

Vypočítané hodnoty součinitele teplotní roztažnosti pro směs č. IV. (ST 55 PAP)		
<i>Ohřev šokem na 800 °C</i>	<i>Ohřev šokem na 1000 °C</i>	<i>Postupný ohřev na 1000 °C</i>
Hodnoty vypočítaného součinitele teplotní roztažnosti		
	$\alpha [K^{-1}]$	
$6,1 \cdot 10^{-6}$	$0,9 \cdot 10^{-6}$	$1,7 \cdot 10^{-6}$
$8,7 \cdot 10^{-6}$	$1,6 \cdot 10^{-6}$	$5,7 \cdot 10^{-6}$
$8,0 \cdot 10^{-6}$	$2,3 \cdot 10^{-6}$	$14,4 \cdot 10^{-6}$
$6,9 \cdot 10^{-6}$	$3,4 \cdot 10^{-6}$	$28,0 \cdot 10^{-6}$
$0,2 \cdot 10^{-6}$	$5,2 \cdot 10^{-6}$	$47,4 \cdot 10^{-6}$
$20,6 \cdot 10^{-6}$	$10,4 \cdot 10^{-6}$	$74,2 \cdot 10^{-6}$
$58,2 \cdot 10^{-6}$	$30,3 \cdot 10^{-6}$	$58,2 \cdot 10^{-6}$
$55,2 \cdot 10^{-6}$	$67,0 \cdot 10^{-6}$	$12,9 \cdot 10^{-6}$
-	$71,7 \cdot 10^{-6}$	$14,1 \cdot 10^{-6}$
-	$22,9 \cdot 10^{-6}$	$28,8 \cdot 10^{-6}$

Tabulka 6-8 Vypočítané součinitele teplotní roztažnosti pro směs č. V. (ST 56 PAP)

Vypočítané hodnoty součinitele teplotní roztažnosti pro směs č. V. (ST 56 PAP)		
<i>Ohřev šokem na 800 °C</i>	<i>Ohřev šokem na 1000 °C</i>	<i>Postupný ohřev na 1000 °C</i>
Hodnoty vypočítaného součinitele teplotní roztažnosti		
	$\alpha [K^{-1}]$	
$11,2 \cdot 10^{-6}$	$0,3 \cdot 10^{-6}$	$1,5 \cdot 10^{-6}$
$6,5 \cdot 10^{-6}$	$0,3 \cdot 10^{-6}$	$5,4 \cdot 10^{-6}$
$8,9 \cdot 10^{-6}$	$1,0 \cdot 10^{-6}$	$14,8 \cdot 10^{-6}$
$7,9 \cdot 10^{-6}$	$2,9 \cdot 10^{-6}$	$28,6 \cdot 10^{-6}$
$2,3 \cdot 10^{-6}$	$4,9 \cdot 10^{-6}$	$46,2 \cdot 10^{-6}$
$14,6 \cdot 10^{-6}$	$10,0 \cdot 10^{-6}$	$72,2 \cdot 10^{-6}$
$48,6 \cdot 10^{-6}$	$36,0 \cdot 10^{-6}$	$48,6 \cdot 10^{-6}$
$43,1 \cdot 10^{-6}$	$69,0 \cdot 10^{-6}$	$12,4 \cdot 10^{-6}$
-	$70,9 \cdot 10^{-6}$	$7,7 \cdot 10^{-6}$
-	$30,4 \cdot 10^{-6}$	$27,9 \cdot 10^{-6}$

Tabulka 6-9 Vypočítané součinitele teplotní roztažnosti pro směs č. VI
(Het-bílá 50 %/50 %)

Vypočítané hodnoty součinitele teplotní roztažnosti pro směs č. VI	
<i>Ohřev šokem na 800 °C</i>	<i>Ohřev šokem na 1000 °C</i>
Hodnoty vypočítaného součinitele teplotní roztažnosti	
$\alpha [K^{-1}]$	
$5,1 \cdot 10^{-8}$	$9,7 \cdot 10^{-6}$
$1,5 \cdot 10^{-6}$	$1,1 \cdot 10^{-5}$
$2,7 \cdot 10^{-6}$	$1,9 \cdot 10^{-5}$
$4 \cdot 10^{-6}$	$1,2 \cdot 10^{-5}$
$2,2 \cdot 10^{-6}$	$1,9 \cdot 10^{-5}$

Tabulka 6-10 Vypočítané součinitele teplotní roztažnosti pro směs č. VII
(Het-bílá 75 %/25 %)

Vypočítané hodnoty součinitele teplotní roztažnosti pro směs č. VII	
<i>Ohřev šokem na 800 °C</i>	<i>Ohřev šokem na 1000 °C</i>
Hodnoty vypočítaného součinitele teplotní roztažnosti	
$\alpha [K^{-1}]$	
$9,6 \cdot 10^{-7}$	$9,2 \cdot 10^{-7}$
$1,0 \cdot 10^{-6}$	$1,1 \cdot 10^{-6}$
$2,1 \cdot 10^{-6}$	$1,8 \cdot 10^{-6}$
$2,3 \cdot 10^{-6}$	$1,2 \cdot 10^{-6}$
$1,8 \cdot 10^{-6}$	$1,8 \cdot 10^{-6}$

Tabulka 6-11 Vypočítané součinitele teplotní roztažnosti pro směs č. VIII
(Het-šedá 50 %/ 50%)

Vypočítané hodnoty součinitele teplotní roztažnosti pro směs č. VIII	
<i>Ohřev šokem na 800 °C</i>	<i>Ohřev šokem na 1000 °C</i>
Hodnoty vypočítaného součinitele teplotní roztažnosti	
$\alpha [K^{-1}]$	
$1,6 \cdot 10^{-6}$	$1,3 \cdot 10^{-6}$
$1,6 \cdot 10^{-6}$	$1,1 \cdot 10^{-6}$
$1,1 \cdot 10^{-6}$	$1,5 \cdot 10^{-6}$
$2,9 \cdot 10^{-6}$	$1,3 \cdot 10^{-6}$
$2,1 \cdot 10^{-6}$	$9,7 \cdot 10^{-7}$

Tabulka 6-12 Vypočítané součinitele teplotní roztažnosti pro směs č. IX
(Het-šedá 75 %/25 %)

Vypočítané hodnoty součinitele teplotní roztažnosti pro směs č. IX	
<i>Ohřev šokem na 800 °C</i>	<i>Ohřev šokem na 1000 °C</i>
Hodnoty vypočítaného součinitele teplotní roztažnosti $\alpha [K^{-1}]$	
$2,5 \cdot 10^{-6}$	$1,2 \cdot 10^{-6}$
$2,1 \cdot 10^{-6}$	$2,1 \cdot 10^{-6}$
$1,8 \cdot 10^{-6}$	$1,9 \cdot 10^{-6}$
$2,1 \cdot 10^{-6}$	$1,5 \cdot 10^{-6}$
$1,3 \cdot 10^{-6}$	$1,9 \cdot 10^{-6}$

Tabulka 6-13 Vypočítané součinitele teplotní roztažnosti pro směs č. X
(Kittfort 50 %/50 %)

Vypočítané hodnoty součinitele teplotní roztažnosti pro směs č. X	
<i>Ohřev šokem na 800 °C</i>	<i>Ohřev šokem na 1000 °C</i>
Hodnoty vypočítaného součinitele teplotní roztažnosti	
$\alpha [K^{-1}]$	
$1,4 \cdot 10^{-6}$	$1,1 \cdot 10^{-6}$
$7,9 \cdot 10^{-7}$	$1,2 \cdot 10^{-6}$
$2,4 \cdot 10^{-6}$	$2,1 \cdot 10^{-6}$
$3,1 \cdot 10^{-6}$	$1,5 \cdot 10^{-6}$
$1,6 \cdot 10^{-6}$	$1,4 \cdot 10^{-6}$

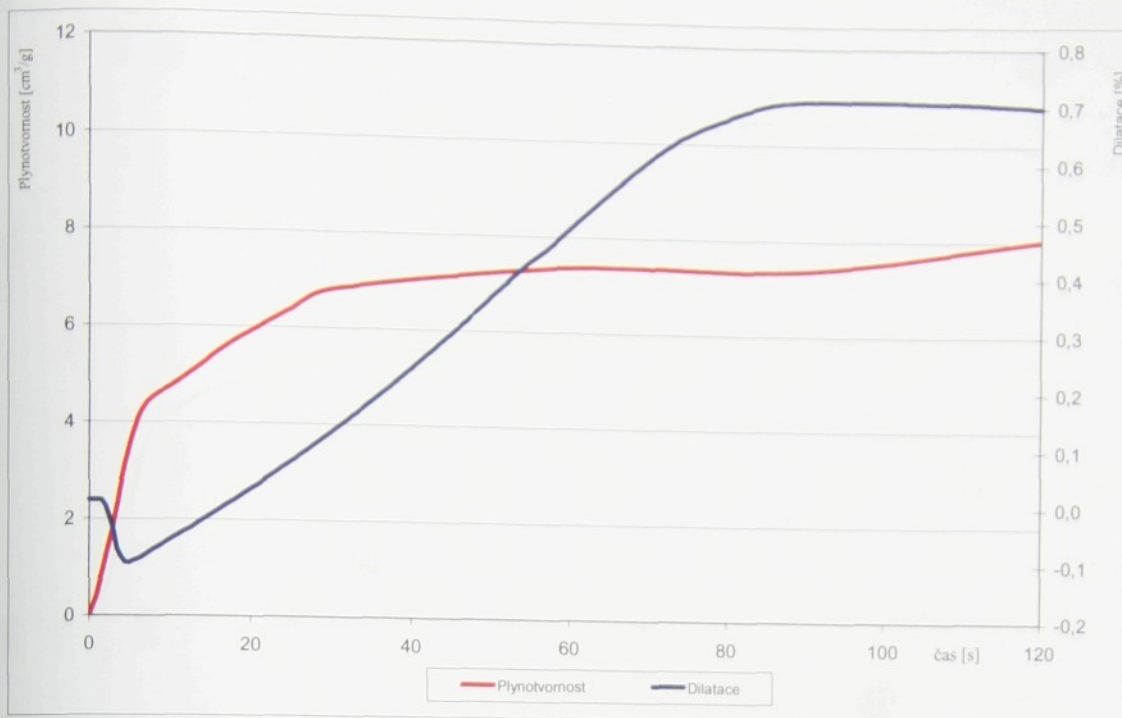
Tabulka 6-14 Vypočítané součinitele teplotní roztažnosti pro směs č. XI
(Kittfort 75 %/25 %)

Vypočítané hodnoty součinitele teplotní roztažnosti pro směs č. XI	
<i>Ohřev šokem na 800 °C</i>	<i>Ohřev šokem na 1000 °C</i>
Hodnoty vypočítaného součinitele teplotní roztažnosti	
$\alpha [K^{-1}]$	
$3,1 \cdot 10^{-6}$	$1,9 \cdot 10^{-6}$
$2,3 \cdot 10^{-6}$	$4,5 \cdot 10^{-5}$
$1,8 \cdot 10^{-6}$	$1,9 \cdot 10^{-5}$
$2,2 \cdot 10^{-6}$	$4,1 \cdot 10^{-5}$
$1,9 \cdot 10^{-6}$	$1,3 \cdot 10^{-6}$

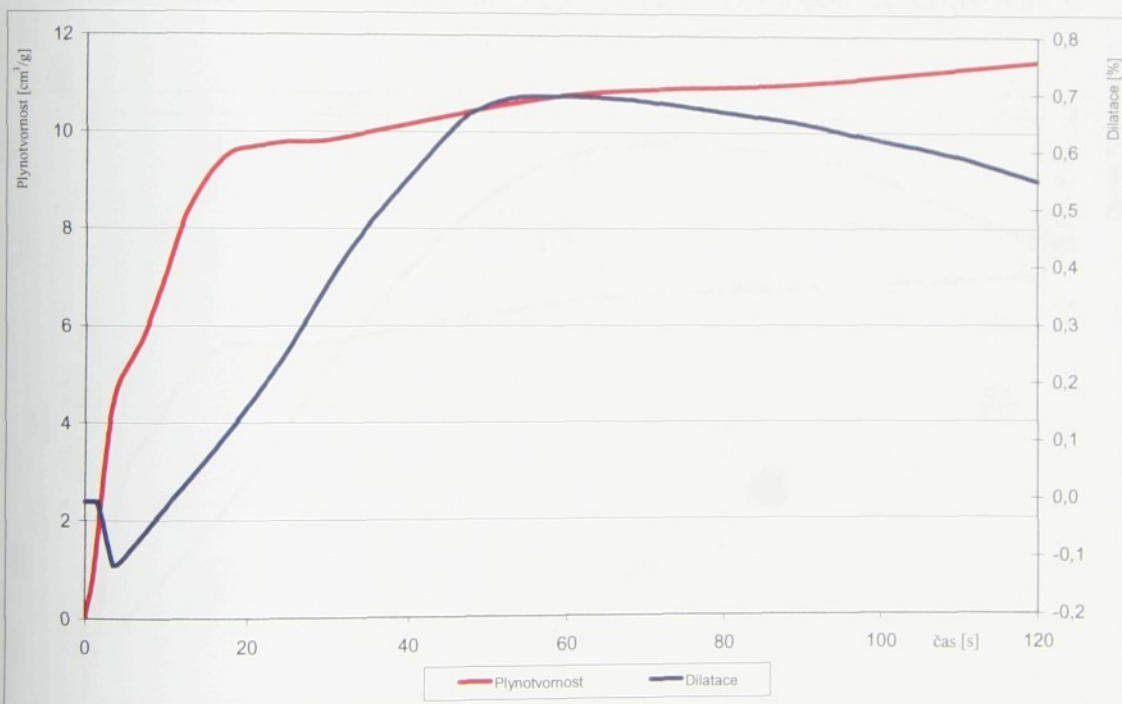
Vypočítané hodnoty součinitele teplotní roztažnosti $\alpha [K^{-1}]$ odpovídají naměřeným hodnotám dilatace. Zvyšující se velikost dilatace je závislá na teplotě ohřevu vzorku. S rostoucí velikostí teploty vzorku stoupá i velikost součinitele teplotní roztažnosti $\alpha [K^{-1}]$.

6.6 Sledování souvislostí mezi plynovorností a dilatací u vybraných slévárenských materiálů

V této kapitole jsou uvedeny grafické závislosti výsledků plynovornosti a dilatace směsí, u kterých bylo z technických důvodů možné proměřit obě tyto slévárenské vlastnosti.



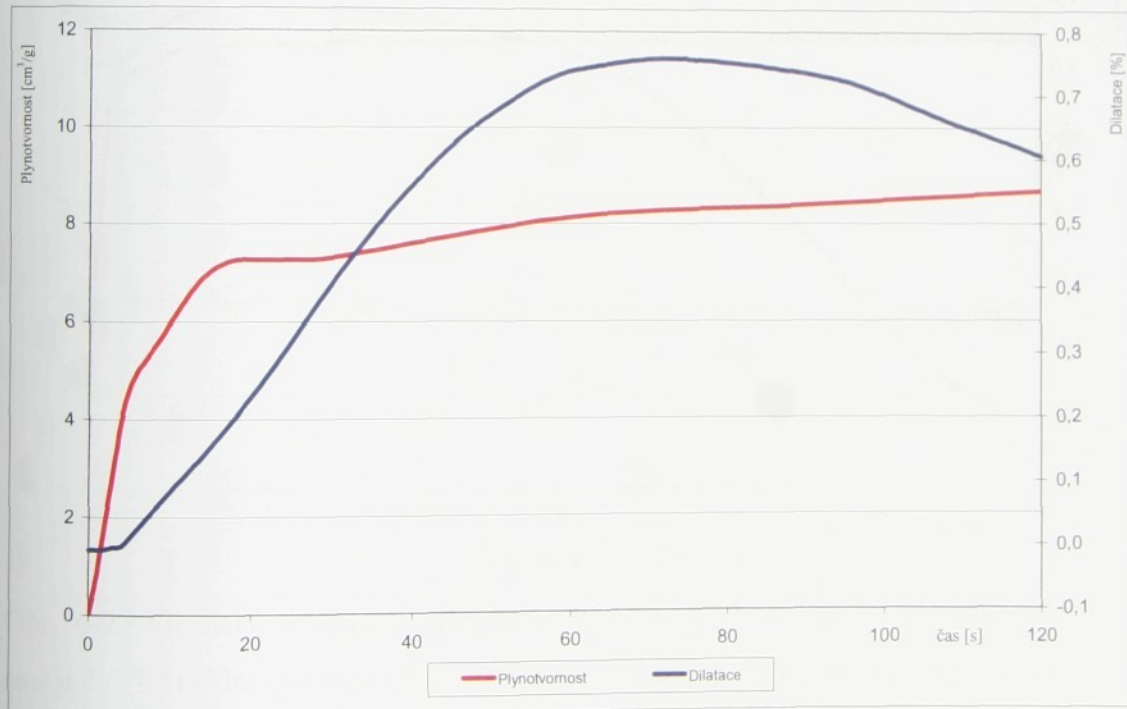
Obr. 6-18 Grafické závislosti průměrných hodnot plynovornosti a dilatace na čase směsi č. II (ST 53 PAP 3% Novanol) při ohřevu vzorků šokem na teplotě 800 °C



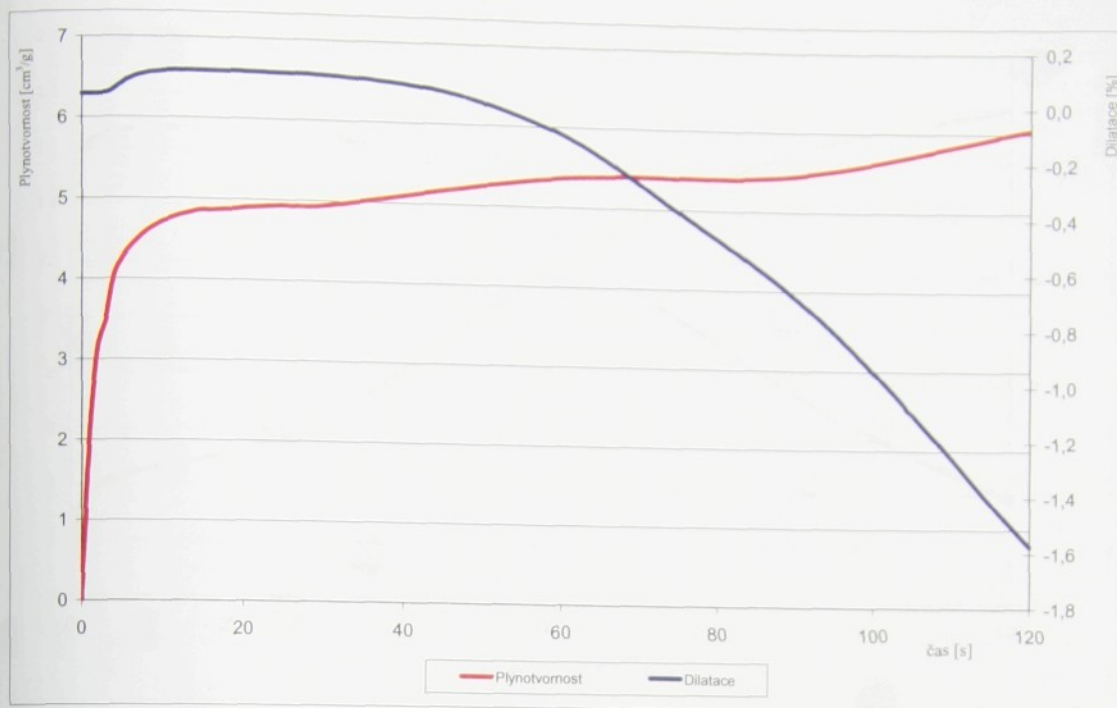
Obr. 6-19 Grafické závislosti průměrných hodnot plynovornosti a dilatace na čase směsi č. II (ST 53 PAP 3 % Novanol) při ohřevu vzorků šokem na teplotě 1000 °C



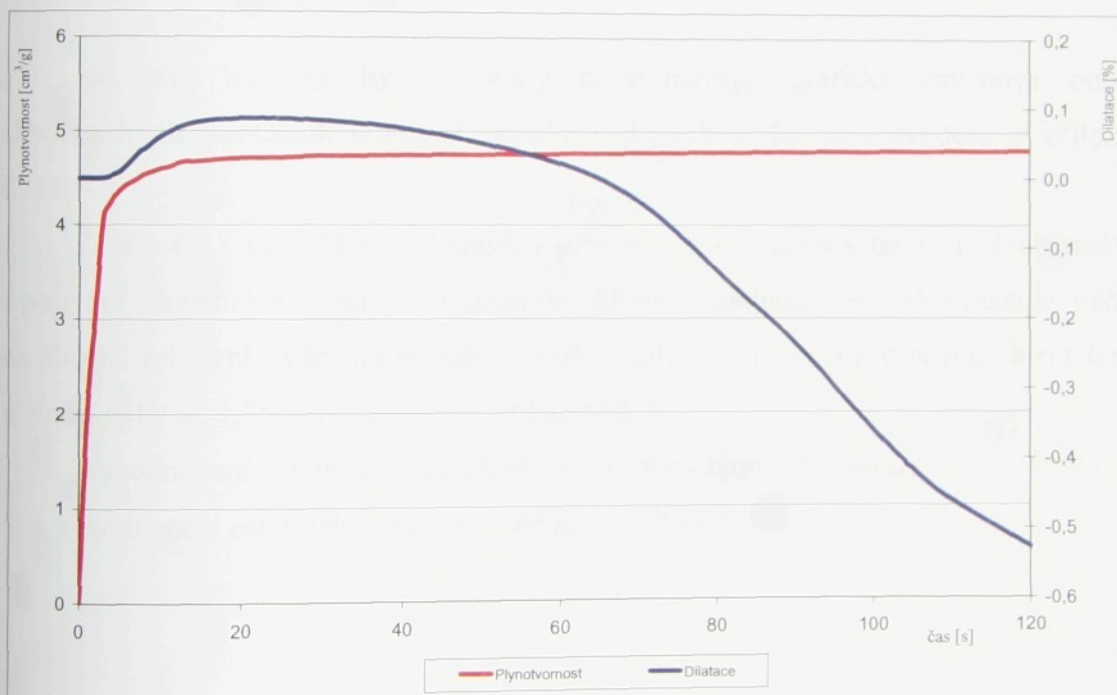
Obr. 6-20 Grafické závislosti průměrných hodnot plynovornosti a dilatace na čase směsi č. V (ST 56 PAP 3% Novanol) při ohřevu vzorků šokem na teplotě 800 °C



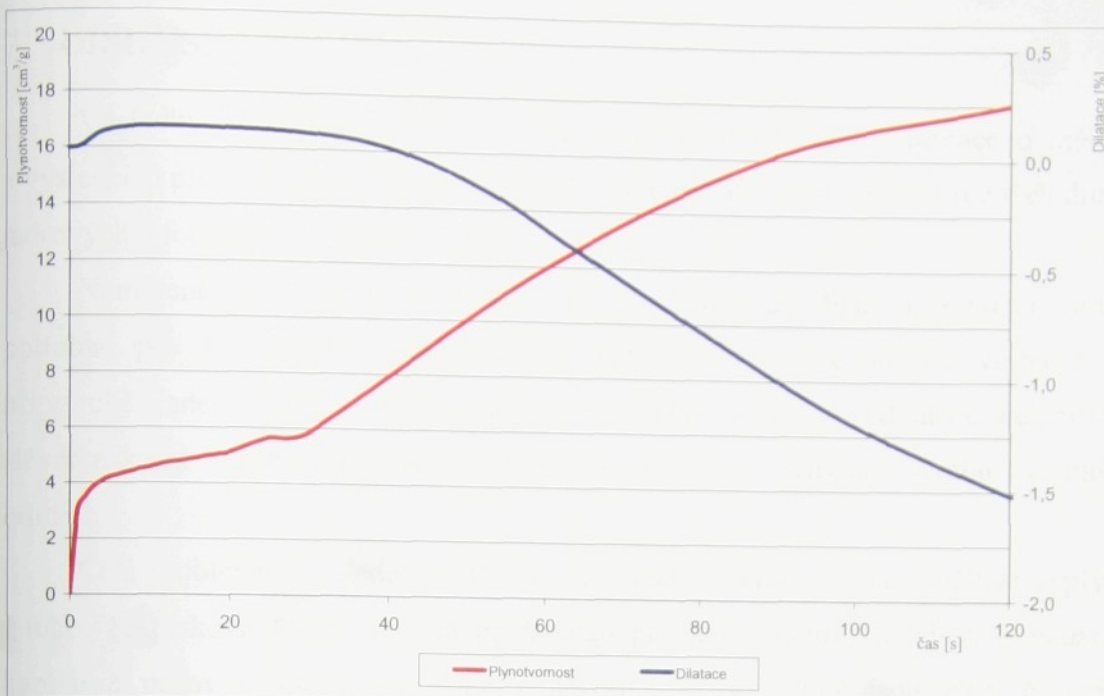
Obr. 6-21 Grafické závislosti průměrných hodnot plynovornosti a dilatace na čase směsi č. V (ST 56 PAP 3 % Novanol) při ohřevu vzorků šokem na teplotě 1000 °C



Obr. 6-22 Grafické závislosti průměrných hodnot plynovornosti a dilatace na čase směsi č. VI (sádra Het- bílá 50 %/50 %) při ohřevu vzorků šokem na teplotě 1000 °C



Obr. 6-23 Grafické závislosti průměrných hodnot plynovornosti a dilatace na čase směsi č. VIII (sádra Het- šedá 50 %/50 %) při ohřevu vzorků šokem na teplotě 800 °C



Obr. 6-24 Grafické závislosti průměrných hodnot plynovornosti a dilatace na čase směsi č. IX (sádra Het-šedá 75 %/25 %) při ohřevu vzorků šokem na teplotě 1000 °C

Do této kapitoly byly vybrány nejzajímavější grafické závislosti obou slévárenských vlastností. Grafické závislosti zbylých směsí jsou uvedeny v příloze č. 24.

Z obr. 6-18 až 6-21 a z obrázků v příloze č. 24 je zřejmý trend u všech směsí s pojivem Novanol a s ostřívy z naleziště Střeleč (střelečské písky) vykazuje vždy na 800 °C relativní výdrž na rozměru vzorku, tedy na maximální dilataci, která činí u směsí č. IV až 0,75 % při dosažené teplotě 852 °C.

Vyhodnocení ostatní grafických závislostí plynovornosti jsou uvedeny v kapitole 5 a vyhodnocení ostatních dilatcí dilatace je v kapitole 6.

7. DISKUSE VÝSLEDKŮ

Výsledky obsažené v této disertační práci přinášejí dílčí informace o měření a výsledcích plynnotvornosti a lineárních teplotních dilatacích měřených u různých druhů jádrových a formovacích směsí.

Naměřené hodnoty plynnotvornosti a teplotních dilatací přinášejí provozní jistoty, potřebné pro kvalitativní i kvantitativní rozhodování a uvědomělou volbu pojiv při výrobě jader i forem. Tím jsou plynnotvornost a teplotní dilatace důležitými slévárenskými vlastnostmi směsí a výrazným způsobem ovlivňují výrobu kvalitních odlitků.

Celá problematika sledování těchto vlastností je velmi složitá. Složitost vyplývá z toho, že pískové formy a jádra představují porézní systémy, což jsou v podstatě kapilárně pórovitá tělesa, vyrobená z několika složek, které jsou více, či méně plynnotvorné nebo vykazují větších, či menších rozměrových změn během zahřívání.

Ve slévárenské praxi formy a jádra obsahují velké množství dalších látek, které doprovázejí např. ostřivo. Tyto látky se při tepelném zatížení rozkládají, čímž přispívají k tvorbě uvolňovaných plynů. Vzniká dehydratace pojiva směsi, tepelná disociace vodní páry, tepelná disociace uvolněných plynů, suchá destilace a spalování organických látek, karbonizace uhlíkových přísad, spalování organických látek, tepelný rozklad minerálů atd.

Co se týká plynnotvornosti samotných pojiv, plynnotvornost jílových směsí není tak výrazná jako u pojiv na bázi organických látek (jako jsou např. pryskyřice). Pryskyřice jsou pojivové systémy jádrových směsí a sledování jejich plynnotvornosti je pro slévárenskou praxi významné, neboť jsou velmi často značně tepelně namáhaný tekutým kovem.

1. Pokud se týká metod sledování plynnotvornosti, je možno konstatovat, že tyto metody uvedené v této práci, jsou spíše orientační. Posuzují pouze, zdali daná formovací, resp. jádrová směs, uvolňuje více či méně plynů při stejných podmínkách.

Zatím nebyla vyvinuta taková metoda měření plynnotvornosti, která by posuzovala plynnotvornost komplexně, tj. s ohledem na tvar a velikost dutiny slévárenské formy a jádra, včetně jejího materiálu při odlévání daného odlitku. Do jisté míry se z části tomuto požadavku přibližují metody přímé (provozní), které využívají teplot roztaženého kovu.

I když metody nepřímé (laboratorní) pracují s malým vzorkem směsi, bez přítomnosti taveniny, dostávají většinou přednost před přímými metodami. To je způsobeno také díky tomu, že nároky na zařízení a přípravu vzorku jsou mnohem menší než u provozních měření. Pravděpodobně také proto, že výsledky měření plynnotvornosti (přímou metodou) nepřinášely očekávané výsledky, a proto začaly být rozvíjeny nepřímé metody. Tepelné zatížení sledovaných vzorků je vyvoláno teplem odporové pece. Těmto metodám je věnována velká pozornost a postupně se začala konstruovat nejrůznější měřicí zařízení tohoto principu.

Plynnotvorností a konstrukcí těchto zařízení se věnuje již řadu let pozornost i na našem pracovišti KSP TU v Liberci, kde bylo v poslední době zrekonstruováno měřicí zařízení plynnotvornosti, které zobrazuje nejen maximální hodnotu objemu uvolněného plynu, ale celý časový průběh plynnotvornosti.

Prováděná kalibrace měřicího zařízení dvěma způsoby (zátěžovou pumpou AMETEK a tepelným rozkladem CaCO_3) a jejich téměř shodné výsledky potvrzují plně dostačující přesnost měřicího zařízení a tím i odpovídající výsledky měření. Díky téměř shodným výsledkům kalibračních konstant z obou těchto metod je zajištěna velká přesnost měření.

Při měření plynnotvornosti na našem pracovišti jsem dodržoval tyto zásady z důvodu správného měření plynnotvornosti. Před každým měřením vzorku byla profouknuta křemenná trubička v peci (po odpojení snímače), aby tam nezůstal uvolněný plyn po předchozím měření.

Měření probíhalo v uzavřené místnosti, aby nedocházelo ke změně teploty a tlaku. Snažil jsem se zasouvat vzorek v lodičce z molybdenového plechu a utěsnit ho stále stejným způsobem, aby nedocházelo k úniku plynu, což by výrazně ovlivnilo měření plynnotvornosti. Vyšší či menší tlak od minulého měření vyvolá nepřesnost ve výpočtech. Tento tlak se při výpočtech uvolněných plynů samozřejmě odečítá.

Po vyjmutí lodičky z molybdenového plechu z pece byl vzorek odstraněn a lodička se nechala vychladnout tak, aby nedošlo po vložení nového vzorku k uvolnění plynu před samotným měřením.

2. Pokud bych se vyjádřil k výsledkům provedených výpočtů uvolněných plynů z nejvíce uplatňovaných reakci při tepelném zatížení forem, resp. formovacích

a jádrových směsí, je možno konstatovat, že u rovnic, které obsahují kyslík s uhlíkem za vzniku jeho oxidů, vzniká spálením 1 g uhlíku $1,87 \text{ [dm}^3\text{]}$ plynu.

Pokud probíhá reakce mezi uhlíkem a již jeho oxidem, množství vzniklého plynu, ze stejného množství uhlíku, je dvojnásobné. Stejné množství uvolněných plynů vzniká reakcí uhlíku s vodní párou.

Až trojnásobné množství uvolněných plynů vzniká reakcí uhlíku a vodní páry za vzniku oxidu uhličitého.

Též nezanedbatelné množství plynu vzniká rozkladem metanu, z 1 $\text{[dm}^3\text{]}$ metanu vznikne dvojnásobné množství vodíku.

Též větší množství plynů vzniká při reakcích s uhlíkem. Uhlík je také stavebním prvkem organických látek a tím i stavební jednotkou pryskyřičných pojiv.

Pokud sledujeme procentuální podíly z celkového obsahu uvolněných plynů, též je možno konstatovat, že největší podíl uvolněných plynů vzniká destilací organických látek, která činí u skořepinových forem až 90 %.

Pokud se týká mechanismu uvolňování plynů, je možno konstatovat, a to také potvrzily provedené experimenty, že největší rychlosť vývinu uvolněných plynů nastává v počátku měření a v počátku odlévání. V tomto případě je důležité, aby tlak plynu uvolněných z formy nebo jádra byl menší, než tlak působící taveniny.

3. Jak je obecně známo, Gibbsova energie je termodynamická stavová funkce, která je mírou průběhu dějů při konstantní teplotě a konstantním tlaku. Z těchto výpočtů lze také stanovit rozkladné teploty nebo teploty přeměn pro průběh reakcí, kdy význam má změna Gibbsovy energie. Tyto výpočty byly uplatněny u reakcí vývinu plynů, které vznikají v důsledku tepelného zatížení forem, resp. formovacích a jádrových směsí. Pokud se týká rozkladních teplot těchto reakcí, které jsou uvedeny v tabulce 4-2, lze tyto hodnoty dát do souvislosti s výší teploty formy při odlévání, resp. s tuhnutím odlitku z oceli na odlitky nebo z litiny. Lze předpokládat, že tato teplota činí cca $0,97x T_{lit}$ a pak proběhnou rovnice č. 3 až č. 9, viz tabulka 4-2. Spalování organických látek obsažených ve formovacích a jádrových směsí může probíhat za přítomnosti oxidovadel, kterým je nejčastěji kyslík ze vzduchu (jež je uzavřen v pórech směsi), dále vodní pára nebo oxid uhličitý. Významné jsou reakce oxidace tuhého uhlíku za vzniku CO_2 nebo CO. Dokonalé spalování uhlíku za vzniku CO_2 je možné jedině při zajištění dostatečného přístupu vzduchu do oblasti možné reakce. Závislost Gibbsovy energie

na teplotě reakce $C(s) + O_2(g) = CO_2(g)$ vykazuje přímkou, která je rovnoběžná s osou x, a na ose y vytíná hodnotu - 393 777 [J], z pohledu fyzikální chemie jde o reakci exotermickou.

4. Pokud se týká mechanismu uvolňování plynů, je možné konstatovat, že nejvyšší rychlosť vývinu uvolněných plynů nastává hned na počátku měření a tedy i na začátku odlévání. Proto je v tomto případě velice důležité, aby tlak uvolněných plynů byl menší, než tlak působící taveniny.

Sledování plynnotvornosti je poměrně složitá záležitost, jelikož např. pískové formy mají velmi pórovitou strukturu a skládají se z několika složek, přičemž každá z nich má větší či menší schopnost uvolňovat plyny.

Tyto složky zapříčinují, že při zvyšování teploty nastává vypařování volné vody a jiných kapalných látek, tepelné roztažnosti vzduchu v dutině formy, spalování organických látek a uhlíkových přísad, tepelný rozklad minerálů a uhličitanů.

Hlavní složkou, která má velký vliv na plynnotvornost jsou pojiva. Největší plynnotvornost vykazují organická pojiva (pryskyřice) a nejmenší plynnotvornost mají pojiva na bázi vodního skla. Nevýhodou pojiv na bázi vodního skla je příliš velká zbytková pevnost.

Z grafických závislostí plynnotvornosti na čase získaných měřením plynnotvornosti je patrné, že největší vývin plynů je na počátku měření, poté vývin plynů narůstá jen pozvolna a ke konci limituje k maximální hodnotě plynnotvornosti. Vzájemným porovnáním jednotlivých směsí je možné říci, která ze zkoušených směsí má největší a která nejmenší plynnotvornost. Avšak jako určitý nedostatek je, že není možno uvést přesné chemické složení a původ pojiva nebo směsi. Přesto získané výsledky plynnotvornosti lze pokládat i tak za významné.

Výsledky plynnotvornosti **I. etapy experimentů**, stanovené jak na základě měření plynnotvornosti komplexních směsí, tak jednotlivých velikostních frakcí, potvrzují nižší hodnoty u směsí s vodním sklem, které je anorganického původu. Směsi s vodním sklem by byly z tohoto pohledu pro výrobu jader příznivější, avšak k jejich menší použitelnosti přispívá velká zbytková pevnost po odlítí. Vodní sklo, používané v této práci je označováno obchodním názvem Dorsil V.

Při posuzování plynnotvornosti komplexních směsí v porovnání s jejich velikostními frakcemi u směsí č. 1 až č. 6 z I. etapy měření plynnotvornosti vyšel najevo

předpoklad, že menší frakce, které ve stejném objemu mají větší celkový povrch, vykazují větší plynnotvornost. To je způsobeno pravděpodobně tím, že ostřivo je díky většímu povrchu obaleno větším množstvím pojiva, které se hlavním dílem podílí na plynnotvornosti směsi.

U směsi č. 2 s označením 15 947, která při teplotě 1000 °C vykazovala nejvyšší hodnoty plynnotvornosti této I. etapy měření, činily hodnoty plynnotvornosti na jednotlivých měřených frakcích velké rozdíly, což potvrzuje náš předpoklad. Hodnota komplexní směsi č. 2 při 1000 °C je 14,9 [cm³.g⁻¹], na velikostní frakci 0,1 mm je to až 19,07 [cm³.g⁻¹], na velikostní frakci 0,15 mm 13,8 [cm³.g⁻¹], na velikostní frakci 0,3 mm 10,8 [cm³.g⁻¹] a na velikostní frakci 0,4 mm 9,06 [cm³.g⁻¹]. Při porovnání plynnotvornosti jednotlivých frakcí, sledovaných směsí, lze konstatovat, že komplexní směsi vykazuje též velkou plynnotvornost.. Tím je možné předpokládat, že jde o pojiva na bázi organického původu.

Též vyšší hodnoty plynnotvornosti, z I. etapy experimentů, vykazovala vytrvzená jádra - směs č. 8 Novanol, (na bázi pryskyřice), což lze z teoretického předpokladu očekávat. Hodnoty plynnotvornosti této směsi činily ve 120 [s] po zahřívání při teplotě 800 °C 6,76 [cm³.g⁻¹], při 1000 °C 11,2 [cm³. g⁻¹] a při 1200 °C 17 [cm³.g⁻¹]. Zahřátí této směsi na teplotu 1200 °C vykazuje 150 % nárůst hodnoty plynnotvornosti proti hodnotě při teplotě 800 °C.

Naopak zjištěné hodnoty plynnotvornosti, vytrvzených jader s pojivem Dorsil V, (směs. č. 11) byly nižší, činily ve 120 [s] po zahřívání při teplotě 800 °C 3,06 [cm³.g⁻¹], při 1000 °C 2,55 [cm³. g⁻¹] a při 1200 °C 2,48 [cm³.g⁻¹], avšak proti teoretickému předpokladu vykazovaly opačný trend. To lze vysvětlit pouze tím, že pravděpodobně nedošlo k rozkladu některých složek směsi, které se rozkládají za jiných podmínek. Hodnoty plynnotvornosti směsi č. 7 (vytrvzená jádra označovaná - CT Ostašov) jsou ještě nižší a vykazují v časovém okamžiku 120 [s] po zahřátí při teplotě 800 °C 2,13 [cm³.g⁻¹], při 1000 °C 2,23 [cm³.g⁻¹] a při 1200 °C 1,73 [cm³.g⁻¹]. Tato jádrová směs je z hlediska plynnotvornosti velmi příznivá a opodstatňuje nižší hodnoty plynnotvornosti anorganických pojiv.

Při porovnání všech měřených směsí č.1 až č.11, dle tabulky 5-1 z I. etapy měření, při teplotě 1000 °C bylo zjištěno, že nejvyšší hodnoty jednoznačně vykazuje sypká směs č. 2 s označením 15 947 s hodnotou 14,9 [cm³.g⁻¹]. Naopak nejmenší plynnotvornost, dle

měření, vykazovala směs č.7 - CT Ostašov (již vytvrzené jádro) s hodnotou 2,23 [cm³.g⁻¹].

V této souvislosti je nutno upozornit, že směsi č. 1 až č. 6 použité pro měření plynnotvornosti byly získány od firem Hüttenes-Albertus a Sand team. Tyto firmy si nepřejí zveřejňovat přesné složení směsí, především typ pojiva. Tím, bohužel, lze jen konstatovat, větší, či menší hodnotu plynnotvornosti dané směsi. A nelze posoudit plynnotvornost v závislosti na druhu pojiva popř. nějaké plynnotvorné složky.

Výsledky plynnotvornosti **II. etapy měření**, uvedené v příloze č. 19, potvrzují, že směsi typu ST vykazovaly rozdíly v plynnotvornosti při stejných teplotách cca o 30 %. Maximální plynnotvornost vykazuje směs č. 15 při teplotě 1200 °C, která je 17,15 [cm³.g⁻¹], minimální směs č. 16 při teplotě 800 °C, která činí 6,15 [cm³.g⁻¹]. Byly potvrzeny teoretické předpoklady, že nejvyšší hodnota plynnotvornosti by měla být při nejvyšší teplotě. Nejnižší plynnotvornost při teplotě 1000 °C vykazuje směs č. 16. U směsi č. 12 byla podle teoretických předpokladů naměřena plynnotvornost nejnižší při teplotě 800 °C, která činila 6,89 [cm³.g⁻¹] a nejvyšší při teplotě 1200 °C 15,72 [cm³.g⁻¹]. Při teplotě 1000 °C plynnotvornost vykazovala hodnotu 10,98 [cm³.g⁻¹]. U směsi č. 13 byla nejnižší plynnotvornost při teplotě 800 °C, která činila 8,04 [cm³.g⁻¹] a nejvyšší při teplotě 1200 °C 15,06 [cm³.g⁻¹]. Při teplotě 1000 °C plynnotvornost vykazovala hodnotu 11,50 [cm³.g⁻¹]. Směs č. 14 vykazovala při teplotě 800 °C též nejnižší plynnotvornost 7,041 [cm³.g⁻¹] a nejvyšší při teplotě 1200 °C 15,14 [cm³.g⁻¹]. Při teplotě 1000 °C plynnotvornost činila 10,45 [cm³.g⁻¹]. U směsi č. 15 byla při teplotě 800 °C plynnotvornost 7,34 [cm³.g⁻¹] a při teplotě 1000 °C 10,36 [cm³.g⁻¹]. Jak již bylo uvedeno, tato směs vykazovala nejvyšší hodnotu plynnotvornosti při teplotě 1200 °C. Směs č. 16, naopak tato směs vykazovala nejnižší hodnotu plynnotvornosti při teplotě 800 °C, při teplotě 1000 °C plynnotvornost činila 8,69 [cm³.g⁻¹]. A při teplotě 1200 °C 13,66 [cm³.g⁻¹].

Mezi výše uvedenými hodnotami plynnotvornosti se pohybovaly hodnoty směsi č. 17. Při teplotě 800 °C plynnotvornost činila 6,96 [cm³.g⁻¹], při teplotě 1000 °C 11,07 [cm³.g⁻¹]. A při teplotě 1200 °C [cm³.g⁻¹]. Z uvedených hodnot je zřejmé, že nejpříznivější výsledky II. etapy měření plynnotvornosti jsou u směsi č. 16 (ST 56 PAP).

Hodnoty plynnotvornosti těchto směsí jsou poměrně vyrovnané a potvrzují, že pojiva Novanol a Ecolotec jsou organického původu. Jejich výsledné hodnoty se pohybují cca 10 [$\text{cm}^3 \cdot \text{g}^{-1}$].

Výsledky plynnotvornosti **III. etapy experimentů**. Z průměrné hodnoty plynnotvornosti vzorků směsí č. 18 a č. 19 je zřejmé, že nejvyšší hodnota plynnotvornosti je u směsi č. 19, (vzorek jádrové směsi s nátěrem) ohřívané na teplotě 1200 °C, hodnoty plynnotvornosti činí 16,06 [$\text{cm}^3 \cdot \text{g}^{-1}$], nejnižší průměrnou hodnotu plynnotvornosti vykazují vzorky z této směsi ohřáté na teplotu 800 °C, která činí 4,30 [$\text{cm}^3 \cdot \text{g}^{-1}$]. Hodnota plynnotvornosti u směsi č. 18 (vzorek jádrové směsi bez nátěru) při teplotě 800 °C činila 4,64 [$\text{cm}^3 \cdot \text{g}^{-1}$], rozdíl obou hodnot je nepatrný, činí 8 %. Hodnota plynnotvornosti směsi č. 18 (vzorek bez nátěru) na teplotě 1200 °C vykazovala 10,34 [$\text{cm}^3 \cdot \text{g}^{-1}$], to je o 55 % méně proti plynnotvornosti směsi č. 19 na téže teplotě. Uvedené hodnoty plynnotvornosti při teplotě 1200 °C u vzorků jsou pro jádrovou směs dosti vysoké, avšak odpovídající pro pryskyřičná pojiva. V této souvislosti je třeba uvést, že nátěr je tvořen pryskyřicí Askuran, která je organického původu a přispívají k vyšší plynnotvornosti.

Směsi č. 20 až 29, které z technických důvodů byly ohřívány pouze při teplotě 1000 °C (použité slitiny mědi pro odleívání nezpůsobí vyšší teplotu formovací a jádrové směsi). Nejvyšší plynnotvornost při teplotě 1000 °C byla naměřena u směsi č. 23 (jádrová směs PCL I, pryskyřice) označovaná. Pc-L1, která vykazovala 28,83 [$\text{cm}^3 \cdot \text{g}^{-1}$]. Jádrová směs č. 24 (PCL II, pryskyřice) označovaná Pc-L2, také vykazovala plynnotvornost dosti vysokou, 27,60 [$\text{cm}^3 \cdot \text{g}^{-1}$] a jádrová směs č. 25 (PCL III, pryskyřice) označovaná Pc-L3 vykazovala plynnotvornost 23,47 [$\text{cm}^3 \cdot \text{g}^{-1}$]. U vzorků směsí č. 20 a č. 21 plynnotvornost nepřesahuje hodnotu 14,00 [$\text{cm}^3 \cdot \text{g}^{-1}$].

Nejvyšší plynnotvornost vykazuje vzorek č. 27 (výplňová směs) 51,37 [$\text{cm}^3 \cdot \text{g}^{-1}$], dále vzorek č. 29 (modelová směs surová), hodnota plynnotvornosti činila 46,95 [$\text{cm}^3 \cdot \text{g}^{-1}$] a nepatrne nižší hodnota byla zjištěna u směsi č. 28 (modelová směs vyčištěná).

Plynnotvornost směsi č. 30 byla opět sledovaná při všech teplotách (800 °C, 1000 °C a 1200 °C). Jedná se o směs jádrovou na bázi pryskyřice, která při teplotě 800 °C vykazovala plynnotvornost 9,51 [$\text{cm}^3 \cdot \text{g}^{-1}$], při teplotě 1000 °C 17,90 [$\text{cm}^3 \cdot \text{g}^{-1}$] a při teplotě 1200 °C 32,09 [$\text{cm}^3 \cdot \text{g}^{-1}$]. Rostoucí plynnotvornost s vyšší teplotou ohřevu je v souladu s teoretickými předpoklady.

Získané výsledky plynnotvornosti potvrzují teoretické předpoklady, že nejvyšší plynnotvornost vykazují směsi pojené organickými pojivy, mezi která se řadí především pryskyřice.

Výsledky plynnotvornosti **IV. etapy experimentů** představují plynnotvornost různých typů sáder zahřívaných na teplotu 800 °C a 1000 °C. Vzorky sáder, které byly vyhodnocovány nalézají uplatnění při výrobě sádrových forem. Pro jejich výrobu je také důležitá doba tuhnutí sádry, která souvisí s množstvím rozdělávací vody, která současně přispívá k plynnotvornosti. Tak např. při výrobě sádrových vzorků vykazovala sádra HET-šedá nejkratší dobu tuhnutí, kdy po smíchání sádry s vodou již po pář minutách začala tuhnout. Sádra HET-bílá a Kittfort vykazovaly přibližně stejnou dobu tuhnutí.

Pokud se jedná o hodnoty plynnotvornosti při teplotě 800 °C, nejvyšší plynnotvornost vykazovala sádra (Het-šedá) označená jako směs č. 33, která činila 8,49 [cm³.g⁻¹], nejnižší hodnotu vykazovala směs č. 32 (sádra Het-bílá) 5,84 [cm³.g⁻¹], plynnotvornost směsi č. 31 (sádra Kittfort) 6,81 [cm³.g⁻¹]. Analogické hodnoty plynnotvornosti těchto sáder byly zjištěny i při teplotě 1000 °C. Nejvyšší vykazovala sádra Het-šedá (označená jako směs č. 33), která činila 19,61 [cm³.g⁻¹], nejnižší hodnotu vykazovala směs č. 32 (sádra Het-bílá) 10,83 [cm³.g⁻¹], plynnotvornost směsi č. 31 (sádra Kittfort) 12,10 [cm³.g⁻¹]. Tyto hodnoty plynnotvornosti sáder jsou proti jejich hodnotám při teplotě 800 °C cca dvojnásobné.

Hodnoty plynnotvornosti kompaktních vzorků sáder (směsi č. 34, 35, 36), které byly vyrobeny smícháním 50 hmot. % příslušné sádry a 50 hmot. % vody (označení 50/50) a zahřívány na teplotu 800 °C a na 1000 °C. Při teplotě 800 °C vykazovaly následující hodnoty plynnotvornosti. Nejvyšší plynnotvornost vykazovala směs č. 36 (50 % Het-šedá a 50 % voda), která činila 4,81 [cm³.g⁻¹], nejnižší hodnotu vykazovala směs č. 34 (50 % Kittfort a 50 % voda) 3,17 [cm³.g⁻¹], plynnotvornost směsi č. 35 (50 % Het-bílá a 50 % voda) 4,56 [cm³.g⁻¹]. Podle předpokladu, při teplotě 1000 °C, tyto směsi vykazovaly vyšší hodnoty plynnotvornosti. Nejvyšší plynnotvornost byla naměřena u směsi č. 36 (50 % Het-šedá a 50 % voda), která činila 8,82 [cm³.g⁻¹], nejnižší hodnotu vykazovala směs č. 34 (50 % Kittfort a 50 % voda) 5,38 [cm³.g⁻¹], u směsi č. 35 (50 % Het-bílá a 50 % voda) plynnotvornost 6,05 [cm³.g⁻¹].

Hodnoty plynnotvornosti kompaktních vzorků sáder, (směsi č. 37, 38, 39), které byly vyrobeny smícháním 75 hmot. % příslušné sádry a 25 hmot. % vody (označení

75/25) a zahřívány na teplotu 800 °C a na 1000 °C. Při teplotě 800 °C Nejvyšší plynnotvornost byla naměřena u směsi č. 38 (75 % Het-bílá a 25 % voda), která činila 5,34 [cm³.g⁻¹], nejnižší hodnotu vykazovala směs č. 37 (75 % Kittfort a 25 % voda) 4,96 [cm³.g⁻¹], u směsi č. 39 (50 % Het-šedá a 25 % voda) plynnotvornou činila 5,24 [cm³.g⁻¹]. Při této teplotě výsledky se u jednotlivých typů vzorků liší o cca 7 %. Při teplotě 1000 °C byly i podle předpokladů zjištěny hodnoty plynnotvornosti vyšší. Nejvyšší plynnotvornost byla naměřena u směsi č. 39 (75 % Het-šedá a 25 % voda), která činila 18,06 [cm³.g⁻¹], nejnižší hodnotu vykazovala směs č. 37 (75% Kittfort a 25 % voda) 7,88 [cm³.g⁻¹], u směsi č. 38 (50% Het-bílá a 25 % voda) plynnotvornost činila 9,30 [cm³.g⁻¹]. Rozdíly hodnot jsou poměrně vysoké, činí až 129 %.

Výsledky plynnotvornosti, které byly získány u pevných masivů (směsi č. 40, 41, 42, 43 a 44), které byly vyrobeny smícháním 50 hmot. % sádry Kittfort a 50 hmot. % vody. Tyto směsi byly podrobeny zkoušce plynnotvornosti v okamžiku 4, 18 a 24 hodin po jejich výrobě. U směsi č. 43 byla po 24 hod od výroby provedeno sušení směsi při teplotě 200 °C a pak sledována plynnotvornost při teplotě 1000 °C. Podobné to bylo u směsi č. 44, která byla žíhána při teplotě 400 °C před měřením plynnotvornosti při teplotě 1000 °C. Naměřené hodnoty směsí č. 40, 41 a 42 odpovídají teoretickým předpokladům. Nejvyšší plynnotvornost vykazovala směs č. 40 (po 4 hod) která činila 4,76 [cm³.g⁻¹], nejnižší směs č. 42 (po 24 hod), plynnotvornost byla 4,26 [cm³.g⁻¹]. U směsi č. 41 (po 18 hod.) plynnotvornost činila 4,53 [cm³.g⁻¹]. Při měření plynnotvornosti směsí č. 43 a 44 byly získány hodnoty plynnotvornosti vyšší, které se pohybovaly od 8,91 do 9,12 [cm³.g⁻¹]. Tyto hodnoty jsou dvojnásobné vůči předchozím hodnotám plynnotvornosti směsí č. 40 až 42.

Z naměřených hodnot je jasné, že nejvyšší plynnotvornost, ze zde uvedených sádrových vzorků, vykazuje sádra HET-šedá, at' už se jedná o teplotu měření 800 °C nebo 1000 °C. Na druhou stranu, nejnižší hodnoty plynnotvornosti byly naměřeny u sádry Kittfort. Dále můžeme z měření poznat, že čím je vyšší koncentrace vody v sádře, tím menší plynnotvornost vzorky vykazují. Proto usuzuji, že nevhodnou sádrou pro výrobu slévárenských forem, je sádra HET-šedá pro svou příliš vysokou plynnotvornost při teplotách 800 °C a 1000 °C. Nejhodnější ze zde uvedených a proměřených sáder je sádra Kittfort.

5. Pro experimenty měření dilatace je nutné speciální zařízení - konkrétně speciálně upravený dilatometr. Tato zařízení nebývají vyráběna sériově pro velkou finanční náročnost a současně každé zařízení specifikuje konkrétní zkušební vzorek.

Navržené zařízení na měření dilatace na KSP TU v Liberci se vyznačuje jednoduchou, ale velmi účelnou konstrukcí. Lze očekávat, že měřicí zařízení bude využito pro měření dilatace více druhů jádrových, popř. formovacích směsí. Pokud se týká experimentů s postupným ohřevem vzorků, je možno konstatovat, že tyto experimenty jsou velmi časově náročné z důvodu ochlazení pece na pokojovou teplotu. Tato teplota je výchozí pro zahájení experimentů s postupným ohřevem. Nově rekonstruované zařízení se sběrnici dat pro zápis do PC lze považovat, ve srovnání s dřívější konstrukcí měřicího zařízení s mechanickým zapisovačem, za velmi pozitivní změnu z hlediska větší přesnosti grafického zpracování výsledků měření dilatace. Současné doplnění zařízení o začlenění regulátoru teploty pece rozšiřuje možnosti nastavení pro širší rozsah použití podmínek ohřevu vzorků (od nastavení měření ohřevu vzorku tepelným šokem, postupným ohřevem, popř. kombinací obou těchto variant). U měření, kde je uplatňován postupný ohřev vzorku, až do nastavené maximální teploty v peci, je možné nastavit i hodnotu přírůstku teploty za určitý časový interval, nejčastěji za minutu.

6. Výsledky získané měřením dilatací formovacích a jádrových směsí při jejich tepelném namáhání (ohřevu), přinesly dílčí informace o dilatačních vlastnostech vzorků měřených směsích.

Z pohledu použitých surovin pro výrobu slévárenských směsí je dilatace především závislá na charakteru a zrnitosti použitého ostřiva. Menší hodnotu dilatace lze očekávat u směsí s větším rozptylem velikosti středního zrna ostřiva (d_{50}). Též lze předpokládat menší hodnoty dilatace u směsí s ostrohrannějším ostřivem. Naopak směsi s kulatým tvarem ostřiva by měly vykazovat větší hodnotu dilatace. Kulaté ostřivo je právě typické pro jádrové směsi, kde se využívá poznatku, že koule je geometrický útvar, který má při maximálním objemu minimální povrch. To je příznivé pro potřebu menšího množství pojiva, kterým bývají plynnotvornější pryskyřice (např. oproti vodnímu sklu). V této souvislosti je také třeba upozornit, že ostřivo křemenného charakteru, vykazuje během ohřevu modifikační přeměny, které jsou spojeny i s rozměrovými změnami.

Podle dosažených výsledků hodnot dilatací je zřejmé, že na časový průběh dilatace má velký vliv i charakter ohřevu. Postupný ohřev vzorku způsobuje pozvolný náběh dilatace s probíhajícím časem, naopak ohřev vzorku tepelným šokem vykazuje strmější náběh dilatace. V tomto případě není vzorek prohřátý rovnoměrně a více dilatují povrchové části vzorku, které jsou prohřáty na vyšší teplotu, než jeho vnitřní partie. Jakmile dojde k prohřátí vzorku v celém objemu, hodnota dilatace má podobný průběh jako dilatace vzorku při postupném ohřevu. Vzhledem k tomu, že reálné odlévání se podobá svým charakterem spíše měření při šokovém ohřevu vzorku, protože je nutné taveninu odlévaného kovu nalít do dutiny formy co nejrychleji, bez dlouhých časových prodlev, většina experimentů v této práci je proto měřena právě při šokovém ohřevu vzorku.

Z grafických závislostí je patrné, že při ohřevu na teplotu vzorku 1000 °C se hodnota dilatace u směsi č. I až č. V stávala konstantní, oproti grafickým závislostem směsi č. VI až č. XI (sádrové směsi), kdy naopak dochází k degradaci vzorku až k jeho úplnému rozpadu.

Z průběhů dilatací je zřejmé, že největší smrštění vykazuje skupina vzorků č. I (směs ostřiva ST 52 PAP a 3 % pojiva Novanol) a to mezi teplotami 50 °C až 500 °C, naopak nejmenší smrštění vykazují skupiny vzorků č. V (směs ostřiva ST 56 PAP a pojivo 3 % Novanol) ve stejném teplotním rozmezí. Dále je patrná změna průběhu grafické závislosti, začíná postupný nárůst dilatace a to důsledkem změny β křemene v α křemen. Tato přeměna by měla probíhat při teplotě 573 °C, což přibližně odpovídá naměřeným průběhům. Největší dilatace byla dosažena u skupiny vzorků III (směs ostřiva ST 54 PAP a 3 % pojiva Novanol) a to v rozmezí teplot 700 °C až 750 °C. Naopak nejmenší dilatace byla naměřena u skupiny vzorků č. V (směs ostřivo ST 56 PAP a pojivo 3 % Novanol) ve stejném rozmezí teplot.

Největší smrštění je u skupiny vzorků I (směs ostřivo ST 52 PAP a pojivo 3 % Novanol), naopak nejmenší smrštění vykazovala skupina vzorků č. III (směs ostřivo ST 54 PAP a pojivo 3 % Novanol). Smrštění probíhalo v intervalu teplot 50 °C až 600 °C. U skupiny vzorků č. IV a č. V nebylo žádné smrštění patrné. Z naměřených průběhů (viz obr. 6-8) je zřejmé, že přeměna β křemene v α křemen je posunuta do oblasti vyšších teplot a to asi o 50 °C. Největší dilatace byla naměřena u skupiny vzorků č. V (směs ostřivo ST 56 PAP a pojivo 3 % Novanol), a nejmenší dilataci vykazovala skupina vzorků č. I (směs ostřivo ST 52 PAP a pojivo 3 % Novanol). Z průběhů je dále

patrné neshodné ukončení dilatace. Dilatace každého vzorku se zastavila na různé velikosti konstantního průběhu, lze předpokládat, že to mohlo být způsobeno v důsledku zborcení vzorku.

U postupného ohřevu nedocházelo k žádnému smrštění. To mohlo být příčinou rovnoměrného ohřevu vzorku. Je zde patrná změna křemene β v křemen α . Křivky všech skupin vzorků (č. I až č. V) mají velmi podobný průběh časové závislosti dilatace. Ustálení dilatace na konstantní teplotu je u každé směsi rozdílné. Toto by mohlo být důsledkem zborcení vzorku.

Pro vzorky směsi č. VI (Het-bílá 50 %/50 %) při měření šokovým ohřevem na 800 °C byla dosažena maximální dilatace 0,10 % (tj. 0,05 mm) při teplotě vzorku 495 °C v čase 30 [s]. Při další zvyšování teploty vzorků se jejich dilatace zmenšuje. Při teplotě 608 °C, která je dosažena v 70 [s] od počátku měření, dosáhla hodnota dilatace opět nulovou (výchozí) hodnotu. Při dalším zvyšování teploty vzorků, nad teplotu cca 608 °C, dochází k prudkému smrštění vzorků, až k jejich destrukci. Tuto destrukci měřicí zařízení vykazuje prudkým poklesem dilatace.

Pro vzorky směsi č. VII (Het-bílá 75 %/25 %) při měření šokovým ohřevem na 800 °C byla dosažena maximální hodnota dilatace 0,06 % (tj. 0,04 mm) při teplotě vzorku 550 °C v čase 26 [s]. Při další zvyšování teploty vzorků se jejich hodnota dilatace zmenšuje. Při teplotě 633 °C, která je dosažena v 53 [s] od počátku měření, dosáhla dilatace opět nulovou (výchozí) hodnotu. Při dalším zvyšování teploty vzorků, nad teplotu cca 633 °C, dochází k prudkému smrštění vzorků, až k jejich destrukci.

Pro vzorky směsi č. VIII (Het-šedá 50 %/50 %) při měření šokovým ohřevem na 800 °C byla dosažena maximální hodnota dilatace 0,09 % (tj. 0,05 mm) při teplotě vzorku 460 °C v čase 22 [s]. Při další zvyšování teploty vzorků se jejich dilatace zmenšuje. Při teplotě 600 °C, která je dosažena v 65 [s] od počátku měření, dosáhla dilatace opět nulovou (výchozí) hodnotu. Při dalším zvyšování teploty vzorků, nad teplotu cca 600 °C, dochází k prudkému smrštění vzorků, až k jejich destrukci. Tuto destrukci měřicí zařízení vykazuje prudkým poklesem dilatace.

Pro vzorky směsi č. IX (Het-šedá 75 %/25 %) při měření šokovým ohřevem na 800 °C byla dosažena maximální dilatace 0,10 % (tj. 0,05 mm) při teplotě vzorku 540 °C v čase 30 [s]. Při další zvyšování teploty vzorků se jejich dilatace zmenšuje. Při teplotě 620 °C, která je dosažena v 50 [s] od počátku měření, dosáhla dilatace opět nulovou (výchozí). Při dalším zvyšování teploty vzorků, nad teplotu cca 620 °C,

dochází k prudkému smrštění vzorků, až k jejich destrukci. Pro vzorky směsi č. X (Kittfort-bílá 50 %/50 %) při měření šokovým ohřevem na 800 °C byla dosažena maximální dilatace 0,08 % (tj. 0,045 mm) při teplotě vzorku 460 °C v čase 26 [s]. Při další zvyšování teploty vzorků se jejich hodnota dilatace zmenšuje. Při teplotě 580 °C, která je dosažena v 65 [s] od počátku měření, dosáhla hodnota dilatace opět nulovou (výchozí) hodnotu. Při dalším zvyšování teploty vzorků, nad teplotu cca 580 °C, dochází k prudkému smrštění vzorků, až k jejich destrukci. Pro vzorky směsi č. XI (Kittfort-bílá 75 %/25 %) při měření šokovým ohřevem na 800 °C byla dosažena maximální hodnota dilatace 0,10 % (tj. 0,05 mm) při teplotě vzorku 495 °C v čase 28 [s]. Při další zvyšování teploty vzorků se jejich hodnota dilatace zmenšuje. Při teplotě 612 °C, která je dosažena v 60 [s] od počátku měření, dosáhla hodnota dilatace opět nulovou (výchozí) hodnotu. Při dalším zvyšování teploty vzorků, nad teplotu cca 612 °C, dochází k prudkému smrštění vzorků, až k jejich destrukci.

Dále pro měření směsí č. VI až č. XI při teplotě 1000 °C.

Pro vzorky směsi č. VI (Het-bílá 50 %/50 %) při měření šokovým ohřevem na 1000 °C byla dosažena maximální hodnota dilatace 0,09 % (tj. 0,04 mm) při teplotě vzorku 650 °C v čase 20 [s]. Při další zvyšování teploty vzorků se jejich dilatace zmenšuje. Při teplotě 805 °C, která je dosažena v 70 [s] od počátku měření, dosáhla dilatace opět nulovou (výchozí) hodnotu. Při dalším zvyšování teploty vzorků, nad teplotu cca 805 °C. Pro vzorky směsi č. VII (Het-bílá 75 %/25 %) při měření šokovým ohřevem na 1000 °C byla dosažena maximální dilatace 0,10 % (tj. 0,046 mm) při teplotě vzorku 660 °C v čase 30 [s]. Při teplotě 790 °C, která je dosažena v 60 [s] od počátku měření, dosáhla hodnota dilatace opět nulovou (výchozí) hodnotu.

Pro vzorky směsi č. VIII (Het-šedá 50 %/50 %) při měření šokovým ohřevem na 1000 °C byla dosažena maximální dilatace 0,09 % (tj. 0,04 mm) při teplotě vzorku 580 °C v čase 15 [s]. Při teplotě 760 °C, která je dosažena v 50 [s] od počátku měření, dosáhla dilatace opět nulovou (výchozí) hodnotu. Pro vzorky směsi č. IX (Het-šedá 75 %/25 %) při měření šokovým ohřevem na 1000 °C byla dosažena maximální hodnota dilatace 0,10 % (tj. 0,048 mm) při teplotě vzorku 600 °C v čase 11 [s]. Pro vzorky směsi č. X (Kittfort-bílá 50 %/50 %) při měření šokovým ohřevem na 1000 °C byla dosažena maximální hodnota dilatace 0,07 % (tj. 0,04 mm) při teplotě vzorku 584 °C v čase 14 [s]. Při další zvyšování teploty vzorků se jejich dilatace zmenšuje. Při teplotě 746 °C, která je dosažena v 50 [s] od počátku měření, dosáhla

dilatace opět nulovou (výchozí) hodnotu. Pro vzorky směsi č. XI (Kittfort-bilá 75%/25%) při měření šokovým ohřevem na 1000 °C byla dosažena maximální hodnota dilatace 0,09 % (tj. 0,048 mm) při teplotě vzorku 630 °C v čase 14 [s]. Při teplotě 770 °C, která je dosažena v 42 [s] od počátku měření, dosáhla dilatace opět nulovou (výchozí) hodnotu.

Z uvedených výsledků je zřejmé, že k vyšší hodnotě dilatace jednoznačně přispívá křemenné ostřivo. To také potvrzuje naměřené hodnoty u směsi č. I až č. V, obsahující různé typy křemenného ostřiva Střeleč. Maximální hodnoty dilatace jsou téměř shodné při teplotách 800 °C a 1000 °C a pohybují se cca 0,7 % původní délky měřeného vzorku. Maximální hodnota dilatace u směsi č. VI až č. XI je opět na obou teplotách pro každý vzorek téměř shodná. Průměrně se hodnoty dilatace u směsi č. VI až č. XI pohybují kolem 0,1 % původní délky měřeného vzorku a méně.

7. Hodnoty součinitele teplotní roztažnosti byly vypočítány informativně, neboť byly využity grafické závislosti dilatací na teplotě. Při porovnání vypočítaných hodnot teplotní roztažnosti slévárenských směsí č. I až č. V (obsahující různé typy křemenného ostřiva Střeleč) s tabulkovými, pokud byly vůbec nalezeny, lze konstatovat, že vypočítané hodnoty se nejvíce bliží k hodnotám kolem teplot 100 °C. Hodnoty součinitele teplotní roztažnosti při vyšších teplotách prakticky fyzikální tabulky téměř neuvádí, to se týká také hodnot teplotní roztažnosti křemene při vyšších teplotách. Více se tabulkovým hodnotám bliží vypočítané hodnoty součinitele teplotní roztažnosti zjištěné na základě ohřevu tepelným šokem, než postupným ohřevem. Vypočítané hodnoty součinitele teplotní roztažnosti (směsi č. I až č. V) dosahovaly hodnot od $0,3 \cdot 10^{-6} [\text{K}^{-1}]$ (pro rozsah teplot do 100 °C) do $133,3 \cdot 10^{-6} [\text{K}^{-1}]$ (pro rozsah teplot do 1000 °C). Tak např. tabulkové hodnoty čistého křemene pro teplotu do 100 °C činí $8 \cdot 10^{-6} [\text{K}^{-1}]$. U vzorků č. I a č. II. byla pro teplotu do 100 °C vypočítána shodná hodnota součinitele teplotní roztažnosti $7,4 \cdot 10^{-6} [\text{K}^{-1}]$.

Z porovnání hodnot vypočítaného součinitele teplotní roztažnosti u směsi č. VI až č. XI (sádrové směsi), je zřejmé, že tyto hodnoty jsou výrazně nižší, pohybují se od $1,1 \cdot 10^{-6} [\text{K}^{-1}]$, do $45,0 \cdot 10^{-6} [\text{K}^{-1}]$ pro teploty do 200 °C. Hodnota součinitele teplotní roztažnosti sádry publikovaná TESÁRKEM a ČERNÝM [86] je $(7,22 \pm 15\%) \cdot 10^{-6} [\text{K}^{-1}]$. Tato hodnota je srovnatelná s vypočítanou hodnotou součinitele

teplotní roztažnosti pro sádro Het-bílá (50 %/50 %) pro teploty do 100 °C, která činí $9,7 \cdot 10^{-6} [\text{K}^{-1}]$.

Pokud se týká hodnocení souvislosti mezi plynnotvorností a dilatací vybraných směsí, je možno konstatovat, že momentu začátku vývinu plynů (počátku plynnotvornosti) odpovídá i počátek rozměrových změn směsi. Další závislosti již souvisí s typem měřeného vzorku a s podmínkami experimentu.

8. ZÁVĚR

Tato disertační práce byla zpracována na téma: „*Sledování vlastností formovacích a jádrových směsí během jejich tepelného namáhání*“ a přispívá ke komplexnějšímu pohledu na tepelnou zátěž formovacích a jádrových směsí pro výrobu odlitků, především pro české slévárenství.

Práce je rozdělena do 8 kapitol, jež jsou součástí tří hlavních částí - rešeršní, výpočtové a experimentální. Všechny kapitoly této doktorské práce přispívají k ucelené charakteristice vlivu tepla na vlastnosti pískové slévárenské formy, kde pro výrobu kvalitních odlitků je důležitým fenoménem plynnotvornost a teplotní roztažnost.

Rešeršní část práce je zaměřena na rozbor složení slévárenských směsí, s detailnějším zaměřením na složky, které mají největší vliv na tvorbu plynů, popř. na změnu rozměrů během tepelného zatěžování. Dále jsou popsány mechanismy vzniku a vývinu plynů a par v pískových formách s popisem vzniku kondenzační zóny. Současně v této části práce jsou popsány metody sledování plynnotvornosti a dilatace.

Výpočtová část práce je věnována teoretickým výpočtům uvolněných plynů a výpočtům změn Gibbsovy energie. Na základě získaných hodnot lze konstatovat:

a) u chemických rovnic, které obsahují kyslík s uhlíkem za vzniku jeho oxidů, vzniká spálením 1 g uhlíku $1,87 \text{ [dm}^3\text{]}$ plynu. Pokud probíhá reakce mezi uhlíkem a již jeho oxidem, množství vzniklého plynu, ze stejněho množství uhlíku, je dvojnásobné. Stejně množství uvolněných plynů vzniká reakcí uhlíku s vodní párou.

b) až trojnásobné množství uvolněných plynů, které vzniká u reakcí uhlíku a vodní páry za vzniku oxidu uhličitého. Dále bylo zjištěno výpočtem, že z $1 \text{ [dm}^3\text{]}$ metanu vznikne dvojnásobné množství vodíku.

Pokud se týká mechanismu uvolňování plynů, je možno konstatovat, a to také potvrdily provedené experimenty, největší rychlosť vývinu uvolněných plynů nastává v počátku měření, resp. v počátku odlévání. V tomto případě je důležité, aby tlak plynů uvolněných z formy nebo jádra byl menší, než tlak působící taveniny.

Ze závěrů výpočtů změn Gibbsových energií (Gibbsova energie je termodynamická stavová funkce, která je mírou průběhu dějů při konstantní teplotě a konstantním tlaku) lze konstatovat.

Z vypočítané mezní teploty průběhů reakcí, které jsou uvedeny v tabulce 4-2, je možno posoudit, zda daná reakce v konkrétních podmírkách proběhne, a tedy zda bude mít svůj přínos do celkového objemu uvolněných plynů. Na základě výpočtů této práce

je zřejmé, že nejvíce k plynnotvornosti přispívají reakce uhlíku s kyslíkem, popř. uhlíku s oxidy nebo uhlíku s vodou. Voda, např. u směsi první generace pojivových systémů, je důležitou složkou směsi a tvoří plastifikátor, který přispívá k její formovatelnosti. Spalování organických látek obsažených ve formovacích a jádrových směsí může probíhat za přítomnosti oxidovadel, kterým je nejčastěji kyslík ze vzduchu (jež je uzavřen v pórech směsi), dále vodní pára nebo oxid uhličitý. Významné jsou reakce oxidace tuhého uhlíku za vzniku CO_2 nebo CO. Dokonalé spalování uhlíku za vzniku CO_2 je možné jedině při zajištění dostatečného přístupu vzduchu do oblasti možné reakce. Závislost Gibbsovy energie na teplotě reakce $\text{C}(\text{s}) + \text{O}_2(\text{g}) = \text{CO}_2(\text{g})$ vykazuje přímku, která je rovnoběžná s osou x a na ose y vytíná hodnotu - 393 777 [J], z pohledu fyzikální chemie jde o reakci exotermickou.

Experimentální část práce se zabývá sledováním plynnotvornosti a dilatací konkrétních slévárenských směsí. Experimentální část sledování plynnotvornosti je rozdělena do IV. etap sérií měření, dle typu směsí. Současně jsou v této části zhodnoceny u stejných směsí i výsledky posouzení plynnotvornosti a dilatace způsobem, že jsou hledány závislosti obou těchto slévárenských vlastností.

Poznatky a výsledky z řešení této disertační práce lze shrnout do těchto dílčích závěrů:

1) Navržené, odzkoušené a použité zařízení pro měření plynnotvornosti splňuje svou funkci, dobře registruje a zobrazuje časové průběhy plynnotvornosti a pracuje s přesností $\pm 0,002$ [V]. Toto zařízení dále umožňuje analýzu naměřených dat pomocí vypracovaného programu a navrženého postupu. Na základě zkušeností z provedených měření vyplývá, že maximální hodnota plynnotvornosti je dosažena v časovém okamžiku 120 [s] zahřívání vzorku směsi, dále již zůstává téměř konstantní. Proto je možno provádět měření plynnotvornosti po dobu 120 [s].

Navržená metodika měření plynnotvornosti směsí je vhodná, lze ji tedy použít pro měření s následujícím postupem. Lodička z molybdenového plechu s navážkou měřené směsi o hmotnosti $1,00 \pm 0,001$ g je vložena do zahřívací komory zařízení. Po vložení se vstupní otvor utěsní pryžovým kónickým uzávěrem. Dále se na regulátoru ohřevu pece nastaví potřebná maximální teplota ohřevu vzorku a současně se k regulátoru ohřevu pece připojí výstup teplotního čidla v peci. Prostřednictvím programu počítače se pro zpracování výsledků v programu Microsoft Excel[®] nastaví tlak v měřicí

soustavě na nulovou hodnotu. Po určité době, v důsledku uvolňování plynů ze zahřívaného vzorku, se v měřicí soustavě postupně vytvářejí různě hodnoty změny tlaku, které jsou registrovány a snímány tlakovým čidlem pro určitý časový okamžik.

2) Pokud se týká mechanismu uvolňování plynů, z měření vyplývá, že nejvyšší rychlosť vývinu uvolněných plynů nastává hned na počátku měření, tj. na začátku odlévání. Proto je v tomto případě velice důležité, aby tlak uvolněných plynů byl menší, než tlak působící taveniny.

Hlavní složkou slévárenských směsí, která má velký vliv na plynnotvornost jsou pojiva. Největší plynnotvornost vykazují organická pojiva (pryskyřice) a nejmenší plynnotvornost mají pojiva na bázi vodního skla. Nevýhodou pojiv na bázi vodního skla je příliš velká zbytková pevnost, i když výrobci těchto směsí hledají řešení k její eliminaci.

3) Při posuzování plynnotvornosti komplexních směsí v porovnání s jejich velikostními frakcemi (u směsí č. 1 až č. 6 z I. etapy měření plynnotvornosti) vyšel najevo předpoklad, že menší frakce, které ve stejném objemu mají větší celkový povrch, vykazují větší plynnotvornost. To je způsobeno tím, že ostrivo je díky většímu povrchu obaleno i větším množstvím pojiva, které se podílí na plynnotvornosti směsi.

Nejvyšší hodnoty plynnotvornosti I. etapy měření vykazovala obalovaná směs na bázi pryskyřice (směs č. 2, s označením 15 947, dodavatel Hüttenes-Albertus), jejíž plynnotvornost při teplotě 1000 °C činila 14,9 [cm³.g⁻¹]. Plynnotvornost této směsi na velikostní frakci 0,1 mm je 19,07 [cm³.g⁻¹], na velikostní frakci 0,15 mm 13,8 [cm³.g⁻¹], na velikostní frakci 0,3 mm 10,8 [cm³.g⁻¹] a na velikostní frakci 0,4 mm 9,06 [cm³.g⁻¹]. Naopak nejnižší hodnotu plynnotvornosti, I. etapy měření, vykazovala směs (č. 7, zdroj slévárna Ostašov-Liberec) 2,23 [cm³.g⁻¹] na teplotě 1000 °C.

Nejvyšší hodnoty plynnotvornosti II. etapy měření vykazovala na teplotě 1000 °C směs č. 13 ST 53 PAP, na bázi Novanolu 165, s hodnotou 11,5 [cm³.g⁻¹] používaná na KSP - TU v Liberci. Nejnižší hodnoty plynnotvornosti II. etapy měření vykazovala na teplotě 1000 °C směs č. 16 ST 56 PAP s hodnotou 8,69 [cm³.g⁻¹], též KSP - TU v Liberci.

Nejvyšší hodnoty plynnotvornosti III. etapy měření vykazovala na teplotě 1000 °C směs č. 27 (černá výplňová směs) s hodnotou 51,37 [cm³.g⁻¹] a nejnižší hodnotu plynnotvornosti vykazovala na teplotě 1000 °C směs č. 18 (s označením KR-1 na bázi 1,1 % pryskyřice Askuran) s hodnotou plynnotvornosti 5,36 [cm³.g⁻¹].

Nejvyšší hodnoty plynnotvornosti IV. etapy měření vykazovala na teplotě 1000 °C směs č. 33 (prášková forma sádry Het-šedá), s hodnotou plynnotvornosti 19,6 [cm³.g⁻¹] a nejnižší hodnotu plynnotvornosti vykazovala při 1000 °C směs č. 42 (monoblok sádry Kittfort, 50 %/50 % po 24 hodinách od přípravy) s hodnotou plynnotvornosti 4,26 [cm³.g⁻¹].

4) Navržené, odzkoušené a použité zařízení pro měření dilatace splňuje svou funkci, dobře registruje a zobrazuje časové průběhy dilatací a pracuje s přesností 0,001 [mm]. Toto zařízení dále umožňuje analýzu naměřených dat pomocí vypracovaného programu a navrženého postupu. Vzorky musí být v kompaktní podobě, oproti měření plynnotvornosti, kde to není podmínkou. Měření dilatace směsí je nutné provádět s tímto postupem. Doporučuje se použít vzorek o Ø 8 mm a délce cca 50 mm. Vzorek se vloží do křemenné trubice dilatometru a je nastavena výchozí poloha snímače dilatace prostřednictvím stavěcího šroubu (vnitřní křemenná tyčinka se musí dotýkat vzorku). Po vložení křemenné trubice se vzorkem do peci následuje přímý ohřev zkušebního vzorku, tj. ohřev z teploty pokojové cca 20 °C na požadovanou teplotu do 1000 °C. Současně s vložením vzorku do peci je spuštěn program pro zaznamenávání sledovaných a registrovaných hodnot počítačem, a to hodnota dilatace v závislosti na čase, teplota na povrchu ohřívaného vzorku a teplota okolí vzorku. Po dosažení této teploty je program vypnut a následně i pec. Následuje chladnutí a později i vyjmutí vzorku z peci.

5) Pokud se týká mechanismu průběhu dilatace, z měření vyplývá, že se dilatace začne projevovat hned na počátku měření, a tedy v praxi na začátku odlévání. Proto je v tomto případě velice důležité, aby rozměry formy byly správně nastaveny dle požadavků rozměrů budoucího odlitku. Hlavní složkou slévárenských směsí, která má velký vliv na dilataci, jsou ostřiva. Menší hodnotu dilatace vykazují směsi s větším rozptylem velikosti středního zrna ostřiva (d_{50}). Dále menší hodnoty dilatace mají směsi s ostrohrannějším ostřivem. Naopak směsi s kulatým tvarem ostřiva vykazují větší hodnotu dilatace. Kulaté ostřivo je právě typické pro jádrové směsi, kde se využívá poznatku, že koule je geometrický útvar, který má při maximálním objemu minimální povrch. To je příznivé pro potřebu menšího množství pojiva, kterým bývají plynnotvornější pryskyřice (např. oproti vodnímu sklu). V této souvislosti je také třeba uvést, že ostřivo křemenného charakteru, vykazuje během ohřevu modifikační přeměny, které jsou spojeny i s rozměrovými změnami.

6) Podle dosažených výsledků hodnot dilatací je zřejmé, že na časový průběh dilatace má velký vliv i charakter ohřevu. Postupný ohřev vzorku způsobuje pozvolný náběh dilatace s probíhajícím časem, naopak ohřev vzorku tepelným šokem vykazuje strmější náběh dilatace. V tomto případě není vzorek prohřátý rovnoměrně a více dilatují povrchové části vzorku, které jsou prohřáty na vyšší teplotu, než jeho vnitřní partie. Jakmile dojde k prohřátí vzorku v celém objemu, hodnota dilatace má pak podobný průběh jako dilatace vzorku při postupném ohřevu. Vzhledem k tomu, že reálné odlévání se podobá svým charakterem spíše měření při šokovém ohřevu vzorku, protože je nutné taveninu odlévaného kovu nalít do dutiny formy co nejrychleji bez dlouhých časových prodlev, proto většina experimentů měření dilatace, v této práci, je měřena právě v podmínkách ohřevu vzorku šokem.

7) Z grafických závislostí měření dilatace na čase a teplotě je patrné, že při ohřevu na teplotu vzorku 1000 °C se hodnota dilatace u směsi č. I až č. V stávala konstantní, oproti grafickým závislostem směsi č. VI až č. XI (sádrové směsi), kdy naopak dochází k degradaci vzorku až k jeho úplnému rozpadu. Z průběhu dilatací je zřejmé, že největší smrštění vykazuje skupina vzorků č. I (směs ostřiva ST 52 PAP a 3 % pojiva Novanol) a to mezi teplotami 50 °C až 500 °C. Naopak nejmenší smrštění vykazují skupiny vzorků č. V (směs ostřiva ST 56 PAP a pojivo 3 % Novanol) ve stejném teplotním rozmezí. Největší dilatace při teplotě 1000 °C byla naměřena u skupiny vzorků č. V (směs ostřiva ST 56 PAP a pojivo 3 % Novanol) hodnotou 0,75 %. Největší dilatace při teplotě 800 °C byla dosažena u skupiny vzorků III (směs ostřiva ST 54 PAP a 3 % pojiva Novanol) hodnotou 0,73 % a to v rozmezí teplot 700 °C až 750 °C. Naopak nejmenší dilatace při teplotě 1000 °C byla naměřena u skupiny vzorků č. X, a to 0,07 %. Nejmenší dilatace při teplotě 800 °C byla naměřena u skupiny vzorků č. VII, a to 0,06 %. U měření dilatace postupným ohřevem nedocházelo k žádnému smrštění. To mohlo být příčinou rovnoměrného ohřevu vzorku. Je zde patrná změna křemene β v křemen α . Křivky všech skupin vzorků (č. I až č. V) mají velmi podobný průběh časové závislosti dilatace. U směsi s křemenným ostřivem je patrná změna průběhu grafické závislosti, která s vyznačuje postupným nárůstem dilatace a to důsledkem změny β křemene v α křemen. Tato přeměna by měla probíhat při teplotě 573 °C, což odpovídá naměřeným průběhům. K vyšší hodnotě dilatace jednoznačně přispívá křemenné ostřivo. To také potvrzují naměřené hodnoty u směsi č. I až č. V, obsahující různé typy křemenného ostřiva Střeleč. Maximální hodnoty dilatace jsou téměř shodné

při teplotách 800 °C a 1000 °C a pohybují se cca 0,7 % původní délky měřeného vzorku. Maximální hodnota dilatace u směsí č. VI až č. XI je opět na obou teplotách pro každý vzorek téměř shodná. Průměrně se hodnoty dilatace u směsí č. VI až č. XI pohybují kolem 0,1 % původní délky měřeného vzorku a méně.

8) Hodnoty součinitele teplotní roztažnosti byly vypočítány informativně na základě využití grafické závislosti dilatací na teplotě. Při porovnání vypočítaných hodnot teplotní roztažnosti slévárenských směsí č. I až č. V (obsahující různé typy křemenného ostriva Střeleč) s tabulkovými, pokud byly vůbec nalezeny, lze konstatovat vypočítané hodnoty se nejvíce blíží k hodnotám kolem teplot 100 °C. Hodnoty součinitele teplotní roztažnosti při vyšších teplotách prakticky fyzikální tabulky téměř neuvádí, to se týká také hodnot teplotní roztažnosti křemene při vyšších teplotách. Vice se tabulkovým hodnotám blíží vypočítané hodnoty součinitele teplotní roztažnosti zjištěné na základě ohřevu tepelným šokem, než postupným ohřevem. Vypočítané hodnoty součinitele teplotní roztažnosti (směsí č. I až č. V) dosahovaly hodnot od $0,3 \cdot 10^{-6}$ [K⁻¹] (pro rozsah teplot do 100 °C) do $133,3 \cdot 10^{-6}$ [K⁻¹] (pro rozsah teplot do 1000 °C). Tak např. tabulkové hodnoty čistého křemene pro teplotu do 100 °C činí $8 \cdot 10^{-6}$ [K⁻¹]. U vzorků č. I a č. II. byla pro teplotu do 100 °C vypočítána shodná hodnota součinitele teplotní roztažnosti $7,4 \cdot 10^{-6}$ [K⁻¹]. Z porovnání hodnot vypočítaného součinitele teplotní roztažnosti u směsí č. VI až č. XI (sádrové směsi), je zřejmé, že tyto hodnoty jsou výrazně nižší, pohybují se od $1,1 \cdot 10^{-6}$ [K⁻¹], do $45,0 \cdot 10^{-6}$ [K⁻¹] pro teploty do 200 °C. Tyto hodnoty součinitele teplotní roztažnosti sádry jsou v souladu s publikací TESÁREK a ČERNÝ [86], která je $(7,22 \pm 15\%) \cdot 10^{-6}$ [K⁻¹]. Tato hodnota je srovnatelná s vypočítanou hodnotou součinitele teplotní roztažnosti pro sádr Het-bílá (50%/50%) pro teploty do 100 °C, která činí $9,7 \cdot 10^{-6}$ [K⁻¹].

9) Pokud se týká hodnocení souvislosti mezi plynnotvorností a dilatací vybraných směsí, je možno konstatovat, že momentu začátku vývinu plynů (počátku plynnotvornosti) odpovídá počátek rozměrových změn směsi. Další závislosti již souvisí s typem měřeného vzorku a s podmínkami experimentu.

Výsledky měření plynnotvornosti a dilatace nebyly použity v praxi, jedná se tedy pouze o základní výzkum, proto není proveden ekonomický přínos této doktorské disertační práce.

Poznatky a závěry této disertační práce mohou být uplatněny při řešení technologických problémů zapříčiněných nadměrnou tvorbou plynů ve formách nebo velkou dilatací s následnou eliminací vadných odlitků.

Vlastní přínos práce

Práce komplexně shrnuje a rozšiřuje poznatky o plynovornosti a dilataci formovacích a jádrových směsí, které vznikají v důsledku tepelného zatižení slévárenských forem a jader.

Hlavní přínos disertační práce lze spatřovat v uceleném souhrnu o plynovornosti a teplotní roztažnosti s ohledem nejen na samotné výsledky experimentů, ale také na inovaci a zpřesnění měřicích zařízení na základě využití počítače a datových digitálních převodníků, dále navržení, odzkoušení a realizaci metodiky měření pro tato zařízení.

Podstatnou součástí této práce jsou termodynamické výpočty, jejichž výsledky predikují průběh důležitých reakcí, které přispívají k plynovornosti jádrových a formovacích směsí. Tyto výpočty zkvalitňují disertační práci v oboru strojírenská technologie a přispívají k aplikaci fyzikálně-chemických dějů, které plynovornost formovacích směsí doprovází. Výsledky měření plynovornosti lze v praxi uplatnit při uvědomělé volbě vhodného typu formovací a jádrové směsi.

Výsledky měření teplotní dilatace vybraných formovacích a jádrových směsí dávají nejen přehled o průběhu těchto dilatačních změn, ale současně jsou důležitým podkladem pro výpočet hodnot součinitele teplotní roztažnosti sledovaných formovacích a jádrových směsí.

Poznatky a závěry této disertační práce mohou být uplatněny při řešení technologických problémů a návrhu vhodných materiálů pro výrobu slévárenských forem v našich slévárnách.

SEZNAM LITERATURY

- [1] KALOUSEK, J., KALOUSKOVÁ, G., HOLUBEC, Z.: Fyzikální chemie metalurgických procesů. [Skripta]. FS,VŠST Liberec 1990.
- [2] PETRŽELA, L.: Slévárenské formovací látky. 1. vyd. Praha 1955.
- [3] RUSÍN, K.: Disperzní formovací materiály. [Skripta]. Praha 1955.
- [4] RUSÍN, K.: Formovací hmoty. [Skripta]. Praha 1972.
- [5] RUSÍN, K.: Teorie slévárenských procesů I. [Skripta]. Praha 1987.
- [6] JELÍNEK, P.: Pojivové soustavy slévárenských formovacích směsí, Ostrava 2004.
- [7] JELÍNEK, P.: Slévárenské formovací směsi – III. část, [Skripta]. VŠB Ostrava 1984.
- [8] PAVLŮ, K.: Hodnocení plynnotvornosti jádrových směsí používaných ve slévárně LIAZ Liberec. [Diplomová práce], FS-KSM, VŠST Liberec 1983.
- [9] JELÍNEK, P.: Slévárenské formovací směsi – II. část. [Skripta]. VŠB – TU Ostrava, 1996.
- [10] PROCHÁZKA, K.: Hodnocení plynatosti formovacích a jádrových směsí používaných ve slévárně LIAZ Liberec. [Diplomová práce]. FS-KSM, VŠST Liberec 1981.
- [11] BAUEROVÁ M.: Měření plynatosti jádrových směsí s pryskyřičnými pojivy, [Diplomová práce], FS- KSM, VŠST Liberec 1992.
- [12] NOVÁ I.: Tepelné procesy ve slévárenských formách, TU v Liberci 2002.
- [13] NOVÁ I.:Teorie slévání – I. [Skripta]. FS-KSP, TU v Liberci 2007.
- [14] SEIDL, M.: Sledování plynatosti slévárenských formovacích směsí.Zvláštní číslo časopisu Strojírenská TECHNOLOGIE 2005, s.160-162.
- [15] NOVÁK, R.: Vyhodnocení a porovnání plynatosti jádrových směsí používaných ve slévárně LIBEREC a.s. [Diplomová práce]. TU v Liberci, 1995.
- [16] JENČOVSKÝ, M.: Posouzení plynatosti vybrané formovací směsi. [Bakalářská práce]. TU v Liberci, 2006.
- [17] RYŽEKIV, A., SPASSKIJ, Litejnoje proizvodstvo. Moskva 1961.
- [18] SEDLÁK, J.: Zkušenosti s výrobou skořepinových forem pro žebrované válce metodou horkých jaderníků, Slévárenství X, č. 11, 1962, s.425 – 427.
- [19] MÁCA, A., SEDLÁK, J.: Slévárenství XII, , č.11, 1964, s. 421 – 425.
- [20] ROTTER, L., FOŠUM, J.: Vlastnosti vazné formovací směsi s vodním sklem a bentonitem, Slévárenství XII, č.11, 1964, s.444-448.
- [21] HODAŇ, B.: Výroba termosetických jader v Moravských železárnách, Slévárenství XII, č.11, 1964, s. 469-472.
- [22] HIRSCH, H., EINERT, S., FISCHER, K.: Formovací směs pro lití velkých a tlustostěnných ocelových odlitků na syrovo, Giessereitechnik 11, č. 8, 1965, s. 236-239.
- [23] PYTLÍK, F., KOCOUREK, B.: Použití nového druhu pryskyřice při výrobě samotuhnoucích jader, Slévárenství XIV, 1966, č.1 s.16.
- [24] OTÁHAL, V., SCHNAIDER, G.: Směsi s modifikovanými škrobovými deriváty, Slévárenství XIV, č.1, 1966, s.11-13.
- [25] PAULÍČEK, R.: Kritický pohléd' formovacích a jádrových zmesí, Slévárenství XIV, č.2, 1966, s.70-73.
- [26] DVOŘÁK, J.: Technická močovina a její praktické využití při výrobě přesných odlitků, Slévárenství XIV, č.10 1966, .s. 429-430.
- [27] POZONEV, J. D.: Fyzikálně chemické vlastnosti bentonitů. Slévárenství XIV, č.12, 1966, s. 516-517.

- [28] ROUS, J., PODOLNÍK, B.: Rozbor vlivů směsi CT na tvoření trhlin u ocelových odlitků, Slévárenství XIV, č.7, 1966, s. 275-279.
- [29] LEADBETTER, M., LINDOP, T.W.: Důležitost stanovení teplotní roztažnosti materiálů u přesného lití, Foundry Trade Journal, 119, No:2556, s. 761766, 1965. Překlad Slévárenství XIV, 1966, č.5 s.257.
- [30] JELÍNEK, P.: Kritický přehled formovací a jádrových směsí, Slévárenství XIV, č.8, 1966, s. 339-341.
- [31] MACÁŠEK, I., RUSÍN, K., JIRÁK, L.: Kombinovaná jádrová směs se zrychleným vytvrzováním, Slévárenství XIV, č. 8, 1966, s. 316-319.
- [32] Příspěvek k morfologii zrnových obálek vodního skla, Slévárenství XVI, č.1, 1968, s. 9-11.
- [33] DOŠKÁŘ, GABRIEL, J.: Vliv obalové hmoty a sušení obalů na pevnost keramických forem, Slévárenství XVI, č.1, 1968, s.16-17.
- [34] JELÍNEK, P.: Vliv Al₂O₃ na rozpadavost směsi CT, Slévárenství XVI, č.2, 1968, s.71-74.
- [35] PAULÍČEK, R., HRYVNAK, M.: Stekucené formovacie zmesi s vodným sklom. Slévárenství XVI, č. 4/5, 1968, s.141-144.
- [36] MACÁŠEK, I., RUSÍN, K.: Použití karbamidových směsí pro výrobu slévárenských forem a jader, Slévárenství XVI, č.4/5, 1968, s. 158-161.
- [37] BURIAN, A., POLÁŠEK, B.: Anorganické pojivo pro směsi vytvrzované vzduchem, Slévárenství XXIV, č.2/3, 1970, s.42-46.
- [38] BODEČEK J.: Kontrola formovací směsi, Slévárenství XX, č.3 s. 100-104, 1972.
- [39] Statistická metoda hodnocení granulometrické skladby umělých ostřív, Slévárenství XX, č.2, 1972, s.68-69.
- [40] ŠEVČÍK, F., GABRIEL, J.: Měření roztažnosti a pevnosti skořepin z vybraných žáruvzdorných materiálů pro přesné lití, Slévárenství XX, č.4, 1972, s. 155-158.
- [41] BURIAN, A.: Další způsob ovladatelného ztužování jader, Slévárenství XX, č. 5/6, 1972, s. 183-184.
- [42] JELÍNEK, P.: Použití kriteria zrnitosti log w ke stanovení optimálního poměru dvou a více frakcí při přípravě ostřív, Slévárenství XXI, č.1, 1973, s.8-15.
- [43] HANAL, S., RŮŽIČKA, A.: Studium granulometrické skladby plniva u organických formovacích směsí, Slévárenství XXI, č.8, 1973, s. 335-339.
- [44] ELBEL, T., JELÍNEK, P.: Příčiny a důsledky cristobalitické expanze směsí s vodním sklem. Slévárenství XXI, č.9 1973, s. 353-360.
- [45] JELÍNEK, P.: Studium obecných zákonitostí destrukcí slévárenských formovacích směsí, Slévárenství XXI, č.12, 1973, s. 514-518.
- [46] ANGELOV,G., MOKEDONSKI, Z., DOBREM, P., WOLKOW, W.: Výroba jader metodou Hot- Box s použitím směsí obsahujících polyvinilalkohol a zvláštní přísady, Giessereitechnik, č. 12, 1973, s. 419–422.
- [47] MACA, A., KRÁLÍK, J.: K některým otázkám použití samotvrdnoucích směsí Slévárenství XXI, č.3/4, 1973, s. 89-95.
- [48] BURIAN, A.: Fenolické pojivové systémy pro směsi vytvrzené ve studených jadernicích, Slévárenství XXII, č.3-4 1974, s. 147-151.
- [49] VESELÝ, M.: Močovinné pryskyřice pro metodu horkého jaderníku, Slévárenství XXII, č.10, 1974, s. 416-419.
- [50] PAVLISKA, S.: Výrobou jader na bázi Gisanolu H, B- Incook použitím automatické linky vlastní výroby, Slévárenství XXIII, č.3/4, 1975, s. 116-117.
- [51] DLAZEK, J.: Samotuhnoucí směsi s dostupnými fenolickými pryskyřicemi, Slévárenství XXIV, č. 2/3, 1976, s. 100-104.

- [52] VESELÝ, M.: Možnosti využití domácích močovinoformaldehydových pryskyřic, Slévárenství XXIV, č.2/3, 1976, s.104-107.
- [53] KŘÍSTEK, J., BURIAN, A.: Vlastnosti samotuhnoucích směsí s vodním sklem a kapalnými tvrdidly Esterol, Slévárenství XXV, č.3/4, 1977, s. 115-117.
- [54] BURIAN, A., KŘÍSTEK, J.: Koloidní vlastnosti vodních skel. Slévárenství XXV, č.3/4, 1977, s. 125-128.
- [55] ULRICH, J., RUMLER, J.: Některé speciální metody pro zkoušení formovacích hmot, Slévárenství XXV, č.6, 1977, s. 225-228.
- [56] Podklady firmy AFS International Cast Metals Journal: Rozklad pojiv během odlévání forem a složení exhalací, Slévárenství XXVIII, č.1, 1979, s.14-15.
- [57] KŘÍSTEK, J., BURIAN, A.: Příspěvek ke kinetice vytvrzování samotvrdnoucích směsí s vodním sklem a esterovými tvrdidly, Slévárenství XXVII, č. 11, 1979, s. 470-471.
- [58] STAVĚNÍČEK, V., HOLOUBEK, Z.: Zkušební metoda pro stanovení užitných vlastností samotvrdnoucích jádrových směsí, Slévárenství XXVIII, č.3/4, 1979, s. 160-163.
- [59] LEITGEB, O.: Zařízení a funkce laboratoře pro zkoušení slévárenských formovacích směsí, Slévárenství XXVII, č.9, 1979, s. 371-374.
- [60] FOŠUM J.: Nové názvosloví v oblasti formovacích látek – II.část: formovací směsi pojivové soustavy a pojiva, Slévárenství XXVIII, č.4, 1980, s.164-168.
- [61] KLOBÁSKA, M., NOVOTNÝ, M: Technologie Cold-Box-Amin v Zetoru, Slévárenství XLI, č.2, 1993, s.71-74, ISSN 0037-6825.
- [62] CHRÁST, J., M'ULLER, G., BURIAN, A.: Vícestupňová regenerace vratné furanové směsi se separací chromitu firmy GUT GmbH. Slévárenství XLIII, 1995, č. 1, s. 21-28. ISSN 0037-6825.
- [63] KRAMÁŘOVÁ, D., BRANDŠTETER, J., RUSÍN, K., HENZLOVÁ, P.: Biogenní polymerní materiály jako pojiva slévárenských forem a jader. Slévárenství LI, č.2-3, 2003, s. 71-73, ISBN 0037-6825.
- [64] HOLUBEC, Z. a kol.: Studium technologie a vlastnosti sádrových formovacích směsí. [Závěrečná zpráva výzkumného úkolu N 132]. VŠST - FS Liberec, 1980.
- [65] HORÁČEK, M., PAVELEK, M., RUSÍN, K.: K problematice tuhnutí odlitků ve skořepinových formách. Slévárenství XXXI, 1983, č. 6, s. 278-285.
- [66] HORÁČEK, M., KRČMÁŘ, V., ŠVIHÁLEK, A.: Aplikace elektro-fyzikálních metod k identifikaci vytvrzování systému vodní sklo-Esterol. Slévárenství XXXIV, 1984, č. 1, s. 2-5.
- [67] JELÍNEK, P.: Přínos československého slévárenství k chemizaci výroby forem a jader na bázi alkalických křemičitanů. Slévárenství XLIV, 1996, č. 2, s.85-99, ISSN 0037-6825.
- [68] JELÍNEK, P., MIKŠOVSKÝ, F.: Anorganické pojivo Desil – J jako náhrada pojiv pro CO₂ – resol. Slévárenství LIV, 2006, č. 1, s. 7-9. ISSN 0037-6825.
- [69] BURIAN, A. et al.: Slévárenské směsi s geopolymerním pojivovým systémem. Slévárenství LIV, 2006, č. 1, s. 4 až 7. ISSN 0037-6825.
- [70] CUPÁK, P., RUSÍN, K.: Zkušenosti s výrobou a použitím jader s biogenním pojivem. Slévárenství LIV, 2006, č. 1, s. 19-21. ISSN 0037-6825.
- [71] BURIAN, A. et al.: GEOPOL technologie výroby forem a jader s anorganickým pojivem. Slévárenství LVII, 2009, č.1, s.7-11. ISSN 0037-6825.
- [72] LACHMAN, L., BRANŠTETER, J., RUSÍN, K.: Deriváty celulózy jako pojiva slévárenských formovacích směsí – část I. Slévárenství LVII, 2009, č. 1-2, s.12-14. ISSN 0037-6825.

- [73] FOŠUM, J., ŠEBESTA, B.: FOND-EX 2008 – novinky z oblasti formovacích materiálů a postupů výroby jader; měřicí přístroje pro kontrolu formovacích materiálů a řízení procesu přípravy směsi. Slévárenství LVI, 2008, č. 5-6, s. 243 - 247. ISSN 0037-6825.
- [74] JELÍNEK, P.: GIFA 2007 – novinky v oblasti pojiv, ostřív a nátěrů v technologických postupech výroby forem a jader. Slévárenství LV, 2007 č. 8-9, s. 388 - 391. ISSN 0037-68.
- [75] BEDNÁŘOVÁ, V.: Možnosti bezodpadové technologie ve slévárenství. [Habilitační práce]. FMMI , VŠB – TU, Ostrava 2008.
- [76] MÜLLER, J., TEGEL, M.: Inovativní řešení pro slévárny využívající anorganické principy. Slévárenství LVI, 2008, č. 3-4, s. 120 - 122. ISSN 0037-6825.
- [77] SCHEREY, A.: Vysoce reaktivní polyuretanová pojiva pro postup Cold Box. Slévárenství LVII, 2009, č. 1-2, s. 23 - 27. ISSN 0037-6825.
- [78] MEDVĚDĚV, J.I.: Gazy v litějnoj forme. 1. vyd. Moskva 1965.
- [79] ČERNOCH, S.: Strojně technická příručka. Třetí, upravené vydání, Praha 1977.
- [80] RAŽNJEVIČ, K.: Tepelné tabuľky a diagramy. 1. vyd. Bratislava 1969.
- [81] Technické materiály o přístroji PGD švýcarské firmy +GF+.
- [82] KUCHAŘ, L., DRÁPALA, J.: Tabulky vybraných vlastností kovů. VŠB Ostrava 1979.
- [83] PÍŠEK, F. a kol.: Nauka o materiálu I (Nauka o kovech 3. svazek – Neželezné kovy), druhé, rozšířené, zcela přepracované vydání. Praha, 1979.
- [84] TIETL, J.: Studium a měření dilatačních vlastností formovacích a jádrových směsi [Diplomová práce]. KMM-FS, VŠST v Liberci 1985.
- [85] NOVÁ I.: Tepelné zpracování forem ze sádrových směsí používaných při výrobě přesných odliatků [Kandidátská disertační práce], VŠST – FS Liberec, 1985.
- [86] TESÁREK, P., ČERNÝ, R.: Základní vlastnosti sádry k řešení grantu GAČR 103/03/0006 ,[Interní materiál Katedry stavební mechaniky Fakulty stavební, ČVUT], 2007.

Seznam obrázků

Obr. 2-1 Schéma formovací směsi, ve které se předpokládá jilové pojivo, [1]	24
Obr. 2-2 Schéma polymorfních přeměn (modifikací) křemene [13]	26
Obr. 2-3 Objemové změny při polymorfních přeměnách SiO ₂ , [13].....	27
Obr. 2-4 Detailní pohled na směs s křemenným ostřivem d ₅₀ =0,283.....	27
Obr. 2-5 Přehled vývoje pojiv formovacích směsí podle JELÍNKA [9].....	29
Obr. 2-6 Schéma strukturních vzorek novolakových pryskyřic.....	34
Obr. 2-7 Schéma strukturního vzorce pryskyřic rezolu.....	34
Obr. 2-8 První fáze vzniku močovinoformaldehydových pryskyřic	34
Obr. 2-9 Lineární řetězovitá struktura meziproduktu vzniku močovinoformaldehydových pryskyřic	35
Obr. 2-10 Strukturní chemický vzorec furanu (C ₄ H ₆ O)	36
Obr. 3-1 Závislost teplotní roztažnosti na teplotě vybraných ostřiv s 5 % bentonitu, [4]	44
Obr. 3-2 Rozložení teplot v pískové slévárenské formě s označením vrstev, [17]	45
Obr. 3-3 Závislost množství uvolněných plynů na čase, [12]	47
Obr. 3-4 Vliv součinitele plynnotvornosti na rychlosť vývinu plynů formy, [12]	47
Obr. 3-5 Vliv tloušťky stěny odlitku na množství vývinu plynů formy, [12].....	47
Obr. 3-6 Grafická závislost objemu plynů a teploty formy na vzdálenosti od jejího lice [1]	49
Obr. 3-7 Schématické naznačení vniknutí plynu do taveniny(p _F ≥ p _m + p _p + p _{pf}), [7].....	55
Obr. 3-8 Tlakové poměry při vzniku plynových vad, [16]	56
Obr. 3-9 Schéma vzniku kondenzační zóny, [12]	57
Obr. 3-10 Schéma přístroje na stanovení plynnotvornosti formovací směsi [2].....	66
Obr. 3-11 Přístroj PGD +GF+ na stanovení plynnotvornosti slévárenských směsí, [81]	67
Obr. 4-1 Grafické závislosti změny Gibbsovy energie na teplotě (pro rovnice uvedené v tabulce 4-2)	77
Obr. 4-2 Grafické závislosti změny Gibbsovy energie na teplotě pro rovnici č. 1 z tab. 4-2	78
Obr. 4-3 Grafické závislosti změny Gibbsovy energie na teplotě pro rovnici č. 2 z tab. 4-2	79
Obr. 5-1 Pohled na stávající měřicí zařízení plynnotvornosti formovacích a jádrových směsí, včetně označení základních prvků.....	81
Obr. 5-2 Pohled na přední část měřicího zařízení plynnotvornosti.....	88
Obr. 5-3 Pohled na vyrovňávací nádobu se zabudovaným tlakovým čidlem	88
Obr. 5-4 Oddělené části jádra ve tvaru hranolku pro přípravu vzorků	89
Obr. 5-5 Pohled na vstupní otvor měřicího zařízení plynnotvornosti	91
Obr. 5-6 Průměrné hodnoty plynnotvornosti všech měřených směsí v závislosti na čase při teplotě 1000 °C, (směs č.1, 2, 3, 4, 5 , 6, 7, 8, 9,10 a 11).....	98
Obr. 5-7 Průměrné hodnoty plynnotvornosti směsí č.12 až č.17 v závislosti na čase při teplotě 800 °C	100
Obr. 5-8 Průměrné hodnoty plynnotvornosti směsí č.12 až č.17 v závislosti na čase při teplotě 1000 °C	100
Obr. 5-9 Průměrné hodnoty plynnotvornosti směsi č. 12 až č.17 v závislosti na čase při teplotě 1200 °C.....	101
Obr. 5-10 Průměrné hodnoty plynnotvornosti směsi č. 18 v závislosti na čase při teplotách 800 °C, 1000 °C a 1200 °C (vzorek směsi je bez náteru)	103
Obr. 5-11 Průměrné hodnoty plynnotvornosti směsi č. 19 v závislosti na čase při teplotách 800 °C, 1000 °C a 1200 °C (vzorek jádrové směsi s náterem).....	103
Obr. 5-12 Průměrné hodnoty plynatosti všech měřených směsí v závislosti na čase při teplotě 1000 °C, (směs č. 20, 21, 22, 23, 24, 25, a 26).....	104
Obr. 5-13 Průměrné hodnoty množství uvolněných plynů v závislosti na čase při teplotě 1000 °C, (směsi č. 27, 28, 29).....	105
Obr. 5-14 Průměrné hodnoty plynnotvornosti směsi č. 30 při teplotách 800 °C, 1000 °C a 1200 °C	105
Obr. 5-15 Průměrné hodnoty plynnotvornosti práškových sáder (Kittfort, Het-bilá, Het- šedá); označení jako směsi č. 31, 32, 33, při teplotě 800 °C	107
Obr. 5-16 Průměrné hodnoty plynnotvornosti práškových sáder (Kittfort, Het-bilá, Het- šedá); označení jako směsi č. 31, 32, 33, při teplotě 1000 °C	107
Obr. 5-17 Průměrné hodnoty plynnotvornosti směsí č. 34, 35, 36 (50 % Kittfort a 50 % voda; 50 % Het-bilá a 50 % voda; 50 % Het-šedá a 50 % voda) při teplotě 800 °C.....	108

Obr. 5-18 Průměrné hodnoty plynovornosti směsi č. 37, 38, 39 (75 % Kittfort a 25 % voda; 75 % Het-bílá a 25 % voda; 75 % Het-šedá a 25 % voda) při teplotě 800 °C.....	108
Obr. 5-19 Průměrné hodnoty plynovornosti směsi č. 34, 35, 36 (50 % Kittfort a 50 % voda; 50% Het-bílá a 50 % voda; 50 % Het-šedá a 50 % voda) při teplotě 1000 °C.....	109
Obr. 5-20 Průměrné hodnoty plynovornosti směsi č. 37, 38, 39 (75 % Kittfort a 25 % voda; 75 % Het-bílá a 25 % voda; 75 % Het-šedá a 25 % voda) při teplotě 1000 °C.....	109
Obr. 5-21 Průměrné hodnoty plynovornosti směsi č. 40, 41, 42, 43, 44 (50 % Kittfort a 50 % voda, 4,18, 24 hod, 200 a 400°C) při teplotě 1000 °C	110
Obr. 6-1 Schéma zařízení pro měření dilatačních změn	112
Obr. 6-2 Pohled na pracoviště a uspořádání zařízení při měření dilatace směsi	114
Obr. 6-3 Ukázky vyrobených vzorků pro měření dilatace	115
Obr. 6-4 Forma na výrobu vzorků pro zkoušku dilatace.....	116
Obr. 6-5 Pohled na měřící zařízení v okamžiku ohřevu vzorku,.....	118
Obr. 6-6 Pohled na křemennou trubici dilatometru se vzorkem po ohřevu.....	118
Obr. 6-7 Pohled na zborcený vzorek při chladnutí volně na vzduchu	118
Obr. 6-8 Grafické závislost průměrných hodnot dilatace na teplotě vzorků sledovaných směsi při ohřevu šokem, 800 °C	120
Obr. 6-9 Grafické závislosti průměrných hodnot dilatace na teplotě vzorků sledovaných směsi při jejich ohřevu šokem, teplota 1000 °C	120
Obr. 6-10 Grafické závislosti průměrných hodnot dilatace na teplotě vzorků sledovaných směsi při postupném ohřevu na teplotu 1000 °C	121
Obr. 6-11 Grafické závislosti průměrných hodnot dilatace na čase při ohřevu vzorku.....	122
Obr. 6-12 Grafické závislosti průměrných hodnot dilatace na čase při ohřevu vzorku tepelným šokem, teplota 1000 °C	123
Obr. 6-13 Grafické závislosti průměrných hodnot dilatace na čase při postupném ohřevu vzorku na teplotu 1000 °C	123
Obr. 6-14 Grafické závislosti průměrných hodnot dilatace na teplotě sádrových směsi č.VI, č.VII, č. VIII, č. IX, č. X a č.XI při šokovém ohřevu vzorku na teplotu 800 °C.....	124
Obr. 6-15 Grafické závislosti průměrných hodnot dilatace na čase sádrových směsi č.VI, č.VII, č. VIII, č. IX, č. X a č.XI při šokovém ohřevu vzorku na teplotu 800 °C.....	124
Obr. 6-16 Grafické závislosti průměrných hodnot dilatace na teplotě sádrových směsi č.VI, č.VII, č. VIII, č. IX, č. X a č.XI šokovém ohřevu na teplotu 1000 °C.....	125
Obr. 6-17 Grafické závislosti průměrných hodnot dilatace na čase sádrových směsi č.VI, č.VII, č. VIII, č. IX, č. X a č.XI při šokovém ohřevu na teplotu 1000 °C.....	125
Obr. 6-18 Grafické závislosti průměrných hodnot plynovornosti a dilatace na čase směsi č. II (ST 53 PAP 3% Novanol) při ohřevu vzorků šokem na teplotě 800 °C.....	134
Obr. 6-19 Grafické závislosti průměrných hodnot plynovornosti a dilatace na čase směsi č. II (ST 53 PAP 3% Novanol) při ohřevu vzorků šokem na teplotě 1000 °C.....	134
Obr. 6-20 Grafické závislosti průměrných hodnot plynovornosti a dilatace na čase směsi č. V (ST 56 PAP 3% Novanol) při ohřevu vzorků šokem na teplotě 800 °C.....	135
Obr. 6-21 Grafické závislosti průměrných hodnot plynovornosti a dilatace na čase směsi č. V (ST 56 PAP 3% Novanol) při ohřevu vzorků šokem na teplotě 1000 °C.....	135
Obr. 6-22 Grafické závislosti průměrných hodnot plynovornosti a dilatace na čase směsi č. VI (sádra Het-bílá 50%/50%) při ohřevu vzorků šokem na teplotě 1000 °C.....	136
Obr. 6-23 Grafické závislosti průměrných hodnot plynovornosti a dilatace na čase směsi č. VIII (sádra Het-šedá 50%/50%) při ohřevu vzorků šokem na teplotě 800 °C.....	136
Obr. 6-24 Grafické závislosti průměrných hodnot plynovornosti a dilatace na čase směsi č. IX (sádra Het-šedá 75%/25%) při ohřevu vzorků šokem na teplotě 1000 °C.....	137

Seznam tabulek

Tabulka 1-1 Přehled výroby jader v r.1977 a v r.1986 v SRN [%], [61].....	17
Tabulka 2-1 Teplota tání různých vybraných druhů ostřív, [1].....	25
Tabulka 3-1 Přehled lineárních teplotních součinitelů vybraných druhů látek [79], [80]	43
Tabulka 3-2 Rozkladné teploty některých látek [5].....	50
Tabulka 3-3 Orientační hodnocení různých procesů tvorby plynů procentuálně z celkového množství plynů při lití [5]	50
Tabulka 4-1 Výsledky výpočtu uvolněných plynů z uvedených reakcí.....	70
Tabulka 4-2 Výsledky výpočtu změn Gibbsovy energie.....	76
Tabulka 5-1 Přehled vzorků pro měření plynovornosti (I. etapa experimentů).....	90
Tabulka 5-2 Přehled vzorků pro měření plynatosti (II. etapa experimentů)	93
Tabulka 5-3 Přehled vzorků pro měření plynovornosti (III. etapa experimentů).....	95
Tabulka 5-4 Přehled vzorků pro měření plynovornosti (IV. etapa experimentů)	96
Tabulka 6-1 Přehled prováděných experimentálních měření dilatace	115
Tabulka 6-2 Ukázka vybraných naměřených a vypočítaných hodnot získaných z jednoho měření dilatačních změn.....	119
Tabulka 6-3 Hodnoty teplot T a dilatace a k vypočítané příslušné hodnoty součinitele teplotní roztažnosti, ST 52 PAP 3 % NOVANOLU (ohřev šokem na teplotu 800 °C).....	129
Tabulka 6-4 Vypočítané součinitele teplotní roztažnosti pro směs č. I (ST 52 PAP).....	130
Tabulka 6-5 Vypočítané součinitele teplotní roztažnosti pro směs č. II. (ST 53 PAP)	130
Tabulka 6-6 Vypočítané součinitele teplotní roztažnosti pro směs č. III. (ST 54 PAP).....	131
Tabulka 6-7 Vypočítané součinitele teplotní roztažnosti prosměs č. IV. (ST 55 PAP)	131
Tabulka 6-8 Vypočítané součinitele teplotní roztažnosti pro směs č. V. (ST 56 PAP).....	131
Tabulka 6-9 Vypočítané součinitele teplotní roztažnosti pro směs č.VI (Het-bilá 50 %/50 %).....	132
Tabulka 6-10 Vypočítané součinitele teplotní roztažnosti pro směs č. VII (Het-bilá 75%/25%) ..	132
Tabulka 6-11 Vypočítané součinitele teplotní roztažnosti pro směs č. VIII	132
Tabulka 6-12 Vypočítané součinitele teplotní roztažnosti pro směs č. IX	132
Tabulka 6-13 Vypočítané součinitele teplotní roztažnosti pro směs č. X	133
Tabulka 6-14 Vypočítané součinitele teplotní roztažnosti pro směs č. XI	133